



Université Mohammed V de Rabat

Ecole Mohammadia d'Ingénieurs

2018-2019

Projet de Fin d'Etudes

Département Génie Civil

Option : B.P.C.

EL BOTI Youness

EL RHARBAOUI Ghassan

Conception et dimensionnement d'un bâtiment R+15 avec
deux sous-sols :

Etude comparative de systèmes de planchers

Soutenance prévue le 13.06.2019 devant le jury composé de :

Président du jury : Professeur BOUYAHYAOUI Azzeddine

Encadrant(s) à l'EMI : Professeur MOUSTACHI Oum El Khaiat

Professeur ELBRAHMI Jamila

Encadrant à l'organisme : Monsieur BOUGAMZA Elyazid

Autres membres du jury : Professeur LAMDOUAR Nouzha

Dédicaces

A mes très chers parents, en guise de reconnaissance et de gratitude, pour le soutien, la patience et les sacrifices dont ils ont toujours fait preuve tout au long de mes études.

A ma chère sœur, tantes, cousins et cousines qui ont contribué de près ou de loin à ma formation.

A tous mes amis,

A tous mes professeurs,

A toutes les personnes qui me sont chères,

Je vous dédie ce modeste travail que je n'aurai pu accomplir sans votre présence et votre amour.

Ghassan

A ma chère mère CHENIOUR Saïda

A mon cher père EL BOTI Abdessalam

A ma femme SAHMOUDI Lamiae

A ma petite fille EL BOTI Nour

A ma grande famille

A mes amis et mes collègues de l'EMI

A mes professeurs

Je dédie ce mémoire

EL BOTI Youness

Remerciements

Au terme de ce travail, nous tenons à exprimer nos sincères remerciements et notre profonde gratitude envers Mme. O. MOUSTACHI et Mme. J. EL BRAHMI, nos professeurs encadrants, pour les directives et les conseils qu'ils nous ont accordés tout au long de notre stage et qui ont fait preuve d'une grande disponibilité à notre égard.

Nous adressons nos profonds sentiments de reconnaissance et de gratitude à M. ELYAZID, notre encadrant au bureau d'études TPF Pyramide ingénierie, qui n'a ménagé ni temps, ni efforts pour nous conseiller et nous orienter dans notre projet de fin d'études.

Nous tenons à remercier tout particulièrement M. Abed, pour son aide, son assistance et sa grande disponibilité tout au long de notre stage de fin d'études.

Nous tenons à remercier également le président du jury, professeur A. BOUYAHYAOUÏ et professeur N. LAMDOUAR pour avoir accepté de juger notre travail.

Nous tenons aussi à remercier le corps professoral et administratif de l'Ecole Mohammadia d'Ingénieurs, dont les efforts déployés constituent le pilier de notre formation.

Enfin, tous ceux qui ont contribué, de près ou de loin, à la réalisation du présent mémoire, trouvent ici, l'expression de nos sincères reconnaissances.

Résumé

Le présent mémoire porte sur la conception et le dimensionnement d'un bâtiment composé de deux sous-sols et 15 étages à usage d'habitation et plus spécifiquement sur l'étude comparative de deux variantes de planchers : le plancher-dalle en béton armé et la dalle réticulée.

La conception et le pré-dimensionnement des éléments structuraux ont été faits en tenant compte des contraintes architecturales et structurales.

Le contreventement adopté est un contreventement par voiles, permettant d'aboutir à un modèle final avec une meilleure réponse sismique.

Les normes et règlements utilisés comme référence dans ce travail sont : le RPS 2000 (révisé 2011) pour le calcul et les vérifications au séisme, les NV65 pour le calcul au vent, le BAEL 91 pour le dimensionnement des éléments en béton armé.

Le choix du type de plancher à mettre en œuvre fait l'objet d'une étude détaillée après avoir examiné les différents types de planchers tout en tenant compte des contraintes architecturales du projet.

Quant à la modélisation du bâtiment, elle a été réalisée à l'aide des deux logiciels de calcul par éléments finis : CYPECAD 2019 et Autodesk Robot 2014. L'analyse sismique du bâtiment est également effectuée à l'aide de ces deux logiciels afin de s'assurer des résultats du comportement de l'immeuble sous les sollicitations sismiques.

Finalement, une analyse multicritère (critères quantitatifs, économiques et environnementaux) est adoptée après avoir assuré la faisabilité des deux variantes en vue de faciliter le choix de la variante optimale.

Mots-clés :

- Plancher-dalle
- Dalle réticulée
- Contraintes
- Faisabilité
- Economique
- Flèche
- Poids

ملخص

تتناول هذه الأطروحة تصميم وتحجيم مبنى للاستخدام السكني، والذي يتكون من قيوين و15 طابقًا. ويهتم بدراسة نوع البلاطة: لوح الأرضية الخرساني المسلح واللوح الشبكي..

يشكل موضوع اختيار أفضل نوع بلاطة تنمة للدراسة المفصلة لكافة أنواع الألواح المختلفة مع مراعاة الشروط المعمارية للمشروع. وتم اعتماد تصميم واحد لكل من المتغيرات من أجل تحقيق نتائج قابلة للمقارنة.

تم تصميم النماذج باستخدام برنامجين حاسوبيين: CYPECAD 2019 et Robot 2014

تمت دراسة العناصر العمودية الحاملة بواسطة البرنامجين الحاسوبيين من أجل التوضيح الشامل لكيفية وضع قضبان الصلب و الحصول على فكرة مسبقة لكمية التعزيز اللازمة.

تم إجراء تحليل متعدد المعايير: المعايير التقنية والكمية والاقتصادية والبيئية من أجل تسهيل عملية اختيار العامل المتغير من طرف مكتب التصميم.

الكلمات الرئيسية:

- لوح الأرضية
- الخرساني المسلح
- لوح شبكي- اقتصادي
- الوزن
- القيود
- الجدوى

Abstract

This thesis deals with the design and dimensioning of a building composed of two basements and 15 floors for residential use and more specifically on the comparative study of two floor variants: the reinforced concrete floor slab and the waffle slab.

Design and pre-design of structural elements have been made taking into account the architectural and structural constraints.

The bracing is adopted by shear walls, allowing to reach a final model with better seismic response.

Standards and regulations used as reference in this work are: RPS 2000 (revised 2011) for the calculation and verification of the earthquake effect, the NV65 to calculate the wind effect, BAEL 91 for dimensioning of reinforced concrete.

The choice of the type of floor to be implemented is the subject of a detailed study after examining the different types of floors while taking into account the architectural constraints of the project.

The building modeling was carried out using the two finite element computer programs: CYPECAD 2019 and Autodesk Robot 2014. The seismic analysis of the building is also carried out using these two softwares in order to ensure the results of the behavior of the building under the seismic solicitations.

Finally, a multi-criteria analysis (quantitative, economic and environmental criteria) is adopted after ensuring the feasibility of both variants in order to facilitate the choice of the optimal variant.

Keywords:

- Concrete Floor-slab
- Waffle slab
- Constraints
- Feasibility
- Economic
- Deflection
- Weight

Table des matières

Dédicaces	
Remerciements	
Résumé	
ملخص	
Abstract	
Introduction	1
Chapitre 1 :Présentation générale du projet et analyse des données techniques	2
I. Présentation générale du projet :	3
II. Analyse des données techniques :	4
1. Données géotechniques :	4
1.1. Etudes géotechniques effectuées :	4
1.2. Résultats de l'essai pressiométrique :	4
2. Analyse des données de calcul sismiques :	4
2.1. Classification de la zone sismique du site :	4
2.2. Coefficients d'accélération et de vitesse :	5
3. Charges et surcharges :[2][3]	7
III. Contraintes liées au parking :	8
Chapitre 2 : Conception et prédimensionnement des éléments structuraux	9
I. Planchers :	10
1. Les planchers-dalles et les dalles pleines :	11
1.1. Les planchers dalles :	11
1.2. La dalle pleine :	11
1.3. Les planchers nervurés :	12
2. Dalle en post tension :	12
3. Dalle alvéolaire :	13
4. Dalle réticulée :	14
4.1. Généralités :	14
4.2. Choix du type des planchers réticulés :	14
5. Choix des variantes à étudier :	15
6. Prédimensionnement :	15
6.1. Plancher-dalle :	15
6.2. Dalle réticulée :	17
II. Eléments porteurs :	21

1. Poteaux :	21
2. Voiles :	22
3. Poutres :	23
III. Contreventement :	24
Chapitre 3 : Analyse sismique du bâtiment.....	25
I. Etude de la régularité du bâtiment :	26
1. Régularité en plan :	26
2. Régularité en élévation :	31
4. Choix de la méthode d'analyse :	33
II. Approche dynamique:	34
1. Modélisation sur ROBOT STRUCTURAL ANALYSIS PROFESSIONAL 2014, variante du plancher-dalle en BA :	34
1.1. Analyse modale spectrale :	35
1.2. Vérifications des déplacements :	39
1.3. Vérification de la stabilité au renversement du bâtiment :	40
3. Modélisation sur CYPECAD 2019 :	41
3.1. Variante du plancher-dalle :	41
3.2. Variante de la dalle réticulée :	42
Chapitre 4 : Calcul de l'effet du vent	44
I. Introduction :	45
II. Calcul de l'effet du vent :	45
1. Pressions dynamiques de base :	45
2. Pression dynamique corrigée :	45
2.1. K_h : Effet de la hauteur au-dessus du sol :	45
2.2. K_s : Effet du site :	46
2.3. K_m : Effet de masque :	46
2.4. δ : Effet de dimension :	47
3. Actions statiques exercées par le vent :	49
3.1. Détermination du coefficient γ_0 correspondant aux dimensions des différents étages du bâtiment :	50
3.2. Calcul des actions extérieures et intérieures du vent :	51
4. Actions dynamiques exercées par le vent :	53
4.1. Détermination du coefficient de réponse ξ :	53
4.2. Détermination du coefficient de pulsation τ :	54
4.3. Détermination du coefficient global Θ :	54

4.4. Détermination du coefficient de majoration β :	54
4.5. Résultats des actions dynamiques exercées par le vent :	55
4.6. Comparaison de l'effet du vent à l'effet du séisme :	57
Chapitre 5 :Etude de la première variante des dalles : Plancher-dalle en béton armé	58
I. Généralités sur les planchers-dalles :	59
II. Méthodes de calcul d'un plancher-dalle :	59
III. Principe de calcul par le BAEL 91 :	60
IV. Calcul des dalles en béton armé par Eléments finis à l'aide du logiciel Robot :	60
1. Calcul des sollicitations :	60
2. Calcul du ferrailage longitudinal :	60
3. Vérification vis-à-vis de l'effort tranchant :	61
4. Calcul du ferrailage d'un plancher-dalle par logiciel Robot 2014 : Cas du plancher haut 1 ^{er} étage :	61
4.1. Géométrie du plancher :	61
4.2. Processus de calcul du ferrailage de la dalle sur Robot :	62
4.3. Ferrailage théorique du plancher :	63
4.4. Vérification de l'effort tranchant :	68
4.5. Vérification de la flèche :	69
4.6. Condition de non fragilité :	69
4.7. Ferrailage des balcons :	69
5. Vérification du poinçonnement du plancher-dalle :	74
5.1. Généralités :	74
5.2. Dispositions des armatures de poinçonnement dans les planchers-dalles :	74
5.3. Dispositions constructives face au poinçonnement :	75
5.4. Vérification du poinçonnement du poteau P3 par CYPECAD :	76
Chapitre 6 : Etude de la deuxième variante des dalles : Dalle réticulée	78
I. Introduction :	79
II. Modélisation de la dalle réticulée :	79
1. Géométrie du plancher réticulée :	79
2. Les poutres périmètres (couronne ou chaînage) :	80
III. Ferrailage de la dalle réticulée à l'aide du logiciel de calcul CYPECAD :	81
1. Calcul du ferrailage du plancher-haut du 1 ^{er} étage :	81
1.1. Disposition du ferrailage :	82
1.2. Ferrailage des zones allégées :	82
1.3. Ferrailage des zones massives (panneaux):	83

2.	Vérification des dalles réticulées:.....	83
2.1.	Renforts au cisaillement et au poinçonnement des dalles réticulées :	83
2.2.	Vérification du poinçonnement du poteau P3 à l'aide de CYPECAD :	85
2.3.	Vérification de l'effort tranchant :	86
2.4.	Vérification de la flèche :	86
2.5.	Condition de non fragilité (nervures):.....	87
3.	Ferraillage de la poutre périmètre :	87
4.	Détails constructifs :	88
4.1.	Détail du bord extrême :	88
4.2.	Changement de cote avec un dénivelé plus grand que l'épaisseur du plancher : ...	88
4.3.	Détail de l'appui (plancher sur voile) :	89
Chapitre 7 : Dimensionnement des éléments porteurs		90
I.	Dimensionnement des voiles en béton armé :	91
1.	Méthode manuelle :	91
1.1.	Introduction :	91
1.2.	Vérification des contraintes normales :	93
1.3.	Détermination des dispositions des armatures verticales et horizontales :	95
1.4.	Application au voile X, variante du plancher-dalle, efforts obtenus par logiciel ROBOT 2014 :	99
2.	Ferraillage du même voile en se référant à la cartographie de ferraillage donnée par logiciel ROBOT 2014, variante du plancher-dalle en BA :	106
2.1.	Ferraillage vertical des potelets :	106
2.2.	Ferraillage vertical du voile :	106
2.3.	Ferraillage horizontal du voile :	107
3.	Ferraillage du même voile à l'aide de CYPECAD:	107
II.	Dimensionnement des poteaux :	108
1.	Exemple de calcul manuel d'un poteau, modèle du plancher-dalle :	108
2.	Ferraillage du poteau à l'aide des logiciels de calcul :	113
2.1.	A l'aide du logiciel CYPECAD, variante du plancher-dalle :	113
2.2.	Par logiciel CYPECAD, variante de la dalle réticulée :	114
III.	Dispositions constructives parasismiques :	116
1.	Eléments linéaires fléchis non comprimés :	116
1.1.	Dimensions des sections :	116
1.2.	Armatures longitudinales :	116
1.3.	Armatures transversales :	117
2.	Eléments linéaires fléchis comprimés :	118

2.1. Dimensions des sections :	118
2.2. Zones critiques :	118
2.3. Espacements maximaux des armatures transversales :	118
Chapitre 8 : Etude du système de fondations	119
I. Choix du système de fondations :	120
II. Calcul d'un radier :	120
1. Généralités :	120
2. Les types des radiers :	120
3. Etude d'un radier :	121
3.1. Etude manuelle d'un radier rigide :	121
3.2. Méthode de calcul adoptée :	123
3.2.2. Modélisation du radier sur CYPECAD, variante de la dalle réticulée :	141
Chapitre 9 : Etude comparative des deux variantes	142
I. Introduction :	143
II. Critères techniques :	143
1. Flèche :	143
2. Poids des planchers :	144
III. Etude quantitative :	144
1. Variante de la dalle réticulée :	145
2. Variante du plancher-dalle :	145
3. Comparaison :	145
IV. Etude économique :	146
1. Résumé de budget de la variante : dalle réticulée :	146
2. Résumé de budget de la variante : Plancher-dalle :	146
3. Comparaison des budgets :	147
3.1. Comparaison du budget des planchers :	147
3.2. Comparaison du budget global :	147
V. Critères environnementaux :	147
Conclusion	149
Bibliographie	150
Annexes	152

Liste des tableaux

Tableau 1 Zonage sismique selon le RPS2000v2011	5
Tableau 2 Coefficient de vitesse	5
Tableau 3 Valeurs des coefficients de site	6
Tableau 4 Coefficient de priorité.....	6
Tableau 5 Niveau de ductilité.....	7
Tableau 6 Facteur de comportement	7
Tableau 7 Tableau récapitulatif des données sismiques.....	7
Tableau 8 Epaisseurs des planchers réticulés pour charges conventionnelles < 300 Kf/m ² , d'après CYPE Ingenieros.....	17
Tableau 9 Epaisseurs des consoles conseillées en fonction de la portée, d'après CYPE Ingenieros	18
Tableau 10 Régularité en plan des différents étages	28
Tableau 11 Vérification de l'écart entre le centre de masse et le centre de rigidité pour les différents étages.....	29
Tableau 12 Ratio des masses et des moments d'inertie entre les différents étages	32
Tableau 13 Résultats du calcul modal, ROBOT 2014, variante du plancher-dalle	38
Tableau 14 Vérification des déplacements inter-étages	40
Tableau 15 Vérification de la stabilité au renversement du bâtiment	41
Tableau 16 Résultats de l'analyse modale spectrale, coefficients de participation, CYPECAD, variante du plancher-dalle	42
Tableau 17 Résultats de l'analyse modale spectrale, coefficients de participation, CYPECAD, variante dalle réticulée	42
Tableau 18 Pression dynamique de base correspondant à chaque région.....	45
Tableau 19 Variation de la pression dynamique q_h selon la hauteur.....	46
Tableau 20 Coefficient de site en fonction de la région et la nature du site	46
Tableau 21 Coefficient des pressions dynamiques en fonction de la hauteur.....	48
Tableau 22 Valeurs limites des pressions dynamiques corrigées	49
Tableau 23 Les pressions dynamiques normales et extrêmes par étage	49
Tableau 24 Valeurs du coefficient λ_{00} correspondant aux étages de l'immeuble.....	51
Tableau 25 Actions statiques unitaires sur les parois au vent et sous le vent dues au vent normal.....	52
Tableau 26 Actions statiques unitaires sur les parois au vent et sous le vent dues au vent extrême	52
Tableau 27 Valeurs des coefficients de réponse pour les différents niveaux de l'immeuble ...	54
Tableau 28 Coefficient de majoration pour les différentes valeurs du coefficient de réponse .	55
Tableau 29 Actions dynamiques au vent et sous le vent dues au vent normal	55
Tableau 30 Actions dynamiques au vent et sous le vent dues au vent extrême	56
Tableau 31 Comparaison de l'effet du vent à l'effet du séisme	57
Tableau 32 Ferrailage du plancher haut 1er étage.....	64
Tableau 33 Valeurs du rapport l_f/h dans le cas d'un mur non raidi.....	93
Tableau 34 Calcul manuel d'un voile, efforts réduits.....	100
Tableau 35 Caractéristiques du poteau Pg4, exemple de calcul manuel des poteaux.....	108
Tableau 36 Les efforts sur les poteaux à l'ELU et l'ELS.....	124
Tableau 37 Les efforts sur les voiles à l'ELU et l'ELS.....	125

Tableau 38 Epaisseur minimale du radier nécessaire pour vérifier la condition de poinçonnement pour chaque poteau	126
Tableau 39 Epaisseur du radier nécessaire pour vérifier la condition de poinçonnement des voiles	128
Tableau 40 Epaisseur du radier retenue en tenant compte du renforcement de la section au droit des poteaux contre le poinçonnement	128
Tableau 41 Epaisseur du radier retenue en tenant compte des renforcements de section au droit des voiles contre le poinçonnement	130
Tableau 42 Comparaison des poids des planchers	144
Tableau 43 Total des ratios de l'ouvrage (béton et acier), variante dalle réticulée, CYPECAD	145
Tableau 44 Total des ratios de l'ouvrage (béton et acier), variante du plancher-dalle, CYPECAD	145
Tableau 45 Résumé de budget, variante de la dalle réticulée	146
Tableau 46 Résumé de budget, variante du plancher-dalle en béton armé	146
Tableau 47 Equivalents en CO2 émis par le projet pour chaque variante	148

Liste des figures

Figure 1 Situation du projet.....	3
Figure 2 Vue en plan du projet.....	3
Figure 3 Vue en élévation du projet.....	4
Figure 4 Carte de zonage sismique selon le RPS2000v2011	5
Figure 5 Les différents types de planchers en béton (photo prise d'une brochure de CCL)	11
Figure 6 schéma illustrant le ferrailage d'une dalle en post tension.....	12
Figure 7 schéma illustratif d'une dalle alvéolaire	14
Figure 8 Paramètres caractéristiques de la dalle réticulée.....	14
Figure 9 Réticulé de blocs perdus	15
Figure 10 Dalle réticulée, caissons récupérables	15
Figure 11 Maillage idéal pour les planchers réticulés image prise du document "Planchers réticulés dans CYPECAD"	17
Figure 12 Schéma simplifié des dalles réticulées avec caissons récupérables.....	18
Figure 13 Dimensions minimales recommandées pour les panneaux du plancher réticulé.....	19
Figure 14 Critère de dimensionnement des panneaux de bord	20
Figure 15 Epaisseur minimale de la couche de compression préconisée par les normes espagnoles avant l'apparition de l'EHE	20
Figure 16 Contreventement longitudinal d'un bâtiment, disposition des pans rigides.....	24
Figure 17 Plan de coffrage du plancher haut R.D.C.	27
Figure 18 Modèle du bâtiment étudié sous Robot Structural Analysis Professional 2014	34
Figure 19 Coefficient de réduction des pressions dynamiques, R III. 2 NV 65.....	47
Figure 20 Variation du coefficient de réduction des pressions dynamiques selon la hauteur..	48
Figure 21 Construction prismatiques quadrangulaires reposant sur le sol, coefficient α	50
Figure 22 Coefficient de réponse d'après les règles NV65	54
Figure 23 schéma illustratif d'un plancher-dalle.....	59
Figure 24 Disposition des aciers des dalles en béton armé	61
Figure 25 Géométrie du plancher haut du 1er étage	62
Figure 26 Type de ferrailage sur logiciel robot 2014.....	62
Figure 27 Processus de calcul robot 2 : états limites.....	63
Figure 28 schéma de ferrailage du plancher haut 1er étage (lit inférieur d'armatures principales $A_x(-)$)	65
Figure 29 Schéma de disposition des armatures de renforcement	65
Figure 30 Schéma de ferrailage du plancher haut 1er étage (lit supérieur d'armatures principales $A_x(+)$)	66
Figure 31 Disposition des armatures de renforcement.....	66
Figure 32 Schéma de ferrailage du plancher haut 1er étage (lit supérieur d'armatures $A_y(+)$)	67
Figure 33 Schéma de disposition des armatures de renforcement	67
Figure 34 Schéma de ferrailage du plancher haut 1er étage (lit inférieur d'armatures $A_y(-)$)	68
Figure 35 Schéma de disposition des armatures de renforcement du coin du contour du noyau	68
Figure 36 Cartographie du ferrailage $A_x[+]$ Principal du balcon 544 donnée par Robot 2014	70
Figure 37 Cartographie du ferrailage $A_y[+]$ du balcon 544 donnée par Robot 2014	70
Figure 38 Cartographie du ferrailage inférieure $A_x[-]$ du balcon 544	72

Figure 39 Cartographie du ferrailage Ay[-] du balcon 544.....	73
Figure 40 Rupture par poinçonnement d'un plancher-dalle en béton armé (image prise de la thèse N° 4812 (2010) EPFL)	74
Figure 41 Disposition des armatures de poinçonnement, planchers-dalles	75
Figure 42 Armatures de poinçonnement, espacements des armatures, (EC 2-1-1, Fig. 9.10a).....	75
Figure 43 Espacements des armatures de poinçonnement en barres relevées (EC 2-1-1, Fig. 9.10b).....	75
Figure 44 Géométries possibles des ressauts des planchers-dalles face au poinçonnement	76
Figure 45 Caractéristiques des caissons de la dalle réticulée	79
Figure 46 Schéma illustratif des poutres périmètres de la dalle réticulée	80
Figure 47 Schéma illustratif d'un panneau de la dalle réticulée	81
Figure 48 Cartographie du ferrailage inférieur, direction X	81
Figure 49 Disposition du ferrailage dans la nervure	82
Figure 50 Cartographie du ferrailage supérieur, direction X	82
Figure 51 Cartographie du ferrailage supérieur, direction X, armatures choisies.....	83
Figure 52 Renforts au cisaillement dans les panneaux des dalles réticulées, image prise du doc "Planchers réticulés dans CYPECAD"	84
Figure 53 Armatures transversales de poinçonnement des panneaux des dalles réticulées, image prise du doc "Planchers réticulées dans CYPECAD"	85
Figure 54 Détails constructifs avec rames verticales, armatures au poinçonnement, dalles réticulées type blocs perdus.....	85
Figure 55 Ferrailage de la poutre périmètre de la dalle réticulée par CYPECAD	87
Figure 56 Schéma illustratif des détails constructifs du bord extrême de la dalle réticulée	88
Figure 57 Schéma illustratif des détails constructifs du changement de côte	88
Figure 58 Schéma illustratif des détails constructifs de l'appui du plancher réticulé sur voile.	89
Figure 59 Comportement d'un voile en béton armé (image prise de GC document, dimensionnement des voiles en BA par R.Taleb et B.Eldjouzi)	91
Figure 60 Modèle d'un voile sollicité en flexion composée (image prise du « GC document, dimensionnement des voiles en BA » par R.Taleb et B.Eldjouzi)	92
Figure 61 Niveau de vérification des contraintes du voile (image prise du même document "GC document, dimensionnement des voiles en BA")	94
Figure 62 Dimensions minimales des potelets d'après le PS 92	96
Figure 63 Section droite d'un trumeau	97
Figure 64 Vérification du non glissement	99
Figure 65 Cartographie de ferrailage du voile considéré, ferrailage vertical.....	106
Figure 66 Cartographie de ferrailage du voile considéré, ferrailage horizontal	107
Figure 67 Position du poteau Pg4	108
Figure 68 Armatures participant à la résistance du poteau	111
Figure 69 Disposition du ferrailage du poteau	111
Figure 70 Ferrailage et dimensions du poteau Pg4	112
Figure 71 Zones critiques d'un poteau (image prise du RPS 2000 V 2011)	112
Figure 72 Zone critique poteau-remplissage (image prise du RPS2000 V 2011).....	112
Figure 73 Diagrammes des sollicitations du poteau Pg4 obtenus sur CYPECAD, modèle du plancher-dalle en BA.....	113
Figure 74 Ferrailage du poteau Pg4 sur CYPECAD, modèle du plancher dalle en BA	113
Figure 75 Diagrammes des sollicitations du poteau Pg4 obtenus sur CYPECAD, variante de la dalle réticulée	114

Figure 76 Ferrailage du poteau Pg4 sur CYPECAD, modèle du plancher réticulé	114
Figure 77 Position poutre-poteau et excentricité de leurs axes (image prise du RPS2000 V2011 p.60).....	116
Figure 78 Zone critique d'une poutre (image prise du RPS2000 V2011 p.61)	117
Figure 79 Quelques types courants de fondations sur radier:(a) radier-dalle, (b) radier à dalle sur socles, (c) radier nervuré, (d) radier à dalle sous socles, (e) radier cellulaire ou caisson.	121
Figure 80 Modélisation des charges et réactions au niveau du radier.....	122
Figure 81 La réaction du sol sur un radier rigide	122
Figure 82 paramètres modélisant le radier sur Robot 2014	123
Figure 83 Cartographie de la réaction du sol à l'ELS.....	131
Figure 84 Cartographie de la réaction du sol par combinaison accidentelle.....	131
Figure 85 Cartographie du ferrailage supérieur, armatures principales Ax (+)	133
Figure 86 Cartographie du ferrailage, armatures perpendiculaires aux celles principales Ay (+).....	134
Figure 87 Récapitulatif du ferrailage supérieur du radier	135
Figure 88 Cartographie du ferrailage, armatures principales Ax (-)	136
Figure 89 Cartographie du ferrailage, armatures Ay (-).....	137
Figure 90 Récapitulatif du ferrailage inférieur du radier	138
Figure 91 Cartographie contrainte de cisaillement τ_{xy} (combinaison la plus défavorable)...	139
Figure 92 Cartographie de la contrainte de cisaillement τ_{xx} (combinaison la plus défavorable)	139
Figure 93 Choix du renfort au poinçonnement sur CYPECAD.....	141
Figure 94 Cartographie de la flèche, plancher haut 1er étage, variante du plancher-dalle, CYPECAD	143
Figure 95 Cartographie de la flèche, plancher haut du 1er étage, variante de la dalle réticulée, CYPECAD	144

Liste des annexes

Annexe 1 Plan architectural du plancher-haut 1er étage.....	152
Annexe 2 Résultats de l'essai pressiométrique	153
Annexe 3 Déformés du bâtiment dans le mode le plus défavorable	154
Annexe 4 Cartographies de la flèche, des contraintes de cisaillement et du ferrailage A_x (+) (par ROBOT 2014) :	155
Annexe 5 Plans de ferrailage du plancher-haut 1er étage pour les deux variantes des dalles donnés par CYPECAD 2019	158
Annexe 6 Détails de ferrailage du voile du 2ème sous-sol calculé par CYPECAD 2019 pour les deux variantes	159
Annexe 7 Ferrailage du poteau Pg4 à l'aide de CYPECAD pour les deux variantes.....	160
Annexe 8 Vérification du soulèvement du radier.....	161
Annexe 9 Plans de ferrailage du radier pour les deux variantes par CYPECAD.....	164
Annexe 10 Ratios de chaque étage pour chaque variante	165
Annexe 11 Poinçonnement du radier, vérification du poteau P3, variante du plancher-dalle, par CYPECAD	174
Annexe 12 Résultats de vérification de la stabilité vis-à-vis du poinçonnement du plancher- dalle 1er étage pour tous les poteaux	175

Introduction

Le projet de construction Anfa Club est considéré parmi les grands projets sur le point d'être réalisés par la société d'investissement immobilier Asma Invest basée à Casablanca. Il s'inscrit dans le cadre du projet Casa Anfa dont le but majeur est de moderniser le paysage urbain de la ville de Casablanca, contribuant ainsi au rayonnement de la capitale économique tout en développant des infrastructures aux standards internationaux. C'est ainsi qu'on voit, de plus en plus, des projets d'Immeubles de Grande Hauteur proliférer dans cette zone urbaine.

En raison de la grande diversité qu'offrent les méthodes et les techniques modernes de construction, les maîtres d'ouvrage visent un compromis entre l'aspect architectural, la stabilité de la structure, la rapidité d'exécution et surtout l'optimisation du coût. C'est à partir de là où commence le rôle de l'ingénieur, qui, dans sa première conception de l'ouvrage, se doit d'intégrer l'ensemble des données relatives au projet afin d'arriver à proposer des solutions capables de dépasser ces contraintes.

L'une des parties majeures de la conception d'un ouvrage et plus particulièrement d'un immeuble de grande hauteur est le choix du système de planchers, le premier élément structural intervenant dans le cycle de transmission des charges. Un choix optimal peut conduire à des économies majeures en termes de matière première et de main d'œuvre et peut donc constituer non seulement une rentabilité pour le projet mais également une solution écologique s'inscrivant dans le cadre du développement durable.

C'est dans cette perspective que s'inscrit notre projet de fin d'études : Conception et dimensionnement du LOT107 (bloc 8), un bâtiment R+15 avec deux sous-sols, tout en s'intéressant plus particulièrement à l'étude comparative de deux variantes de plancher : Le plancher-dalle en béton armé et la dalle réticulée, censées, à première vue, convenir aux particularités du projet.

Ainsi, le présent rapport commence par un chapitre introductif où l'on présente brièvement le projet et ses données techniques. On procèdera par la suite à une conception générale des éléments structuraux et notamment des planchers tout en fixant les deux variantes principales à étudier. On enchaînera par la modélisation du bâtiment à l'aide de deux logiciels de calcul par éléments finis : CYPECAD et ROBOT 2014 pour le calcul dynamique et l'analyse sismique du bâtiment et on passera par la suite à l'extraction et l'interprétation des résultats de calcul ainsi qu'à leur exploitation en vue de procéder aux vérifications réglementaires. On étudiera également l'action du vent afin déterminer l'effet le plus défavorable. On passera par la suite à l'étude des deux variantes de planchers fixées, le dimensionnement des éléments structuraux et du système de fondation. Le dernier chapitre du rapport sera consacré à l'étude comparative des deux variantes de planchers proposées, objectif principal de notre projet de fin d'études.

Chapitre 1 : Présentation générale du projet et analyse des données techniques

I. Présentation générale du projet :

Situation et descriptif du projet :

Le lot107 du projet Anfa Club se situe dans la nouvelle zone urbaine d'Anfa, sur une surface de 1,1 ha au niveau de l'ancien aéroport d'Anfa. Il s'agit de la construction d'un ensemble résidentiel comprenant :

- Deux sous-sols : le 1^{er} sous-sol se situe à -4,53m/TN et le 2^{ème} à -7,23m/TN.
- Un RDC de hauteur égale à 3,1m.
- Et 6 à 15 étages.

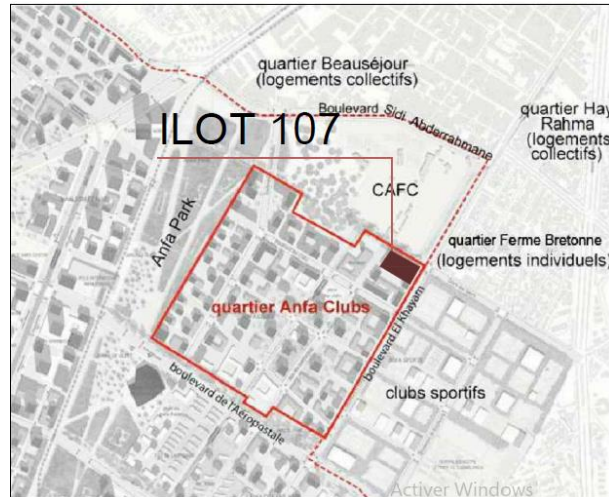


Figure 1 Situation du projet

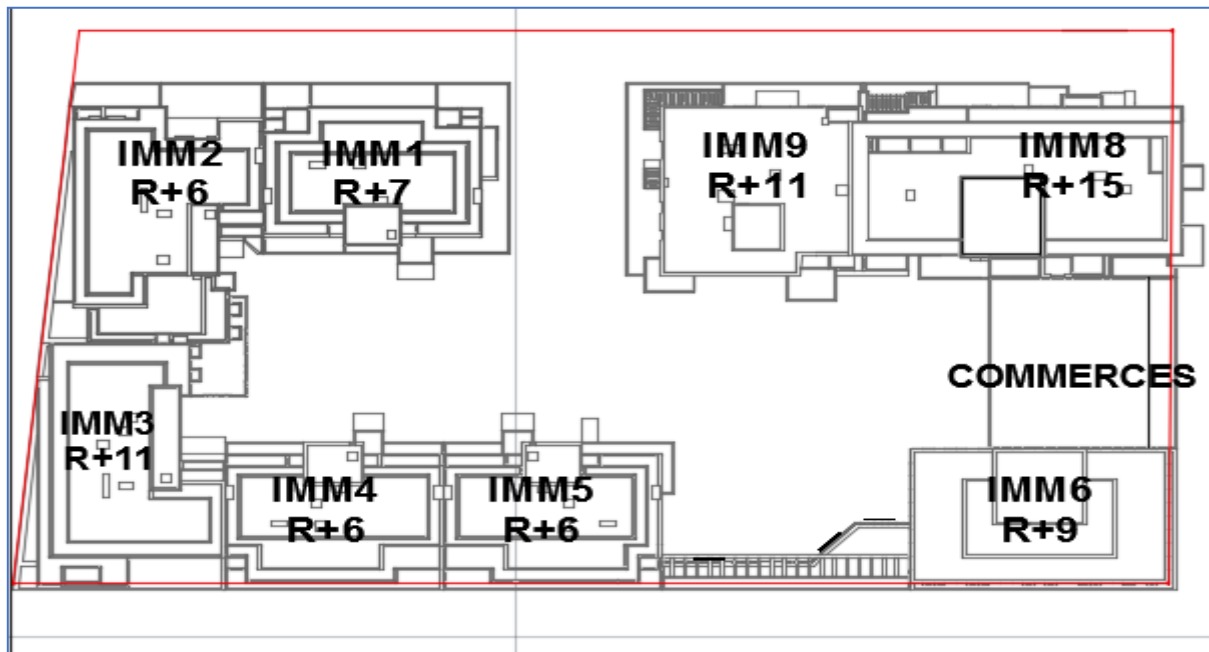


Figure 2 Vue en plan du projet

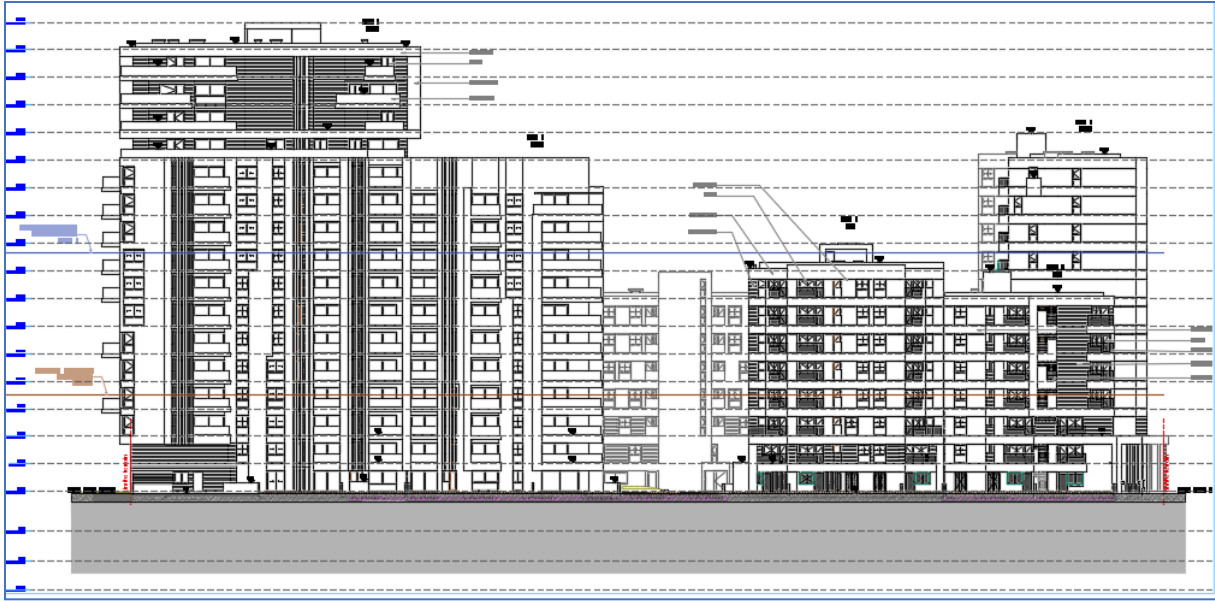


Figure 3 Vue en élévation du projet

Notre projet sera l'immeuble 8 (en R+15 avec deux sous-sols).

Le plan architectural du plancher-haut du 1^{er} étage est présenté en annexe 1.

II. Analyse des données techniques :

1. Données géotechniques :

1.1. Etudes géotechniques effectuées :

Les études géotechniques correspondant au présent projet (LOT 107-ANFA CLUB-CASABLANCA) ont été effectuées par le Laboratoire Public d'essais et d'études LPEE.

Le programme de reconnaissance adopté comprend :

- 2 sondages carottés pressiométriques, profonds de 20 m
- 5 sondages carottés profonds de 16.50 à 20 m, jumelés à des essais pressiométriques.
- Des essais en laboratoire ;
- Equipement piézométrique de deux sondages carottés afin de déterminer le niveau de la nappe et suivre ses fluctuations.

1.2. Résultats de l'essai pressiométrique :

Les résultats du sondage SP1 de l'essai pressiométrique effectué par le Laboratoire LPEE sont présentés en Annexe 2.

La nature du sol « Grès calcaire très dure » (présent dans tous les sondages de l'essai pressiométriques) indique qu'il n'y a pas de risque de liquéfaction.

2. Analyse des données de calcul sismiques :

2.1. Classification de la zone sismique du site :

L'emplacement du projet appartient à la province de Casablanca-Anfa, tableau 1, donc le projet appartient à la zone sismique 2[1].

Province	Commune	Vitesse	Zone sismique en vitesse	Zone sismique en accélération
Casablanca-Anfa	Anfa	10	2	2
Casablanca-Anfa	El Maarif	10	2	2
Casablanca-Anfa	Moulay Youssef	10	2	2
Casablanca-Anfa	Sidi Belyout	10	2	2
Machouar Casablanca	Machouar Casablanca	10	2	2

Tableau 1 Zonage sismique selon le RPS2000v2011

2.2.Coefficients d'accélération et de vitesse :

- Coefficient de vitesse :

Les valeurs des coefficients de vitesse pour les différentes zones sont indiquées dans le tableau 2 [1] :

Paramètre de vitesse $v/1(m/s)$	Numéro de zone de vitesse
0.00	0
0.07	1
0.10	2
0.13	3
0.17	4

Tableau 2 Coefficient de vitesse selon le RPS2000v2011

Ainsi, le coefficient de vitesse est égal à 0,10

- Coefficient d'accélération :

La carte du zonage sismique en accélération est donnée par la figure4[1] :

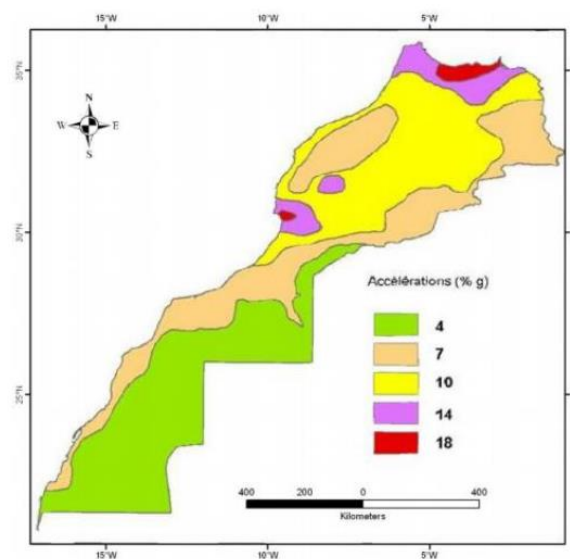


Figure 4 Carte de zonage sismique selon le RPS2000v2011

D'après la figure ci-dessus, notre projet appartient à la zone en couleur jaune. Soit donc un coefficient d'accélération de 0,10.

- Coefficient du site :

D'après les résultats des sondages géotechniques effectués, le sol en place est constitué par des formations fermes rocheuses.

Le classement des sites en cinq types est adopté en fonction des caractéristiques mécaniques du sol et de son épaisseur, comme présenté dans le tableau 3 [1]:

Sites	Nature	Coefficient
S1	Rocher toute profondeur Sols fermes épaisseur < 30 m	1
S2	Sols fermes épaisseur ≥ 30 m Sols meuble épaisseur < 30 m	1,2
S3	Sols meubles épaisseur ≥ 15 m Sols Mous épaisseur < 10 m	1,4
S4	Sols Mous épaisseur ≥ 10 m	1.8
S5	Conditions spéciales	*

Tableau 3 Valeurs des coefficients de site (RPS2000v2011)

Ainsi, le site du projet est de type S1, donc le coefficient de site est égal à 1.

- Coefficient de priorité :

Le coefficient de priorité est donné en fonction de la nature des bâtiments par le tableau 4 [1] :

Classe de constructions	Coefficient I
Classe I	1.30
Classe II	1.20
Classe III	1.0

Tableau 4 Coefficient de priorité selon le RPS2000v2011

Les bâtiments du projet appartiennent à la classe des bâtiments ordinaires, et donc à la classe III.

Soit un coefficient de priorité: $I = 1$

- Facteur de comportement K :

Le facteur de comportement K, ou bien le facteur de réduction de la force sismique de calcul caractérise la capacité de la structure à dissiper l'énergie par comportement inélastique [1].

Ce coefficient est donné par le tableau 5 [1] en fonction du type de système de contreventement et du niveau de ductilité de la structure.

Classes De Batiments	Niveau du Seisme (V : Facteur De Vitesse)		
	$v \leq 0.10$	$0.10 < v \leq 0.20$	$0.20 < v$
CLASSE I	ND1	ND2	ND3
CLASSE II			
CLASSE III	ND1		ND2

Tableau 5 Niveau de ductilité selon le RPS2000v2011

On a :

- Bâtiment de classe III
- Coefficient du site $S1=1$
- Facteur de vitesse = 0,10

Soit, un niveau de ductilité ND1.

Système de contreventement	ND 1	ND2	ND 3
OSSATURES EN BETON ARME			
Portiques en Béton armé	2	3.5	5
Voile et Portique	2	3	4
Voile	1.4	2.1	2.8
Voiles couplés	1.8	2.5	3.5
OSSATURES EN ACIER			
Portique à nœuds rigides	3	4.5	6
Ossature contreventée	2	3	4

Tableau 6 Facteur de comportement selon le RPS2000V2011

Vu que le type de contreventement adopté pour notre projet est un contreventement par voiles en BA, alors, le facteur de comportement est $K=1,4$.

• **Tableau récapitulatif des données sismiques (tableau 7) :**

Désignation	Valeur
Zone sismique	2
Coefficient de vitesse	0,10
Coefficient d'accélération	0,10
Coefficient de site $S1$	1
Niveau de ductilité	ND1
Facteur de comportement K	1,4
Coefficient de priorité I	1

Tableau 7 Tableau récapitulatif des données sismiques

3. Charges et surcharges :[2][3]

- Charges permanentes :
 - Etage courant : 250 Kg/m^2
 - Balcons : 350 Kg/m^2
 - Toiture : 350 Kg/m^2
 - Parkings : 250 kg/m^2
- Charges d'exploitation :
 - Etage courant : 150 Kg/m^2
 - Balcons : 350 Kg/m^2
 - Toiture : 150 Kg/m^2
 - Parkings : 250 Kg/m^2

III. Contraintes liées au parking :

- Dimensions des espaces de stationnement pour un parking :

Les deux normes NF-P 91-100 et NF-P 91-120 qui s'adressent respectivement aux parkings de stationnement respectivement publics et privés définissent les dimensions des espaces de stationnement relatives aux parkings.

Elles définissent les règles de stationnement relatives aux véhicules légers de moins de 3,5t et de 1,9m de haut (dimensions des espaces de stationnement, rampes d'accès, voies de circulation et la hauteur minimale).

- **Rampe d'accès et voies de circulation :**

- Elles doivent être libres de tout obstacle sur toute leur largeur et sur une hauteur minimale de 2m (Mesurée perpendiculairement à la surface dans le cas d'une rampe).
- Hauteur calculée pour un empattement minimal des véhicules de 3m.
- La pente mesurée sur l'axe limitée à 18 %.
- Largeur des voies de circulation est de moins de 2,8m en sens unique et 5m en sens double.
- Sur une distance de 4 m en retrait de l'alignement des façades au débouché sur la voirie, la pente de la rampe ne doit pas excéder 5 %.

Chapitre 2 : Conception et pré dimensionnement des éléments structuraux

I. Planchers :

Les planchers désignent les structures porteuses horizontales d'un édifice. Ces porteurs horizontaux supportent leur propre poids, des revêtements, des murs, des cloisons ainsi que les charges d'exploitation. Ils peuvent être réalisés à partir de divers matériaux dont le béton. Différents types de planchers en béton sont possibles selon l'usage de la construction.[4]

Généralement le plancher est constitué de trois parties distinctes à savoir : le revêtement, la partie portante et le plafond.

- **Le revêtement** repose sur la partie portante. Ce peut être du carrelage, parquet en bois, dallages divers, revêtements synthétiques. Il doit être adapté au type de la construction, il doit garantir essentiellement une isolation acoustique et thermique satisfaisante, tout en présentant un aspect esthétique convenable.
- **La partie portante** doit résister aux charges transmises par le poids propre et aux surcharges prévues par les règlements en vigueur. Le poids propre comprend, outre le poids de l'élément porteur lui-même, le poids du revêtement et celui du faux-plafond. Les surcharges à admettre, dans le calcul des planchers, sont fixées par NF P 06-001 et NF P 06-004 du règlement [5].
- **Le plafond** est réalisé sous l'élément porteur, c'est un enduit de plâtre, ce peut être des plâtres préfabriqués en matériaux de tous genres. Il contribue à l'amélioration de l'isolation qui peut être obtenue tout en obéissant à l'esthétique.

Les planchers doivent répondre aux critères suivants :

- **Critères structuraux** de résistance et de stabilité : résistance aux charges transmises et assurance d'une flèche minimale préconisée par le règlement, ainsi que des critères de durabilité.
- **Critères d'étanchéité** : protection contre les pénétrations de l'eau, l'air et les différents agents qui peuvent nuire à la qualité du plancher.
- **Critères d'isolation** : thermiques et acoustique, afin d'assurer le confort et le bien-être des habitants.
- **Critères esthétiques ou architecturaux.**
- **Critères techniques** : facilité de mise-en-œuvre, liaisons avec les éléments porteurs et facilité de passage de gaines électriques, d'eau et de chauffage...

Plusieurs types de planchers peuvent être considérés :

1. Les planchers-dalles et les dalles pleines :



Figure 5 Les différents types de planchers en béton (photo prise d'une brochure de CCL)

1.1. Les planchers dalles :

Ce sont des planchers à sous face horizontale, sans aucune retombée de poutre et s'appuient directement sur des poteaux. On trouve les planchers-dalles, les planchers-dalles avec sur-épaississements aux appuis, les planchers-dalles avec chapiteaux, les planchers-dalles à sur-épaississements et les planchers-champignons avec éventuellement un épanouissement sous forme de champignons.

- Avantages :
 - Coffrage simple et économique.
 - Absence des retombées des poutres (ce qui est exigé par les contraintes architecturales parfois)
 - Construction rapide.
- Inconvénients :
 - Calculs longs et compliqués, surtout dans le cas d'une maille non régulière de poteaux et de voiles.
 - Nécessité de plus de béton.
 - Le ferrailage est plus important.
 - Les instabilités fréquentes et importantes comme le poinçonnement plus favorisé pour ce type de plancher et nécessite parfois le recours aux dispositions telles que les champignons, les chapiteaux etc...

1.2. La dalle pleine :

C'est une dalle qui porte dans une seule ou deux directions. Ses appuis sont généralement parallèles (poutre ou voile).

- Avantages : le calcul est facile, l'épaisseur est réduite, possibilité de l'adapter aux formes non-usuelles ...
- Inconvénients : les retombées des poutres sont importantes et créent des problèmes d'encombrement.

1.3. Les planchers nervurés :

On appelle plancher nervuré l'ensemble constitué de nervures (ou poutrelles) supportant des dalles de faible portée. Les nervures peuvent être en béton armé ou en béton précontraint, coulés sur place ou préfabriquées sur site ou en usine.

Elles reposent elles-mêmes sur des poutres principales ou des voiles. Elles ont des formes variées (rectangulaires, trapézoïdales, en I, en T, en double paroi, etc...). Les dalles peuvent être préfabriquées en totalité ou en partie (prédalle), en béton armé ou précontraint par fils adhérents.

- Avantages : Plancher généralement plus léger, permettant de plus grandes portées grâce aux nervures, qui permettent également la circulation de la chaleur.
- Inconvénients : les retombées sont diminuées mais sont dans ce cas généralisées.

2. Dalle en post tension :



Figure 6 schéma illustrant le ferraillage d'une dalle en post tension

Le béton précontraint par post tension, par ses performances, permet d'atteindre des résultats intéressants grâce à une meilleure utilisation des caractéristiques mécaniques du béton et de l'acier.

Les contraintes, les flèches induites par le poids propre et partiellement les charges d'exploitations sont compensées par celles générées par la courbure des câbles noyés dans l'épaisseur des dalles. En fonction du besoin, il est possible d'agir sur de nombreux paramètres : l'effort dans les câbles, leur courbure et leur espacement.

Cette variante présente plusieurs avantages :

- **Grande portée et optimisation des surfaces :**

La mise en place de câbles dans les deux directions rend possible la diminution du nombre d'éléments porteurs (poutres, poteaux, voiles).

- **Rythme de construction rapide :**

Les cadences de réalisation sont plus rapides que celles constatées sur les bâtiments classiques en béton armé, grâce à la réduction des quantités mises en œuvre.

- **Structures de grande fiabilité :**

De par leur conception et leur principe de fonctionnement, ce type de dalles est moins sujette aux fissurations, ce qui leur confère plus de durabilité et leur nécessite moins d'entretien. En jouant avec le dosage de la post contrainte, les flèches sont mieux contrôlées allant jusqu'à la possibilité d'annuler les flèches dues aux charges permanentes pour un meilleur comportement en service

- **Facilité d'approvisionnement et de manutention :**

L'approvisionnement du chantier est largement simplifié, puisqu'il n'y a pas de transport lourd. La manutention ne nécessite pas d'engins de levage importants en particulier dans des zones inaccessibles aux grues.

- **Economie de matériaux :**

La meilleure utilisation des hautes performances des matériaux permet de diminuer les quantités de matériaux (béton, aciers...) mis en œuvre et ainsi de réduire les coûts.

- **Une technique dans le sens du développement durable :**

La diminution des quantités de matériaux mis en œuvre est le paramètre le plus efficace pour réduire l'impact énergétique et l'émission de gaz à effet de serre (bilan carbone) dans la construction des ouvrages.

3. Dalle alvéolaire :

La dalle alvéolaire est constituée d'alvéoles évidées qui vont alléger son poids. Elle est réalisée en béton armé ou en béton précontraint en usine, ses besoins en main-d'œuvre et l'achat de matériaux pour le ferrailage et le coulage du béton sont réduits. La dalle alvéolaire peut avoir une longueur pouvant aller jusqu'à 14 m sans ajout d'éléments porteurs. La mise en place de la dalle alvéolaire suppose le recours à des systèmes de levage spécifiques aux grands chantiers. [4]

Ce type de planchers entraîne des frais supplémentaires relatifs aux engins de levage nécessaires.

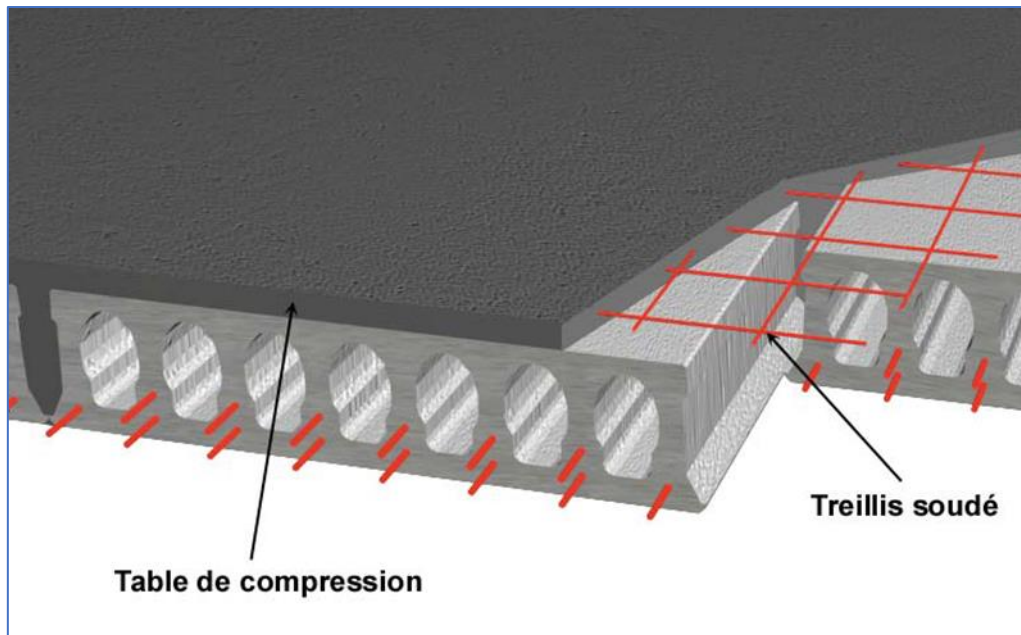


Figure 7 schéma illustratif d'une dalle alvéolaire

4. Dalle réticulée :

4.1. Généralités :

C'est un type de plancher en béton armé, reposant sur des poteaux et des voiles (et non des poutres), constitué de caissons avec joints.

« La dalle réticulée appartient à la famille des dalles en béton armé, non homogènes, allégées et armées, suivent deux directions orthogonales, configurant une plaque nervurée. » [6]

La structure admet que ses flexions puissent être reprises et analysées suivant deux directions d'armature, et forme avec les supports un ensemble structurel spatial capable de bien supporter les actions verticales réparties et ponctuelles mais d'une façon moindre les actions horizontales.

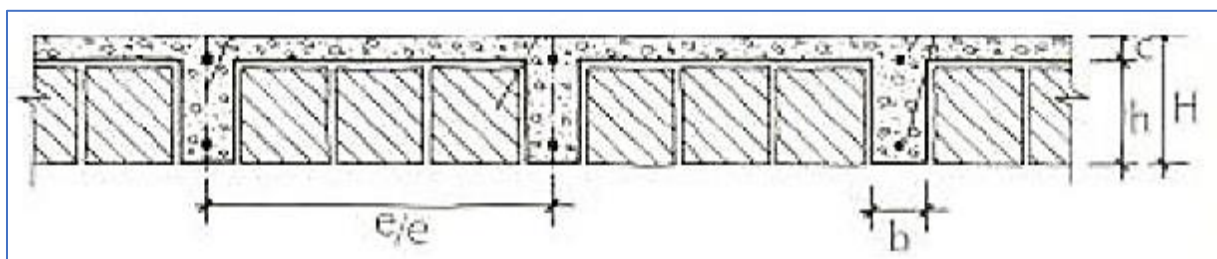


Figure 8 Paramètres caractéristiques de la dalle réticulée

4.2. Choix du type des planchers réticulés :

Concevoir ou choisir un type de plancher réticulé revient à définir le type des blocs à employer.

On distingue généralement entre deux types de blocs :

- **Dalle réticulée avec blocs allégés ou perdus :**



Figure 9 Réticulé de blocs perdus

- **Dalle réticulée avec caissons récupérables :**

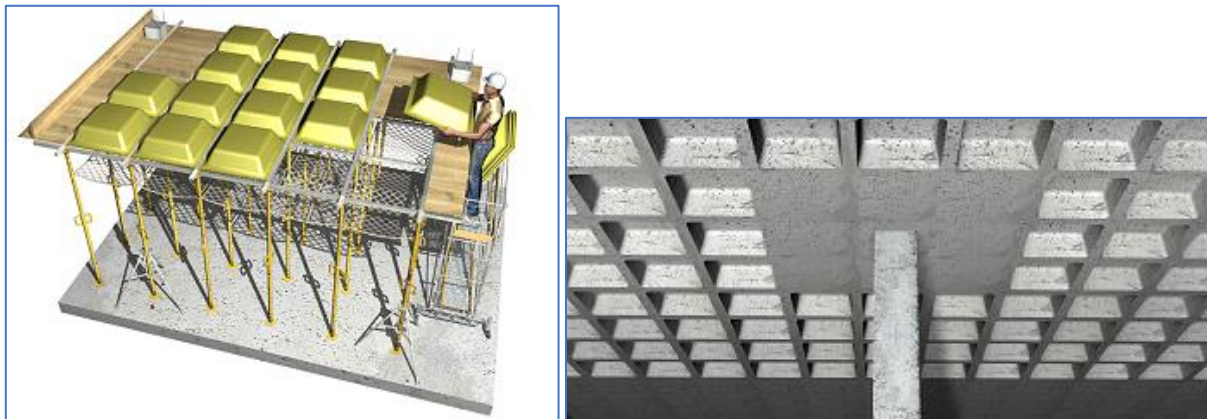


Figure 10 Dalle réticulée, caissons récupérables

5. Choix des variantes à étudier :

Les planchers à considérer comme variantes possibles pour l'étude de ce projet sont : Plancher-dalle en béton armé et plancher réticulé, pour les raisons suivantes :

- Les contraintes architecturales exigent le choix d'un système de plancher sans retombé de poutre, à savoir : Plancher dalle en béton armé, plancher réticulé et dalle en post-tension.
- Les dalles précontraintes ne sont pas économiques dans notre gamme de portée et cas de chargement.
- L'étude de la variante de dalle en post-tension n'est pas prise en compte par le bureau d'étude TPF Pyramide ingénierie.

6. Prédimensionnement :

6.1. Plancher-dalle :

6.1.1. Epaisseur minimale en fonction de la durée de résistance au feu :

- $e=6\text{cm}$ pour une demi-heure de coupe-feu ;
- $e=7\text{cm}$ pour une heure de coupe-feu ;
- $e=9\text{cm}$ pour $1\text{h}1/2$ de coupe-feu ;
- $e=11\text{cm}$ pour deux heures de coupe-feu ;
- $e=15\text{cm}$ pour trois heures de coupe-feu ;
- $e=17,5\text{cm}$ pour une coupe-feu de 4heures ;

6.1.2. Epaisseur minimale par le rapport portée/épaisseur :**Données :**

- Charges d'exploitation KN/m^2 : 1,5 (pour un étage courant)
- Hypothèse de départ : dalles non armées au poinçonnement

D'après tableau 4.1 [7], le rapport L/h est égal à 30.

Pour une portée de 8m $\rightarrow h = 26,67 \text{ cm}$. Soit une épaisseur de 30cm.

6.1.3. Flèche admissible :

La flèche maximale doit vérifier les conditions suivantes :

$$f_{\max} \leq \frac{L_{\max}}{500} \text{ si la portée } L_{\max} \text{ est au plus égale à } 5\text{m} \quad (8)$$

$$f_{\max} \leq 0,5 \text{ cm} + \frac{L_{\max}}{1000} \text{ si la portée } L_{\max} \text{ est supérieure à } 5\text{m}. \quad (9)$$

Dans notre cas la plus grande portée dépasse bien les 5m, donc on se trouve dans le cas (9).

On prédimensionne pour une portée de 8m. donc la flèche doit vérifier l'inégalité :

$$f_{\max} \leq 1,3 \text{ cm}$$

Et on a :

$$f_{\max} \leq \frac{5qL_x^4}{348EI}$$

Donc on doit vérifier :

$$\frac{5qL_x^4}{348EI} \leq 1,3 \text{ cm}$$

Avec :

$$I = \frac{be^3}{12}$$

On considère une bande de largeur $b=1\text{m}$, donc e doit vérifier :

$$\sqrt[3]{\frac{60qL_x^4}{348bE \times 1,3}} \leq e$$

Pour une bande de largeur $b = 1\text{m}$ et une épaisseur $e = 30\text{cm}$ on a :

$$\left. \begin{array}{l} - Q = 0,150 \text{ t/m}^2 \\ - G = 2500 \times 1 \times 0,3 + 250 \times 1 = 1 \text{ t/m}^2. \end{array} \right\} q = 1,15 \text{ t/m}^2.$$

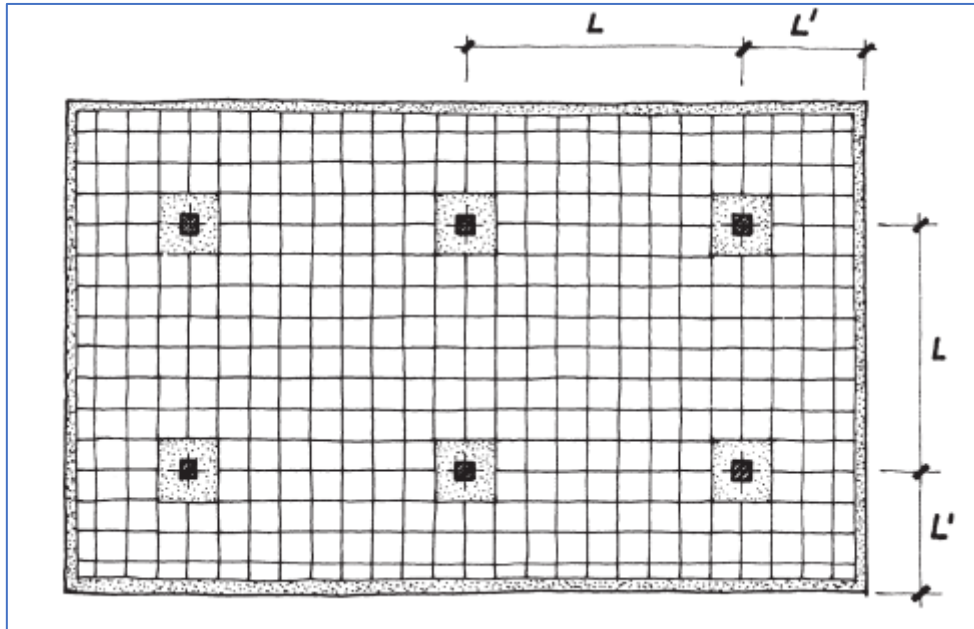
On trouve : $e \geq 26,88 \text{ cm} \rightarrow e = 30 \text{ cm}$ est bien acceptable.

6.2.Dalle réticulée :

6.2.1. Caractéristiques géométriques :

6.2.1.1.Portée et épaisseur :

Les planchers réticulés permettent des portées allant jusqu'à 8m et parfois plus.



$$5\text{m} \leq L \leq 7\text{m} \text{ et } 0,8\text{-}1\text{m} \leq L' \leq 1,5\text{-}2\text{m}$$

Figure 11 Maillage idéal pour les planchers réticulés image prise du document "Planchers réticulés dans CYPECAD"

Les épaisseurs de planchers réticulés pour les charges conventionnelles $q \leq 300 \text{ Kf/m}^2$ sont données par le tableau 8[8] :

Épaisseurs de plancher réticulé pour charges conventionnelles $q \leq 300 \text{ kf/ m}^2$			
$q = \text{Charge d'exploitation}$			
Portée (cm)	EHE (cm)	N.T.E. (cm)	CONSEILLÉ PAR EXPÉRIENCE
≤ 4	15	20	20-23
≤ 5	20	20	23-25
≤ 6	20	25	25-27
≤ 7	25	25	28-30
≤ 8	30	30	30-35

Tableau 8 Epaisseurs des planchers réticulés pour charges conventionnelles $< 300 \text{ Kf/m}^2$, d'après CYPE Ingenieros

Pour les panneaux en retombée :

Pour de grandes portées, des charges de plus en plus importantes, ou bien pour les problèmes de poinçonnement ou la mise en place des armatures supérieures constructives, il devient nécessaire de donner une épaisseur plus grande aux panneaux déduites des élancements basiques. Dans ce cas, il serait raisonnable d'introduire des panneaux avec une épaisseur de l'ordre 1/20. Et en estimant l'épaisseur de la zone allégée pour une portée de 2/3 soit 70% de la portée entre appuis, en appliquant 1/24 à la zone allégée [8].

Pour les consoles :

CONSOLE (m)	ÉPAISSEUR (cm)
1	20
1,25	20-23
1,5	23-25
1,75	25-26
2	25-28
2,5	28-30
3	30
> 3	À ÉTUDIER

Tableau 9 Epaisseurs des consoles conseillées en fonction de la portée, d'après CYPE Ingenieros

6.2.1.2. Entraxe et orientation des nervures :

- La distance maximale entre les nervures est égale à 1m d'après la norme EHE¹
- La distance maximale entre les nervures est égale à 1,5m d'après les Eurocodes.
- La valeur de l'entraxe la plus utilisée est égale à 80cm dans les deux directions.

6.2.1.3. Géométrie des nervures :

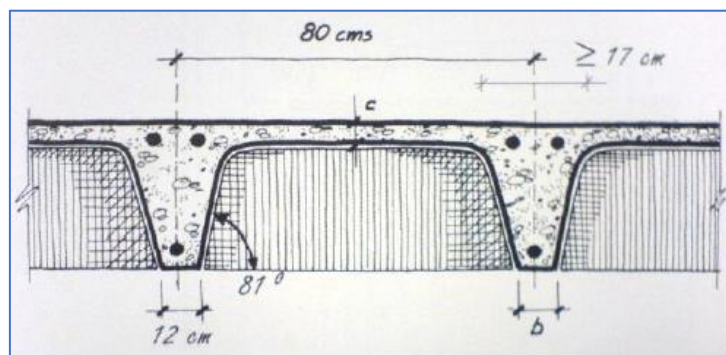


Figure 12 Schéma simplifié des dalles réticulées avec caissons récupérables

¹Règlementation technique espagnole relative au projet et à l'exécution des travaux en béton structural, qu'il soit en masse, armé ou prétendu. Elle est entrée en vigueur le 1-7-1999.

La largeur minimale des nervures de la dalle réticulée est généralement prise égale à 7cm et supérieure au quart de la hauteur du caisson h :

$$b \geq 7cm \text{ et } b \geq \frac{h}{4} cm$$

Les investigations menées sur le marché espagnol affirment que les valeurs prises sont généralement de l'ordre :

- Caissons en blocs perdus de béton $b \geq 10cm$
- Caissons en blocs récupérables $b \geq 12cm$

6.2.1.4.Géométrie des panneaux :

Les panneaux sont les zones massives qui entourent les poteaux dans les dalles réticulées. Leur rôle est la transmission des charges des nervures aux poteaux et résister au poinçonnement du poteau.

Les dimensions minimales recommandées pour les panneaux sont :

- $0,15L$ entre le centre du poteau et le bord du panneau où L : la portée parallèle.

$0,17L$ peut aussi être adoptée parfois.

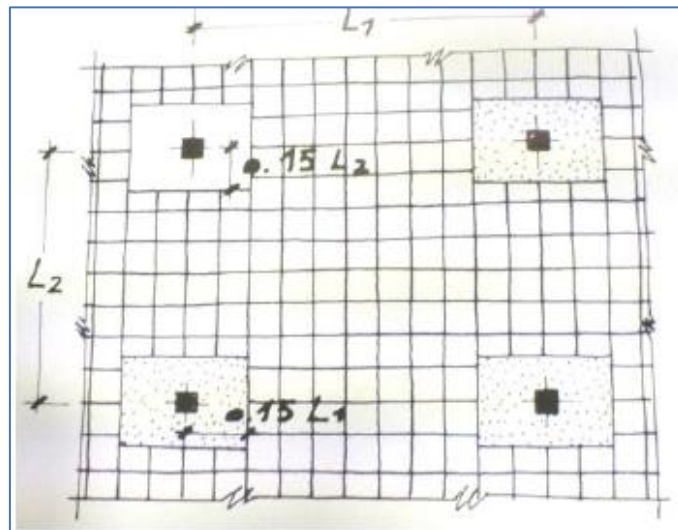


Figure 13 Dimensions minimales recommandées pour les panneaux du plancher réticulé

Par sécurité, la règle de compensation consiste à prendre la même dimension de part et d'autre de l'axe du poteau. Si le porte-à-faux ne dépasse pas 1m, il est conseillé d'étendre le panneau jusqu'au bord, sinon on prend $0,5V$ où V est la distance entre le poteau et le bord.

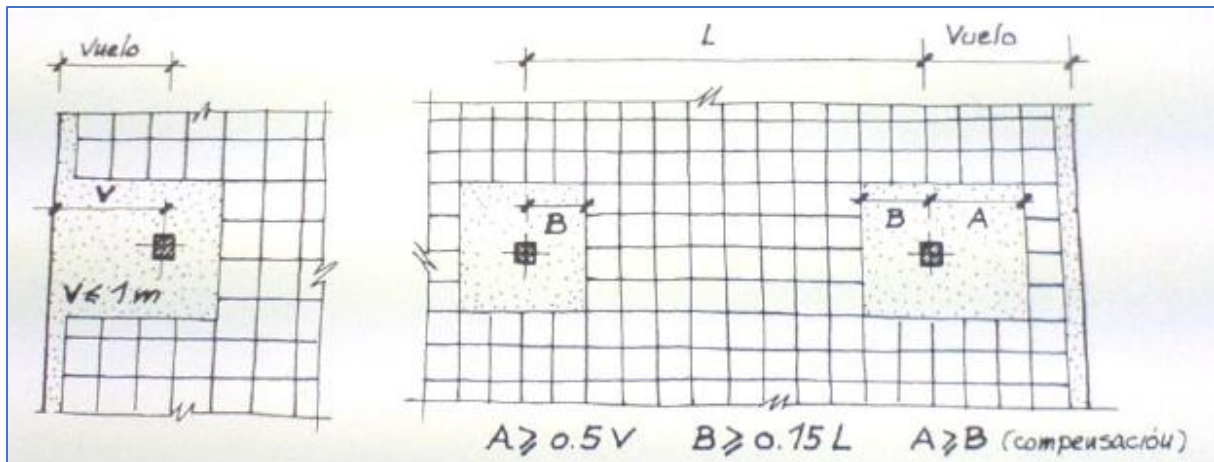


Figure 14 Critère de dimensionnement des panneaux de bord

6.2.1.5. La couche de compression :

L'épaisseur c de la couche de compression est fixée [9]:

- Pour les cas des blocs perdus, à 3 cm au minimum ;
- Pour les caissons récupérables : $c \geq \frac{L}{10}$ où L : portée libre entre nervures.

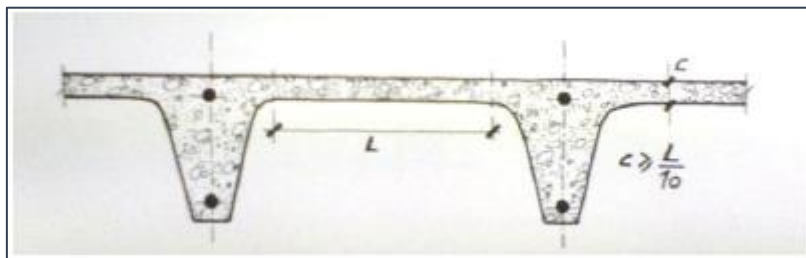


Figure 15 Epaisseur minimale de la couche de compression préconisée par les normes espagnoles avant l'apparition de l'EHE

« La séparation entre les axes des nervures ne doit pas dépasser 100cm et l'épaisseur de la couche de compression ne doit pas être inférieure à 5cm, en ajoutant des armatures de répartition des mailles ». Article 56.2 [10]

6.2.1.6. Les poutres de bords et des réservations :

Bandes de bords et des réservations : des poutres situées au niveau des bords de la plaque réticulée et des réservations.

Rôles des bandes :

- Enlacer et lier la plaque aux poteaux.
- Renforcer les panneaux
- Supporter de manière directe le périmètre de la façade.
- Contribuer à la résistance aux poinçonnements de la plaque au niveau des poteaux de bords qui sont les plus défavorables.
- Redistribuer les efforts normaux.
- En zone sismique, maintenir la rigidité de la structure.

- Permettre l'ouverture des réservations dans les dalles réticulées, même dans une construction achevée et distribuer les efforts concentrés aux bords de ces dalles.

6.2.2. Prédimensionnement :

La dalle réticulée choisie est une dalle réticulée avec blocs perdus en polystyrène.

D'après ce qui précède, pour des portées inférieures à 8m et charges conventionnelles comme indiqué sur la partie Chapitre 2. III.4 fig.9 [8], l'épaisseur conseillée par expérience varie de 30 à 35cm.

Dans notre cas, étant donnée l'existence de portées qui s'élèvent à 8m, les règles de bonnes pratiques recommande d'ajuster l'épaisseur entre $L/20 \sim L/22$, soit : $e_{totale} = 40\text{cm}$

Pour l'épaisseur de la dalle de compression on prend : $e_{couche\ compression} = 5\text{cm}$.

Le modèle de la dalle réticulée sur CYPECAD est présenté dans la partie de l'étude de la variante du plancher réticulé.

Les dimensions et la forme des panneaux sont générées par CYPECAD.

Récapitulatif :

- Entre axe : on prend 80 cm (l'entre axe le plus utilisé)
- Epaisseur du plancher : $H = L_{max}/22 = 8/22 = 0.36\text{m}$ donc soit $H=40\text{cm}$
- Epaisseur de base de nervure = 12 cm $> h/4 = 40/4 = 10\text{ cm OK}$.

II. Eléments porteurs :

1. Poteaux :

Dans la conception des poteaux, les règles prises en compte sont :

- Règles de continuité par rapport aux poteaux des autres étages.
- Contraintes architecturales d'espace (zones réservées aux parkings...) : La disposition des poteaux et des voiles (des éléments verticaux) ne doit pas gêner la circulation et le stationnement des véhicules dans le parking.

Les dimensions de la section transversale du poteau, h_c et b_c étant respectivement la plus grande et la plus petite dimension [1] :

$$\left\{ \begin{array}{l} b_c \geq 25\text{ cm (Ductilité ND1 et ND2)} \\ \frac{H}{b_c} \leq 16 \text{ Avec } H : \text{ hauteur de l'étage} \end{array} \right.$$

Les poteaux peuvent être prédimensionnés par la condition de coffrage donnée par l'inégalité suivante :

$$B_r \geq \frac{\frac{N_u}{\alpha}}{\frac{f_{c28}}{0,9\gamma_b} + \frac{f_e}{100\gamma_s}} \quad (1)$$

Avec :

B_r : Section réduite du poteau obtenue en déduisant 1cm de béton sur toute la périphérie ;

N_u : Effort normal ultime appliqué au poteau ;

α : Coefficient fonction de l'élancement mécanique λ du poteau.

$$\alpha = \frac{0,85}{1 + 0,2 \times \left(\frac{\lambda}{35}\right)} \quad \text{pour } \lambda \leq 50 \quad (2)$$

$$\alpha = 0,6 \times \left(\frac{50}{\lambda}\right)^2 \quad \text{pour } 50 < \lambda \leq 70 \quad (3)$$

Les valeurs de λ sont à diviser par k tel que :

- $K=1,1$ si la majorité des charges est appliquée avant 90 jours ;
- $K=1,2$ si la majorité des charges est appliquée avant 28 jours, et on remplace f_{cj} par f_{c28} ;
- $K=1$ pour les autres cas.

Pour que toutes les armatures participent à la résistance, il faut que l'élancement mécanique soit égal à 35. Soit $\alpha = 0,708$ (2).

Pour un poteau rectangulaire définie par les dimensions a et b telles que $a < b$ (poteau Pg4) :

L'effort normal ultime : $N_u = 4447 \text{ KN}$

En utilisant l'inégalité (1) on obtient la condition suivante sur B_r :

$$B_r = (a - 2(\text{cm}))(b - 2(\text{cm})) \geq 2746,86 \text{ cm}^2 \quad (4)$$

Les dimensions du poteau a et b sont telles que [1] :

- $a \geq 25\text{cm}$ (ductilité ND1)
- $h/a \leq 16$ où h désigne la hauteur nette du poteau.

Le poteau est de dimensions $50 \times 70 \text{ cm}^2$: $a = 50 \text{ cm}$ et $h = 6,2 \text{ m} \rightarrow$ la plus petite dimension du poteau vérifie bien la condition : $a \geq 38,75\text{cm}$ et $h/a \leq 16$.

La grande dimension doit vérifier la condition (4) : $b = 70 \text{ cm} \geq 59,23 \text{ cm} \rightarrow$ vérifié.

2. Voiles :

Les voiles et murs sont des éléments ayant deux dimensions grandes par rapport à la troisième appelée épaisseur, généralement verticaux et chargés dans leur plan. Ces éléments peuvent être de type maçonnerie (armée ou non armée), c'est-à-dire les murs, ou bien des murs en béton armé auxquels on réservera le nom de voiles.

Leur rôle est de reprendre les différentes charges permanentes et d'exploitation apportées par les autres éléments structuraux tels que les poutres et les planchers. Ils servent également à participer au contreventement de la structure, ils jouent aussi un rôle d'isolation acoustique.

Le voile est l'élément structural vertical principal de la structure :

- Il s'agit d'une structure R+15 avec deux sous-sols, le choix des voiles va permettre d'éviter d'avoir des sections très grandes des poteaux vu l'importance des charges transmises, et d'avoir une structure spacieuse.
- Solution pour le contreventement général de la structure.

L'épaisseur minimale du voile est fonction de la hauteur nette h_e de l'étage et des conditions de rigidité des extrémités. [1]

$$\left\{ \begin{array}{l} e_{\min} = \min(15 \text{ cm}, h_e/20) \text{ pour un voile non rigidifié à ses deux extrémités.} \\ e_{\min} = \min(15 \text{ cm}, h_e/22) \text{ pour un voile rigidifié à une extrémité.} \\ e_{\min} = \min(15 \text{ cm}, h_e/25) \text{ pour un voile rigidifié à ses deux extrémités.} \end{array} \right.$$

Dans le cas de la présente structure, la hauteur nette d'un étage est $h_e=3,10\text{m}$, les voiles sont rigidifiés à leurs deux extrémités (cas des étages courants). On trouve alors : $e_{\min} = 15\text{cm}$

Pour assurer une meilleure sécurité, on adopte une épaisseur $e = 25\text{cm}$ pour les voiles des cages d'escaliers et $e = 20\text{cm}$ pour ceux des deux ascenseurs.

3. Poutres :

Le prédimensionnement des poutres est réalisé en exploitant la condition de flèche[5]:

$$\frac{h}{L} \geq \frac{1}{10} \text{ pour les poutres isostatiques (5)}$$

$$\frac{h}{L} \geq \frac{1}{16} \text{ pour les poutres continues (6)}$$

Généralement, les hauteurs de prédimensionnement des poutres prises sont fixées à la valeur $L/10$ pour les poutres isostatiques et $L/16$ pour les poutres continues arrondies à 5cm près.

D'autres part, les dimensions de la poutre doivent vérifier :

$$0,3h \leq b_0 \leq 0,5h \quad (7)$$

Où :

b_0 : Largeur de la poutre

h : Hauteur de la poutre

L : Portée de la poutre

Pour la poutre continue du RDC dont la plus grande portée est égale à 3,85 m :



Données : $L=3,85 \text{ m}$

Pour une hauteur $h = 25$ cm, la condition (6) est bien vérifiée.

Une largeur de 12 cm elle vérifie bien la condition (7).

III. Contreventement :

Le type de contreventement adopté est un contreventement par voiles en béton armé, assuré entièrement par les voiles de la structure. En effet, le souci primordial de la conception est de prévoir des dispositions assurant la stabilité générale et le contreventement longitudinal d'ensemble des bâtiments, elles doivent assurer la résistance aux forces horizontales prises en compte dans les calculs (action du vent, séisme...) et aux dommages et déformations excessifs dus aux effets de certaines sollicitations exceptionnelles, telles que des explosions localisées[11]. En outre, par souci de limiter les inconvénients liés aux variations dimensionnelles sous l'effet de retrait et de températures, il s'avère judicieux de constituer un noyau de stabilité situé en partie centrale de l'immeuble (ascenseur et cages d'escaliers).

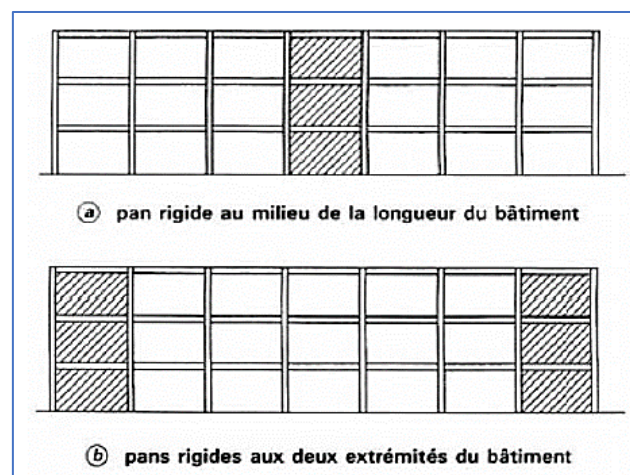


Figure 16 Contreventement longitudinal d'un bâtiment, disposition des pans rigides

Remarque :

Ce type de contreventement adopté est traduit sur ROBOT 2014, par encastrement de l'ensemble des voiles, ce qui revient à supprimer tous les relâchements linéaires et nœuds des voiles, par contre pour les poteaux, conserver des liaisons articulées. Dans ce cas, les poteaux ne seront pas conçus de manière à supporter les efforts sismiques (i.e. seront dimensionnés en compression simple).

Chapitre 3 : Analyse sismique du bâtiment

I. Etude de la régularité du bâtiment :

1. Régularité en plan :

La structure doit présenter une forme en plan simple, telle que le rectangle, et une distribution de masse et de rigidité sensiblement symétrique vis à vis de deux directions orthogonales au moins, le long desquelles sont orientés les éléments structuraux. Lorsque le système structural n'est pas orienté le long d'un ensemble d'axes orthogonaux la structure est considérée irrégulière. [1]

Pour que la structure puisse être considérée régulière en plan, elle doit vérifier un ensemble de règles planes[1] :

- a) La forme en plan simple du système structural de l'immeuble.
- b) En présence de parties saillantes ou rentrantes, leurs dimensions ne doivent pas dépasser 0,25 fois la dimension du côté correspondant :

$$a + b \leq 0,25B$$
- c) A chaque niveau, la distance entre le centre de masse et le centre de rigidité, mesurée perpendiculairement à la direction de l'action sismique, ne doit pas dépasser 0,20 fois la racine carrée du rapport de la raideur de torsion sur la raideur de translation. Cela se traduit numériquement de la façon suivante[1]:

$$\begin{aligned} e_x &\leq 0,2r_x \\ e_y &\leq 0,2r_y \end{aligned}$$

Avec :

$$r^2 = \frac{\text{raideur de torsion}}{\text{raideur de translation}}$$

$$e_x = |X_G - X_C|$$

$$e_y = |Y_G - Y_C|$$

$$r_x^2 = \frac{\sum_i I_i x_i^2}{\sum_i I_i} \quad \text{et} \quad r_y^2 = \frac{\sum_i I_i y_i^2}{\sum_i I_i}$$

- d) L'élancement (Grand côté L/Petit côté B) ne doit pas dépasser la valeur 3,5 [1]:

$$\frac{L}{B} \leq 3,5 \quad (8)$$

Vérifications :

- La forme en plan du bâtiment est bien simple.
- Vérification du plancher haut R.D.C. (figure 17) :

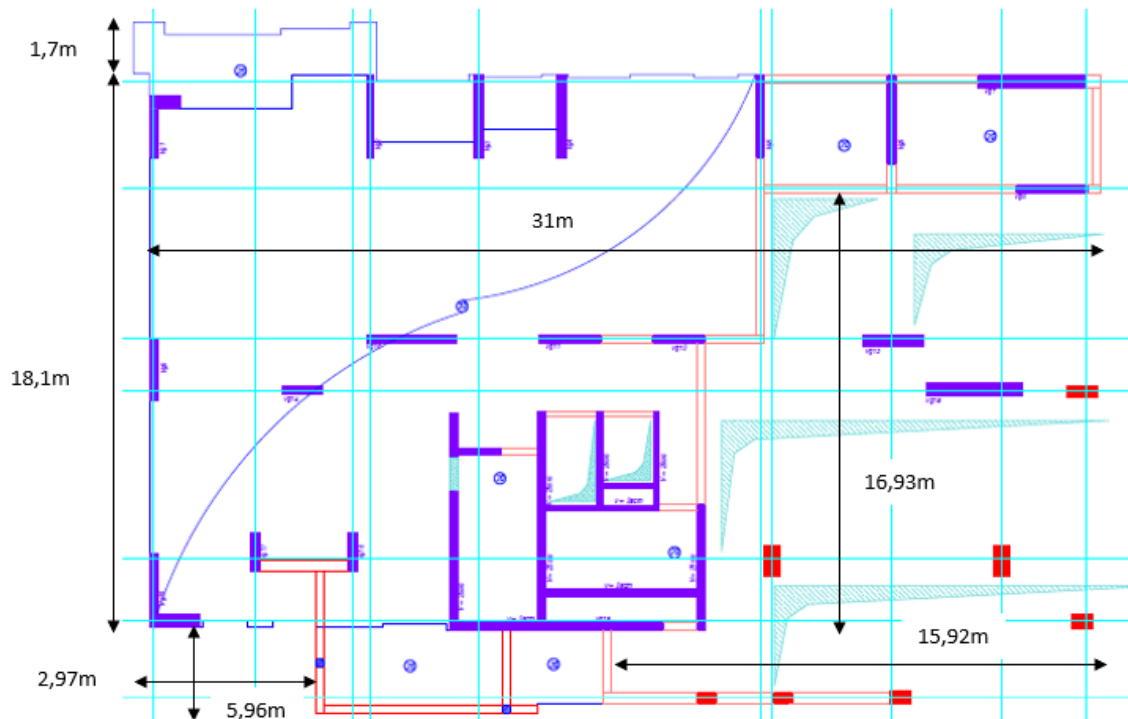


Figure 17 Plan de coffrage du plancher haut R.D.C.

Suivant la direction X, $B = 31\text{m}$ et on a :

$$5,96 + 15,92 = 21,88\text{m} > 0,25B = 7,75\text{m}$$

Suivant la direction Y, $B = 18,1\text{m}$ et on a :

$$16,93 + 5,96 + 1,7 = 24,59 > 0,25B = 5,6175\text{m}$$

Donc : la deuxième règle est non vérifiée.

Vu qu'ils existent des plans qui ne respectent pas la règle de régularité exigée[1], on peut affirmer que la condition n'est pas vérifiée pour ce bâtiment.

Les résultats sont regroupés dans le tableau 10 :

Etage	Direction	a+b	B	0,25B	Vérification
RDC	Suivant X	21,88	31	7,75	Non
	Suivant Y	24,59	18,1	4,525	Non
1er étage	Suivant X	13,9	32,13	8,0325	Non
	Suivant Y	4,32	18,1	4,525	Oui
Etages : 2,4,6,7,8,9 et 10	Suivant Y	27,7	32,13	8,0325	Non
	Suivant Y	4,06	18,1	4,525	Oui
Etages : 3 et 5	Suivant X	25,66	32,13	8,0325	Non
	Suivant Y	4,06	18,1	4,525	Oui
Etage 11	Suivant X	28,18	32,13	8,0325	Non
	Suivant Y	4,06	18,1	4,525	Oui
Etage 12					Oui
Etage 13	Suivant X	2,92	30,73	7,6825	Oui
	Suivant Y	4,01	14,64	3,66	Non
Etage 14	Suivant X	2,93	30,73	7,6825	Oui
	Suivant Y	3,59	14,64	3,66	Oui
Etage 15					Oui

Tableau 10 Régularité en plan des différents étages

b) L'écart entre le centre de masse et le centre de rigidité est clairement non vérifiée surtout suivant l'axe Y.

Le tableau 11 montre que cette condition n'est pas satisfaite.

Etag	Centre de masse (m)		Centre de rigidité (m)		r_x et r_y		Ecart centre de masse/rigidité		$0,2*r$		Vérifications	
	G_x	G_y	R_x	R_y	r_x	r_y	$e_x=XG-XC$	$e_y=YG-YC$	$0,2*r_x$	$0,2*r_y$	Suivant x	Suivant y
RDC	-0,24	8,48	-0,13	3,16	22,61	15,28	0,11	5,32	4,522	3,056	Oui	Non
R+1	3,31	8,22	-0,15	3,16	22,52	15,28	3,46	5,06	4,504	3,056	Oui	Non
R+2	3,18	8,45	-0,2	2,97	22,37	15,39	3,38	5,48	4,474	3,078	Oui	Non
R+3	2,95	8,61	-0,26	3,1	22,37	15,39	3,21	5,51	4,474	3,078	Oui	Non
R+4	3,18	8,45	-0,2	2,97	22,37	15,39	3,38	5,48	4,474	3,078	Oui	Non
R+5	2,97	8,55	-0,27	2,97	22,37	15,39	3,24	5,58	4,474	3,078	Oui	Non
R+6	3,18	8,45	-0,2	2,97	22,2	15,17	3,38	5,48	4,44	3,034	Oui	Non
R+7	3,18	8,45	-0,2	2,97	22,2	15,17	3,38	5,48	4,44	3,034	Oui	Non
R+8	3,14	8,54	-0,19	2,98	22,2	15,17	3,33	5,56	4,44	3,034	Oui	Non
R+9	3,13	8,55	-0,2	2,98	21,58	15,12	3,32	5,57	4,316	3,024	Oui	Non
R+10	3,13	8,55	-0,2	2,98	21,58	15,12	3,33	5,57	4,316	3,024	Oui	Non
R+11	2,72	8,24	-0,23	1,84	21,58	15,12	2,92	6,4	4,316	3,024	Oui	Non
R+12	2,19	6,94	-1,34	1,27	18,29	9,17	3,53	5,67	3,658	1,834	Oui	Non
R+13	2,82	6,69	-1,34	1,27	18,31	9,12	4,16	5,42	3,662	1,824	Non	Non
R+14	3,01	6,74	-1,34	1,27	18,31	9,12	4,35	5,47	3,662	1,824	Non	Non
R+15	2,35	7,09	-1,34	1,26	18,29	9,14	3,69	5,83	3,658	1,828	Non	Non

Tableau 11 Vérification de l'écart entre le centre de masse et le centre de rigidité pour les différents étages

c) Le plus grand rapport L/B des planchers-hauts des étages de cet immeuble est :

$$\frac{L}{B} = \frac{30,73}{14,64} = 2,1 < 3,5 \rightarrow \text{La condition (8) est vérifiée.}$$

Conclusion :

D'après les différentes vérifications effectuées ci-dessus, on peut conclure que la structure de cet immeuble est non régulière en plan [1].

2. Régularité en élévation :

Pour que le bâtiment soit régulier en élévation, il doit nécessairement respecter les conditions suivantes[1]:

- a) La distribution de la rigidité et de la masse doit être sensiblement régulière le long de la hauteur :
- Les variations de la rigidité entre deux étages successifs ne doivent pas dépasser 30%.
Ce qui revient à vérifier que :

$$\left\{ \begin{array}{l} \frac{(\sum_i I_x(i) - \sum_i I_x(i+1))}{\sum_i I_x(i)} \leq 30\% \text{ dans la direction } x \quad (9) \\ \frac{(\sum_i I_y(i) - \sum_i I_y(i+1))}{\sum_i I_y(i)} \leq 30\% \text{ dans la direction } y \quad (10) \end{array} \right.$$

- Les variations de la masse entre deux étages successifs ne doivent pas dépasser 30%.
Ce qui revient à vérifier que :

$$\frac{M_i - M_{i+1}}{M_i} \leq 30\% \quad (11)$$

Où I_i représente l'inertie du voile i et M_i la masse de l'étage i .

- b) Dans le cas d'un rétrécissement graduel en élévation, le retrait à chaque niveau ne doit pas dépasser 0,15 fois la dimension en plan du niveau précédent sans que le retrait global ne dépasse 25% de la dimension en plan au niveau du sol.
- c) Dans le cas d'un élargissement graduel en élévation, le retrait à chaque niveau ne doit pas dépasser 10% de la dimension en plan du niveau précédent sans que le débordement global ne dépasse pas 25% de la dimension en plan au niveau du sol.

a)

La condition de variation de la masse est non vérifiée entre le RDC et le 1^{er} étage. Donc non vérifiée en général.

Ainsi, les valeurs limites pour les variations de masse et de rigidité entre les différents étages de l'immeuble exigées (9), (10) et (11) ne sont pas respectées. Les résultats sont regroupés dans le tableau 12 :

	Suivant X		Suivant Y		Masse(t)	
Etage	I _x	Rapport	I _y	Rapport	M(t)	Rapport
RDC	6271,85	0,01	2327,66	0,002	617528,11	0,358
R+1	6334,52	0,068	2331,41	0,02	838720,64	0,027
R+2	5903,13	0	2284,83	0	815765,45	0,021
R+3	5903,13	0	2284,83	0	798823,23	0,021
R+4	5903,13	0	2284,83	0	815783,97	0,017
R+5	5903,13	0,026	2284,83	0,06	801491,69	0,020
R+6	5747,47	0	2147,73	0	817864,1	0
R+7	5747,47	0	2147,73	0	817864,1	0,008
R+8	5747,47	0,026	2147,73	0,139	824204,72	0,001
R+9	5898,33	0	2447,33	0	823584,38	0
R+10	5898,33	0	2447,33	0	823584,42	0,068
R+11	5898,33	0,510	2447,33	0,894	767465,44	0,202
R+12	2896,39	0,002	258,76	0,049	612650,36	0,068
R+13	2890,21	0	246,06	0	571094,01	0,003
R+14	2890,21	0,002	246,06	0,008	572614,52	0,202
R+15	2895,23	1	243,97	1	688579,24	1
		Non vérifié		Non vérifié		Non vérifié

Tableau 12 Ratio des masses et des moments d'inertie entre les différents étages

b)

Le rétrécissement entre les étages 11 et 12 est de : $18,1 - 16,37 = 1,73$ et on a :

$0,15 \times 18,1 = 2,715 > 1,73 \rightarrow$ Condition vérifiée.

Le rétrécissement entre les étages 12 et 13 est de : $16,37 - 14,64 = 1,73$ et on a :

$0,15 \times 16,37 = 2,4555 > 1,73 \rightarrow$ Condition vérifiée.

c)

L'élargissement entre les étages 14 et 15 est de : $16,31 - 14,64 = 1,67$ et on a :

$0,1 \times 14,64 = 1,464 < 1,67 \rightarrow$ Condition non vérifiée.

Conclusion :

D'après les différentes vérifications effectuées sur la régularité en élévation de la structure de cet immeuble, on peut conclure que ce bâtiment n'est pas régulier en élévation [1].

4. Choix de la méthode d'analyse :

Vu l'irrégularité en plan et en élévation du bâtiment, la méthode statique équivalente n'est pas utilisable[1]. Il s'avère donc nécessaire d'avoir recours à une approche dynamique reposant sur une analyse modale.

II. Approche dynamique:

Si les conditions de régularité ou de hauteur d'une structure, exigées par l'approche statique équivalente ne sont pas satisfaites, il est admis d'utiliser une approche dynamique pour l'analyse de l'action sismique[1].

1. Modélisation sur ROBOT STRUCTURAL ANALYSIS PROFESSIONAL 2014, variante du plancher-dalle en BA :

La modélisation du bâtiment en 3D est effectuée sur Logiciel ROBOT 2014. Après avoir modélisé et tracé l'intégralité du bâtiment sur Autodesk Robot CBS 2014 (Concrete Building Structures), le modèle est exporté vers Robot 2014.

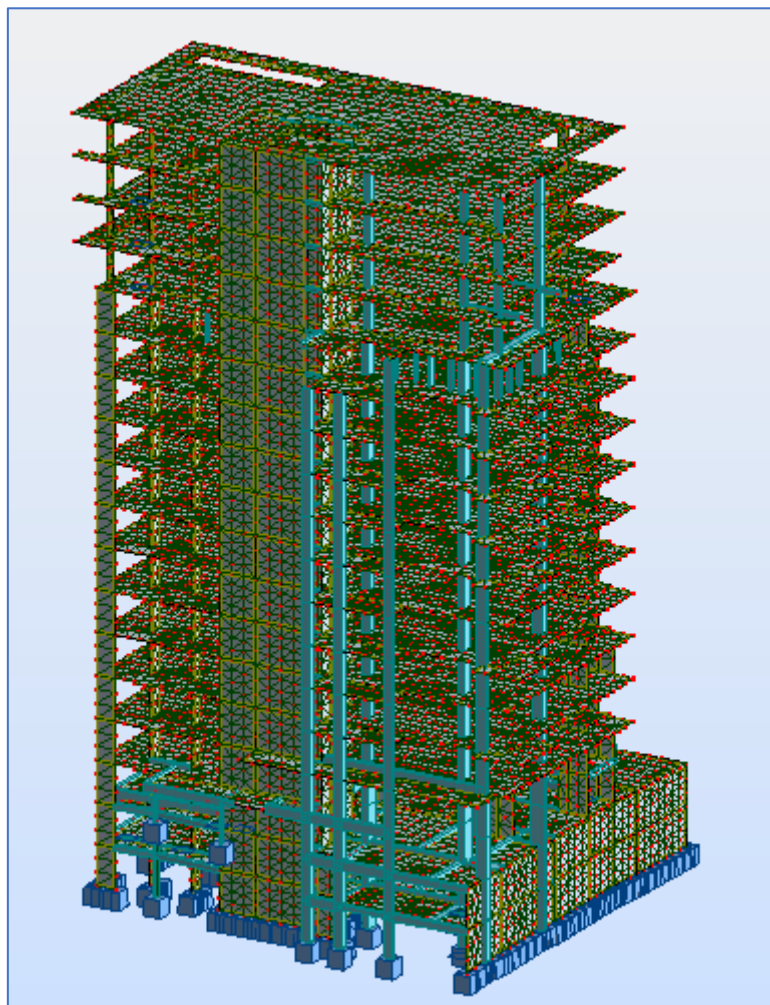


Figure 18 Modèle du bâtiment étudié sous Robot Structural Analysis Professional 2014

1.1. Analyse modale spectrale :

1.1.1. Principe de l'analyse modale :

L'analyse modale spectrale désigne la méthode de calcul des efforts maximaux induits par un séisme donné sur une structure donnée. Considérée comme méthode de référence pour l'étude du comportement de cette dernière sous l'action d'un séisme, elle permet de déterminer le comportement de la structure sous l'effet d'une excitation de direction quelconque au droit des fréquences de résonance. A chacune de ces fréquences correspond un comportement différent de la structure, ou « mode propre ». En fonction des fréquences de ces modes, les sollicitations sismiques sont caractérisées par les spectres de réponse sismique.

Cette analyse dynamique repose sur les hypothèses suivantes :

- La réponse d'une structure est prépondérante au voisinage des fréquences propres dites "de résonance" de la structure.
- Le comportement global de la structure est une superposition de chacun des modes propres.

L'analyse modale spectrale va donc suivre les étapes indiquées ci-dessous :

- Recherche des modes propres de la structure.
- Tri et sélection des modes qui jouent un rôle prépondérant lors d'un séisme et prise en compte éventuellement du pseudo-mode.
- Combinaison des réponses modales.
- Cumul des effets des composantes du mouvement sismique.

1.1.2. Recherche et sélection des modes propres :

L'étude du comportement de la structure du bâtiment est basée sur un système à plusieurs degrés de liberté.

Or, en théorie, l'analyse dynamique permet la détermination d'autant de modes propres que la structure comporte de degrés de liberté.

Pourtant, il n'est pas question d'extraire autant de modes propres que de degrés de liberté. Il faut donc sélectionner le nombre de modes à extraire pour se rapprocher du comportement dynamique réel de la structure.

En effet le nombre limité des modes calculés ne constitue pas un handicap pour les raisons suivantes : [12]

- Pour une action sismique donnée, la réponse globale de la structure est essentiellement constituée de quelques modes principaux ; au-delà d'une certaine fréquence dite la fréquence de coupure ; l'apport des modes supérieurs est négligeable ;
- La technique du mode résiduel permet de prendre en compte l'ensemble des modes supérieurs situés au-delà de la fréquence de coupure.

La sélection des modes propres se fait avec le critère des masses modales effectives. C'est-à-dire la masse qui est excitée pour le mode i .

Le calcul des modes doit être poussé de façon à satisfaire les deux conditions suivantes issues du PS 926.6.2.2. :

- Atteindre la fréquence minimale de 33 Hz dite « fréquence de coupure » dans chaque direction d'excitation.
- Solliciter 90% de la masse totale du système dans chaque direction d'excitation. Au-delà de la fréquence de coupure l'apport des modes supérieurs est négligeable.

1.1.3. Combinaisons des réponses modales :

Le calcul à l'aide d'un spectre permet de déterminer la réponse maximale pour chacun des modes étudiés, et de superposer ces réponses modales en utilisant une des méthodes ci-dessous :

d) Superposition des réponses spectrales SRSS :

La SRSS donne généralement des résultats convenables pour des systèmes ayant des modes de vibration bien séparés. Toutefois, dans une analyse en trois dimensions, des modes dans des directions de calcul différentes peuvent posséder des modes de vibration très semblables, la combinaison SRSS peut sous-estimer les résultats de l'analyse dynamique.

$$r_{max} = \sqrt{\sum_{i=1}^n r_{i\ max}^2}$$

e) Combinaison quadratique complète CQC :

Dans le cas où le système possède des modes très rapprochés, la combinaison quadratique complète donne une meilleure estimation. Elle converge vers la SRSS si les modes sont bien séparés.

$$r_{max} = \sqrt{\sum_{i=1}^n \sum_{j=1}^n \rho_{ij} r_{i\ max} r_{j\ max}}$$

Où :

$$\rho_{ij} = \frac{8\sqrt{\xi_i \xi_j} (\xi_i + r \xi_j) r^{1,5}}{(1 - r^2)^2 + 4\xi_i \xi_j r (1 + r^2) + 4(\xi_i^2 + \xi_j^2) r^2}$$

Avec :

- ρ_{ij} : coefficient de corrélation entre les modes i et j ;

- ξ_k : coefficient d'amortissement pour le mode k (valeurs relatives) ;

- $r = \frac{w_i}{w_j}$: rapport des pulsations propres.

Dans les conditions réelles, les mouvements sismiques sont des mouvements qui se propagent au hasard dans les trois dimensions de l'espace. Pour rendre compte de ce fait, les règlements, notamment le PS 92, proposent de cumuler les effets des composantes du mouvement sismique suivant les combinaisons dites de Newmark :

$$S = \pm S_x \pm \lambda S_y \pm \mu S_z$$

$$S = \pm \lambda S_x \pm S_y \pm \mu S_z$$

$$S = \pm \lambda S_x \pm \mu S_y \pm S_z$$

Où :

- S_x , S_y et S_z désignent les déformations ou sollicitations dues à chacune des composantes horizontales et verticales respectivement et S l'action résultante.
- λ et μ sont généralement pris égaux à 0,3.

Les résultats du calcul modal sont représentés dans le tableau 13:

Mode	Période [sec]	Fréquence (Hz)	Masse modale suivant X (%)	Masse modale suivant Y (%)	Masses cumulées X (%)	Masses cumulées Y (%)
1	1,29	0,78	0,21	60,47	0,21	60,47
2	1,13	0,88	58,67	0,45	58,88	60,92
3	0,74	1,35	2,54	1,62	61,42	62,54
4	0,47	2,14	3,39	2,42	64,81	64,96
5	0,33	3,05	3,24	10,01	68,05	74,98
6	0,32	3,08	0,4	0,84	68,45	75,82
7	0,28	3,56	1,66	0,04	70,11	75,85
8	0,25	4,06	6,78	2,42	76,9	78,27
9	0,17	5,82	0,54	0,55	77,43	78,82
10	0,15	6,5	1,64	3,83	79,08	82,65
11	0,13	7,84	0,61	0,12	79,68	82,77
12	0,12	8,29	1,98	1,19	81,66	83,96
13	0,1	10,11	0,02	0,8	81,68	84,76
14	0,1	10,28	0,22	0,11	81,9	84,87
15	0,1	10,38	1,19	1,36	83,09	86,24
16	0,08	12,37	0,32	0,21	83,41	86,45
17	0,08	12,71	0,73	0,88	84,14	87,33
18	0,07	14,18	0,76	1,24	84,9	88,57
19	0,07	14,48	0,37	0,01	85,27	88,58
20	0,06	15,51	0	0,01	85,27	88,59
21	0,06	15,67	0,05	0,04	85,33	88,62
22	0,06	16,83	0,58	0,94	85,91	89,56
23	0,06	17,14	0,68	0,87	86,59	90,43
24	0,05	18,25	0,16	0,14	86,75	90,57
25	0,05	19,75	1,3	0	88,05	90,57
26	0,05	19,9	0	0	88,05	90,57
27	0,05	20,17	0,04	0,77	88,09	91,34
28	0,05	20,2	0	0,13	88,09	91,47
29	0,05	20,31	0,01	0,05	88,1	91,52
30	0,05	20,54	0,02	0,17	88,12	91,69
31	0,05	20,86	0	0,03	88,13	91,72
32	0,05	20,9	0,05	0,44	88,18	92,16
33	0,05	21,62	0	0,15	88,18	92,32
34	0,05	22,04	0,9	0,02	89,09	92,33
35	0,04	22,61	0,11	0	89,2	92,34
36	0,04	23,07	0,02	0,11	89,22	92,45
37	0,04	23,41	0	0,65	89,22	93,1
38	0,04	23,77	1,2	0,16	90,41	93,27
39	0,04	24,26	0,13	0,45	90,54	93,71
40	0,04	24,38	0,04	0,18	90,58	93,89

Tableau 13 Résultats du calcul modal, ROBOT 2014, variante du plancher-dalle

Remarque :

On n'a pu atteindre une mobilisation de 90% de la masse modale dans les deux directions X et Y sur ROBOT 2014 qu'avec adoption de 40 modes propres

1.2.Vérifications des déplacements :**1.2.1. Vérification du déplacement latéral au sommet :**

Les déplacements horizontaux maximaux obtenus sur logiciel Robot 2014 :

- Déplacement maximal suivant X : $f_x = 5,91 \text{ cm}$ (12)
- Déplacement maximal suivant Y : $f_y = 7,92 \text{ cm}$ (13)

Les déplacements sont ainsi largement inférieurs à la valeur limite imposée par le règlement parasismique[1].

En effet, la flèche totale du bâtiment doit vérifier : $\Delta g \leq 0.004H$ où H est la hauteur totale du bâtiment. Dans notre cas : $H=46,5\text{m}$, soit $0.004H=18,6\text{cm}$ largement supérieure aux déplacements maximaux (12) et (13) obtenus, donc la condition est vérifiée.

Remarque : l'édicule de l'ascenseur du bâtiment n'est pas pris en compte dans la modélisation sur logiciel pour l'analyse sismique du bâtiment vu qu'il fausse le calcul des déplacements. La hauteur totale du bâtiment dans ce cas est : $H = 46,5\text{m}$

1.2.2. Vérification des déplacements entre étages :

Les déplacements latéraux inter-étages évalués à partir des actions de calcul doivent être limités à [1] :

$$K\Delta e \leq 0.010H$$

Où : K est le facteur de comportement

H est la hauteur de l'étage considéré

Les déplacements U_e des planchers-hauts des différents niveaux ainsi que les déplacements inter-étages Δe entre le plancher-haut et le plancher-bas d'un étage sont donnés dans le tableau 14. Ces résultats sont obtenus à l'aide du logiciel Robot 2014.

Etage	Suivant X (mm)			Suivant Y (mm)		
	U _{ex}	e _x	e _{limite}	U _{ey}	e _y	e _{limite}
2ème sous-sol	0,3	0,3	19,28	0,4	0,4	22,143
1er sous-sol	1,5	1,2	32,36	2,5	2,1	22,143
RDC	3	1,5	22,143	4,4	1,9	22,143
R+1	5,9	2,9	22,143	4,4	0	22,143
R+2	9,9	4	22,143	13,7	9,3	22,143
R+3	14,2	4,3	22,143	18,4	4,7	22,143
R+4	18,8	4,6	22,143	24,6	6,2	22,143
R+5	23,5	4,7	22,143	30,2	5,6	22,143
R+6	28	4,5	22,143	35,9	5,7	22,143
R+7	32,4	4,4	22,143	41,4	5,5	22,143
R+8	36,6	4,2	22,143	46,7	5,3	22,143
R+9	40,4	3,8	22,143	51,9	5,2	22,143
R+10	44	3,6	22,143	56,8	4,9	22,143
R+11	45,9	1,9	22,143	59,7	2,9	22,143
R+12	48,1	2,2	22,143	64,6	4,9	22,143
R+13	51,8	3,7	22,143	69,3	4,7	22,143
R+14	55,2	3,4	22,143	73,7	4,4	22,143
R+15	58,1	2,9	22,143	77,7	4	22,143

Tableau 14 Vérification des déplacements inter-étages

Les déplacements inter-étages sont largement inférieurs à la valeur limite[1].

1.3.Vérification de la stabilité au renversement du bâtiment :

La structure doit être dimensionnée pour résister aux effets de renversement dus aux combinaisons des actions de calcul. Un ancrage est exigé si l'effet des charges de calcul tendant à provoquer ce phénomène est supérieur à l'effet de stabilisation, les effets déstabilisants sont les effets de second ordre ou effets P-delta[1].

- La stabilité est considérée satisfaite si : $0,10 \geq \theta = KW\Delta el/vh$
- L'effet du second ordre est à prendre en compte dans les calculs pour :

$$0,20 \geq \theta \geq 0,1$$
- La stabilité est considérée non satisfaite si : $\theta > 0,20$

Où :

Θ : Indice de stabilité

W : poids au-dessus de l'étage considéré

v : Action sismique au niveau considéré

h : Hauteur de l'étage

Δel : Déplacement relatif

K : Coefficient du comportement

Les résultats des différents calculs sont représentés dans le tableau 15:

Etage	Masse (t)	Wr (KN)	Hauteur de l'étage	Suivant la direction X			Suivant la direction Y		
				F _x (KN)	e _x	Θ _x	F _y (KN)	e _y	Θ _y
2 ^{ème} sous-sol	1457,6	132405,1	2,7	7048,07	0,3	0,003	6885,16	0,4	0,004
1 ^{er} sous-sol	1232,9	120076,2	4,53	7075,39	1,2	0,006	6839,54	2,1	0,011
RDC	617,53	113900,9	3,1	6966,99	1,5	0,011	6710,46	1,9	0,015
R+1	838,72	105513,7	3,1	6892,33	2,9	0,02	6613,94	0	0
R+2	815,77	97356,04	3,1	6737,76	4	0,026	6425,36	9,3	0,064
R+3	798,82	89367,81	3,1	6534,29	4,3	0,027	6196,84	4,7	0,031
R+4	815,78	81209,97	3,1	6289,99	4,6	0,027	5939,32	6,2	0,038
R+5	801,49	73195,05	3,1	5991,92	4,7	0,026	5640,47	5,6	0,033
R+6	817,86	52404,47	3,1	5655,48	4,5	0,019	5321,3	5,7	0,025
R+7	817,86	56837,77	3,1	5267,1	4,4	0,021	4964,68	5,5	0,028
R+8	824,2	48595,72	3,1	4831,9	4,2	0,019	4576,3	5,3	0,025
R+9	823,58	40359,88	3,1	4342,95	3,8	0,016	4150,42	5,2	0,023
R+10	823,58	32124,04	3,1	3800,65	3,6	0,014	3678,45	4,9	0,019
R+11	767,47	24449,38	3,1	3195,93	1,9	0,007	3147	2,9	0,01
R+12	612,65	18322,88	3,1	2598,16	2,2	0,007	2617,23	4,9	0,015
R+13	571,09	12611,94	3,1	2062,5	3,7	0,01	2120,03	4,7	0,013
R+14	572,61	6885,792	3,1	1501,96	3,4	0,007	1576,23	4,4	0,009
R+15	688,58	0	3,1	862,48	2,9	0	922,43	4	0

Tableau 15 Vérification de la stabilité au renversement du bâtiment

La stabilité suivant les deux directions X et Y est considérée satisfaite vu que toutes les valeurs de l'indice de stabilité sont bien inférieures à 0,10.

3. Modélisation sur CYPECAD 2019 :

3.1. Variante du plancher-dalle :

L'étude détaillée effectuée par logiciel CYPECAD en utilisant le règlement de construction parasismique marocain version révisée 2011.

Le tableau 16 présente les résultats de l'analyse modale spectrale par CYPECAD pour le modèle de la structure sous la variante du plancher-dalle :

Mode	T	L _x	L _y	L _{gz}	M _x	M _y	Hypothèse X(1)	Hypothèse Y(1)
Mode 1	1.357	0.0944	0.2091	0.9733	11.12 %	55.03 %	R = 1.4 A = 0.686 m/s ² D = 32.0064 mm	R = 1.4 A = 0.686 m/s ² D = 32.0064 mm
Mode 2	1.139	0.1932	0.1312	0.9724	42.82 %	19.92 %	R = 1.4 A = 0.771 m/s ² D = 25.3482 mm	R = 1.4 A = 0.771 m/s ² D = 25.3482 mm
Mode 3	0.945	0.0578	0.0156	0.9982	21.65 %	1.59 %	R = 1.4 A = 0.873 m/s ² D = 19.7664 mm	R = 1.4 A = 0.873 m/s ² D = 19.7664 mm
Mode 4	0.401	0.0792	0.0593	0.9951	3.39 %	1.92 %	R = 1.4 A = 1.497 m/s ² D = 6.10864 mm	R = 1.4 A = 1.497 m/s ² D = 6.10864 mm
Mode 5	0.265	0.4798	0.8631	0.1579	3.92 %	12.82 %	R = 1.4 A = 1.726 m/s ² D = 3.0763 mm	R = 1.4 A = 1.726 m/s ² D = 3.0763 mm
Mode 6	0.227	0.0722	0.0174	0.9972	2.2 %	0.13 %	R = 1.4 A = 1.751 m/s ² D = 2.27931 mm	R = 1.4 A = 1.751 m/s ² D = 2.27931 mm
Mode 7	0.199	0.0949	0.0433	0.9945	6.79 %	1.43 %	R = 1.4 A = 1.752 m/s ² D = 1.75749 mm	R = 1.4 A = 1.752 m/s ² D = 1.75749 mm
Total					91.89 %	92.84 %		

Tableau 16 Résultats de l'analyse modale spectrale, coefficients de participation, CYPECAD, variante du plancher-dalle

3.2.Variante de la dalle réticulée :

Le tableau 17 présente les résultats de l'analyse modale spectrale par CYPECAD pour le modèle de la structure sous la variante de la dalle réticulée :

Mode	T	L _x	L _y	L _{gz}	M _x	M _y	Hypothèse X(1)	Hypothèse Y(1)
Mode 1	1.211	0.0898	0.2337	0.9682	8.71 %	59.33 %	R = 1.4 A = 0.74 m/s ² D = 27.5065 mm	R = 1.4 A = 0.74 m/s ² D = 27.5065 mm
Mode 2	1.007	0.2263	0.1254	0.9659	49.22 %	15.2 %	R = 1.4 A = 0.837 m/s ² D = 21.5029 mm	R = 1.4 A = 0.837 m/s ² D = 21.5029 mm
Mode 3	0.855	0.051	0.017	0.9986	17.89 %	1.99 %	R = 1.4 A = 0.933 m/s ² D = 17.295 mm	R = 1.4 A = 0.933 m/s ² D = 17.295 mm
Mode 4	0.348	0.0753	0.0614	0.9953	3.06 %	2.05 %	R = 1.4 A = 1.587 m/s ² D = 4.86503 mm	R = 1.4 A = 1.587 m/s ² D = 4.86503 mm
Mode 5	0.237	0.4891	0.8643	0.1173	3.99 %	12.53 %	R = 1.4 A = 1.751 m/s ² D = 2.48408 mm	R = 1.4 A = 1.751 m/s ² D = 2.48408 mm
Mode 6	0.200	0.0693	0.0133	0.9975	2.11 %	0.08 %	R = 1.4 A = 1.752 m/s ² D = 1.77787 mm	R = 1.4 A = 1.752 m/s ² D = 1.77787 mm
Mode 7	0.180	0.0972	0.0457	0.9942	6.83 %	1.52 %	R = 1.4 A = 1.752 m/s ² D = 1.44146 mm	R = 1.4 A = 1.752 m/s ² D = 1.44146 mm
Total					91.81 %	92.7 %		

Tableau 17 Résultats de l'analyse modale spectrale, coefficients de participation, CYPECAD, variante dalle réticulée

Où :

T : période de vibration en seconde ;

L_x et L_y : Coefficients de participation normalisés dans chaque direction de l'analyse ;

L_{gz} : Coefficient de participation normalisé correspondant au degré de liberté rotationnelle ;

M_x et M_y : Pourcentage de masse déplacée pour chaque mode dans chaque direction de l'analyse ;

R : Relation entre l'accélération de calcul en utilisant la ductilité attribuée à la structure et l'accélération de calcul obtenue sans ductilité ;

A : accélération de calcul en incluant la ductilité ;

D : coefficient du mode, Equivaut au déplacement maximum du degré de liberté dynamique.

Les déformés du bâtiment dans le mode le plus défavorable pour les deux variantes générées par CYPECAD sont présentées en annexe 3.

Remarque :

Ce bâtiment est juxtaposé avec un immeuble R+11. Les modes propres de la structure et plus particulièrement ceux du 11^{ème} étage fournissent son déplacement maximal qui sera utilisé pour le dimensionnement du joint sismique. Cependant, son calcul ne sera pas effectué vu l'absence de données sur le déplacement maximal de l'immeuble adjacent.

La dimension du joint sismique est fournie par le bureau d'études et est égale à 10cm.

Chapitre 4 : Calcul de l'effet du vent

I. Introduction :

La vérification de la stabilité de la structure et la prise en compte de l'effet du vent dans son calcul s'avère indispensable surtout pour les structures type IGH de grande hauteur. L'analyse de l'effet du vent sur la structure est réalisée en utilisant le règlement NV 65.

II. Calcul de l'effet du vent :

1. Pressions dynamiques de base :

Les pressions dynamiques de base normales et extrêmes sont celles qui s'exercent à une hauteur de 10m au-dessus du sol, pour un site normal sans effet de masque sur un élément dont la plus grande dimension est égale à 0.5. Ses valeurs varient selon les zones.

Le tableau numéro 18 donne les valeurs des pressions dynamiques de base normales et extrêmes en fonction des différentes régions indiquées selon la répartition de la carte du Maroc.

Régions	Pression dynamiques de base	
	Extrême (daN/m²)	Normale (daN/m²)
- I	93.6	53.5
- II	119	68
- III	236	135

Tableau 18 Pression dynamique de base correspondant à chaque région

2. Pression dynamique corrigée :

Elle est donnée par la formule suivante :

$$q = q_{10}.K_h.K_s.K_m.K_d\delta, \text{ avec :}$$

2.1.K_h : Effet de la hauteur au-dessus du sol :

La variation de la vitesse du vent avec la hauteur H dépend de plusieurs facteurs :

- Le site.
- La vitesse maximale du vent.
- Le freinage dû au sol.

q_h reste constante jusqu'à une hauteur de 10m car il n'y a pas d'obstacles.

L'article 1,241 donne la variation de q_h pour une hauteur inférieure à 500m.

$$\frac{q_h}{q_{10}} = 2,5 \times \frac{H + 18}{H + 60}$$

Avec :

- q_h : la pression dynamique agissant à la hauteur H au-dessus du sol exprimée en mètres.
- q₁₀ : la pression dynamique de base à 10m de hauteur.
- H : la hauteur comptée à partir du sol environnant supposé sensiblement horizontal dans un grand périmètre en plaine autour de la construction.

Résultats de calcul de k_h (tableau 19) :

Etage	Hauteur h(m)	$K_h = q_h / q_0$
RDC	3,1	0,836
R+1	6,2	0,914
R+2	9,3	0,985
R+3	12,4	1,05
R+4	15,5	1,109
R+5	18,6	1,164
R+6	21,7	1,215
R+7	24,8	1,262
R+8	27,9	1,305
R+9	31	1,346
R+10	34,1	1,384
R+11	37,2	1,42
R+12	40,3	1,453
R+13	43,4	1,484
R+14	46,5	1,514
R+15	49,6	1,542
Terrasse	52,7	1,568

Tableau 19 Variation de la pression dynamique q_h selon la hauteur

2.2. K_s : Effet du site :

L'article 1,242[13] préconise de tenir compte de la nature du site d'implantation (obstacles naturels) de la construction par un coefficient multiplicateur appelé coefficient de site K_s . Il est fonction de la région et du site.

La carte est divisée en plusieurs régions et le site peut être soit :

	Région I	Région II	Région III
Site Protégé	0.8	0.8	0.8
Site normal	1.00	1.00	1.00
Site exposé	1.35	1.30	1.25

Tableau 20 Coefficient de site en fonction de la région et la nature du site

La construction est implantée dans un site soumis à l'influence de l'océan, il est donc de climat océanique (Confirmé par le rapport géotechnique-Climatologie). Ainsi, le site est considéré exposé, soit un coefficient de site $K_s = 1,35$.

2.3. K_m : Effet de masque :

Il est stipulé par l'article 1,243[13] de tenir compte des obstacles non-naturels. On considère donc qu'il y a effet de masque lorsque la construction est masquée partiellement ou totalement par d'autres constructions ayant une grande probabilité de durée. Cet effet peut se traduire :

Soit par une aggravation des actions du vent, lorsque la construction située derrière le masque se trouve dans une zone de sillage turbulent

- Soit par une réduction des actions du vent dans les autres cas. Dans ce dernier cas, les pressions dynamiques de base peuvent alors être réduites de 25%.
- Les surfaces intéressées doivent remplir simultanément les deux conditions suivantes :
- Être abritées entièrement par le masque pour toutes les directions du vent dans le plan horizontal.
- Être situées au-dessous de la surface décrite par une génératrice ayant une pente de 20% vers le sol, dirigée vers l'intérieur du masque et prenant appui sur le contour apparent des constructions protectrices

Dans le cas de notre structure, ces conditions n'étant pas vérifiées, on prend $K_m=1$

2.4.δ : Effet de dimension :

Le coefficient δ de réduction tient compte de la variation de la pression dynamique moyenne du vent en fonction de la dimension de la surface exposée ; en effet la structure du vent n'étant pas uniforme, les tourbillons locaux influencent les pressions dynamiques moyennes qui, toutes choses égales par ailleurs, sont plus faibles sur les grandes surfaces que sur des surfaces réduites

Le coefficient δ est fonction de la plus grande dimension (horizontale ou verticale) de la surface offerte au vent, et de la cote H du point le plus haut de cette surface est donné par l'abaque suivant :

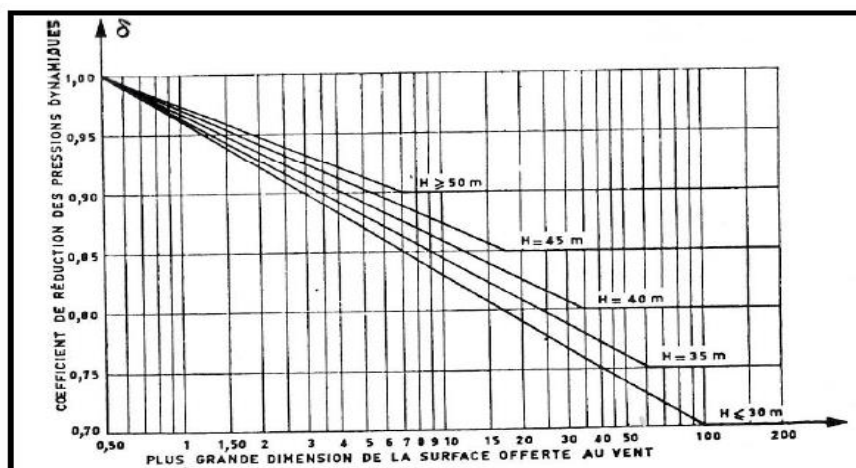


Figure 19 Coefficient de réduction des pressions dynamiques, R III. 2 NV 65

Notons que ce coefficient garde, entre les cotes 0 et 30 m, une valeur presque constante correspondant à celle de la cote de la base de la construction, après il varie linéairement en fonction de la hauteur.

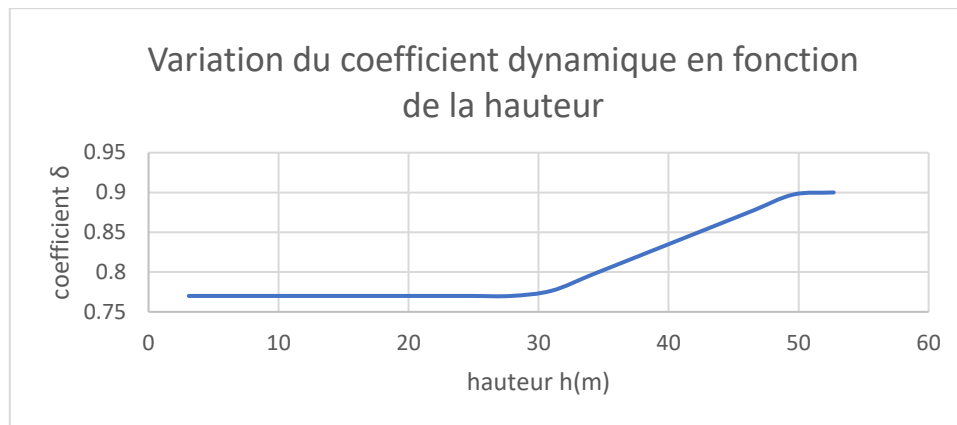


Figure 20 Variation du coefficient de réduction des pressions dynamiques selon la hauteur

D'où les résultats présentés dans le tableau 21 :

Etage	Hauteur h(m)	δ	δ_{\min}
RDC	3,1	0,77	0,77
R+1	6,2	0,77	0,77
R+2	9,3	0,77	0,77
R+3	12,4	0,77	0,77
R+4	15,5	0,77	0,77
R+5	18,6	0,77	0,77
R+6	21,7	0,77	0,77
R+7	24,8	0,77	0,77
R+8	27,9	0,77	0,77
R+9	31	0,78	0,78
R+10	34,1	0,80	0,80
R+11	37,2	0,82	0,82
R+12	40,3	0,84	0,84
R+13	43,4	0,86	0,86
R+14	46,5	0,88	0,88
R+15	49,6	0,89	0,89
Terrasse	52,7	0,9	0,9

Tableau 21 Coefficient des pressions dynamiques en fonction de la hauteur

- **Réduction maximale de la pression de base préconisée :**

Selon l'article 1,245[13], Pour les constructions définitives, la totalité des réductions autorisées concernant « l'Effet de masque » et « l'Effet des dimensions » ne doit, en aucun cas dépasser 33%.

On a : $K_m=1$ et $\delta_{\min}=0,77$ alors : $K_m \times \delta_{\min}=0,77=77\% > 67\%$

- **Valeurs limites des pressions dynamiques corrigées :**

Selon l'article III 1,246[13] les valeurs de la pression dynamique corrigées sont limitées quels que soient la hauteur H au-dessus du sol, le site, l'effet de masque et l'effet des dimensions.

	Valeurs maximales	Valeurs minimales
Pression dynamique normale corrigée	170 daN/m ²	30 daN/m ²
Pression dynamique extrême corrigée	297,5 daN/m ²	52,5 daN/m ²

Tableau 22 Valeurs limites des pressions dynamiques corrigées

• **Récapitulatif des résultats obtenus (tableau 23) :**

Etage	Hauteur h(m)	q_h (daN/m ²)	$K_h=q_h/q_{10}$	δ	q_{normale} en daN/m ²	$q_{\text{extrême}}$ en daN/m ²
RDC	3,1	44,725	0,836	0,77	46,493	81,34
R+1	6,2	48,893	0,914	0,77	50,83	88,93
R+2	9,3	52,689	0,985	0,77	54,779	95,838
R+3	12,4	56,16	1,05	0,77	58,394	102,162
R+4	15,5	59,346	1,109	0,77	61,675	107,902
R+5	18,6	62,28	1,164	0,77	64,734	113,254
R+6	21,7	64,992	1,215	0,77	67,57	118,216
R+7	24,8	67,506	1,262	0,77	70,184	122,789
R+8	27,9	69,842	1,305	0,77	72,575	126,973
R+9	31	72,019	1,346	0,7765	75,487	132,067
R+10	34,1	74,053	1,384	0,79665	79,633	139,32
R+11	37,2	75,957	1,42	0,8168	83,77	146,559
R+12	40,3	77,743	1,453	0,83695	87,832	153,665
R+13	43,4	79,422	1,484	0,8571	91,866	160,722
R+14	46,5	81,003	1,514	0,87725	95,926	167,826
R+15	49,6	82,495	1,542	0,8974	99,944	174,856
Terrasse	52,7	83,905	1,568	0,9	101,924	178,319

Tableau 23 Les pressions dynamiques normales et extrêmes par étage

On remarque bien que les pressions dynamiques normales et extrêmes corrigées ne dépassent pas les valeurs limites préconisées par le règlement NV65.

3. Actions statiques exercées par le vent :

D'Après l'article 1,41[13] :

Quel que soit la construction, la face extérieure de ses parois est soumise :

- A des succions, si les parois sont sous le vent.
- A des pressions ou à des succions, si elles sont au vent.

Dans les constructions fermées, ouvertes ou partiellement ouvertes, les volumes intérieurs compris entre les parois peuvent être dans un état de surpression ou de dépression suivant l'orientation des ouvertures par rapport au vent et leur importance relative. Il en résulte sur les faces intérieures des actions dites actions intérieures.

Les actions extérieures sont caractérisées par un coefficient C_e , les actions intérieures par un coefficient C_i .

L'action élémentaire unitaire p du vent sur une face est donnée par l'expression $p = c.q$

D'après l'article 1,422 du NV65 L'action résultante unitaire sur une paroi est la combinaison des actions élémentaires unitaires sur chacune des faces de la paroi. Elle est donnée par l'expression algébrique $p_r = (c_1 - c_2) \cdot q_r$, où q_r est la valeur moyenne, au sens analytique, de la pression dynamique entre le niveau inférieur H1 de la paroi et son niveau supérieur H2. Pour les constructions présentant un volume intérieur (comme pour l'immeuble étudié) $c_1 = c_e$ et $c_2 = c_i$. [13]

- D'après l'article III 2.13 du NV65, Les actions extérieures sont :
 - Face au vent $c_e = + 0,8$ (quel que soit γ_o)
 - Face sous le vent $c_e = - (1,3 \gamma_o - 0,8)$
- D'après l'article III 2.14 du NV65, les actions intérieures sont :
 - Soit une surpression avec $c_i = + 0,6 (1,8 - 1,3 \gamma_o)$,
 - Soit une dépression avec $c_i = - 0,6 (1,3 \gamma_o - 0,8)$.

La valeur du coefficient γ_o est déterminée à partir du diagramme de la figure 21 (R. III. 5[13]).

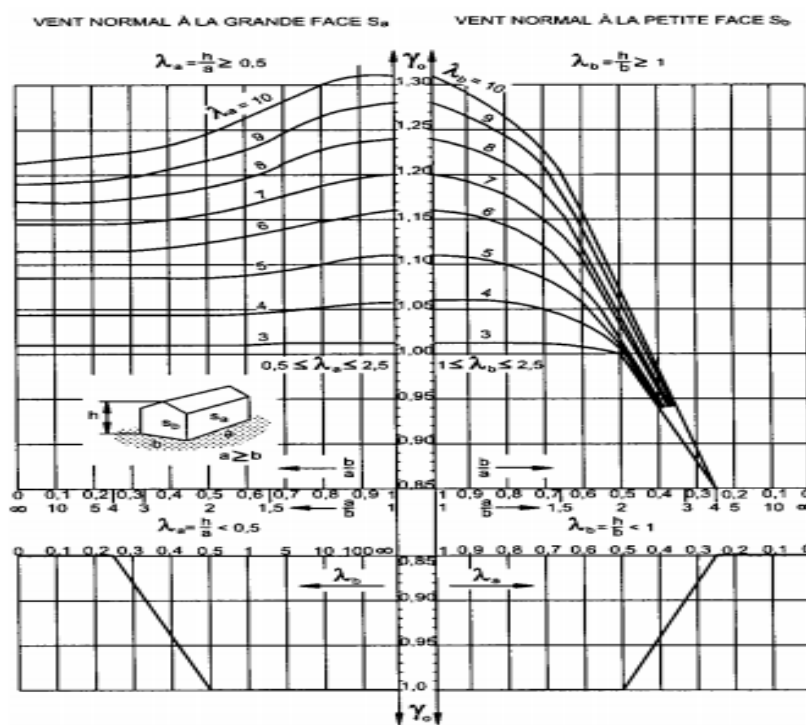


Figure 21 Construction prismatique quadrangulaire reposant sur le sol, coefficient o

3.1.Détermination du coefficient γ_o correspondant aux dimensions des différents étages du bâtiment :

Pour le RDC, les dimensions sont approximativement : $a = 31 \text{ m}$; $b = 23 \text{ m}$.

Pour les étages courants de 1 à 11 : $a = 32 \text{ m}$; $b = 21 \text{ m}$.

Pour les étages courants de 12 à terrasse : $a = 34 \text{ m}$; $b = 16 \text{ m}$.

Résultats des calculs du coefficient γ_o (tableau 24) :

a(m)	b(m)	b/a	λa	γ_0	λb	γ_0
31	23	0,741935	1,7	1	2,291304	1
32	21	0,65625	1,646875	1	2,509524	1
34	16	0,470588	1,55	1	3,29375	0,99

Tableau 24 Valeurs du coefficient λb_0 correspondant aux étages de l'immeuble

Soit, $\gamma_0 = 1$ pour tous les étages de l'immeuble.

3.2. Calcul des actions extérieures et intérieures du vent :

Actions extérieures :

- Face au vent : $c_e = 0,8$ (quel que soit γ_0)
- Face sous le vent : $c_e = - (1,3 * \gamma_0 - 0,8) = - 0,5$

Actions intérieures :

- Une surpression : $c_i = + 0,6 * (1,8 - 1,3 * \gamma_0) = 0,3$
- Une dépression : $c_i = - 0,6 (1,3 \gamma_0 - 0,8) = -0,3$

On a donc :

- Pour la face au vent : $C_e - C_i = 0,8 - (-0,3) = 1,1$
- Pour la face sous le vent : $C_e - C_i = (-0,5) - 0,3 = -0,8$

La valeur moyenne de la pression dynamique q'_r entre le niveau inférieure $H(i)$ de la paroi et son niveau supérieur $H(i+1)$ est donnée par la formule :

$$q'_r(i) = (q_r(i) \times H(i) + q_r(i+1) \times H(i+1)) / 2 \text{ en daN/m}$$

Et on a:

$$p_r(i) = q'_r(i) \times (C_e - C_i)$$

Les actions statiques obtenues sont représentées dans les tableaux numéro 25 et 26 :

Etage	Hauteur en m	q_{normale} (daN/m ²)	q'_r (daN/m)	Au vent (daN/m)	Sous le vent (daN/m)
RDC	3,1	46,493	150,851	165,936	-120,68
R+1	6,2	50,83	163,694	180,063	-130,955
R+2	9,3	54,779	175,418	192,96	-140,334
R+3	12,4	58,394	186,107	204,718	-148,885
R+4	15,5	61,675	195,934	215,527	-156,747
R+5	18,6	64,734	205,071	225,578	-164,057
R+6	21,7	67,57	213,519	234,87	-170,815
R+7	24,8	70,184	221,276	243,404	-177,021
R+8	27,9	72,575	229,496	252,446	-183,597
R+9	31	75,487	240,436	264,48	-192,349
R+10	34,1	79,633	253,275	278,602	-202,62
R+11	37,2	83,77	265,983	292,581	-212,786

R+12	40,3	87,832	278,532	306,385	-222,825
R+13	43,4	91,866	291,078	320,185	-232,862
R+14	46,5	95,926	303,599	333,958	-242,879
R+15	49,6	99,944	312,895	344,185	-250,316
Terrasse	52,7	101,924	157,982	173,78	-126,386

Tableau 25 Actions statiques unitaires sur les parois au vent et sous le vent dues au vent normal

Etage	Hauteur en m	$q_{\text{extrême}}$ en daN/m ²	q'_r (daN/m)	Au vent (daN/m)	Sous le vent (daN/m)
RDC	3,1	81,34	263,918	290,31	-211,135
R+1	6,2	88,93	286,39	315,029	-229,112
R+2	9,3	95,838	306,9	337,59	-245,52
R+3	12,4	102,162	325,6	358,159	-260,479
R+4	15,5	107,902	342,792	377,071	-274,233
R+5	18,6	113,254	358,778	394,656	-287,023
R+6	21,7	118,216	373,558	410,913	-298,846
R+7	24,8	122,789	387,131	425,844	-309,705
R+8	27,9	126,973	401,512	441,663	-321,21
R+9	31	132,067	420,65	462,715	-336,52
R+10	34,1	139,32	443,112	487,424	-354,49
R+11	37,2	146,559	465,347	511,882	-372,278
R+12	40,3	153,665	487,3	536,03	-389,84
R+13	43,4	160,722	509,249	560,174	-407,399
R+14	46,5	167,826	531,157	584,273	-424,926
R+15	49,6	174,856	547,421	602,163	-437,937
Terrasse	52,7	178,319	276,394	304,034	-221,115

Tableau 26 Actions statiques unitaires sur les parois au vent et sous le vent dues au vent extrême

4. Actions dynamiques exercées par le vent :

Aux effets statiques précédemment définis, s'ajoutent des effets dynamiques qui dépendent des caractéristiques mécaniques et aérodynamiques de la construction (l'article 1.5 [13]).

Parmi les caractéristiques mécaniques qui interviennent dans ces problèmes, figure en tout premier lieu la période du mode fondamental d'oscillation de la structure dans la direction étudiée. L'annexe 4 du [13] donne des formules et méthodes pratiques de détermination de cette période.

Pour tenir compte de l'effet des actions parallèles à la direction du vent, les pressions dynamiques normales servant au calcul de l'action d'ensemble, sont multipliées à chaque niveau par un coefficient de majoration au moins égal à l'unité. Ce coefficient β est donné par la formule $\beta = \theta (1 + \xi \tau)$ dans laquelle :

- ξ est le coefficient de réponse, il est donné en fonction de la période T du mode fondamental d'oscillation et pour des ouvrages de divers degrés d'amortissement, par l'un des diagrammes de la figure R-III-3[13].
- τ coefficient de pulsation, est déterminé à chaque niveau considéré en fonction de sa cote H au-dessus du sol par l'échelle fonctionnelle de la figure R-III-4[13].
- θ coefficient global dépendant du type de construction, est défini ci-après :
 - Pour les constructions prismatiques à base polygonale régulière ou circulaire à l'exception des constructions à usage d'habitation ou de bureau et pour les ensembles prismatiques des constructions ajourées et des constructions en treillis θ est pris égal à 1 ;
 - Pour les autres constructions, θ est donné en fonction de la cote H_s de leur sommet par 0,70 pour $H_s \leq 30$ m ; $0,70 + 0,01 (H_s - 30)$ pour $30 \text{ m} < H_s < 60$ m et 1 pour $H_s \geq 60$ m.

4.1.Détermination du coefficient de réponse ξ :

D'après la figure 22[13] le calcul du coefficient de réponse ξ nécessite d'abord la détermination de la période T du mode fondamental d'oscillations qui dépend de la cote H_s du sommet de l'immeuble.

La valeur de la période T est donnée par la formule forfaitaire suivante, sachant que le type de contreventement adopté pour la présente ossature est un contreventement par voiles en béton armé (l'article 4.532 [13]) :

$$T = 0,08 \times \frac{H_s}{\sqrt{l}} \times \frac{\sqrt{H_s}}{\sqrt{l + H_s}}$$

Où l : est la dimension en plan dans la direction considérée.

Le coefficient de réponse ξ est déterminé par la suite à partir des diagrammes de la figure 22 :

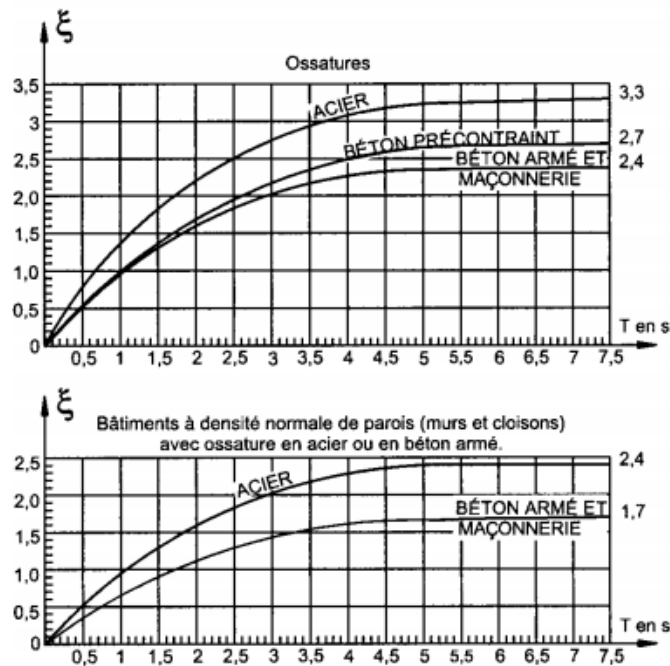


Figure 22 Coefficient de réponse d'après les règles NV65

Résultats obtenus pour les différentes dimensions des niveaux de l'immeuble (tableau 27) :

Direction selon x			Direction selon y		
l_x en m	T en s	ξ	l_y en m	T en s	ξ
31	0,600845	0,4	23	0,73349	0,5
32	0,587881	0,4	21	0,777969	0,5
34	0,563712	0,4	16	0,92314	0,6

Tableau 27 Valeurs des coefficients de réponse pour les différents niveaux de l'immeuble

4.2.Détermination du coefficient de pulsation τ :

D'après la figure R-III-4 [13], les valeurs de τ sont données en fonction de la hauteur du bâtiment.

On a: $H = 52,7$ m, soit: $\tau = 0,295$

4.3.Détermination du coefficient global Θ :

D'après l'article 1,511 [13], et sachant que la hauteur du sommet de l'immeuble est $H_s = 52,7$ m comprise entre 30m et 60m, alors le coefficient global Θ est donné par la formule suivante :

$$\theta = 0,70 + 0,01 \times (H_s - 30)$$

$$\text{Soit : } \theta = 0,927$$

4.4.Détermination du coefficient de majoration β :

Il est donné par la formule suivante :

$$\beta = \theta (1 + \xi \tau)$$

Pour les différentes valeurs du coefficient de réponse ξ , le tableau 28 donne les valeurs de β :

Coefficient de majoration β	
ξ	β
0,4	1,036
0,5	1,064
0,6	1,091

Tableau 28 Coefficient de majoration pour les différentes valeurs du coefficient de réponse

Pour plus de sécurité, on considérera la valeur la plus grande du coefficient de majoration β :

Soit : $\beta = 1,091$

4.5. Résultats des actions dynamiques exercées par le vent :

Dans le tableau 29, on présente les actions dynamiques dues au vent normal et dans le tableau 30 celles dues au vent extrême.

Etage	Hauteur en m	Actions dynamiques au vent (daN/m)	Actions dynamiques sous le vent (daN/m)
RDC	3,1	181,036	-131,662
R+1	6,2	196,449	-142,872
R+2	9,3	210,519	-153,104
R+3	12,4	223,347	-162,433
R+4	15,5	235,14	-171,011
R+5	18,6	246,106	-178,986
R+6	21,7	256,243	-186,359
R+7	24,8	265,554	-193,13
R+8	27,9	275,419	-200,304
R+9	31	288,548	-209,853
R+10	34,1	303,955	-221,058
R+11	37,2	319,206	-232,149
R+12	40,3	334,266	-243,102
R+13	43,4	349,322	-254,052
R+14	46,5	364,348	-264,981
R+15	49,6	375,506	-273,095
Terrasse	52,7	189,594	-137,887

Tableau 29 Actions dynamiques au vent et sous le vent dues au vent normal

Etage	Hauteur en m	Actions dynamiques au vent (daN/m)	Actions dynamiques sous le vent (daN/m)
RDC	3,1	316,728	-230,348
R+1	6,2	343,697	-249,961
R+2	9,3	368,311	-267,862
R+3	12,4	390,751	-284,183
R+4	15,5	411,384	-299,189
R+5	18,6	430,57	-313,142
R+6	21,7	448,307	-326,041
R+7	24,8	464,596	-337,888
R+8	27,9	481,854	-350,44
R+9	31	504,822	-367,143
R+10	34,1	531,779	-386,748
R+11	37,2	558,463	-406,155
R+12	40,3	584,808	-425,315
R+13	43,4	611,15	-444,473
R+14	46,5	637,442	-463,594
R+15	49,6	656,96	-477,789
Terrasse	52,7	331,701	-241,237

Tableau 30 Actions dynamiques au vent et sous le vent dues au vent extrême

4.6.Comparaison de l'effet du vent à l'effet du séisme :

Le tableau 31 regroupe les résultats obtenus par le logiciel CYPECAD :

Niveau	Effet du vent		Effet du séisme	
	Vent X(kN)	Vent Y (kN)	$F_{eq,X}(kN)$	$F_{eq,Y}(kN)$
TOIT	71.811	44.882	859.933	673.799
14	141.024	88.14	614.671	484.588
13	138.271	86.419	438.811	334.463
12	135.347	84.592	474.4	369.431
11	132.238	82.649	539.269	396.442
10	128.923	80.577	570.191	394.032
9	125.383	78.364	537.426	383.471
8	121.592	75.995	517.146	390.084
7	117.525	73.453	509.392	401.098
6	113.149	70.718	532.868	423.023
5	108.428	67.767	535.778	438.297
4	103.319	64.574	538.727	445.493
3	97.773	61.108	501.561	422.999
2	91.73	57.331	433.816	374.484
1	85.122	53.201	327.316	271.715
RDC	77.864	48.665	405.529	446.715
SS1	0	0	67.932	18.067
SS2	0	0	32.75	3.054

Tableau 31 Comparaison de l'effet du vent à l'effet du séisme

Conclusion :

L'effet du séisme est prépondérant face à l'effet du vent.

Chapitre 5 :Etude de la première variante des dalles : Plancher-dalle en béton armé

I. Généralités sur les planchers-dalles :

Le Plancher-dalle est un type de plancher à sous-face horizontale, sans aucune retombée des poutres et qui s'appuie directement sur les colonnes, avec éventuellement un épanouissement de ces derniers sous forme de chapiteaux ou champignons, on parle dans ce cas de plancher-champignons.

Ce type de plancher est parmi les solutions les plus utilisées pour la construction des planchers de bâtiments administratifs, commerciaux et industriels avec charges modérées, de dépôts, de parkings et d'autres ouvrages similaires.

Le comportement des planchers-dalles est généralement bon à l'état de service. Il est par contre problématique à l'état limite ultime à cause de la fragilité du phénomène du poinçonnement. La rupture par poinçonnement des planchers-dalles sans armature d'effort tranchant introduit la brusque diminution de résistance qui peut être très importante et conduire à une redistribution des efforts, qui peut à son tour initier la rupture aux colonnes voisines et conduire finalement à l'effondrement progressif de parties importantes de la structure. [14]

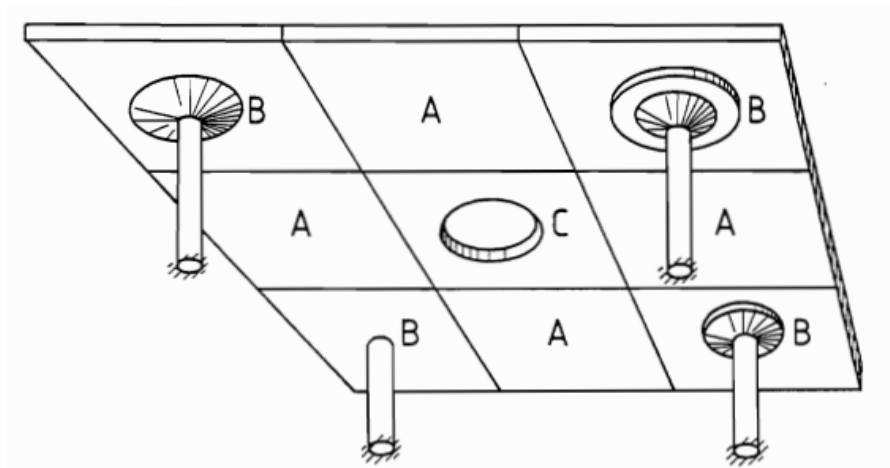


Figure 23 schéma illustratif d'un plancher-dalle

II. Méthodes de calcul d'un plancher-dalle :

Ils existent plusieurs méthodes de calculs de ces types de planchers telles que :

- Modélisation et calcul par méthode des éléments finis (à l'aide d'un logiciel de calcul par éléments finis tel que Autodesk Robot et CYPECAD) et théorie des plaques.
- Par théorie de plasticité, méthode des bandes ou méthode statique d'Hillerborg.

III. Principe de calcul par le BAEL 91 :

La méthode de calcul adoptée par le BAEL 91 R 99 pour le calcul du plancher-dalle consiste à considérer le fonctionnement en portique de la dalle, dans les deux directions indépendamment l'une par rapport à l'autre pour chaque file de poteaux. (Annexe E.4[5])

Cependant le BAEL 91 exige des conditions spécifiques sur la régularité de la structure avant d'adopter cette méthode de calcul :

- Une maille régulière.
- Les éléments porteurs filants tels que les voiles, ne peuvent exister qu'en rive.
- Les poteaux intérieurs doivent être identiques.
- Les poteaux de rive ont une section au moins égale à la moitié de celle des poteaux intermédiaires.
- Le rapport des portées L_x et L_y dans les deux directions perpendiculaires, doit être compris entre 0,5 et 2.
- Un côté de poteau ne doit dépasser 20% de la portée dans la même direction.
- Le porte-à-faux sont autorisés.

Ces conditions ne sont pas vérifiées pour le cas de ce projet (l'ossature verticale est composée essentiellement de voiles).

Dans le cas de ce projet, vu la complexité des plans de coffrage, l'étude de la variante plancher-dalle ne peut être faite manuellement en utilisant les règles BAEL 91 révisées 99. Le calcul de ce plancher ne peut être effectué que par la méthode des éléments finis.

- La première étude est effectuée sur Autodesk Robot Structural Analysis 2014 après avoir modélisé la structure préalablement sur Autodesk Concrete Building Structures.
- La seconde étude réalisée sur logiciel CYPECAD.

IV. Calcul des dalles en béton armé par Eléments finis à l'aide du logiciel Robot :

1. Calcul des sollicitations :

A l'aide du logiciel Robot 2014, on obtient les résultats des différentes sollicitations sous forme d'isolignes et de cartographies en couleurs pour les éléments sélectionnés.

2. Calcul du ferrailage longitudinal :

La disposition de ferrailage que l'on envisage utiliser comporte quatre lits d'armatures disposés dans les directions O_x et O_y comme suit :

- $A_x(-)$: armatures inférieures dans la direction X (armatures principales)
- $A_x(+)$: armatures supérieures dans la direction X (armatures principales)
- $A_y(-)$: armatures inférieures dans la direction Y (armatures perpendiculaires aux armatures principales)
- $A_y(+)$: armatures supérieures dans la direction Y (armatures perpendiculaires aux armatures principales)

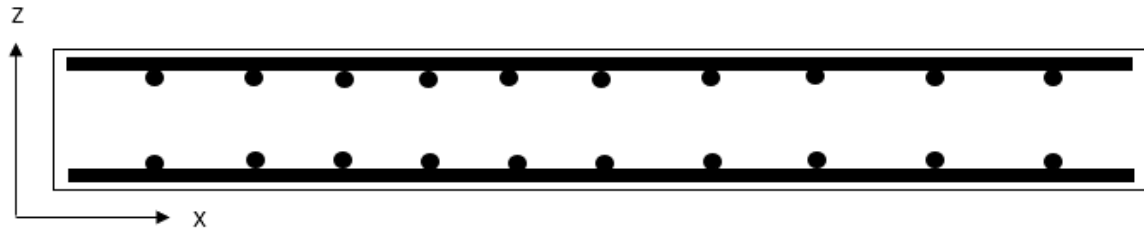


Figure 24 Disposition des aciers des dalles en béton armé

3. Vérification vis-à-vis de l'effort tranchant :

On n'a pas besoin de prévoir des armatures transversales si la condition suivante est vérifiée pour chaque direction (E.4.8, 32. Fascicule n62-Titre 1-BAEL) :

$$\tau_u = \frac{V_u}{d} \leq 0.07 \frac{f_{c28}}{\gamma_b}$$

Avec :

V_u : effort tranchant selon la direction X ou Y ;

d : la hauteur utile de la dalle ;

h : épaisseur de la dalle ;

γ_b : Coefficient de sécurité du béton ;

Si cette condition n'est pas vérifiée, on doit augmenter l'épaisseur h de la dalle ou prévoir des armatures transversales calculées comme il est indiqué à l'article A.5.1, 232[5] :

$$\frac{A_t}{b_0 s_t} \geq \frac{\gamma_s(\tau_u - 0.3f_{t28})}{0.9f_e(\cos(\alpha) + \sin(\alpha))}$$

Où :

A_t : section minimale d'armatures transversales ;

s_t : espacement des armatures transversales ;

b_0 : largeur de la bande étudiée ;

τ_u : contrainte de cisaillement à l'état limite ultime ;

α : angle d'inclinaison des armatures transversales (compris entre 45° et 90°).

4. Calcul du ferrailage d'un plancher-dalle par logiciel Robot 2014 : Cas du plancher haut 1^{er} étage :

4.1. Géométrie du plancher :

L'Etude des différents tronçons du plancher (plancher global et balcons ou porte-à-faux) s'effectue d'une manière indépendante sur Robot, c'est-à-dire, on isole chaque tronçon et on procède à l'analyse de ses cartographies de sollicitations et de ferrailage.

Et les différentes dispositions constructives (par exemple les liaisons entre le plancher et les balcons et la mise en place de renforts) sont effectuées par la suite.

La forme géométrique du plancher haut du 1^{er} étage (sans balcons) est la suivante (figure 25) :

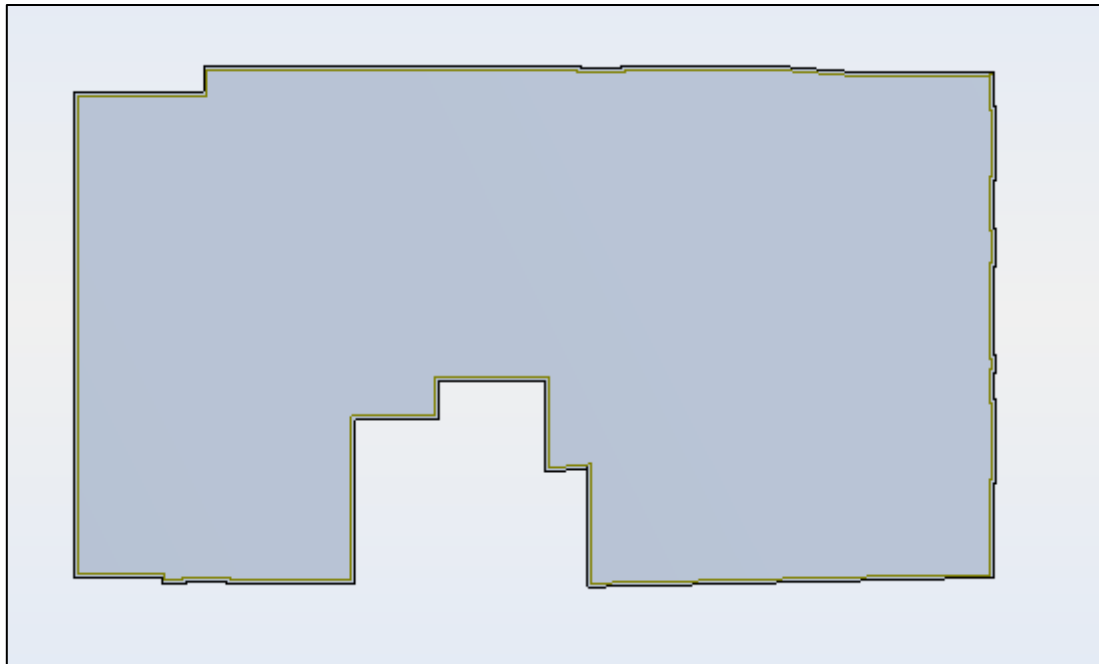


Figure 25 Géométrie du plancher haut du 1er étage

4.2. Processus de calcul du ferrailage de la dalle sur Robot :

Avant de commencer le calcul du ferrailage théorique de la dalle, on indique le type de ferrailage, à savoir celui d'un plancher béton armé (figure 26) :

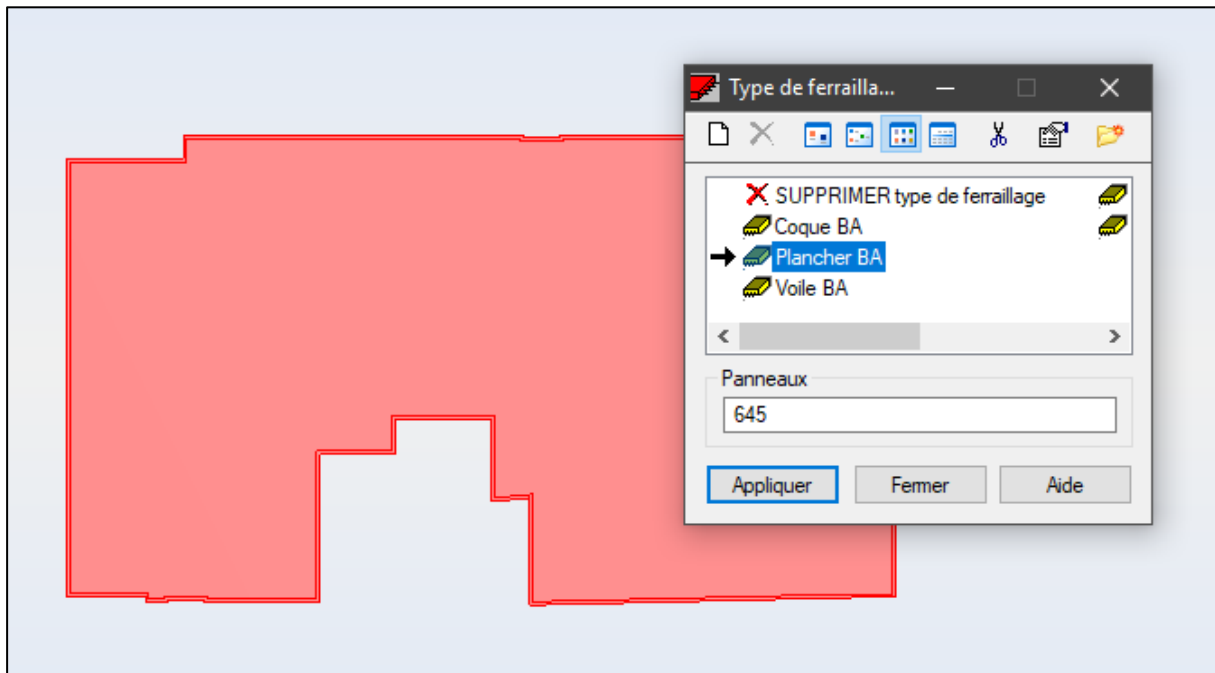


Figure 26 Type de ferrailage sur logiciel robot 2014

On indique le plancher qu'on désire ferrailer, ainsi que les différents états limites :

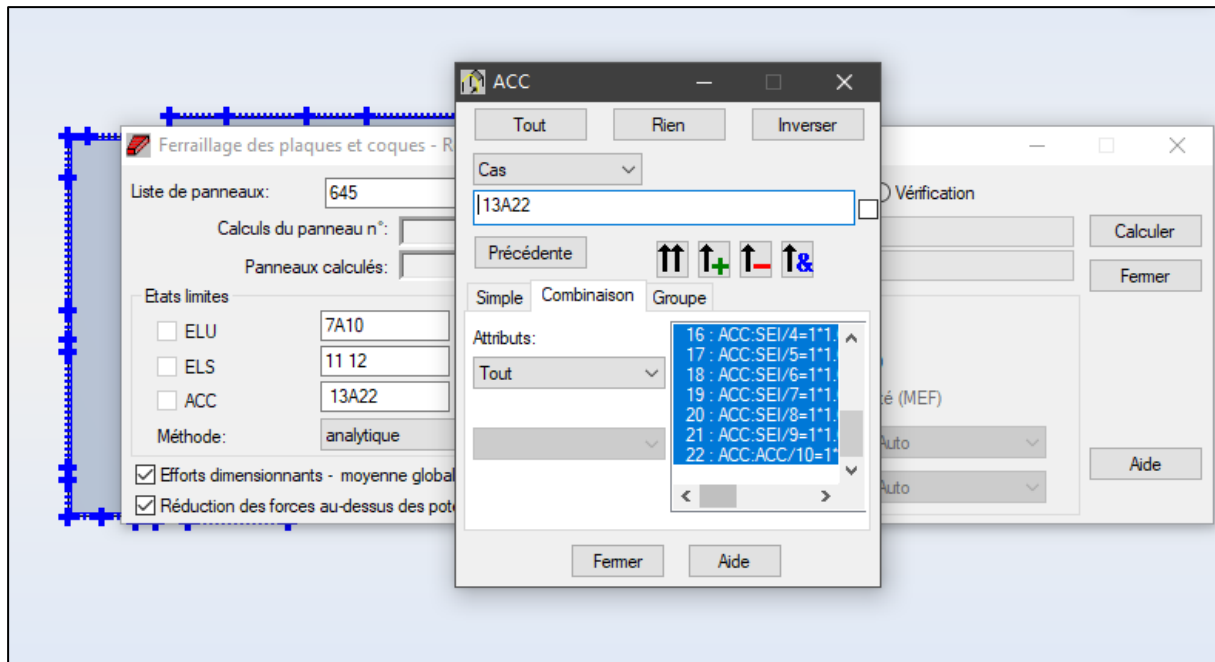


Figure 27 Processus de calcul robot 2 : états limites

Remarque :

L'option activée en bas de la fenêtre « Réduction des forces au-dessus des poteaux et voiles » est importante, vu que les sollicitations au-dessus des poteaux et voiles sont importantes, et on ne doit pas calculer le ferraillage global de la dalle à partir de ces sollicitations car sinon on aura un surdimensionnement du plancher.

4.3.Ferraillage théorique du plancher :

Le calcul du ferraillage théorique de la dalle correspondant aux quatre lits d'armatures est effectué à partir des cartographies de ferraillage obtenues par logiciel robot.

- Ferraillage du lit supérieur dans la direction X ($A_x(+)$ principal) :

La cartographie du ferraillage principal $A_x(+)$ du lit supérieur est présentée dans l'annexe 8.

On remarque que les régions au-dessus des poteaux et des voiles nécessitent plus de ferraillage.

Du point de vue économique et pour ne pas obtenir un surdimensionnement du plancher, on procède au ferraillage global du plancher à travers les régions hors poteaux et voiles, et on procède par la suite au renforcement de sections au-dessus des planchers et des voiles.

Remarque :

- Toutefois, il ne faut pas exagérer en choisissant d'incorporer à chaque fois des nappes d'armatures de renforcement au niveau des régions à grand ferrailage théorique pour des raisons de simplification d'exécution pour les ouvriers et d'encombrement.
- Par souci d'exécution encore une fois, on choisit généralement d'unifier l'espacement des armatures, ainsi que le diamètre des barres. Dans notre cas, on choisit un espacement de 15cm correspondant à 7 barres pour 1m. le diamètre des barres dépend de la valeur du ferrailage théorique donnée par les cartographies de ferrailage.

Pour un ferrailage théorique de : $A_x(-)_{Th} = 4,5 \text{ cm}^2/\text{m}$

On choisit $A_x(-) = 7HA10 = 5,50 \text{ cm}^2/\text{m}$ pour un espacement de 15cm.

Ci-dessous le tableau présentant les différentes sections des barres :

La valeur maximale du ferrailage théorique indiquée sur cette cartographie étant :

$A_x(-)_{Th, max} = 12,66 \text{ cm}^2/\text{m}$, la section théorique de renforcement nécessaire au-dessus des poteaux concernés sera alors :

$$A_x(-)_{Th, \text{renforcement}} = 12,66 - 5,50 = 7,16 \text{ cm}^2/\text{m}.$$

En utilisant la même valeur d'espacement 15cm, on pourra choisir :

$$A_x(-)_{\text{renforcement}} = 7HA12 = 7,92 \text{ cm}^2/\text{m}.$$

Donc au niveau de la région où $A_x(-)_{Th, max} = 12,66 \text{ cm}^2/\text{m}$ on aura une section totale d'armatures $A_x(-)$ choisie $= 5,50 + 7,92 = 13,42 \text{ cm}^2/\text{m} > 12,66 \text{ cm}^2/\text{m}$

Pour les régions où : $A_x(-)_{Th}$ appartient à $[5,50 ; 7,15]$:

$$7,15 - 5,5 = 1,65 \text{ cm}^2/\text{m}, \text{ soit une section d'armatures } 7HA10 \text{ avec } 15\text{cm d'espacement}.$$

Ci-dessous le ferrailage des lits supérieur et inférieur suivant les deux directions X et Y du plancher du premier étage :

Lit d'armatures	$A_x(-)$	$A_x(+)$	$A_y(-)$	$A_y(+)$
Espacement des barres (cm)	15	15	15	15
Ferrailage global (cm ² /m)	7HA10	7HA20	7HA12	7HA14
Barres de renforcement (cm ² /m)	7HA12	7HA10	7HA8	7HA14
	7HA10	-	7HA14	7HA12

Tableau 32 Ferrailage du plancher haut 1er étage

Le lit inférieur d'armatures principales $A_x(-)$ est disposé selon le schéma de la figure 28 :

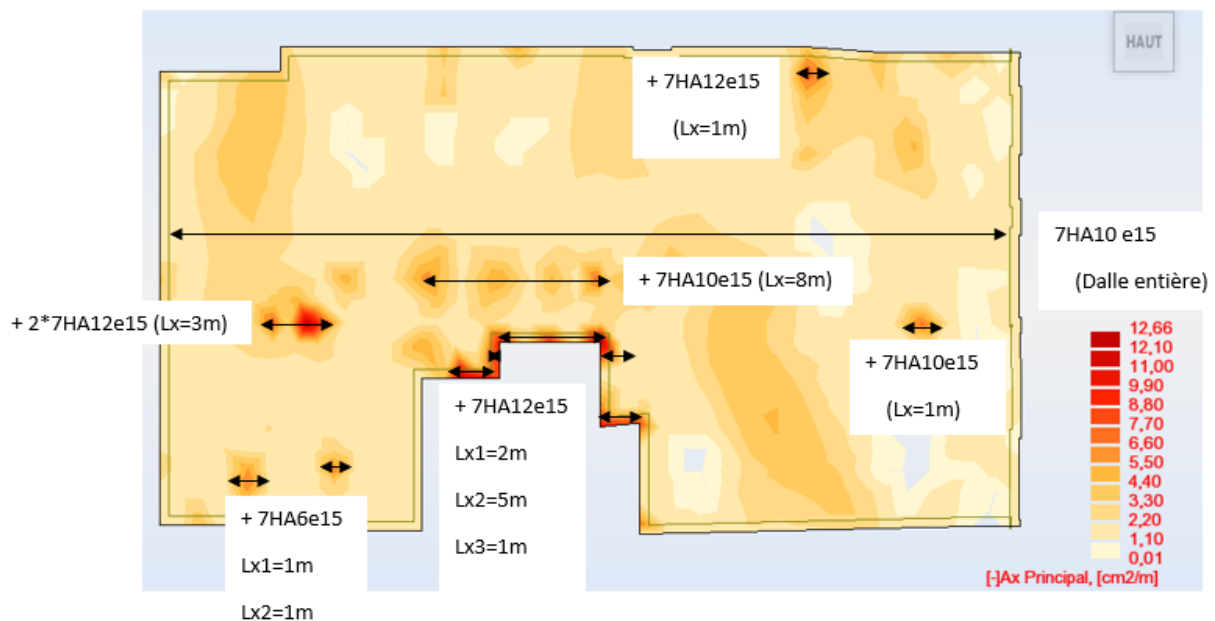


Figure 28 schéma de ferrailage du plancher haut 1er étage (lit inférieur d'armatures principales $A_x(-)$)

L_x représente la longueur totale des barres dans chaque zone, par exemple pour la zone de renforcement centrale où : $A_{x(-)renforcement} = 7HA10e15$ et $L_x = 8m$ est ferrailée comme indiqué sur la figure 29(en plus du ferrailage global de la dalle $A_x(-) = 7HA10$) :

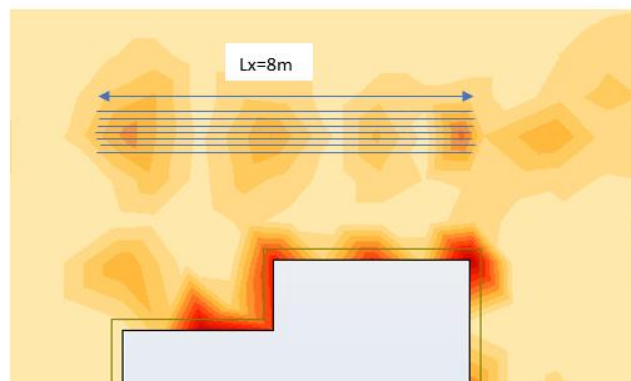


Figure 29 Schéma de disposition des armatures de renforcement

La position des barres $7HA10e15$ (par rapport à l'axe Y) est disposée de manière centrée sur les voiles au-dessous du plancher.

La disposition des armatures principales $A_x(+)$ du lit supérieur est représentée sur la figure 30, la cartographie de ferrailage $A_x(+)$ du plancher-haut 1^{er} étage est présentée en annexe 4.

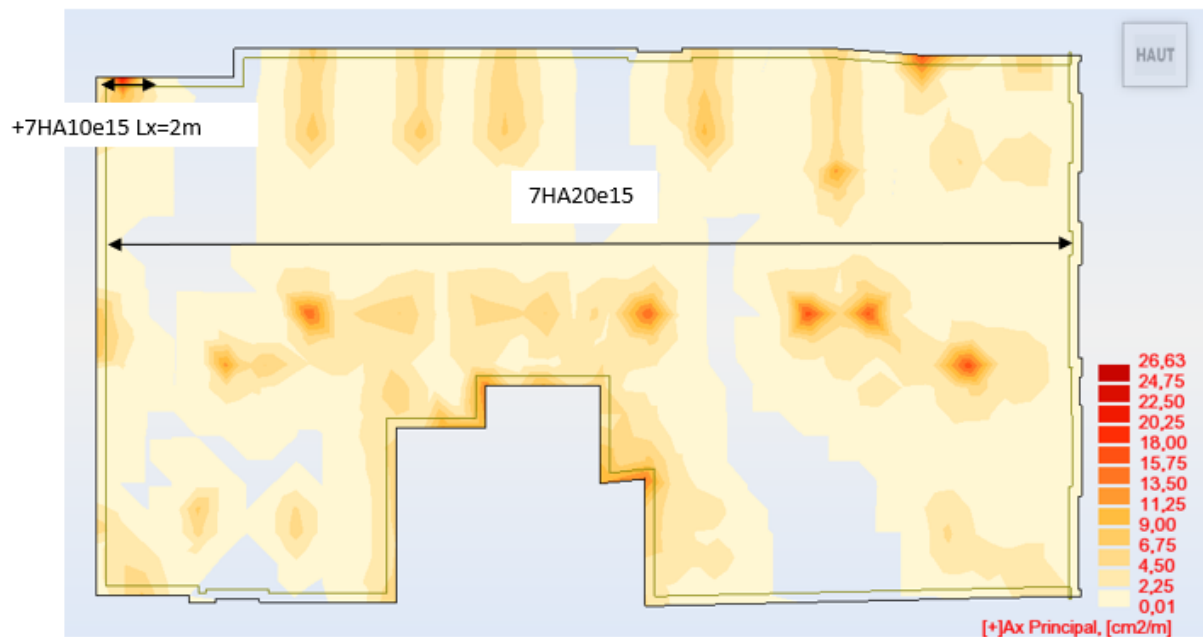


Figure 30 Schéma de ferrailage du plancher haut 1er étage (lit supérieur d'armatures principales $A_x(+)$)

Les barres additionnelles de renforcement sont disposées comme indiqué sur la figure 31 tout en respectant les règles d'espacements et d'enrobage.

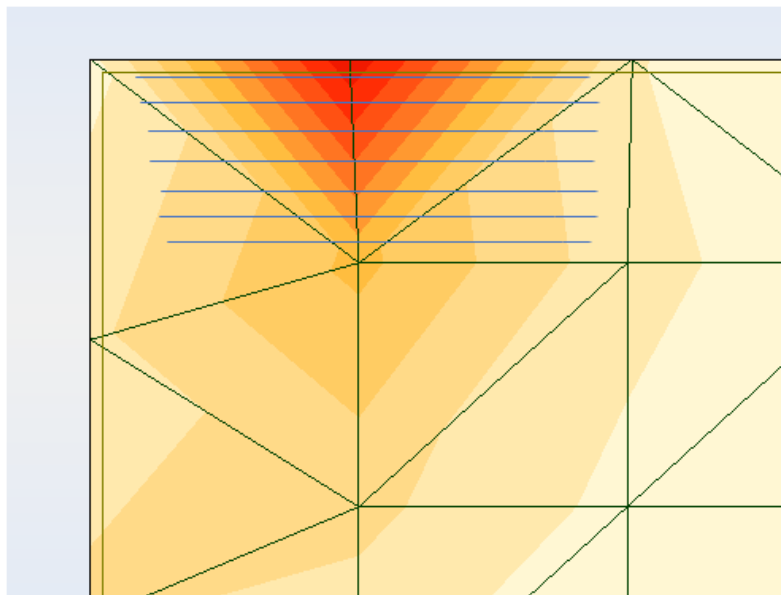


Figure 31 Disposition des armatures de renforcement

Le lit supérieur d'armatures perpendiculaires aux armatures principales $A_y(+)$ est disposé comme indiqué sur la figure 32 :

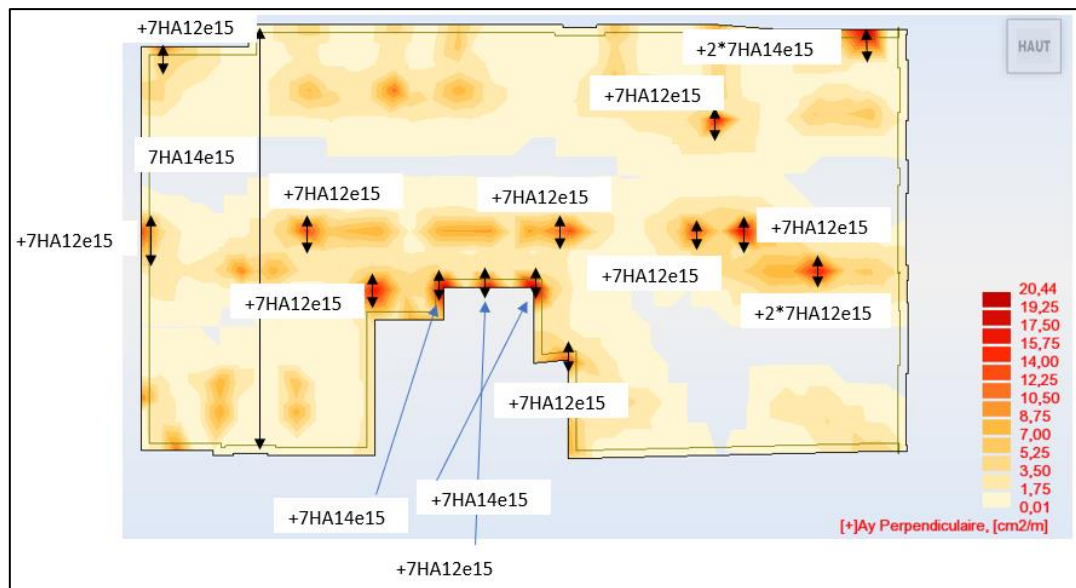


Figure 32 Schéma de ferrailage du plancher haut 1er étage (lit supérieur d'armatures Ay(+))

Ly (longueur des barres est par défaut égale à 1m), et les renforcements centrés sur les éléments porteurs.

Pour les zones entourant le noyau par exemple, les armatures de renforcement sont disposées comme indiqué sur la figure 31 (en plus des armatures perpendiculaires aux armatures principales globales $Ay(+) = 7HA14e15$) :

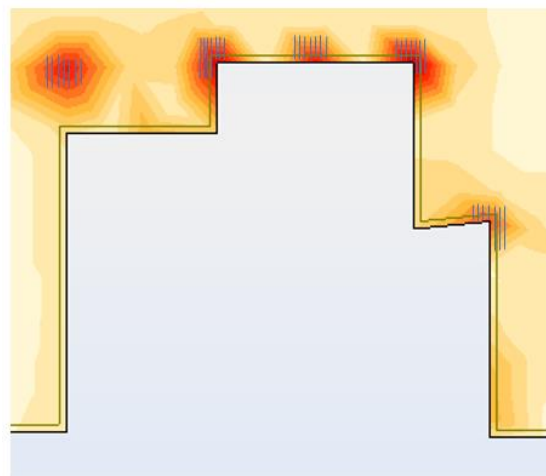


Figure 33 Schéma de disposition des armatures de renforcement

Le lit inférieur d'armatures perpendiculaires aux armatures principales $Ay(-)$ est disposé comme indiqué sur la figure 34:

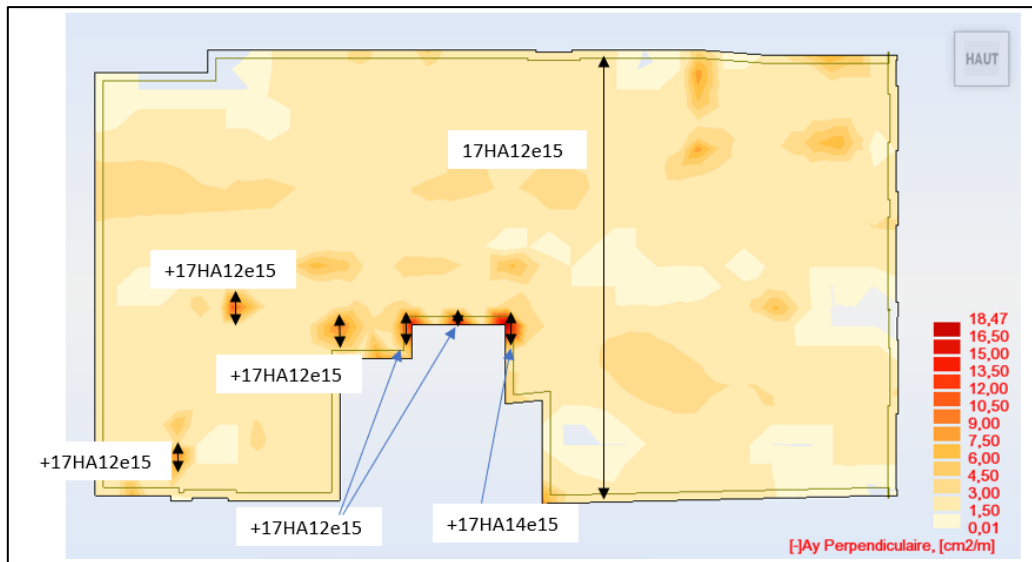


Figure 34 Schéma de ferrailage du plancher haut 1er étage (lit inférieur d'armatures Ay(-))

La figure 35 indique la disposition des armatures de renforcement correspondant au coin du contour du noyau :

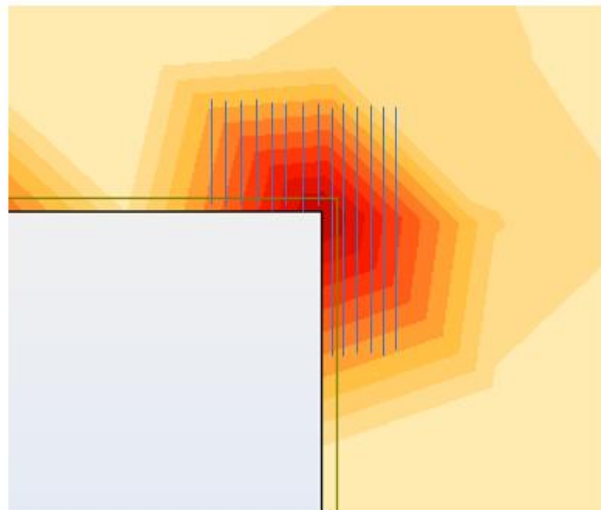


Figure 35 Schéma de disposition des armatures de renforcement du coin du contour du noyau

4.4.Vérification de l'effort tranchant :

D'après les cartographies des contraintes de cisaillement présentées dans l'annexe4, toutes les valeurs sont inférieures à la valeur admissible qui est de :

$$0,07 \frac{f_{c28}}{\gamma_b} = 1166,6 \text{ KN}$$

Donc, on n'a pas besoin de prévoir des armatures transversales.

4.5.Vérification de la flèche :

Pour ne pas nuire à l'aspect et à l'utilisation de la construction, la flèche susceptible de mettre en cause le bon comportement des dalles est limitée comme suit (article B.6.5.3 [5]) :

- Pour les éléments supports reposant sur deux appuis :
 - $L/500$ si la portée L est au plus égale à 5m ;
 - $0.5\text{cm} + L/1000$ si la portée L est supérieure à 5m ;
- Pour les éléments supports en console :
 - Si la portée est inférieure à 2m est $L/250$;
 - Si la portée est supérieure à 2m, aucune valeur limite n'est indiquée par le règlement.

D'après la cartographie des flèches présentée dans l'annexe 3, la valeur maximale de la flèche est égale à :

$$f_{max} = -0,65 \text{ cm avec } L > 5\text{m}$$

On a bien :

$$|f_{max}| \leq 0,5\text{cm} + \frac{L}{1000}$$

Correspondant à des portées supérieures à 5m, donc elle est bien vérifiée. (Inférieure à $0,5\text{cm} + L/1000$ en valeur absolue) Elle est même acceptable d'après le cahier de charges.

4.6.Condition de non fragilité :

La section d'armatures par mètre de longueur adoptée dans un plancher-dalle doit être supérieur ou égale à la section minimale de non fragilité de la section :

$$A_{min} = 0.23 \cdot b \cdot d \cdot \frac{f_{t28}}{f_e} = 2,61 \text{ cm}^2/\text{ml}$$

Ceci pour les deux directions principale et perpendiculaire à la direction principale (x et y).

Les sections d'armatures par mètre longueur adoptées ci-dessus sont bien supérieures à la section minimale d'armatures de non fragilité.

4.7.Ferraillage des balcons :

Exemple de ferraillage d'un balcon :

Par utilisation des cartographies données par le logiciel ROBOT 2014 (figure 36) :

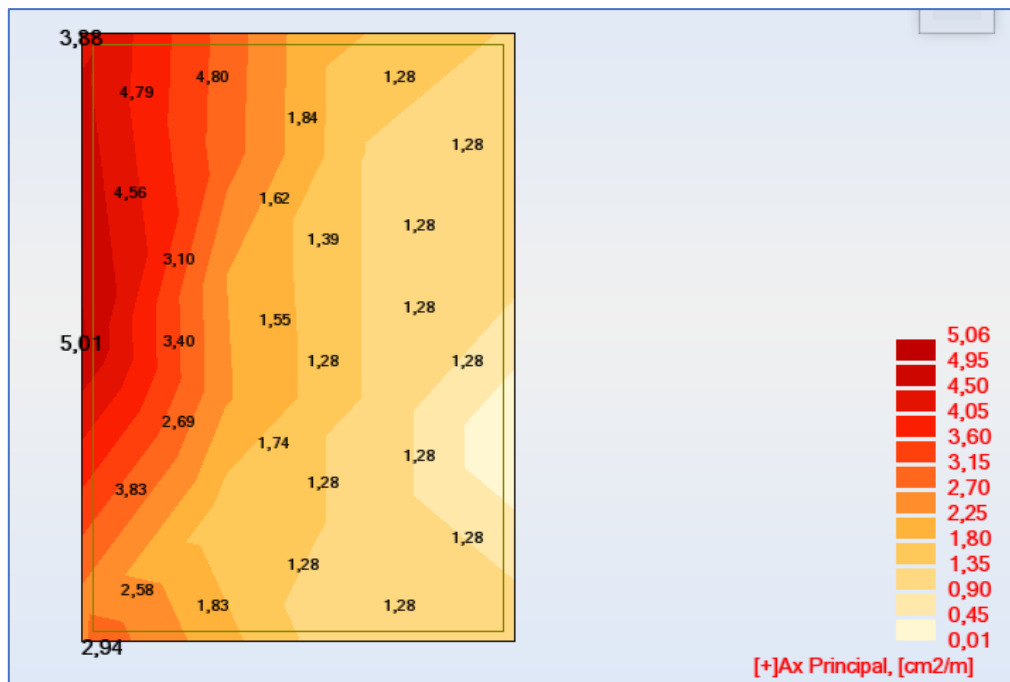


Figure 36 Cartographie du ferrailage Ax[+] Principal du balcon 544 donnée par Robot 2014

La section théorique d'armatures supérieures maximale suivant x d'après la cartographie de la figure 36 est : $A_{th\ max} = 5,06\ cm^2/m$.

Ce qui correspond à :

$$A_{x\ sup} = 5HA12e20cm/m\grave{e}tre.$$

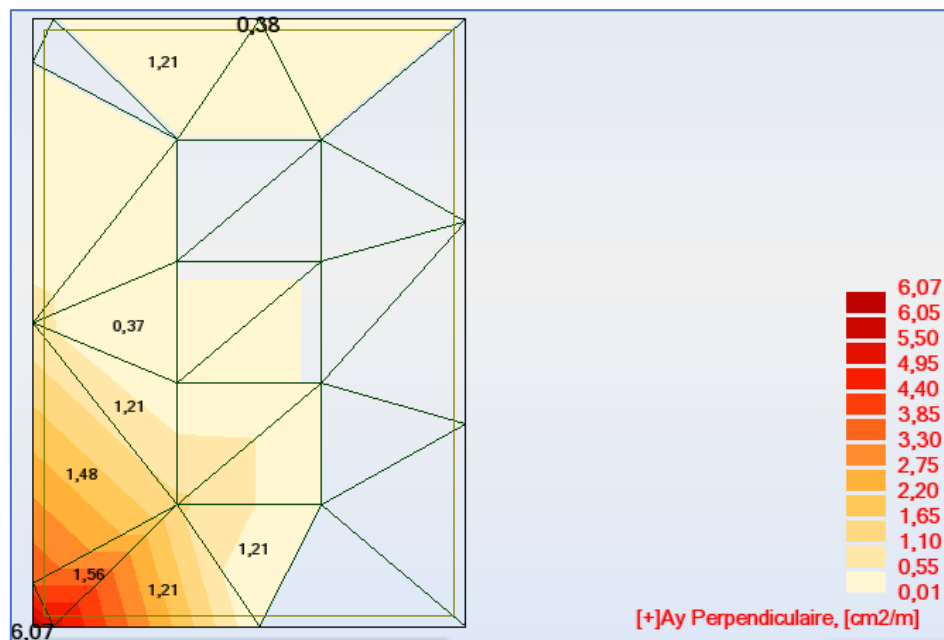


Figure 37 Cartographie du ferrailage Ay[+] du balcon 544 donnée par Robot 2014

Section d'armatures minimale de non-fragilité :

$$A_{min} = 0.23 \cdot b \cdot d \cdot \frac{f_{t28}}{f_e} = 2,17 \text{ cm}^2/\text{m}$$

La section d'armatures maximale indiquée sur la cartographie de la figure 37 :

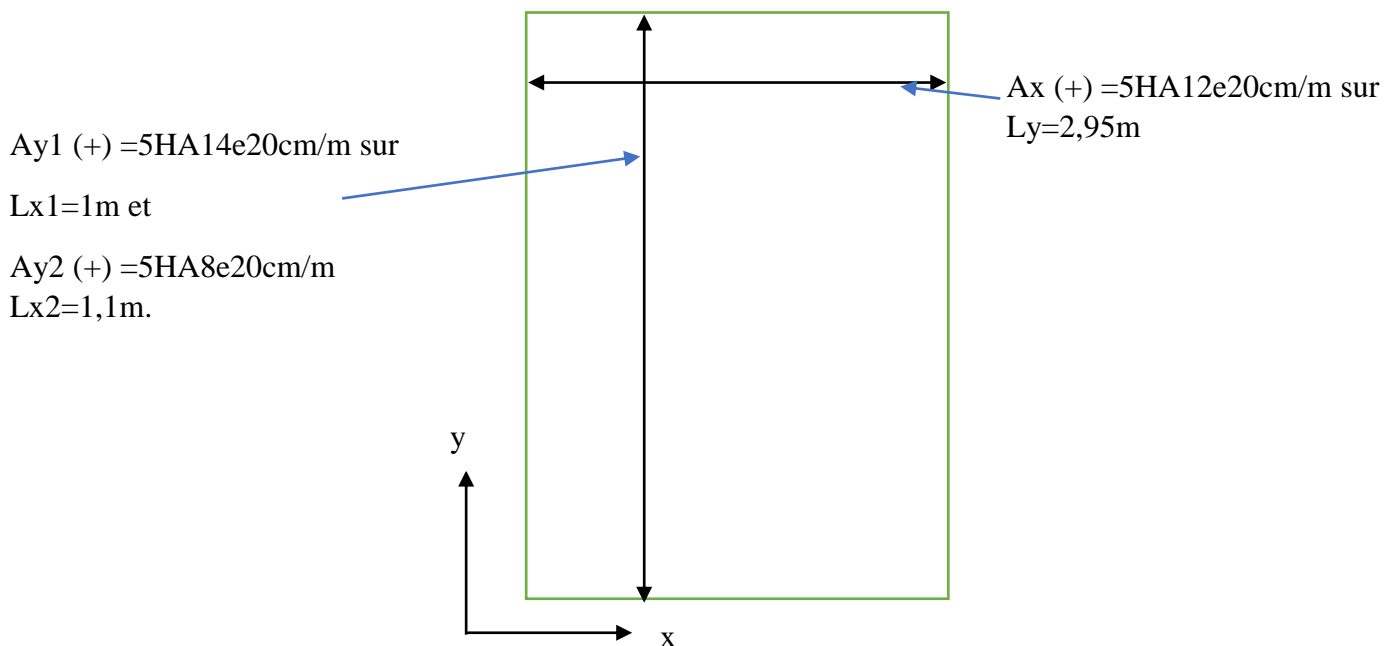
$$A_{th \max} = 6,07 \text{ cm}^2/\text{m}.$$

$\frac{6,07}{5} = 1,214 \text{ cm}^2$. Soit des barres HA14=1,54 cm². Donc : 5HA14e20cm /mètres.

Etant donné que seule la partie inférieure indiquée sur la cartographie de la figure 37 nécessite cette quantité d'armatures on adoptera pour des raisons économiques 5HA14e20 sur le 1^{er} mètre suivant x de la dalle à partir de son appui.

En partie supérieure de la cartographie de la figure 37 (le 1,1m qui reste) en disposera une section d'armatures égale à 2,17 cm².

Soit : 5HA8e20cm/m.

Récapitulatif du ferrailage de la partie supérieure de la dalle en porte à faux :

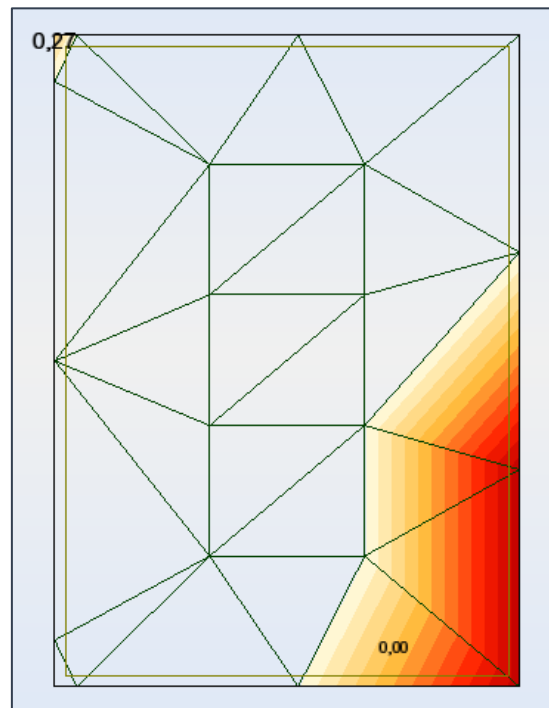
Ferraillage de la partie inférieure du balcon :

Figure 38 Cartographie du ferraillage inférieure $A_x[-]$ du balcon 544

La section théorique d'armatures principales inférieure donnée par la cartographie de la figure 38 est :

$$A_{x(-)Th\ max} = 1,28\ cm^2/m < A_{min}.$$

Donc on adoptera la section d'armatures minimale :

$$A_{x(-)} = 2,17\ cm^2/m.$$

Soit, 5HA8e20cm/m sur $L_y=2,95m$.

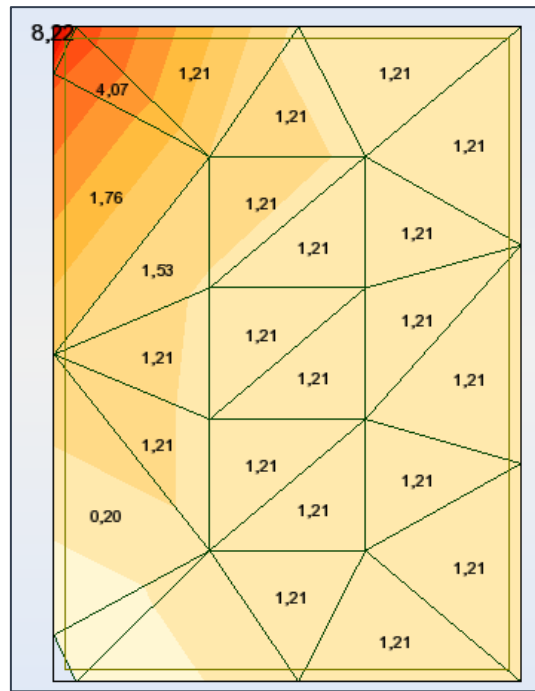


Figure 39 Cartographie du ferrailage $A_y[-]$ du balcon 544

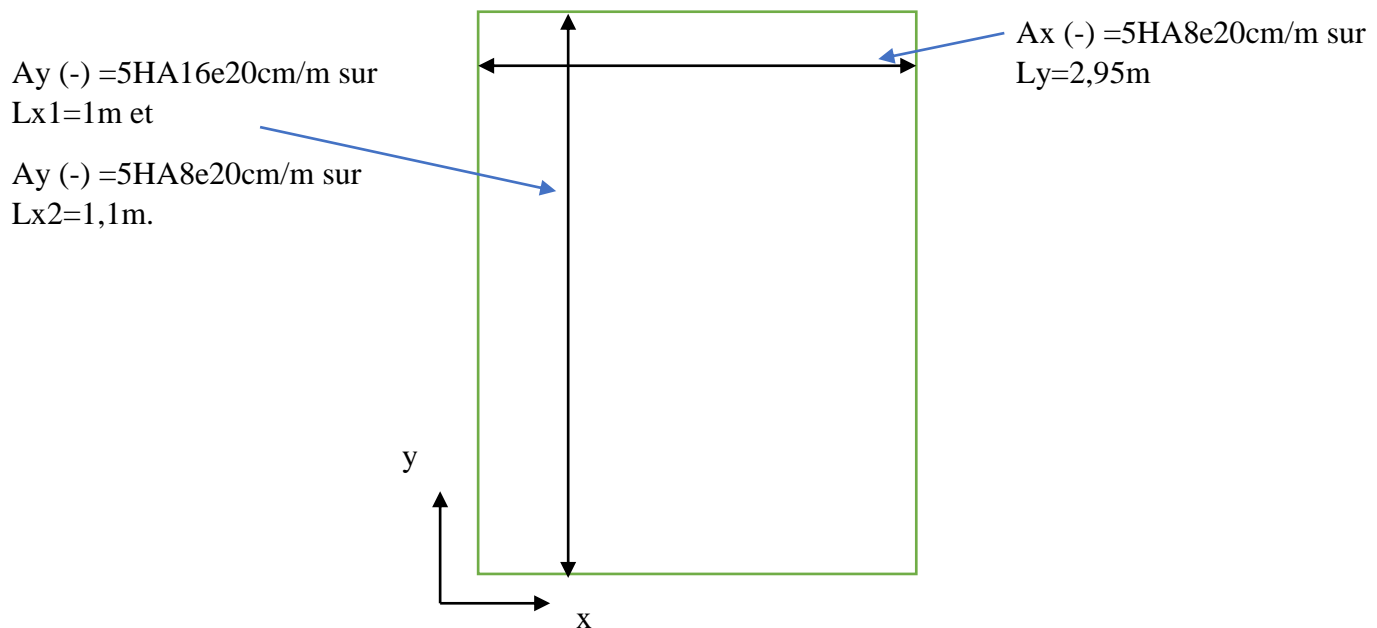
La section d'armatures théorique nécessaire donnée par la cartographie de la figure 39 :

$$A_{y(-)Th\ max} = 8,31\ cm^2/m.$$

Soit 5HA16e20cm.

Pour le ferrailage du reste de la dalle, on adoptera la section d'armatures minimale,
Soit 5HA8e20/m.

Récapitulatif du ferrailage de la partie inférieure de la dalle du balcon :



5. Vérification du poinçonnement du plancher-dalle :

5.1.Généralités :

Le poinçonnement est normalement le critère déterminant l'épaisseur des planchers-dalles. Il est caractérisé, comme indiqué sur la figure 40 par la pénétration de la colonne à travers la dalle et l'expulsion d'un cône de béton.

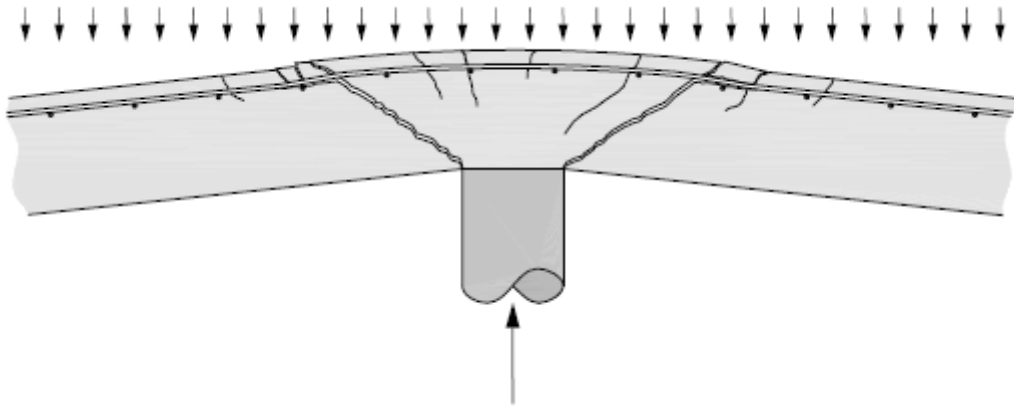


Figure 40 Rupture par poinçonnement d'un plancher-dalle en béton armé (image prise de la thèse N° 4812 (2010) EPFL)

Dans le cas d'une charge concentrée éloignée des bords de la dalle, on n'a pas d'armatures transversales de poinçonnement si la condition ci-dessous est vérifiée [15] sinon il faut prévoir des armatures de poinçonnement :

$$Q_u \leq 0,045 \cdot u_c \cdot h_0 \cdot \frac{f_{cj}}{\gamma_b}$$

Où :

Q_u : charge de calcul à l'ELU ;

h_0 : épaisseur de la dalle ;

u_c : périmètre du rectangle d'impact au niveau du feuillet moyen de la dalle.

Avec $u_c = 2a + 2b + 4h$

5.2.Dispositions des armatures de poinçonnement dans les planchers-dalles :

Les armatures d'âmes sont disposées à l'intérieur du contour u situé à la distance x de u_c , cette distance étant telle que :

$$Q_u \leq 0,045 \cdot (u_c + 8x) \cdot h_0 \cdot \frac{f_{cj}}{\gamma_b} \text{ avec } u > u_c$$

Elles sont calculées de la même manière indiquée dans l'article A.5.1, 232[5].

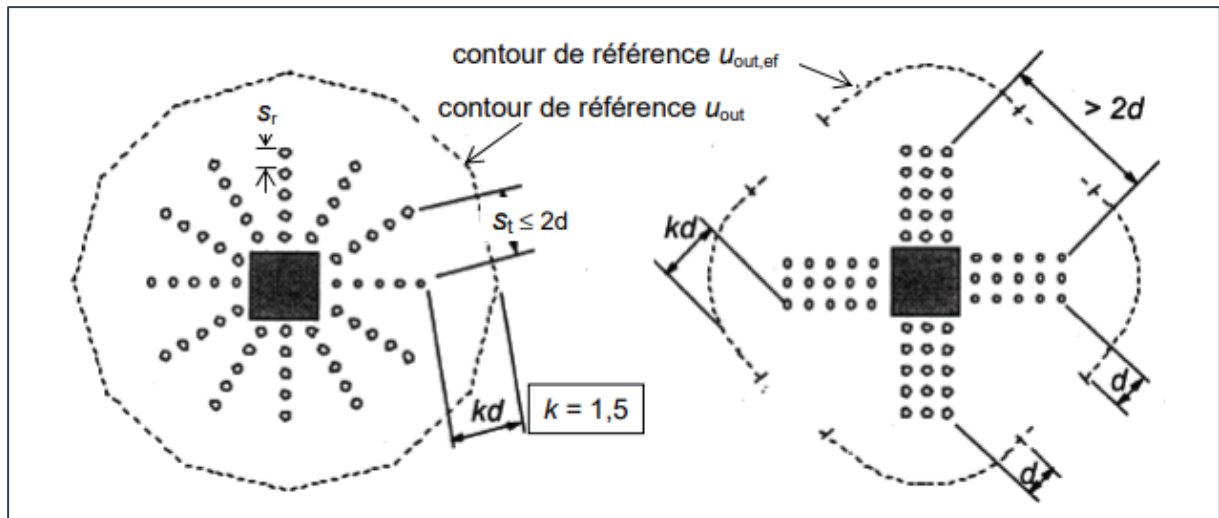


Figure 41 Disposition des armatures de poinçonnement, planchers-dalles

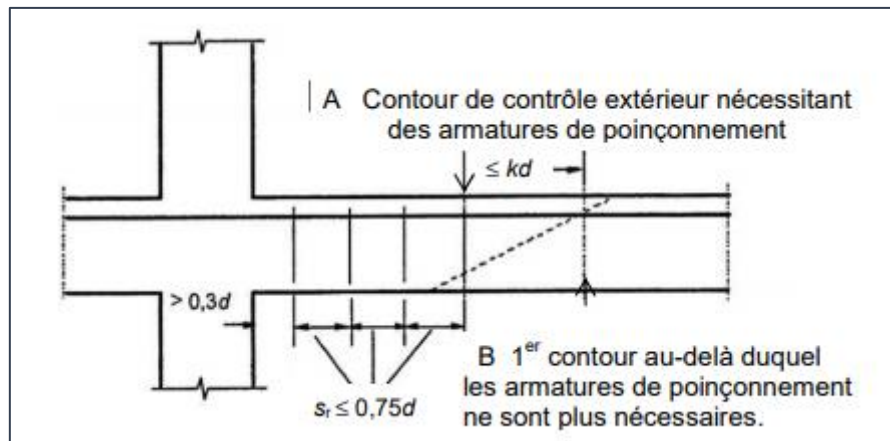


Figure 42 Armatures de poinçonnement, espacements des armatures, (EC 2-1-1, Fig. 9.10a)

s_r et s_t , sont respectivement l'espacement des cadres ou étriers de poinçonnement dans la direction radiale et dans la direction tangentielle.

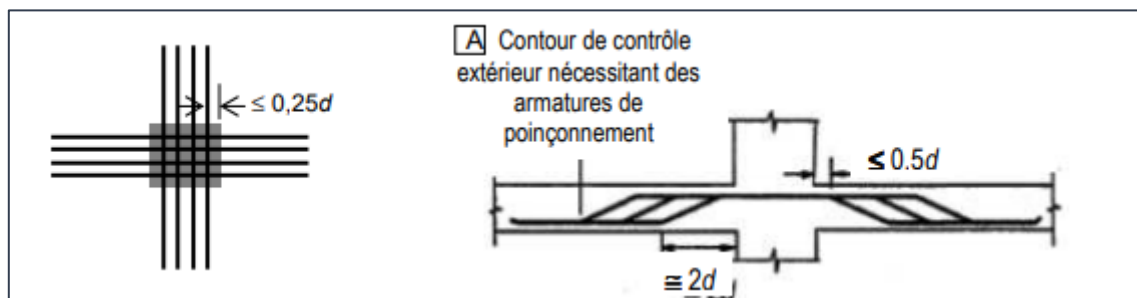


Figure 43 Espacements des armatures de poinçonnement en barres relevées (EC 2-1-1, Fig. 9.10b)

Les barres relevées traversant l'aire chargée ou se trouvant à une distance de cette aire inférieure à $0,25d$, peuvent être utilisées comme armatures de poinçonnement.

5.3.Dispositions constructives face au poinçonnement :

Il est commun d'avoir recours à différents moyens afin d'augmenter la résistance au poinçonnement des dalles de grandes portées comme dans notre cas. Outre les armatures de

poinçonnement, l'ajout d'un ressaut au niveau de la colonne permet d'augmenter efficacement la résistance au poinçonnement, comme indiqué sur la figure 44 :

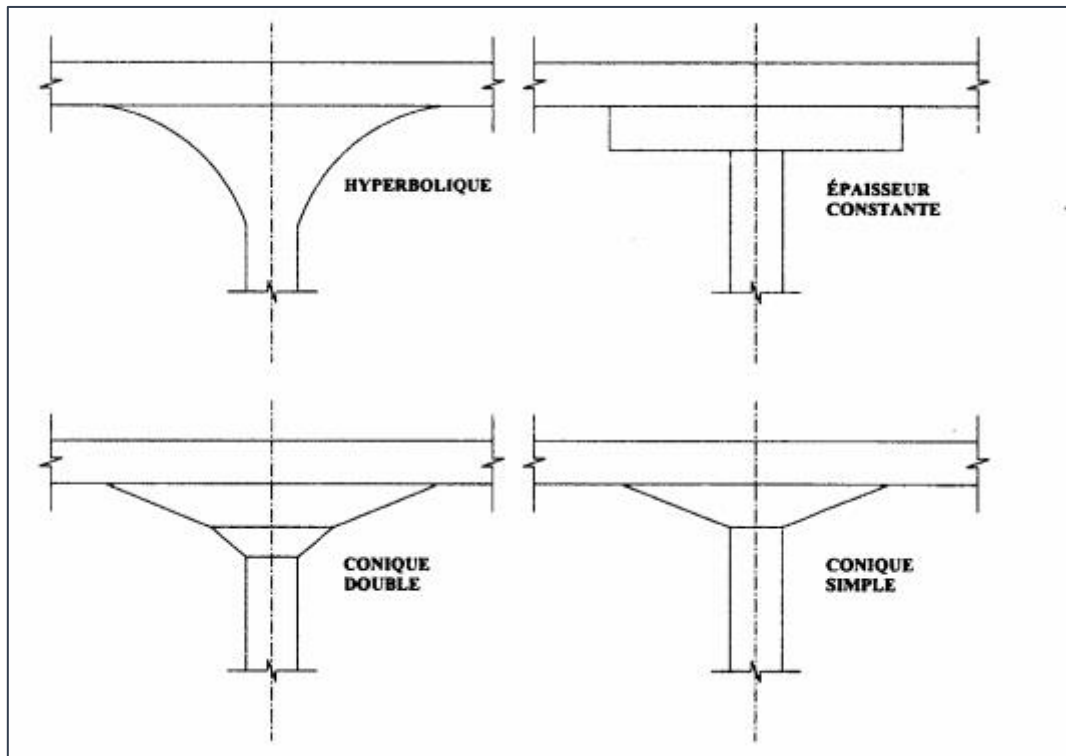


Figure 44 Géométries possibles des ressauts des planchers-dalles face au poinçonnement

5.4.Vérification du poinçonnement du poteau P3 par CYPECAD :

La vérification de l'état limite d'épuisement face au poinçonnement est effectuée par CYPECAD comme indiqué dans les règles BAEL 91 révisées 99.

Il définit le contour du périmètre d'influence de poinçonnement du poteau et vérifie l'état limite ultime des armatures d'âmes.

Dans le cas d'une charge localisée éloignée des bords de la dalle, on admet qu'aucune armature d'effort tranchant n'est requise, si la condition suivante est satisfaite (A.5.2,42 [3]) :

$$Q_u \leq 0,045 \cdot u_c \cdot h \cdot \frac{f_{cj}}{\gamma_b}$$

Avec :

Q_u : la charge de calcul vis-à-vis de l'état limite ultime.

u_c : le périmètre du contour défini en A.3.2,5 [5]. au niveau du feuillet moyen.

h : l'épaisseur totale de la dalle.

f_{cj} : Résistance caractéristique à la compression du béton âgé de j jours.

γ_b : Coefficient partiel de sécurité pour le béton.

Et :

$$u_c = 4200 \text{ mm}$$

$$h = 300 \text{ mm}$$

$$F_{c28} = 25 \text{ MPa}$$

$$\gamma_b = 1.5$$

5.4.1. Situations durables:

Les efforts sollicitant de calcul défavorables se produisent pour la combinaison d'actions suivante :

$$1.35 \cdot PP + 1.35 \cdot G + 1.5 \cdot Q_a + 1.005 \cdot V(-X).$$

$$\text{Donc : } Q_u = 410,25 \text{ KN}$$

$$410,25 \text{ KN} \leq 945 \text{ KN}$$

5.4.1.1. Situations sismiques et accidentelles:

Les efforts sollicitant de calcul défavorables se produisent pour la combinaison d'actions suivante :

$$PP + G + 0.65 \cdot Q_a + SX + 0.3 \cdot SY.$$

$$\text{Donc : } Q_u = 345,73 \text{ KN}$$

$$345,73 \text{ KN} \leq 1232,61 \text{ KN}$$

Conclusion : La condition de poinçonnement (A.5.2,42[5]) est vérifiée pour ce cas. Pas besoin d'armatures de renfort.

Le plancher-dalle du 1^{er} étage est stable vis-à-vis du poinçonnement pour tous les poteaux, les résultats sont indiqués dans l'annexe 12.

Chapitre 6 : Etude de la deuxième variante des dalles : Dalle réticulée

I. Introduction :

Le dimensionnement manuel des planchers réticulés se fait par la méthode des portiques virtuels qui se base sur une discrétisation de la structure en portiques virtuels.

L'application de la méthode des portiques virtuels exige la vérification d'un certain nombre de conditions dictées par la norme américaine ACI-318². Parmi, ces conditions on cite :

- Il existe un minimum de trois travées dans chaque direction
- Les cadres sont rectangulaires dont le plus grand côté n'est pas supérieur au double du plus petit.
- Toutes les charges et les surcharges sont verticales.

Cependant, le plan de coffrage de notre bâtiment ne vérifie pas ces conditions. A cet effet, nous avons utilisé le logiciel CYPECAD.

En effet, CYPECAD est un logiciel conçu pour réaliser le dimensionnement des structures en béton armé et métalliques. Il permet l'analyse spatiale, le dimensionnement de tous les éléments structuraux, l'édition des armatures et des sections et l'obtention des plans de construction de la structure.

II. Modélisation de la dalle réticulée :

1. Géométrie du plancher réticulé :

Référence: Sistema FOREL canto estructural 40, canto arquitectónico 43, ancho de nervio 12

Matériau: En polystyrène

Nb de pièces: [Icones de blocs]

Données géométriques: ☒ Égales en X et en Y ☐ Différentes en X et en Y

Épaisseur totale (h): 40.0 cm

Dalle de compression (c): 5.0 cm

Entraxe (b): 80.0 cm

Largeur de la nervure (a): 12.0 cm

☒ Volume de béton: 0.169 m³/m²

☒ Poids propre: 4.16 kN/m²

Diagramme de la section T: Dimensions a (largeur de la nervure), b (entraxe), c (épaisseur de la dalle de compression), h (épaisseur totale).

Figure 45 Caractéristiques des caissons de la dalle réticulée

² ACI 318 Building Code Requirements for Structural Concrete provides minimum requirements necessary to provide public health and safety for the design and construction of structural concrete buildings. It is issued and maintained by the American Concrete Institute. The latest edition of the code is ACI 318-14.

Les caissons sont en polystyrène expansé de dimensions : $68 \times 68 \times 35 \text{ cm}^3$.

Les caractéristiques influençant le choix du polystyrène expansé sont les suivantes :

- Sa faible densité volumique,
- Sa bonne isolation thermique et acoustique,
- Sa résistance mécanique,
- Son insensibilité à l'eau.

2. Les poutres périmètres (couronne ou chainage) :

Ce sont des poutres noyées dans l'épaisseur de la dalle ou à très faible retombée. Ces poutres sont encastrées dans la dalle et sont conçues pour résister, à la fois, à la flexion et à la torsion. Ces poutres sont appelées « couronnes ou chainage ».

Les couronnes relient les panneaux entre eux, entourent les bords du plancher et enlacent les vides prévus pour les trémies, ascenseurs ou cages d'escaliers.

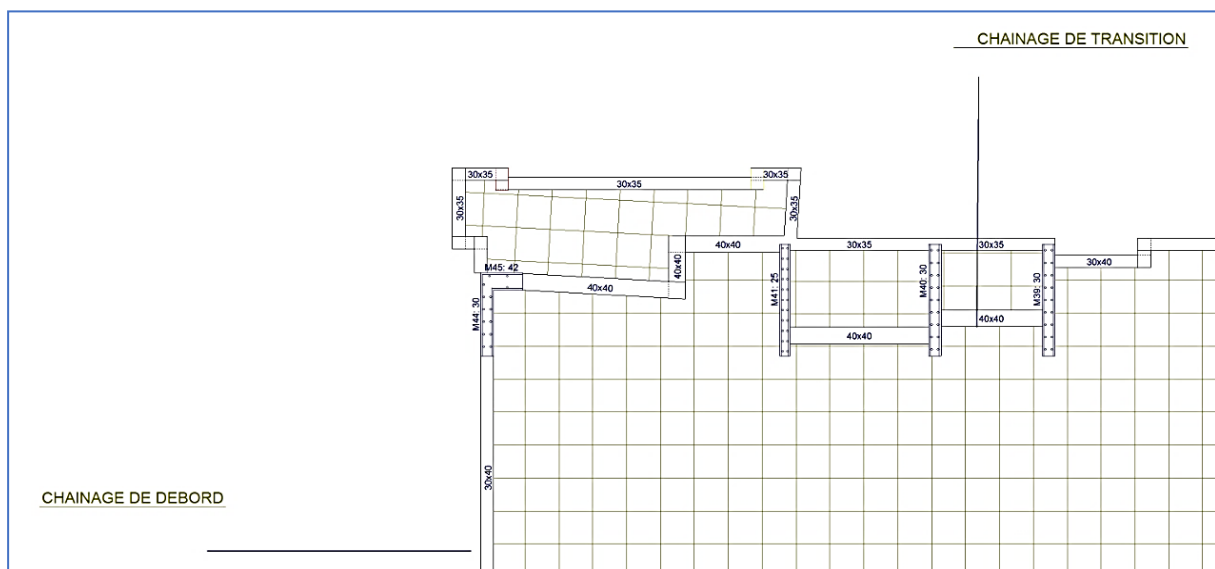


Figure 46 Schéma illustratif des poutres périmètres de la dalle réticulée

3. Les panneaux (abaques) :

A l'endroit du croisement des poteaux avec le plancher réticulé, les sollicitations deviennent de plus en plus importantes, c'est pour cette raison qu'on dote le plancher dans ces endroits d'une dalle pleine appelée panneau ou abaque. L'abaque peut avoir la même épaisseur H que la plaque (tendance actuelle adoptée pour la réalisation de la majorité des dalles planes), comme il peut dépasser la hauteur H et avoir une forme rectangulaire ou tronco-pyramidale à angle 45° appelée « chapiteau » dans les cas des dalles ayant de grandes portées et supportant des charges élevées.

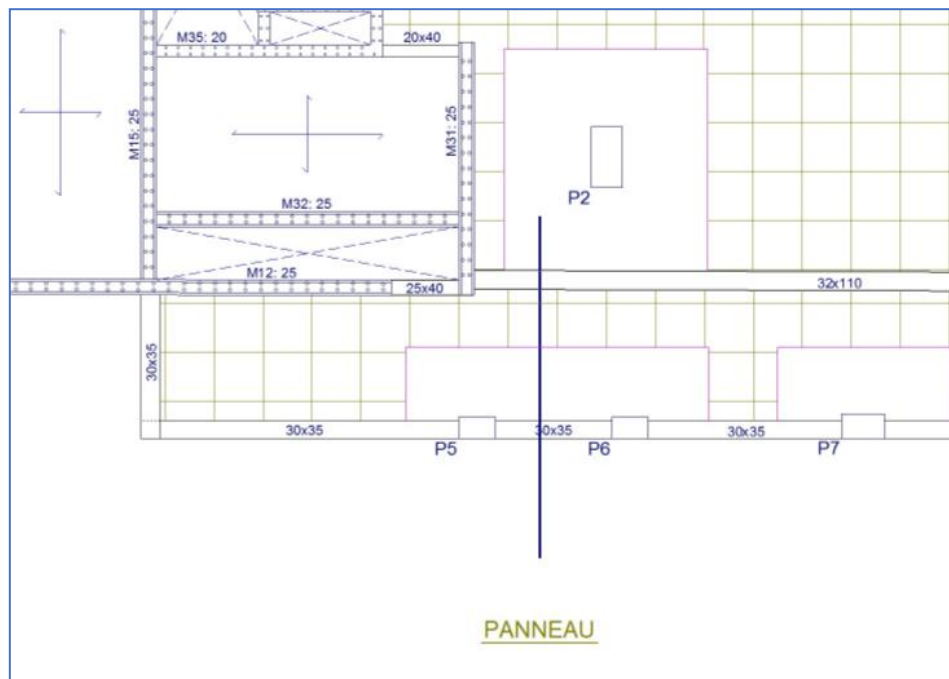


Figure 47 Schéma illustratif d'un panneau de la dalle réticulée

III. Ferrailage de la dalle réticulée à l'aide du logiciel de calcul CYPECAD :

1. Calcul du ferrailage du plancher-haut du 1^{er} étage :

Si on désire ne pas exploiter les plans de ferrailage donnés par le logiciel, les armatures peuvent être calculées soit à partir des moments en travers donnés par les cartographies des moments, soit en utilisant directement des cartographies de ferrailage (figure 48) données par logiciel CYPECAD.

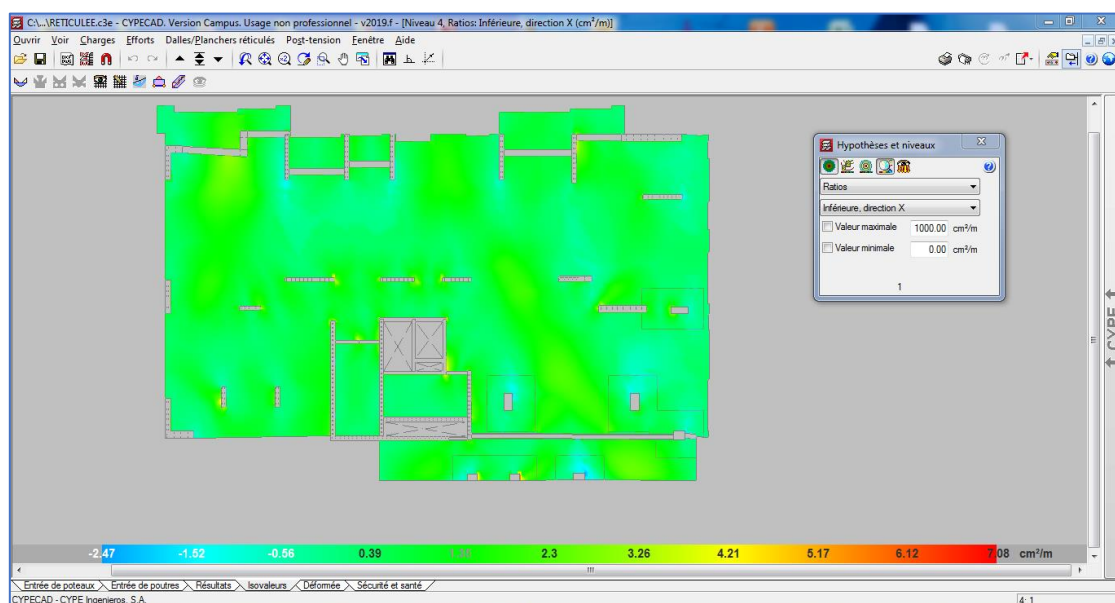


Figure 48 Cartographie du ferrailage inférieur, direction X

1.1.Disposition du ferrailage :

Le ferrailage de la nervure est disposé comme indiqué sur la figure 49 :

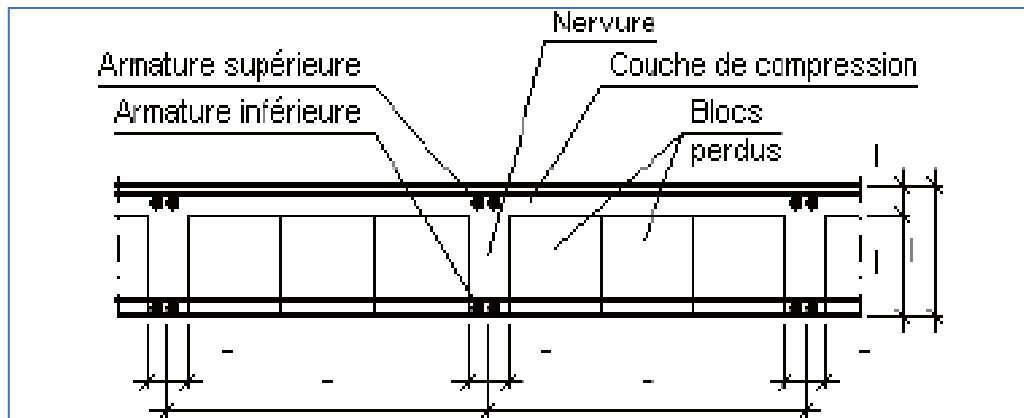


Figure 49 Disposition du ferrailage dans la nervure

1.2.Ferrailage des zones allégées :

On procède au ferrailage par bande avec une largeur convenable, figure 50, (1 m pour notre cas) pour avoir une nervure par bande, puis on choisit les armatures convenables (figure 50) :



Figure 50 Cartographie du ferrailage supérieur, direction X



Figure 51 Cartographie du ferrailage supérieur, direction X, armatures choisies

On procède de la même manière pour le ferrailage longitudinal (inférieur), et transversal (inférieur et supérieur).

Pour le reste de notre étude, on adopte comme résultat les plans de ferrailage donnés par CYPECAD et présentés en Annexe 5.

1.3.Ferrailage des zones massives (panneaux):

Afin de ne pas laisser de grandes zones de béton massif sans armature et qui pourraient donc se fissurer. On met en place des armatures intermédiaires dans les nervures, avec un minimum de 2 dans la zone supérieure et dans la zone inférieure.

On choisit 2HA10 les armatures longitudinales et 2HA8 pour les armatures transversales.

Si le poinçonnement n'est pas vérifié, on renforce cette zone avec les armatures nécessaires ou on augmente l'épaisseur du panneau.

2. Vérification des dalles réticulées:

2.1.Renforts au cisaillement et au poinçonnement des dalles réticulées :

Dans les panneaux :

Il est possible de placer des barres inclinées, des croisillons de poutres, des épingles verticales, de cadres ou des platines avec connecteurs.

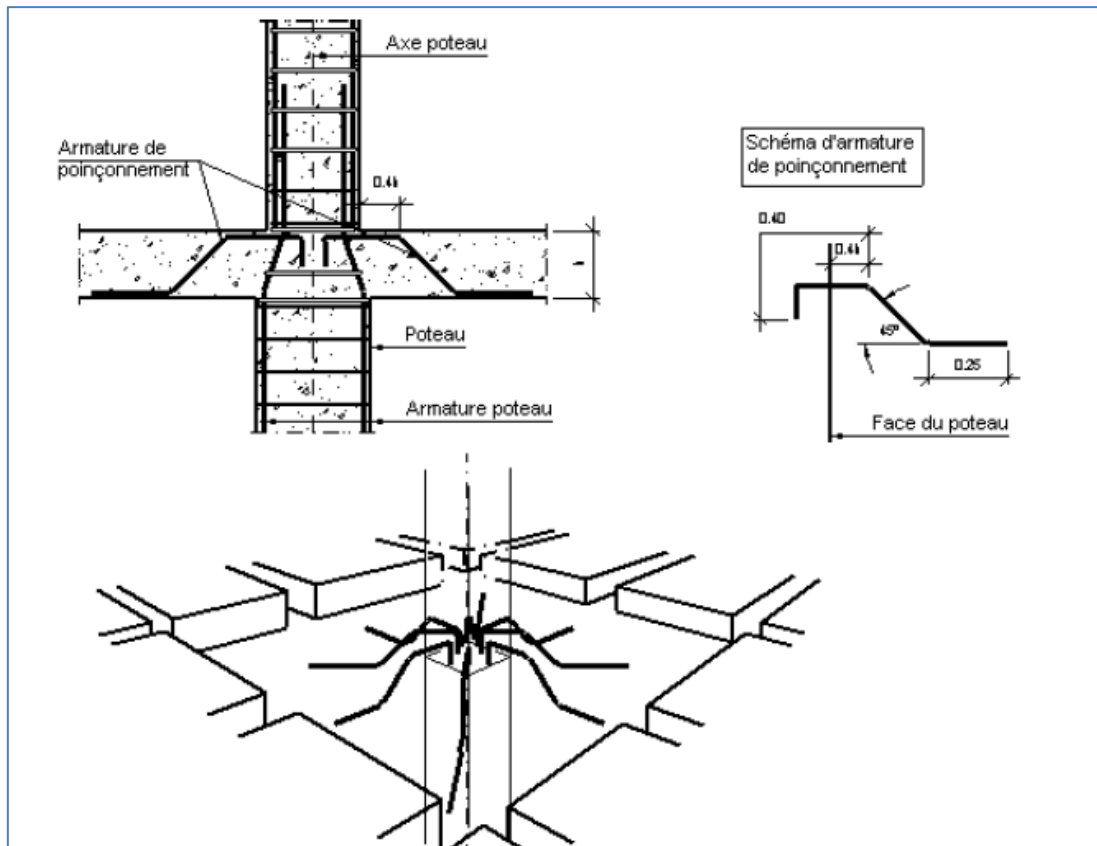


Figure 52 Renforts au cisaillement dans les panneaux des dalles réticulées, image prise du doc "Planchers réticulés dans CYPECAD"

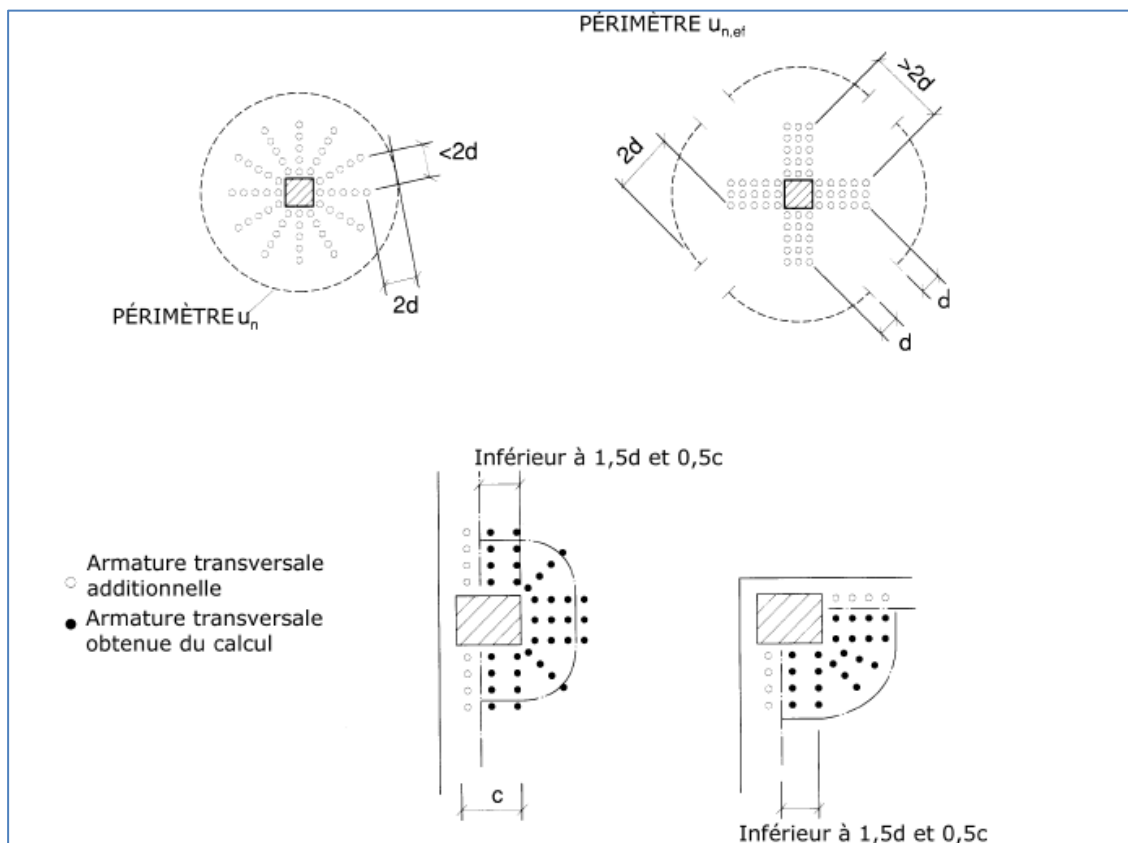


Figure 53 Armatures transversales de poinçonnement des panneaux des dalles réticulées, image prise du doc "Planchers réticulés dans CYPECAD"

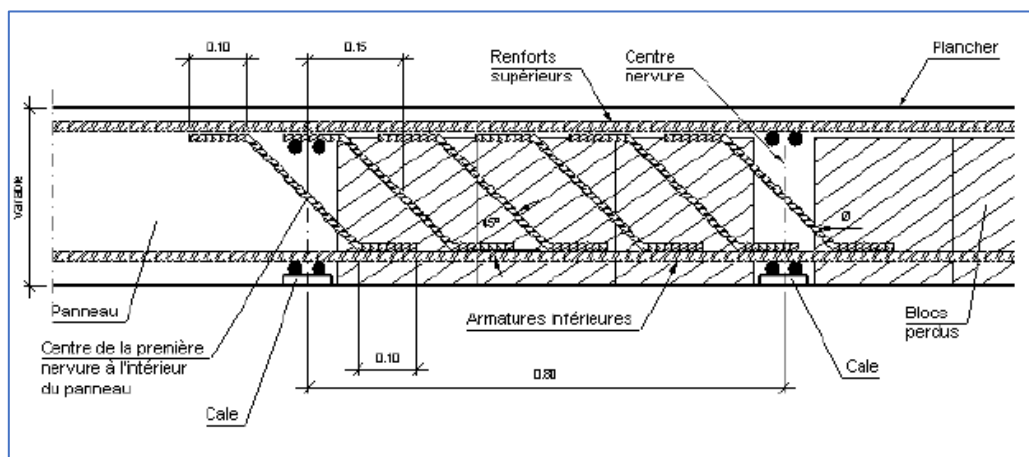
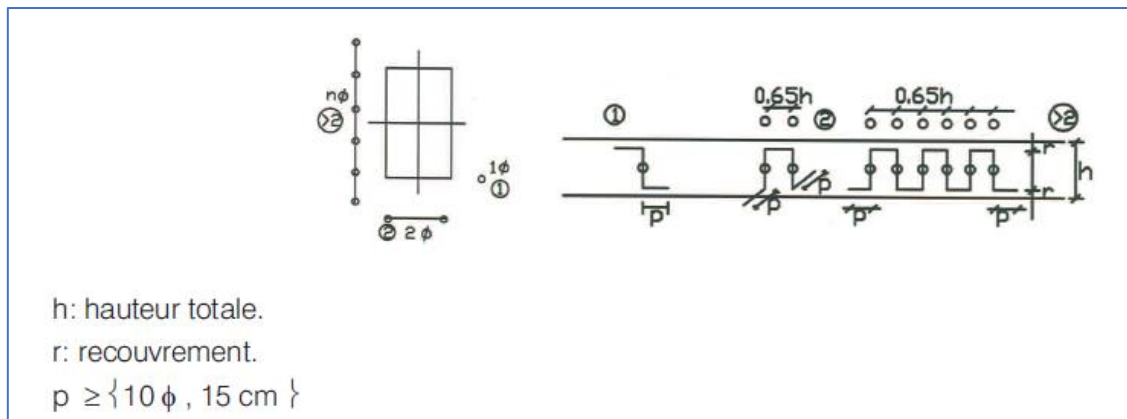


Figure 54 Détails constructifs avec rames verticales, armatures au poinçonnement, dalles réticulées type blocs perdus

2.2.Vérification du poinçonnement du poteau P3 à l'aide de CYPECAD :

CYPECAD procède à la définition du périmètre de contour de poinçonnement et à la vérification des contraintes tangentielles. Au cas où la condition de poinçonnement n'est pas vérifiée, on dimensionne l'armature de renfort nécessaire.

Dans le cas d'une charge localisée éloignée des bords de la dalle, on admet qu'aucune armature d'effort tranchant n'est requise, si la condition suivante est satisfaite (A.5.2,42 [3]) :

$$Q_u \leq 0.045 \cdot u_c \cdot h \cdot \frac{f_{cj}}{\gamma_b}$$

Avec :

Q_u : la charge de calcul vis-à-vis de l'état limite ultime.

u_c : le périmètre du contour défini en A.3.2,5[5]. au niveau du feuillet moyen.

h : l'épaisseur totale de la dalle.

f_{cj} : Résistance caractéristique à la compression du béton âgé de j jours.

γ_b : Coefficient partiel de sécurité pour le béton.

u_c	:	4600 mm
h	:	400 mm
f_{cj}	:	25.00 MPa
γ_b	:	1.50

2.2.1. Situations durables :

Les sollicitations de calcul défavorables se produisent pour la combinaison d'actions $1.35 \cdot PP + 1.35 \cdot G + 1.5 \cdot Q_a$.

Donc : $Q_u = 347,64 \text{ KN}$

Vérification :

$$347.64 \text{ kN} < 1380.00 \text{ kN}$$

2.2.2. Situations sismiques et accidentelles:

Les sollicitations de calcul défavorables se produisent pour la combinaison d'actions $PP + G + 0.65 \cdot Q_a + SX + 0.3 \cdot SY$.

Donc : $Q_u = 264 \text{ KN}$

Vérification :

$$264 \text{ kN} < 1800.00 \text{ kN}$$

Conclusion : le poinçonnement est bien vérifié. Pas besoin d'armatures de renfort.

2.3 Vérification de l'effort tranchant :

La vérification de l'effort tranchant dans une bande de largeur B peut se faire suivant la relation suivante [5] :

$$\tau_u = n \frac{V_n}{B \cdot d} < \min(0,2 f_{ct28} ; 5 \text{ MPa})$$

Avec n le nombre des nervures dans la bande et d la hauteur utile.

La fissuration est peu préjudiciable.

D'après les cartographies de l'effort tranchant présentées en annexe 4, toutes les valeurs de la contrainte de cisaillement sont inférieures à la valeur admissible : $\tau_{max} = 5 \text{ MPa}$. Donc, pas besoin de mettre des armatures transversales.

2.4 Vérification de la flèche :

Pour ne pas nuire à l'aspect et à l'utilisation de la construction, la flèche susceptible de mettre en cause le bon comportement des dalles est limitée comme suit (article B.6.5.3 [5]) :

- Pour les éléments supports reposant sur deux appuis :

- $L/500$ si la portée L est au plus égale à 5 m ;
- $0.5\text{ cm} + L/1000$ si la portée L est supérieure à 5 m ;
- Pour les éléments supports en console :
 - Si la portée est inférieure à 2 m est $L/250$;
 - Si la portée est supérieure à 2 m , aucune valeur limite n'est indiquée par le règlement.

Les règles de bonnes pratiques recommandent de limiter la flèche à 1 cm .

D'après la cartographie des flèches (figure 95), on constate que les valeurs de la flèche sont bien inférieures à la limite recommandée $f_{max} = 9,82\text{ mm}$.

2.5 Condition de non fragilité (nervures):

La section d'armatures par nervure doit être supérieure ou égale à la section minimale de non fragilité de la section :

$$A_{min} = 0.23 \cdot b \cdot d \cdot \frac{f_{t28}}{f_e} = 0,37\text{ cm}^2$$

Ceci pour les deux directions (x et y).

Les sections d'armatures adoptées sont bien supérieures à la section minimale d'armatures de non fragilité (annexe 5).

3. Ferrailage de la poutre périmètre :

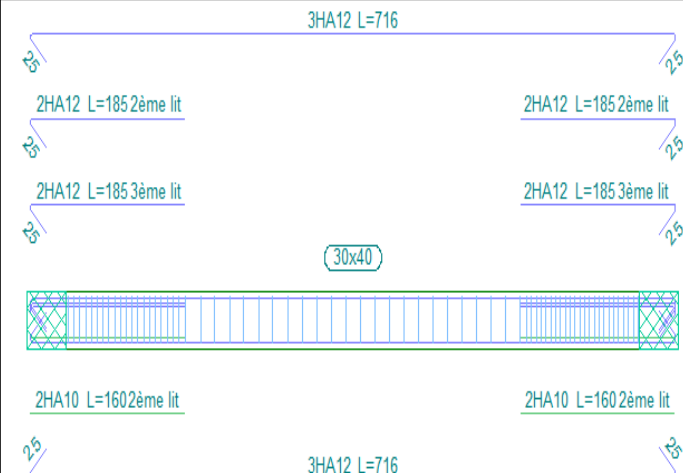
Données de la poutre	
	Géométrie
	Dimensions : 30×40
	Portée : 5.9 m
	Enrobage géométrique supérieur : 3.0 cm
	Enrobage géométrique inférieur : 3.0 cm
	Enrobage géométrique latéral : 3.0 cm
	Matériaux
	Béton : B25
	Armature longitudinale : Fe E500
	Armature transversale : Fe E500

Figure 55 Ferrailage de la poutre périmètre de la dalle réticulée par CYPECAD

4. Détails constructifs :

4.1.Détail du bord extrême :

L'enrobage latéral de la poutre de bordure doit être d'environ 5 cm pour que les ancrages des armatures supérieures aient l'enrobage nécessaire. Le coffrage doit rester séparé des cadres de 5 cm.

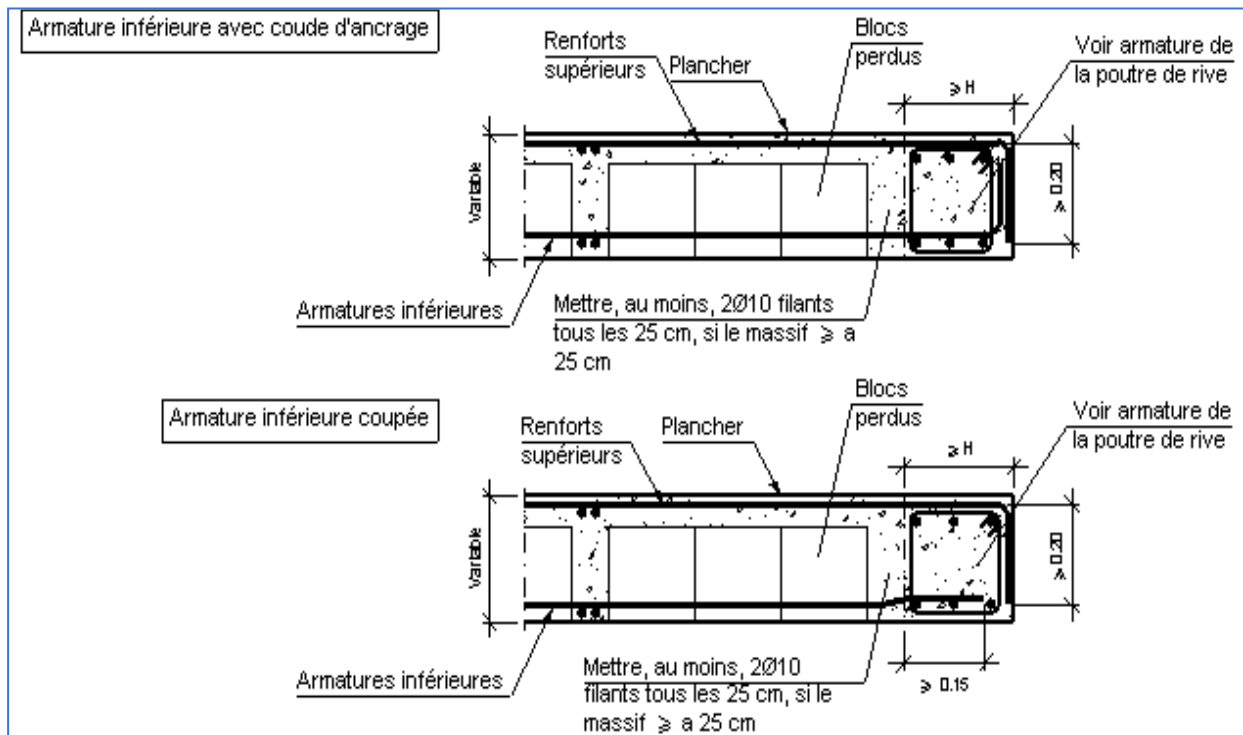


Figure 56 Schéma illustratif des détails constructifs du bord extrême de la dalle réticulée

4.2.Changement de cote avec un dénivelé plus grand que l'épaisseur du plancher :

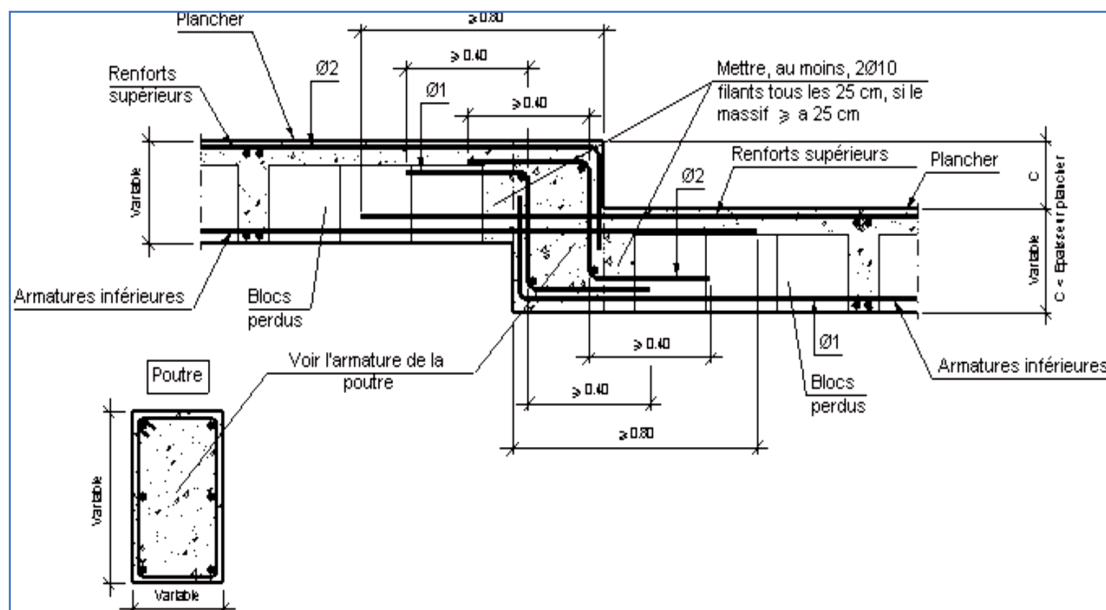


Figure 57 Schéma illustratif des détails constructifs du changement de côte

4.3.Détail de l'appui (plancher sur voile) :

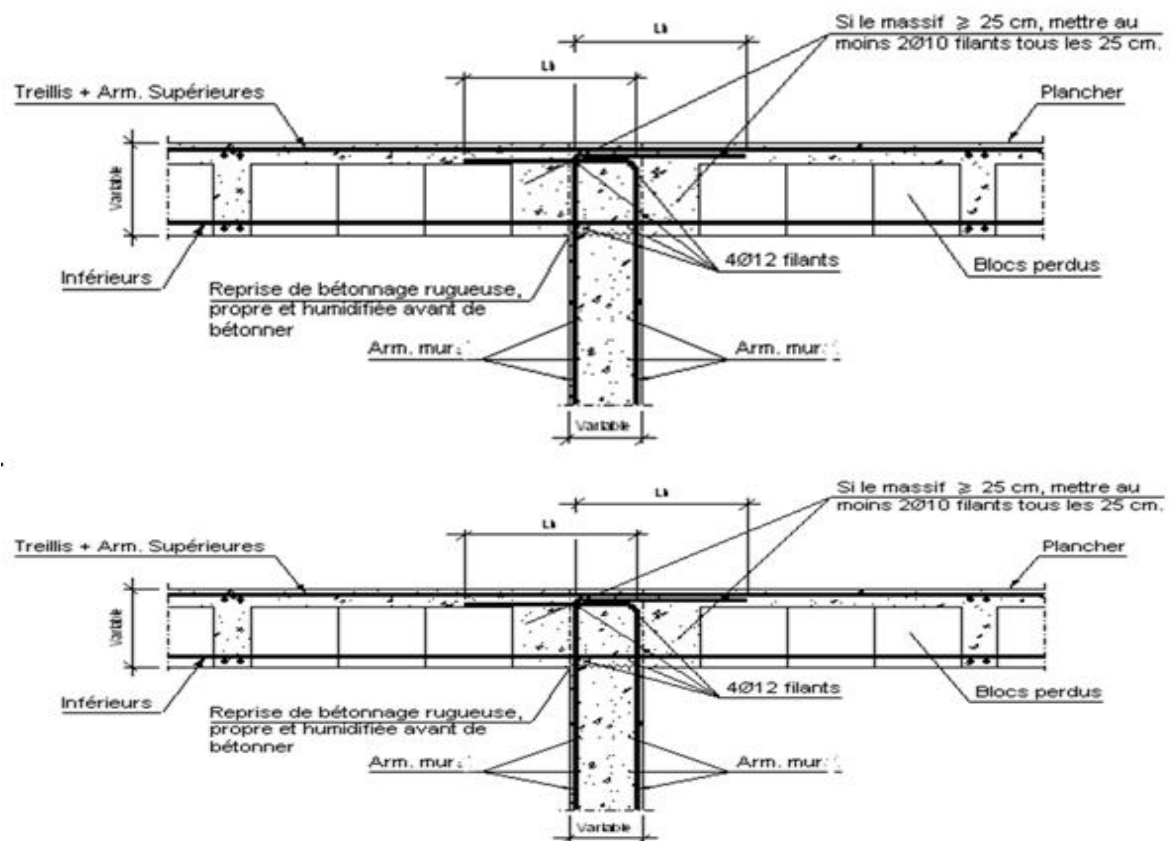


Figure 58 Schéma illustratif des détails constructifs de l'appui du plancher réticulé sur voile

Chapitre 7 : Dimensionnement des éléments porteurs

I. Dimensionnement des voiles en béton armé :

1. Méthode manuelle :

1.1.Introduction :

Un voile de section rectangulaire se comporte comme une console verticale, encastrée en pied dans ses fondations et soumise à des charges réparties ou concentrées à chaque plancher.

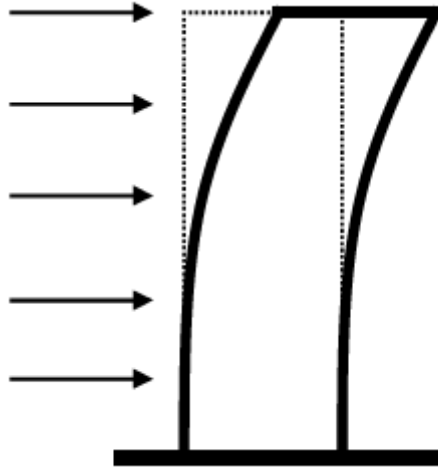


Figure 59 Comportement d'un voile en béton armé (image prise de GC document, dimensionnement des voiles en BA par R.Taleb et B.Eldjouzi)

Ainsi, les sollicitations d'un voile se réduisent à :

- Un moment fléchissant et effort tranchant provoqués par l'action du séisme.
- Un effort normal dû à la combinaison des charges permanentes, d'exploitation ainsi que l'action sismique.

Donc les voiles en béton armé sont calculés en flexion composée.

Le ferrailage d'un voile en béton armé consistera donc en :

- Des armatures concentrées dans les deux extrémités ou dans les ailes pour équilibrer le couple due au moment d'encastrement (armatures de flexion A_f).
- Des armatures verticales uniformément réparties (armatures de compression A).
- Des armatures horizontales, elles aussi uniformément réparties (armatures de l'effort tranchant A_t).

A la base du voile, sur une hauteur critique, des cadres sont disposés autour de ces armatures pour augmenter la ductilité de cette zone.

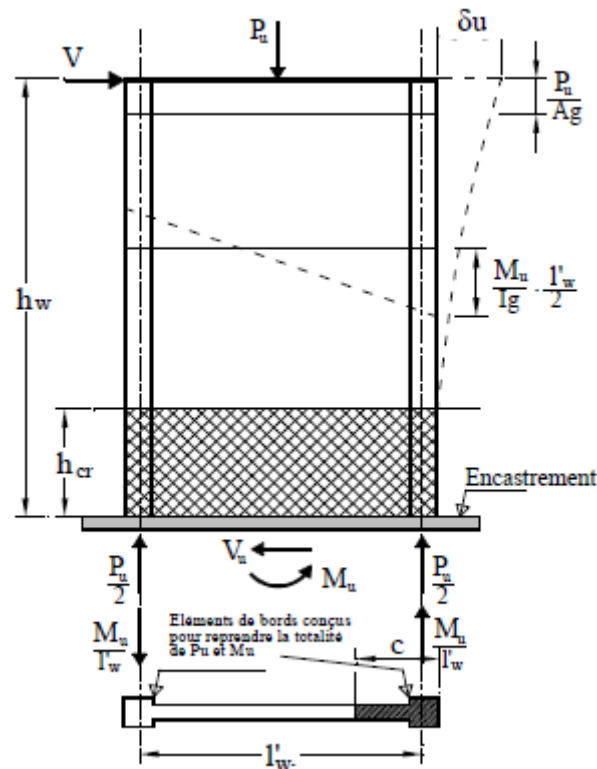


Figure 60 Modèle d'un voile sollicité en flexion composée (image prise du « GC document, dimensionnement des voiles en BA » par R.Taleb et B.Eldjouzi)

P_u , V_u et M_u : efforts internes respectivement (effort normal, effort tranchant et moment fléchissant) ultimes résultants de l'analyse dans la situation sismique de calcul.

h : hauteur totale du voile mesurée à partir de la base jusqu'au sommet de la structure ;

l : longueur du mur en plan ;

h_{cr} : hauteur de la zone où se produisent les déformations plastiques, appelée zone critique, égale à [1]:

$$h_{cr} = \max\left(\frac{h}{6}; l\right)$$

Un voile en béton armé doit faire l'objet des vérifications suivantes :

- Justification de la stabilité de forme, à savoir la résistance au flambement.
- Justification vis-à-vis de l'effort normal et du moment de flexion.
- Justification vis-à-vis de l'effort tranchant.

La vérification se fera selon le [16] relatif aux murs et parois en béton banché, tout en tenant compte des différentes dispositions et règles du [1] et [17].

Longueur de flambement :

On note :

l_f : la longueur libre de flambement d'un mur non raidi ;

h : la hauteur libre du mur.

Lorsqu'un mur n'est pas raidi latéralement par des murs en retour, la longueur libre de flambement l_f se déduit de la hauteur libre du mur h , en fonction de ses liaisons avec le plancher. Les valeurs du rapport k entre l_f et h (coefficient de flambement) sont données par le tableau 33:

$$k = \frac{l_f}{h}$$

Liaison du mur		Mur armé verticalement	Mur non armé verticalement
		Valeurs de k	
Mur encastré en tête et en pied	Il existe un plancher de part et d'autre	0.80	0.85
	Il existe un plancher d'un seul côté	0.85	0.90
Mur articulé en tête et en pied		1.00	1.00

Tableau 33 Valeurs du rapport l_f/h dans le cas d'un mur non raidi

L'élancement mécanique se déduit de la longueur libre de flambement par la relation :

$$\lambda = \frac{l_f \sqrt{12}}{a}$$

Avec :

a : épaisseur du mur.

1.2.Vérification des contraintes normales :

Le DTU 23.1 fait bien la distinction entre les dispositions minimales de ferrailage dans le cas de murs non armés [DTU 23.1/4,12] [DTU 23.1/4,13] et les pourcentages minimaux à respecter dans le cas des murs armés [DTU 23.1/4,225].

Le DTU 23.1 définit ensuite les murs non armés et armés en fonction de la sollicitation ultime $N_{u \text{ lim}}$. Il s'agit de s'assurer que l'effort normal extérieur pondéré N_u sollicitant le mur à l'ELU est inférieur ou égal à l'effort $N_{u \text{ lim}}$ résistant équilibré par la section de béton et éventuellement la section des armatures :

$$N_u \leq N_{u \text{ lim}}$$

En l'absence de charges localisées, la contrainte normale ultime σ_u agissant sur une bande de mur de longueur d et d'épaisseur a est :

$$\sigma_u = \frac{N_u}{ad}$$

Si les charges sont uniformément réparties, cette contrainte est uniforme. Si les charges varient le long du mur, les calculs s'effectuent par bandes de mur en prenant pour N_u la valeur moyenne dans chaque bande considérée. La largeur d de chaque bande doit être inférieure à la plus petite des deux valeurs suivantes : (4,224[16]).

- La moitié de la hauteur de l'étage concerné ;

- Les deux tiers de la zone d'action des contraintes de compression non nulles agissant sur le mur.

$N_{u \text{ lim}}$ est donné par les formules suivantes :

- Dans le cas d'un mur non armé : $A = 0$:

$$N_{u \text{ lim}} = \alpha \times \frac{B_r \times f_{c28}}{0.9 \times \gamma_b}$$

Avec :

$$B_r = l(a - 2(cm)) \text{ et } \alpha = \frac{0.65}{1 + 0.2\left(\frac{\lambda}{30}\right)^2}$$

- Dans le cas d'un mur armé : $A \neq 0$:

$$N_{u \text{ lim}} = \alpha \left(\frac{B_r \times f_{c28}}{0.9 \times \gamma_b} + \frac{A \times f_e}{\gamma_s} \right)$$

Avec :

$$\alpha = \frac{0.85}{1 + 0.2 \times \left(\frac{\lambda}{35}\right)^2} \quad \text{si } \lambda \leq 50 \quad \text{et} \quad \alpha = 0.6 \times \left(\frac{50}{\lambda}\right)^2 \quad \text{si } 50 \leq \lambda \leq 80$$

Les valeurs de α sont à diviser par 1,10 si plus de la moitié des charges est appliquée avant 90 jours.

Si la majeure partie des charges est appliquée à un âge < 28 jours, on remplace f_{c28} par f_{cj} et α par $\alpha/1,20$.

On déduit la contrainte limite ultime qui vaut :

$$\sigma_{u \text{ lim}} = \frac{N_{u \text{ lim}}}{a \times l}$$

On suppose que les charges sont uniformément réparties donc d est égale à l .

Deux vérifications doivent être faites aux niveaux I et II du mur :

- Section I-I à mi-hauteur d'étage : $\sigma_u \leq \sigma_{u \text{ lim}}$
- Section II-II sous le plancher-haut : $\sigma_u \leq \frac{\sigma_{u \text{ lim}}}{\alpha}$

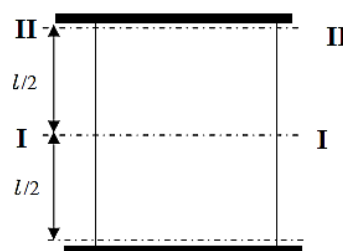


Figure 61 Niveau de vérification des contraintes du voile (image prise du même document "GC document, dimensionnement des voiles en BA")

1.3.Détermination des dispositions des armatures verticales et horizontales :**1.3.1. Armatures verticales :**

- **Espacement maximal entre axes des armatures :**

$$s_{t \max} \leq \min(33\text{cm} ; 2a)$$

- **Armatures minimales/pourcentages minimaux :**

$$A_v \leq \rho_v \times l \times a$$

$$\rho_v \geq \max(0.001 ; 0.0015 \times \frac{400 \times O}{f_e} \left(\frac{3 \times \sigma_u}{\sigma_{u \lim}} - 1 \right))$$

Avec : $O=1,4$ pour un voile de rive et $O=1$ pour un voile intermédiaire.

La section d'armature correspondante au pourcentage ρ_v doit être répartie par moitié sur chacune des faces de la bande de mur considérée, en respectant l'intervalle défini plus haut.

- **Armatures transversales :**

- Si $\phi_v \leq 12 \text{ mm}$ prévoir 4 épingles/m² au minimum.
- Si $\phi_v \geq 12 \text{ mm}$ prévoir un espacement des épingles inférieur ou égal à $15 \times \phi_v$
- Le diamètre ϕ_t des épingles est :

$$\phi_t = 6\text{mm} \text{ lorsque } \phi_v \leq 20\text{mm} \text{ et } \phi_t = 8\text{mm} \text{ lorsque } \phi_v \geq 20\text{mm}$$

1.3.2. Armatures horizontales :

- **Espacement maximal entre axes des armatures :**

$$s_{t \max} \leq \min(33\text{cm})$$

- **Armatures minimales /pourcentages minimaux :**

$$A_h \geq \rho_h \times 100 \times a$$

$$\rho_h \geq \max\left(\frac{2 \times \rho_{v \max}}{3} ; 0.001\right)$$

Avec : $\rho_{v \max}$: le pourcentage vertical de la bande la plus armée verticalement.

- **Armatures transversales :**

Pas d'armatures transversales.

Remarque : [1]

Le taux minimal de l'armature verticale et horizontale, à toute section est égal à 0,20% de la section horizontale du béton. Le taux maximal est égal à 4%.

Le diamètre des barres utilisées ne doit pas dépasser 1/10 de l'épaisseur du mur.

L'espacement des barres verticales et horizontales est égal à :

$$s = \min(30\text{cm}, 1.5a) \text{ en zone courante;}$$

$$s = \min(20\text{cm}, 1.5a) \text{ en zone critique, } a \text{ étant l'épaisseur du mur.}$$

Les deux nappes doivent être reliées, et les barres horizontales doivent être exposées vers l'extérieur, menues de crochets de 135° ayant une longueur de 10ϕ .

Le calcul du ferrailage se fera selon le DTU 23.1 et les recommandations du PS 92. Les résultats trouvés seront ensuite vérifiés selon les exigences du règlement parasismique marocain RPS2000V2011.

1.3.3. Dispositions relatives aux armatures des potelets :

Le calcul d'un voile ou trumeau est effectué en flexion composée, il convient que les armatures verticales nécessaires pour la vérification de la résistance sous la combinaison sismique la plus défavorable, seront concentrées dans les éléments de rives, aux deux extrémités de la section transversale du voile.

Les résistances à la flexion sont calculées de façon classique, en utilisant la valeur de l'effort normal P_u et le moment fléchissant M_u , résultant de l'analyse dans la situation sismique de calcul.

Le mode de ruine par plastification des armatures verticales tendues et écrasement du béton comprimé, est le schéma de ruine le plus satisfaisant qui correspond à la formation d'une rotule plastique dans la partie inférieure du voile avec une importante dissipation d'énergie.

La détermination des efforts internes dans le voile (moment fléchissant, effort normal et effort tranchant) ainsi que les contraintes est effectuée souvent à l'aide de logiciels informatiques car l'apparition de ces modèles modernes d'analyse a considérablement facilité l'étude du comportement global de la structure et par suite la prévision du ferrailage nécessaire à la résistance de ces éléments structuraux du projet, et ce après une bonne interprétation des résultats du modèle.

En général, pour le calcul de la section nécessaire d'aciers à la traction le voile est assimilé à une poutre rectangulaire sollicitée en flexion composée dont la largeur b et la hauteur h sont remplacé respectivement par l'épaisseur a et la largeur l du voile

Etant donné que le moment M_u est réversible, les armatures choisies seront placées par symétrie dans les deux extrémités du voile. D'après le [17] article 11.8.2.1.4, Elles sont en outre regroupées dans un potelets (figure 62) de dimensions minimales a et d' , avec :

$$d' = \max\left(a, a \times q \times \frac{n}{\sigma_{bc}}, \frac{l_f}{15} \times q \times \frac{n}{\sigma_{bc}}\right)$$

Avec :

- q : le coefficient de comportement
- n : σ_u
- σ_{bc} : $\max(\sigma_{ulim} ; (0,85 \cdot f_{c28} / 1,5))$.

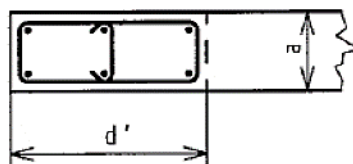


Figure 62 Dimensions minimales des potelets d'après le PS 92

1.3.3.1. Ferrailage transversale minimale :

Chaque armature longitudinale résultant du calcul en flexion composée est ligaturée transversalement par des épingles de diamètre ϕ_t et d'espacement s_t vérifiant les conditions suivantes :

$$s_t \leq \min(10\phi_l ; 20cm)$$

$$\phi_t \geq \max\left(\frac{\phi_l}{3} ; 6mm\right)$$

1.3.3.2. Justification des sollicitations tangentes :

Deux vérifications sont à effectuer successivement :

- Vérification de cisaillement [[17] ; paragraphe 11 821.3 a]
- Vérification de non glissement [[17] ; paragraphe 11 821.3 b]

❖ Vérification de cisaillement :

Soit la section droite d'un trumeau définie par :

- Epaisseur a
- Hauteur de la section droite b
- Hauteur utile d
- Le pourcentage des armatures de flexion ϖ_f :

$$\varpi_f = 100 \frac{A_f}{ab}$$

A_f étant la section d'armature de flexion ou de chaînage d'un seul côté.

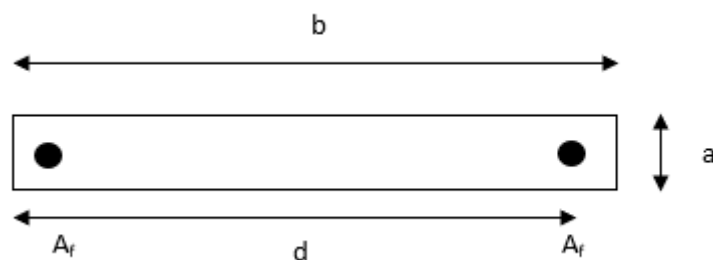


Figure 63 Section droite d'un trumeau

On définit par ailleurs :

- Sollicitations de cette section droite : N (effort normal), V (effort tranchant) et M (moment fléchissant) ;
- La contrainte normale de compression : $\sigma = N/ab$;
- Le paramètre d'excentricité : $\alpha_N = M/bN$;
- L'effort tranchant de calcul : $V^* = V(1+q) / 2$;
- Le cisaillement conventionnel de calcul associé : $\tau^* = V^* / ad$;
- Le paramètre d'élancement de calcul : $\alpha_V = M / (bV^*)$.

On calcule :

- Le moment limite M_{lim} de fissuration systématique en flexion composée est déterminé à partir de la condition de non fissuration systématique :

$$6 \frac{M_{lim}}{ab^2} - \frac{N}{ab} \leq \frac{f_{tj}}{1,5}$$

- Le cisaillement conventionnel associé :

$$\tau_1 = \tau^* \frac{M_{lim}}{M}$$

- La contrainte limite de résistance à l'effort tranchant :

$$\tau_2 = 0,45 \sqrt{f_{tj}} (f_{tj} + \frac{2}{3} \sigma)$$

Remarque : Cette formule n'est à retenir que lorsque $\sigma \leq 0,5 f_{cj}$; dans le cas contraire, le voile doit être considéré comme un poteau et vérifié comme tel.

- La contrainte limite de résistance à l'effort tranchant après fissuration, compte tenu des armatures longitudinales :

$$\tau_3 = \min(\tau_1, \tau_2) \times (1 + 3\varpi_f) + 0,15\sigma$$

$$\text{Avec : } \varpi_f \leq 2\%$$

❖ Détermination des armatures d'effort tranchant :

Il n'est pas nécessaire de prévoir des armatures d'effort tranchant si la condition suivante est satisfaite :

$$\tau^* \leq \tau_{lim}$$

$$\text{Avec : } \tau_{lim} = \max(\tau_3 ; 0,5 f_{tj})$$

Lorsque la condition ci-dessus n'est pas satisfaite, il y a lieu de prévoir des armatures d'effort tranchant disposées horizontalement ou verticalement suivant les cas et calculées par la formule :

$$\frac{A_t}{as_t} \geq \frac{\tau^* - \tau_{lim}}{0,9 \frac{f_e}{\gamma_s}}$$

Avec :

S_t : l'espacement entre les lits d'armatures A_t : $s_t \leq \frac{b}{3}$;

$\gamma_s = 1$;

f_e : limite élastique des aciers A_t .

❖ Vérification du non glissement :

Si l'on désigne par x la largeur comprimée du mur, d'épaisseur a , sous sollicitation de flexion composée, nous devons vérifier la condition suivante :

$$V^* \leq 0,35f_{tj} \cdot a \cdot x + (F_b + A' \cdot f_e) \operatorname{tg}(\varphi)$$

Avec :

$\operatorname{tg}(\varphi)=0,7$;

f_e : limite élastique des aciers A' ;

A' : les armatures verticales réparties hors-membrures d'extrémité existant dans la section $a.b$, à laquelle est associée une quantité d'armatures horizontales respectant le même pourcentage ;

F_b : la résultante des contraintes de compression.

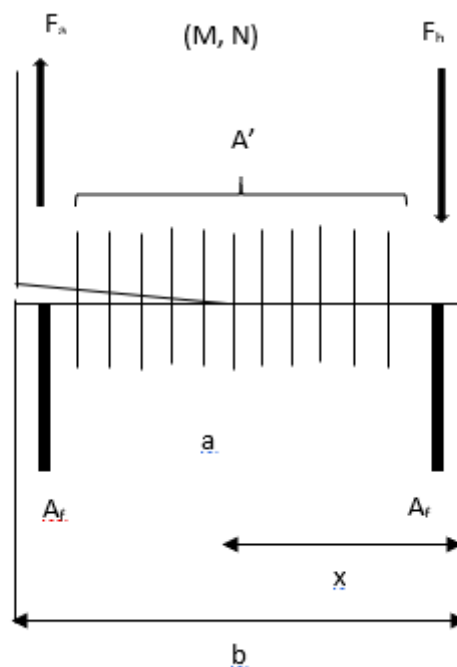


Figure 64 Vérification du non glissement

1.4.Application au voile X, variante du plancher-dalle, efforts obtenus par logiciel ROBOT 2014 :

1.4.1. Hypothèses :

- Voile extérieur de rive en béton armé de 3,96 m de longueur, 25cm d'épaisseur et 2,7m de hauteur avec une dalle d'un seul côté encastré en tête et en pied en tête et en pied sans raidisseurs aux extrémités ; (voile du 2^{ème} sous-sol)
- La charge est appliquée à plus de 90 jours ;
- Béton de résistance à 28 jours : $f_{c28} = 25 \text{ MPa}$;
- Acier $f_e = 500 \text{ MPa}$;
- Coefficient de comportement $K=1,4$;

Le voile est soumis aux efforts réduits suivants (tableau 34) (obtenus par la combinaison la plus défavorable, à savoir la combinaison accidentelle :

N (KN)	T (KN)	M (KN.m)
7887,42	-424,83	1150,22

Tableau 34 Calcul manuel d'un voile, efforts réduits

1.4.2. Contraintes limites :

Notre voile est armé et rigidifié d'un seul côté par le plancher, donc nous aurons :

$$l_f = 0,85l = 0,85 \times 2,7 = 2,295m$$

On a donc :

$$\lambda = \frac{l_f \sqrt{12}}{a} = 31,8 < 50 ;$$

On déduit alors que : $\alpha = 0,73$

Il faut donc s'assurer que l'effort normal pondéré N_u sollicitant le mur l'état limite ultime est inférieur à $N_{u \text{ lim}}$ résistant équilibré par la section du béton et éventuellement par la section d'armatures.

L'effort limite ultime est, dans le cas d'un mur armé, donné par la formule suivante :

$$N_{u \text{ lim}} = \alpha \left(\frac{B_r \times f_{c28}}{0,9 \times \gamma_b} + \frac{A \times f_e}{\gamma_s} \right)$$

Où A est la section d'acier que nous prendrons égale à la section minimale A_{min} :

$$A_{min} = \max \left(\frac{4cm^2}{m} \text{ de périmètre} ; 0,2 \times \frac{B}{100} \right) = 33,68 \text{ cm}^2$$

$$B_r = l(a - 2(cm)) = 3,96(0,25 - 0,02) = 0,9108 \text{ m}^2$$

Ainsi :

$$N_{u \text{ lim}} = 13,382 \text{ MN}$$

$$\sigma_{u \text{ lim}} = \frac{N_{u \text{ lim}}}{a \times d} = \frac{13,382}{0,25 \times 3,96} = 13,517 \text{ MPa}$$

$$\frac{\sigma_{u \text{ lim}}}{\alpha} = \frac{13,517}{0,73} = 18,516 \text{ MPa}$$

Et on a :

$$\sigma_u = \frac{N}{ad} = \frac{7887,42}{0,25 \times 3,96} = 7,967 \text{ MPa}$$

On vérifie bien que $\sigma_u < \sigma_{u \text{ lim}}$ à mi-hauteur de l'étage et $\sigma_u < \frac{\sigma_{u \text{ lim}}}{\alpha}$ à l'étage.

La contrainte du béton ne doit pas excéder la valeur suivante :

$$\sigma_{bc} = \frac{0,85f_{cj}}{1,15f}$$

Avec f est un coefficient de sécurité égal à 1,3.

On prend donc :

$$\sigma_{bc} = \min\left(\sigma_{u\ lim} ; \frac{0,85f_{c28}}{1,15 \times 1,3}\right) = \min(13,517 ; 14,214) = 13,517 \text{ MPa}$$

1.4.3. Dimensions des potelets de rive[16] :

Les dimensions minimales du potelet sont a et d' avec :

$$d' = \max\left(a ; \frac{a \times q \times n}{\sigma_{bc}} ; \frac{l_f}{15} \times q \times \frac{n}{\sigma_{bc}} ; \frac{d}{8}\right)$$

$$d' = \max(0,25 ; 0,206 ; 0,126 ; 0,495)$$

On prend : $d' = 0,5m$

Les voiles sont calculés en flexion composée sous un effort normal de compression N et un moment de flexion M . On assimile le voile en question à une poutre de largeur $a = 0,25m$ et de hauteur $h = 3,96 \text{ m}$ et $d = h - \frac{d'}{2} = 3,71m$ (distance des armatures tendues à la fibre la plus comprimée).

Rappelons que le voile est sollicité par :

$$M = 1150,22 \text{ KN.m et } N = 7887,42 \text{ KN}$$

On a :

Selon l'article A.4.3.5[5], l'excentricité nécessaire pour déterminer le moment de calcul peut s'exprimer ainsi :

$$e = e_a + e_0$$

Avec :

- e_0 : excentricité de l'effort normal calculée par la méthode statique équivalente :

$$e_0 = \frac{M}{N} = \frac{1150,22}{7887,42} = 0,146 \text{ m}$$

- e_a : excentricité additionnelle traduisant les imperfections géométriques initiales (après exécution) :

$$e_a = \max\left(2cm ; \frac{L}{250}\right) = 2cm$$

On a ainsi :

$$e = 0,146 + 0,02 = 0,166m$$

Cette excentricité doit vérifier l'inégalité suivante [17] :

$$\frac{l_f}{h} \leq \max\left(15 ; 15 \times \frac{e}{h}\right)$$

$$\frac{l_f}{h} = \frac{2,295}{3,96} = 0,58$$

$$\max\left(15; 15 \times \frac{e}{h}\right) = 15$$

L'inégalité est bien vérifiée.

Pour prendre en compte l'effet du flambement, on ajoute une excentricité e_2 [5] et dont la valeur reste négligeable par rapport à e .

En effet on a :

$$e_2 = \frac{3l_f^2}{10^4 h} (2 + \alpha\varphi)$$

Avec :

α : le rapport du moment du premier ordre, dû aux charges permanentes et quasi-permanentes, au moment total du premier ordre. Le coefficient α est compris entre 0 et 1,6.

On prend : $\alpha = 1$

φ : rapport de la déformation finale due au fluage, à la déformation instantanée sous la charge considérée.

En général on prend : $\varphi = 2$

Donc :

$$e_2 = 1,596 \times 10^{-3} m$$

Ainsi :

$$e = 0,166 + 1,596 \times 10^{-3} = 0,168 m$$

Le moment de calcul est :

$$M_c = N \times \left(e + \left(d - \frac{h}{2} \right) \right) = 7887,42 \left(0,168 + 3,71 - \frac{3,96}{2} \right) = 14970,32 \text{ KN.m}$$

Donc :

$$\mu = \frac{M}{bd^2\sigma_{bc}} = 0,322$$

Et :

$$\alpha = 1,25(1 - \sqrt{1 - 2\mu}) = 0,504$$

Et :

$$z = d(1 - 0,4\alpha) = 3,71(1 - 0,4 \times 0,504) = 2,96 m$$

D'où la section d'acier :

$$A_f = \left(\frac{M}{Z} - N \right) \frac{\gamma_s}{f_e} = -65,09 \text{ cm}^2 < 0$$

La section d'armatures est négative, on se contentera donc des dispositions minimales de ferrailage du voile.

On a opté pour une section minimale d'armatures égale à $33,68 \text{ cm}^2$. Cette section est à répartir sur les deux faces du potelet, soit une section de $16,84 \text{ cm}^2$ de chaque côté soit :

6HA20e=20cm.

Armatures transversales :

L'espacement transversal et le diamètre des armatures correspondantes doivent vérifier :

$$s_t \leq \min(10\phi_l ; 20 \text{ cm}) = \min(20 ; 20) = 20 \text{ cm}$$

$$\phi_t \leq \max\left(\frac{\phi_L}{3} ; 6 \text{ mm}\right)$$

Nous prendrons donc 20cm pour l'espacement et 8mm pour le diamètre des armatures.

Au niveau des zones critiques, l'espacement considéré est de 10cm.

1.4.4. Ferrailage vertical à l'effort normal :

Le pourcentage minimal des armatures verticales ρ_v doit vérifier la condition suivante [16]:

$$\rho_v \geq \max\left(0,001 ; 0,0015 \frac{400\theta}{f_e} \left(\frac{3\sigma_u}{\sigma_{bc}} - 1\right)\right)$$

On rappelle qu'il s'agit d'un voile de rive, donc $\theta=1,4$. On trouve alors :

$$\rho_v \geq 1,2906 \times 10^{-3}$$

Cependant, Le taux minimal des armatures verticales et horizontales à toute section est égal à 0,2% de la section horizontale du béton [1] :

Par conséquent, la section du ferrailage vertical est :

$$A_v = \rho_v \times a \times l = 0,2\% \times 25 \times 396 = 19,8 \text{ cm}^2$$

Condition de non-fragilité :

Cette condition impose une section minimale d'armatures :

$$A_{min,NF} = 0,23 \times a \times d \times \frac{f_{t28}}{f_e} = 0,23 \times 0,25 \times 3,96 \times \frac{2,1}{500} = 19,13 \text{ cm}^2$$

Donc, la section du ferrailage verticale reste la même :

$$A_v = 19,8 \text{ cm}^2$$

Soit une section $A_{v/face} = 10 \text{ cm}^2$ sur chaque face du voile. Ou encore

$A_{v/face} = 2,525 \text{ cm}^2/\text{ml}$. On choisit 4HA12e=25cm.

Espacement maximal des armatures verticales :

$$s_{max} \leq \min(33cm ; 2a) = \min(33cm ; 50) = 33cm$$

Armatures transversales :

On a : $\phi_v \leq 12mm$, on prévoira donc 4 épingles par m^2 .

1.4.5. Ferrailage horizontal de l'effort tranchant :

De même, le DTU 23.1 préconise un pourcentage minimal du ferrailage horizontal :

$$\rho_h \geq \max\left(\frac{2}{3}\rho_v ; 0,001\right) = 1,33 \times 10^{-3}$$

Cependant, d'après le RPS2000V2011, ce pourcentage a une valeur limite inférieure qui est de 0,2%, nous prendrons donc : $\rho_h = 2 \times 10^{-3}$

Par conséquent, la section du ferrailage horizontal est :

$$A_h = \rho_h \times a \times l = 2 \times 10^{-3} \times 25 \times 270 = 13,5 \text{ cm}^2$$

Soit $6,75 \text{ cm}^2$ pour chaque face du voile. Ou encore, $2,5 \text{ cm}^2/\text{ml}$ pour chaque face du voile.

On choisit 4HA12e=25cm. (espacement des armatures horizontales maximal de 33cm).

Dispositions constructives :

L'espacement des barres horizontales et verticales doit respecter [1] :

$$s \leq \min(30cm ; 1,5a) = 30cm \text{ En zone courante.}$$

$$s \leq \min(20cm ; 1,5a) = 20cm \text{ En zone critique.}$$

Les zones critiques des voiles dans la direction verticale sont les régions s'étendant de la base du mur sur une longueur l_c définie comme suit :

$$l_c = \max\left(\frac{h}{6} ; L\right)$$

Avec h et l respectivement la hauteur du bâtiment et la largeur du voile. Donc :

$$l_c = 9m$$

1.4.6. Justification des sollicitations tangentes [17] :

- Nous définissons le pourcentage des armatures de flexion : dans chaque raidisseur on a : $A_f = 2 \times 3HA20e20cm = 18,85 \text{ cm}^2$

$$\varpi_f = 100 \left(\frac{A_f}{ad} \right) = 100 \times \frac{18,85 \times 10^{-4}}{0,25 \times 3,96} = 19,04\%$$

- Nous définissons par ailleurs :

La contrainte normale de compression :

$$\sigma = \frac{N_u}{ab} = 7,967 \text{ MPa}$$

Le paramètre d'excentricité :

$$\alpha_N = \frac{M}{bN} = \frac{1150,22}{3,96 \times 7887,42} = 0,037$$

L'effort tranchant de calcul :

$$V^* = \frac{V(1+k)}{2} = \frac{424,83(1+1,4)}{2} = 509,796 \text{ KN}$$

Le cisaillement conventionnel de calcul associé :

$$\tau^* = \frac{V^*}{ad} = \frac{509,796}{0,25 \times 3,96} = 514,94 \text{ KPa}$$

Le paramètre d'élancement de calcul :

$$\alpha_v = \frac{M}{bV^*} = \frac{1150,22}{3,96 \times 509,796} = 0,57$$

On calcule :

- Le moment limite M_{lim} de fissuration systématique en flexion composée qui est déterminé à partir de la condition de non fissuration systématique :

$$M_{lim} = \frac{ab^2}{6} \left(\sigma + \frac{f_{t28}}{1,5} \right) = \frac{0,25 \times 3,96^2}{6} \times \left(7,967 + \frac{2,1}{1,5} \right) = 6,120 \text{ MN.m}$$

- Le cisaillement conventionnel associé :

$$\tau_1 = \tau^* \times \frac{M_{lim}}{M} = 514,94 \times \frac{6120}{1150,22} = 2,74 \text{ MPa}$$

- La condition limite de résistance à l'effort tranchant :

$$\tau_2 = 0,45 \sqrt{f_{t28} \left(f_{t28} + \frac{2}{3} \sigma \right)} = 1,775 \text{ MPa}$$

- La contrainte limite de résistance à l'effort tranchant τ_{lim} après fissuration compte tenu des armatures longitudinales :

$$\tau_{lim} = \max(\tau_3 ; 0,5f_{t28}) = \max(3,98 ; 0,5 \times 2,1) = 3,98 \text{ MPa}$$

Avec :

$$\tau_3 = \min(\tau_1; \tau_2) \times (1 + 3\varpi_f) + 0,15\sigma = 3,98 \text{ MPa}$$

Or on a :

$$\tau^* = 0,51494 \text{ MPa} < \tau_{lim} = 3,98 \text{ MPa}$$

Les armatures de l'effort tranchant ne sont pas nécessaires.

1.4.7. Vérification de non-glissement :

La largeur comprimée du voile est donnée par :

$$x = y_u = \alpha_u \times d = 0.504 \times 3.71 = 1.87m$$

On a :

$$0,35f_{tj} \cdot a \cdot x + (F_b + A' \cdot f_e)tg(\varphi) = 59,8 MN > 509,796 KN$$

La condition de non-glissement est bien vérifiée.

2. Ferrailage du même voile en se référant à la cartographie de ferrailage donnée par logiciel ROBOT 2014, variante du plancher-dalle en BA :

Cartographie de ferrailage, armatures verticales (figure 65) :

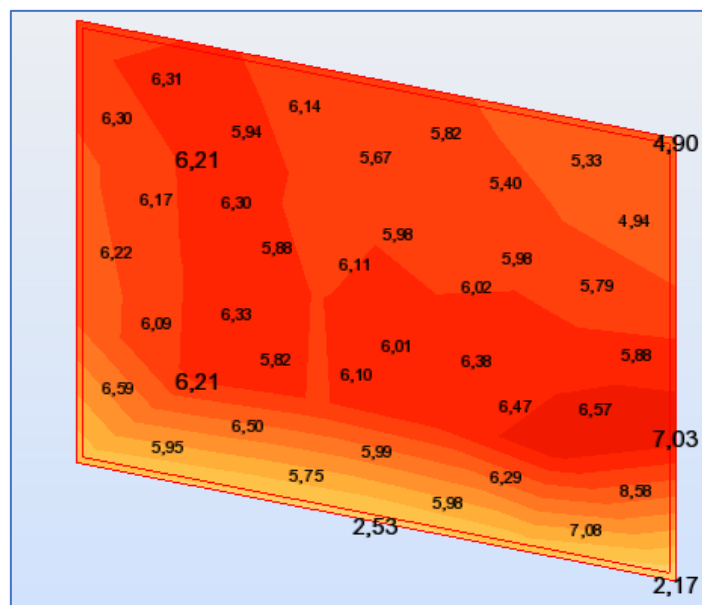


Figure 65 Cartographie de ferrailage du voile considéré, ferrailage vertical

D'après le logiciel, la section théorique d'armatures verticales maximale nécessaire est $A_{v\max} = 8,58 \text{ cm}^2/m$

2.1.Ferrailage vertical des potelets :

On remarque bien que les extrémités du voile nécessitent plus de ferrailage vertical.

D'après le maillage EF utilisé, on peut choisir $d' = 60cm$.

Si on fixe un espacement de 20cm pour les armatures des potelets, on aura, pour chaque face d'un potelet, $3HA20e20cm = 9,42 \text{ cm}^2$

2.2.Ferrailage vertical du voile :

En se référant à la cartographie du ferrailage, on choisit une section d'armatures théoriques de $A_{Th} = 7cm^2/ml$, soit, pour un espacement de 20cm, $5HA14e20/ml$.

Cartographie de ferrailage, armatures horizontales (figure 66) :

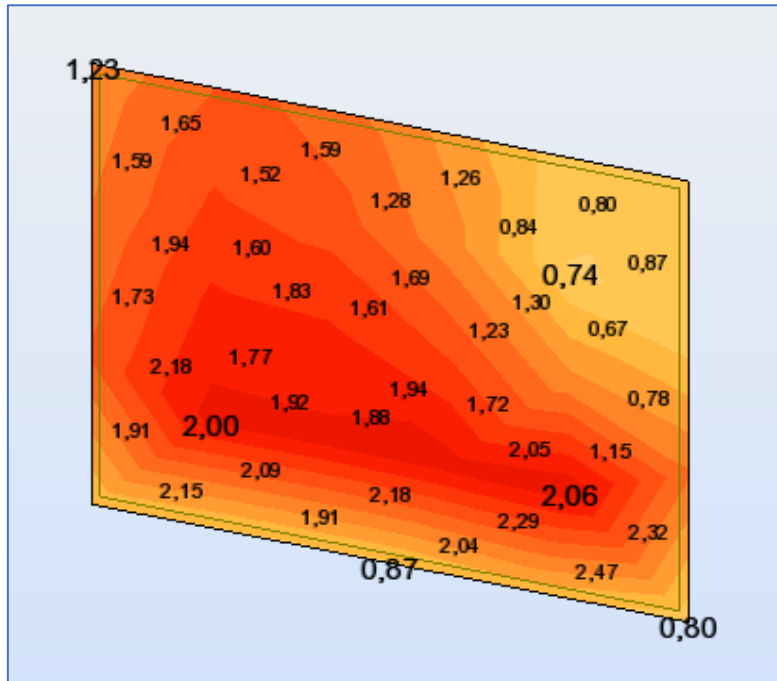


Figure 66 Cartographie de ferrailage du voile considéré, ferrailage horizontal

D'après le logiciel, la section théorique d'armatures horizontales maximale nécessaire est de :

$$A_{H\max} = 2,47 \text{ cm}^2/\text{m}.$$

2.3.Ferrailage horizontal du voile :

On considère donc une section théorique d'armatures égale à : $A_{th,H} = 2,5 \text{ cm}^2/\text{ml}$.

Pour un espacement de 20cm correspondant à 5 barres par mètre longueur, on choisit une section d'armatures de 5HA10e20/ml.

3. Ferrailage du même voile à l'aide de CYPECAD:

Les détails de ferrailage du même voile pour les deux variantes sont présentés en Annexe 6.

II. Dimensionnement des poteaux :

1. Exemple de calcul manuel d'un poteau, modèle du plancher-dalle :

Position du poteau exemple du calcul manuel prolonger du plancher-haut 1^{er} sous-sol jusqu'au plancher-haut du 1^{er} étage.

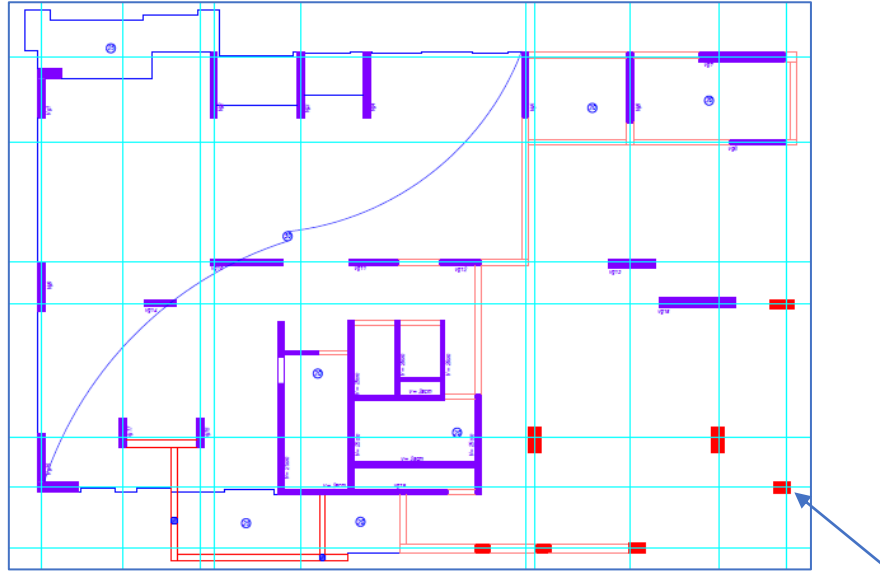


Figure 67 Position du poteau Pg4

Poteau Pg4

La structure est contreventée par voiles en béton armé. Le poteau n'est pas supposé travailler en flexion composée, c'est-à-dire sollicité par un moment sismique.

Caractéristiques du poteau Pg4 (barre 1461 sur Robot 2014) présentées dans le tableau 35 :

N_u (MN)	Longueur du poteau (m)	a (m)	b (m)
4,447	6,2	0,7	0,5

Tableau 35 Caractéristiques du poteau Pg4, exemple de calcul manuel des poteaux

Dimensionnement du poteau :

- L'effort normal fourni par le logiciel Robot 2014 est de 4,447 MN ;
- La longueur de flambement sera prise égale à l_0 : $l_f = l_0 = 6,2 \text{ m}$ vu que le poteau n'est pas rigidifié aux extrémités.
- Les caractéristiques géométriques du poteau sont :

Moment d'inertie de la section du poteau (Inertie minimale) :

$$I = 7,29.10^{-3} \text{ m}^4$$

Rayon de giration :

$$i = 0,144 \text{ m}$$

Elancement du poteau :

$$\lambda = \frac{l_f}{i} = 42,95$$

L'élancement trouvé du poteau est inférieur à 50 donc bien inférieur à 70.

Le calcul du ferrailage longitudinal selon la méthode forfaitaire se fait comme suit :

Puisque $\lambda < 50$, la valeur du coefficient α est donnée par la formule suivante :

$$\alpha = \frac{0,85}{1 + 0,2\left(\frac{\lambda}{35}\right)^2} = 0,65$$

On cherche la section qui satisfait l'inégalité :

$$N_u \leq \alpha \left(\frac{B_r \cdot f_{c28}}{0,9 \cdot \gamma_b} + A \cdot \frac{f_e}{\gamma_s} \right)$$

B_r étant la section réduite du poteau obtenue en déduisant de sa section réelle un centimètre d'épaisseur sur toute sa périphérie ;

$$\gamma_b = 1,5 ;$$

$$\gamma_s = 1,15 ;$$

A est la section d'armatures longitudinales du poteau prises en compte dans les calculs.

La valeur α est à diviser par k tel que :

$k=1,1$ si plus de la moitié des charges est appliquée avant 90 jours ;

$k=1,2$ si la majeure partie des charges est appliquée avant 28 jours et on prend la contrainte f_{cj} à la place de f_{c28} .

$k=1$ pour les autres cas.

Et d'après l'article A8.1, 21[5]:

$$A_{min} \leq A \leq A_{max}$$

Avec :

$$A_{min} = \max \left(\frac{4cm^2}{mètre} \text{ de périmètre} ; 0,2 \frac{B}{100} \right)$$

$$A_{max} = 5 \cdot \frac{B}{100}$$

Dans notre cas :

$$\begin{cases} A_{max} = 175 \text{ cm}^2 \\ A_{min} = 9,6 \text{ cm}^2 \end{cases}$$

Disposition des armatures longitudinales :

D'après l'article A8.1, 22[5], les armatures doivent être réparties le long des parois. Pour les sections rectangulaires, $a < b$ on a : la distance maximale d entre deux barres voisines doit respecter la condition :

$$d \leq \min(a + 10cm ; 40cm)$$

Dans notre cas :

Avec : $a = 0,5 \text{ m}$ on aura : $d \leq \min(50 + 10 ; 40) = 40$. Soit : $d \leq 40 \text{ cm}$.

Calcul des armatures transversales :

Diamètre :

Le diamètre des armatures transversales ϕ_t est limité par le diamètre des armatures longitudinales ϕ_L par la condition suivante :

$$\frac{\phi_L}{3} \leq \phi_T \leq 12 \text{ mm}$$

Espacements :

- En zone courante, l'espacement maximal S_t par la condition suivante [1] :

$$S_t \leq \min(30 \text{ cm} ; 0,5a ; 12\phi_L)$$

Où a est la plus petite dimension transversale de la section.

- En zone critique, l'espacement maximal S_t par la condition suivante [1] :

$$S_t \leq \min(15 \text{ cm} ; 0,25a ; 8\phi_L)$$

Les zones critiques d'un poteau sont [1] :

- Les extrémités du poteau sur une longueur L_c égale à la plus grande des longueurs suivantes (figure 70) :
 - o La plus grande dimension de la section transversale du poteau h_c .
 - o 1/6 de la hauteur nette du poteau h_e .
 - o 45 cm.
- Dans le cas où le poteau est adjacent de part et d'autre à un mur de remplissage incomplet, la longueur minimale de la zone critique est égale à (figure 71) :

$$L_c = \max\left(x ; \frac{h_e}{6} ; b_c ; 45 \text{ cm}\right)$$

Avec :

h_e : hauteur nette du poteau ;

b_c : dimension du poteau parallèle au mur ;

$x = (h_e - h_r) + b_c$.

Détermination de la section d'armatures longitudinales :

La section A d'armatures doit vérifier :

$$A \geq \left(\frac{N_u}{\alpha} - \frac{B_r \cdot f_{c28}}{0,9 \cdot \gamma_b} \right) \cdot \frac{\gamma_s}{f_e}$$

Soit :

$$A \geq 18,33 \text{ cm}^2$$

A est plus précisément la section d'armatures prise en compte dans les calculs :

On a : $\lambda > 35$ et $b > 1,1 a$ où : $b = 0,7m$ et $a=0,5m$ ($1,1a=0,55m$).

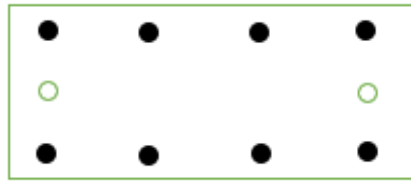


Figure 68 Armatures participant à la résistance du poteau

On choisit une section d'armatures 14HA14 disposées comme indiqué sur la figure 69 :

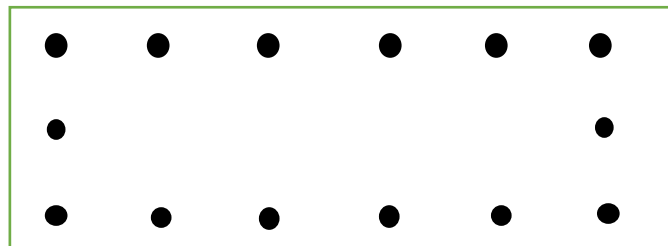


Figure 69 Disposition du ferrailage du poteau

La section de calcul prise en compte dans les calculs ci-dessus correspond aux armatures situées en haut et en bas de la section, et elle vérifie bien $A > 18,33 \text{ cm}^2$

Les deux armatures à gauche et à droite sont nécessaires pour la vérification de la condition :

$$d \leq 40 \text{ cm}$$

Calcul des armatures transversales :

La longueur critique est :

$$L_c = \max\left(0,7 ; \frac{6,2}{6} ; 0,45\right) = 1,03 \text{ m}$$

Le diamètre des armatures transversales est donné par la condition :

$$4,67 \text{ mm} = \frac{14}{3} = \frac{\phi_L}{3} \leq \phi_t \leq 12 \text{ mm}$$

On utilise des barres de 8 mm, l'espacement des cadres est [1]:

- En zone courante :

$$S_t \leq \min(30\text{cm} ; 0,5a ; 12\phi_L) = \min(30\text{cm} ; 25\text{cm} ; 16,8) \text{ Soit } S_t = 16 \text{ cm}$$

- En zone critique :

$$S_t \leq \min(15\text{cm} ; 0,25a ; 8\phi_L) = \min(15\text{cm} ; 12,5 ; 11,2) \text{ Soit : } S_t = 11 \text{ cm}$$

Schéma récapitulatif (figure 69) :

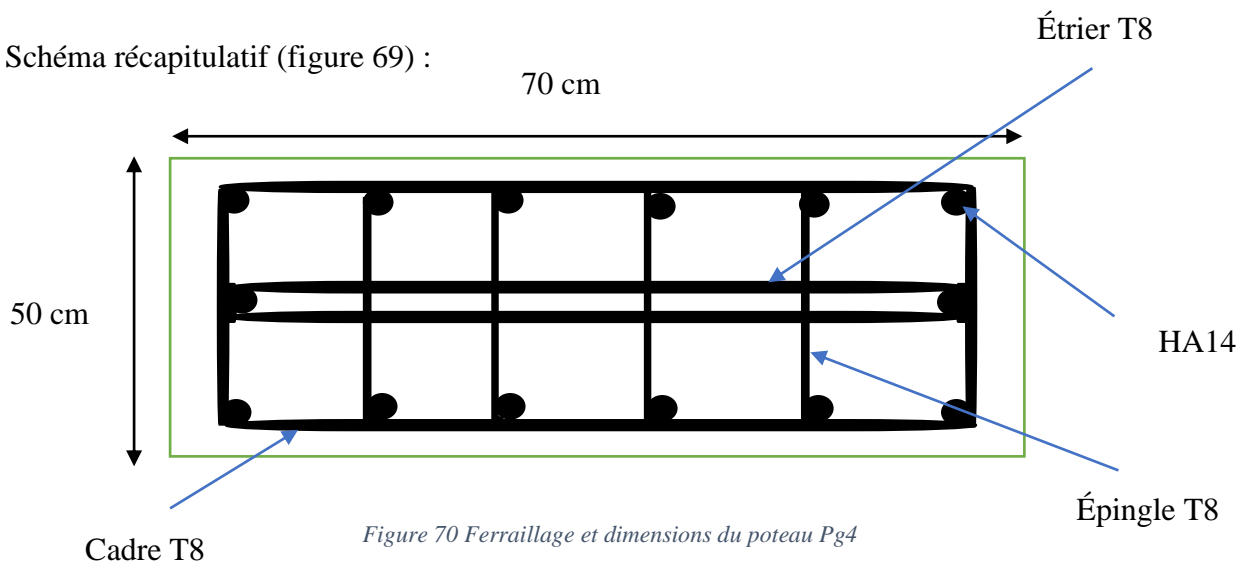


Figure 70 Ferrailage et dimensions du poteau Pg4

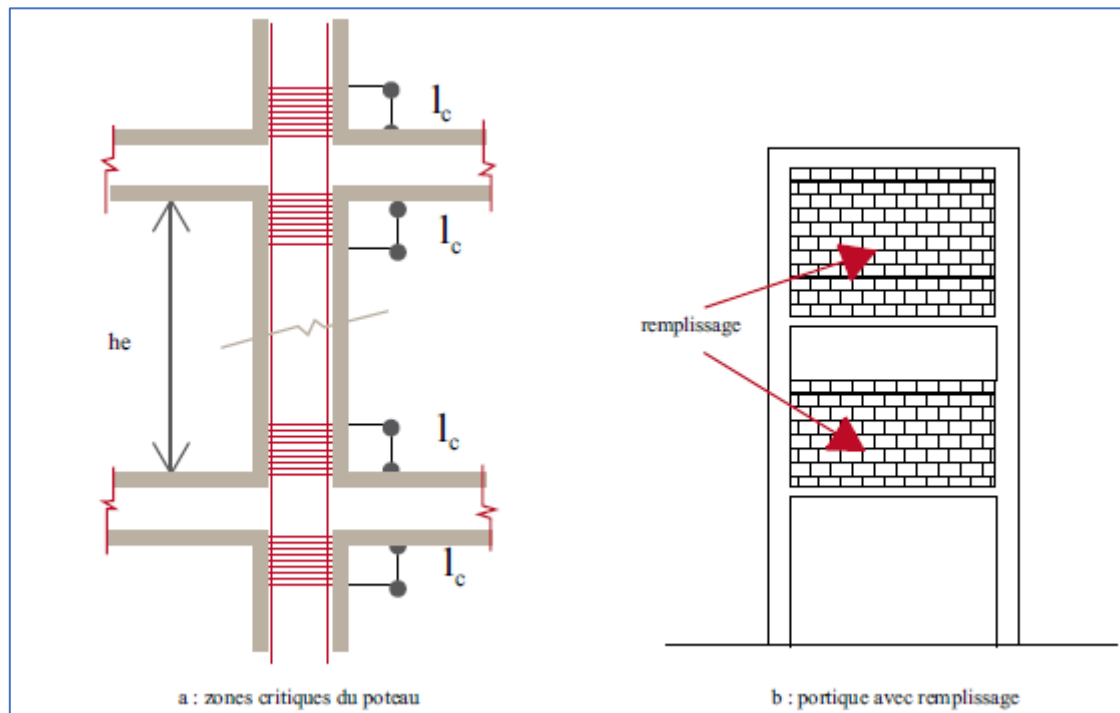


Figure 71 Zones critiques d'un poteau (image prise du RPS 2000 V 2011)

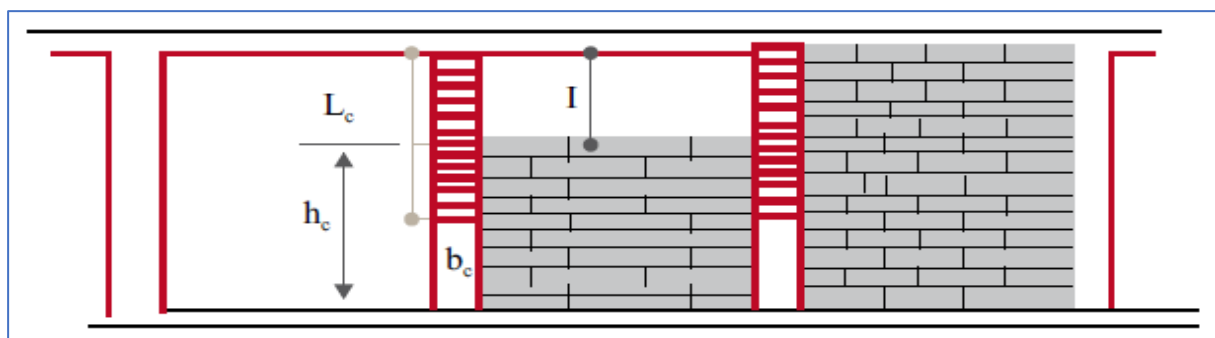


Figure 72 Zone critique poteau-remplissage (image prise du RPS2000 V 2011)

2. Ferrailage du poteau à l'aide des logiciels de calcul :

2.1.A l'aide du logiciel CYPECAD, variante du plancher-dalle :

Les diagrammes de sollicitations sont donnés par CYPECAD et représentés dans la figure 73 :

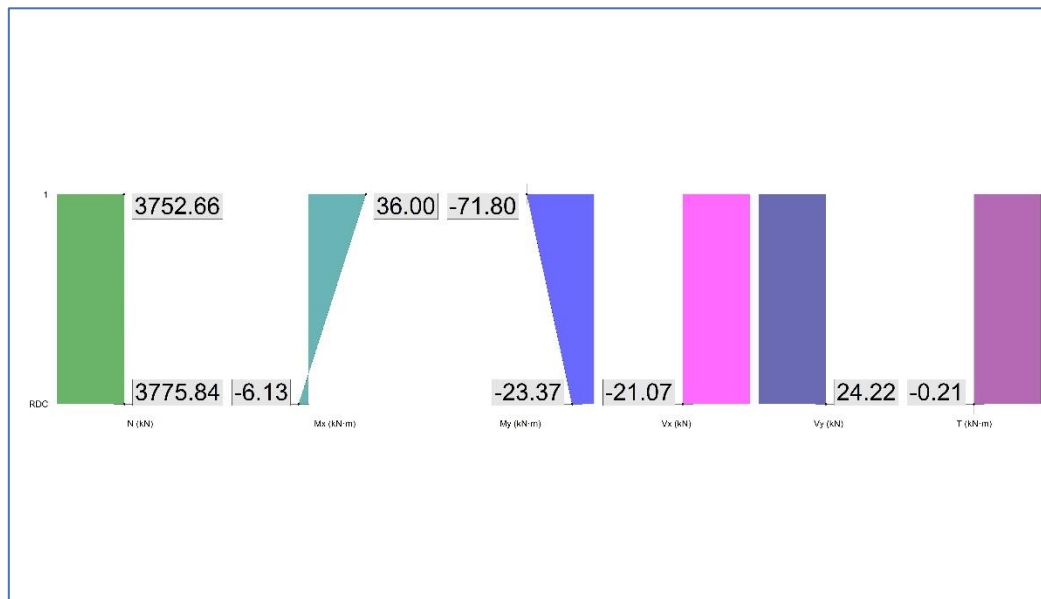


Figure 73 Diagrammes des sollicitations du poteau Pg4 obtenus sur CYPECAD, modèle du plancher-dalle en BA

La section des armatures et leur disposition données par CYPECAD sont indiquées sur la figure 74 :

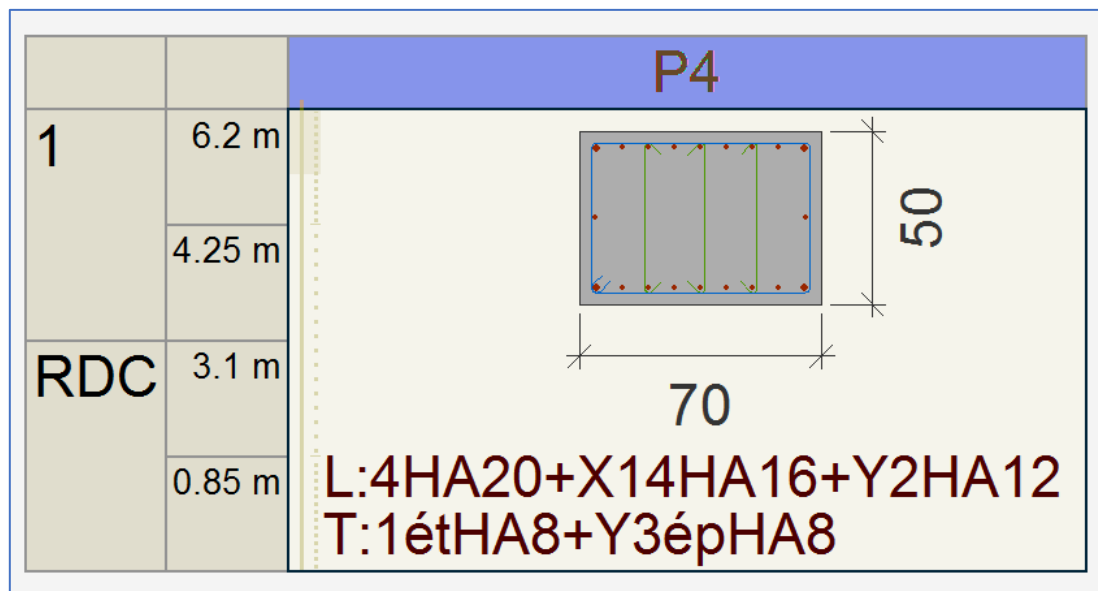


Figure 74 Ferrailage du poteau Pg4 sur CYPECAD, modèle du plancher dalle en BA

Ainsi, la section d'armatures adoptée est composée de :

- **Armatures longitudinales** : $4\text{HA}20 + 14\text{HA}16 + 2\text{HA}12 = 44,1 \text{ cm}^2$
- **Armatures transversales** : 1 étrier HA8 + 3 épingles HA8

Les détails du ferrailage du poteau du modèle du plancher-dalle en BA sont présentés en Annexe 6.

2.2.Par logiciel CYPECAD, variante de la dalle réticulée :

Vu que le poids de la dalle réticulée est inférieur à celui du plancher-dalle, on remarque que les différentes sollicitations sur le poteau sont réduites par rapport à celles obtenues pour la variante du plancher-dalle.

Les diagrammes des sollicitations sont donnés par CYPECAD et représentés dans la figure 75 :

L'effort normal maximal obtenu par la combinaison ultime de calcul la plus défavorable est égal à 3485,43 KN.

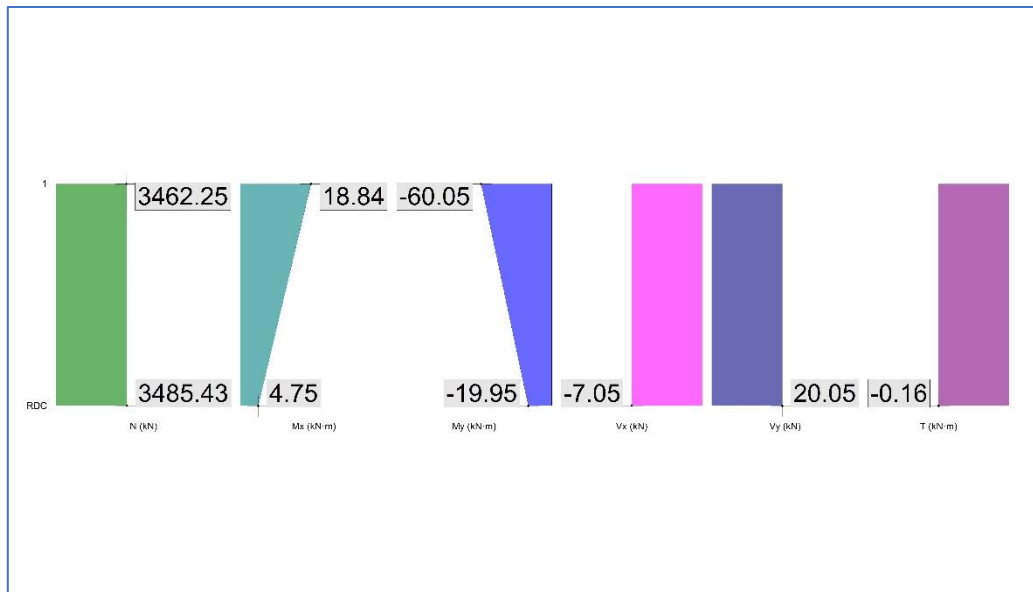


Figure 75 Diagrammes des sollicitations du poteau Pg4 obtenus sur CYPECAD, variante de la dalle réticulée

La section des armatures et leur disposition données par CYPECAD sont indiquées sur la figure 76 :

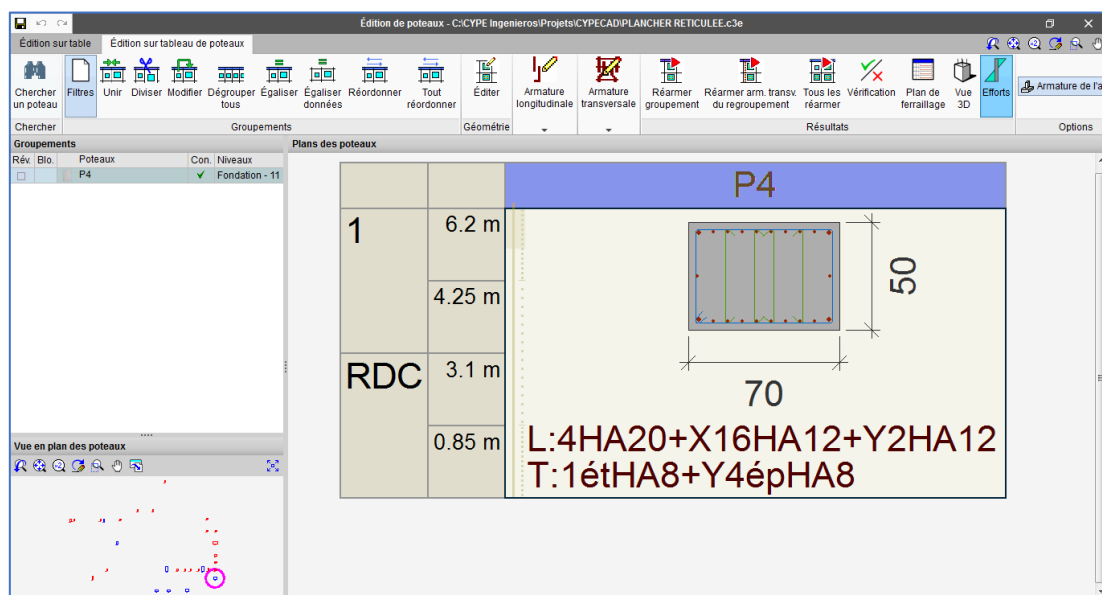


Figure 76 Ferrailage du poteau Pg4 sur CYPECAD, modèle du plancher réticulé

Ainsi, la section d'armatures adoptée est composée de :

- **Armatures longitudinales** : $4HA20+16HA12+2HA12 = 4HA20+18HA12 = 32,93 \text{ cm}^2$
- **Armatures transversales** : 1 étrier HA8 + 4 épingles HA8

Les détails du ferrailage du poteau du modèle de la dalle réticulée sont présentés en Annexe 7.

III. Dispositions constructives parasismiques :

1. Eléments linéaires fléchis non comprimés :

Pour considérer un élément comme étant linéaire fléchi non comprimé il doit satisfaire la condition[1] :

$$0,10 \times B \times f_{c28} \geq N$$

1.1. Dimensions des sections :

Les dimensions de la section transversale de la poutre, h et b étant respectivement la plus grande et la plus petite dimension, doivent satisfaire les conditions suivantes :

- $\frac{b}{h} \geq 0,25$
- $b \geq 200mm$
- $b \leq b_c + \frac{h_c}{2}$

Avec :

b_c : la dimension de la section du poteau perpendiculaire à l'axe de la poutre ;

h_c : la dimension de la section du poteau parallèle à l'axe de la poutre.

La distance entre les axes de la poutre et du poteau support ne doit pas dépasser 0,25 fois la largeur du poteau.

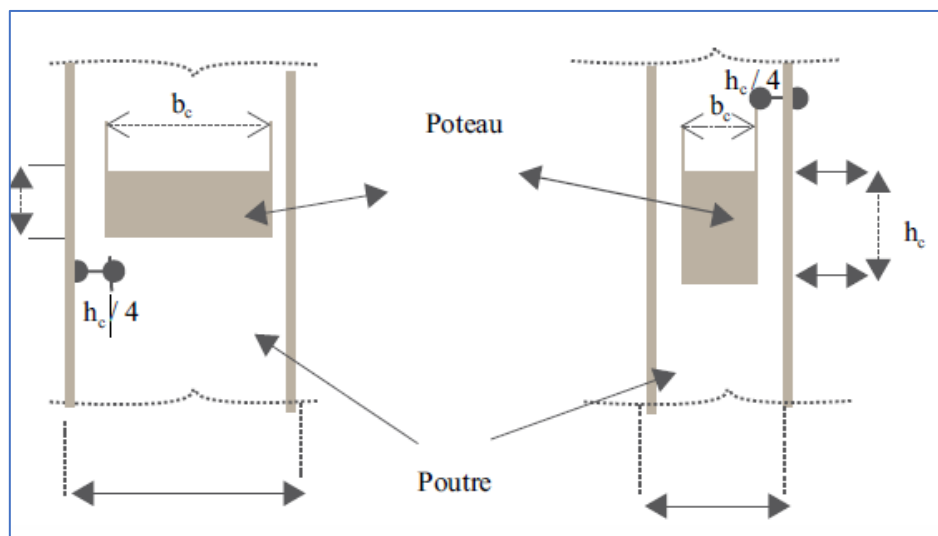


Figure 77 Position poutre-poteau et excentricité de leurs axes (image prise du RPS2000 V2011 p.60)

Dans notre structure les poutres sont parfaitement centrées sur les poteaux.

Et toutes les sections vérifient les conditions mentionnées dans la partie IV.1. 1.1.

1.2. Armatures longitudinales :

Le niveau de ductilité de ce bâtiment est ND1, les vérifications nécessaires sont les suivantes [1] :

- Les aciers longitudinaux doivent être à haute adhérence avec un diamètre minimal de 10 mm ;
- Les pourcentages géométriques minimal et maximal des armatures sont les suivants :

$$\rho_0 \text{ minimal} = \frac{1,4}{f_e} (f_e \text{ en MPa})$$

$$\rho_0 \text{ maximal} = 0,025$$

Ces différents paramètres sont pris en compte lors du calcul du ferrailage à l'aide des deux logiciels ROBOT 2014 et CYPECAD.

1.3.Armatures transversales :

Les nœuds des portiques subissent des efforts alternés élevés qui peuvent détruire rapidement l'adhérence du béton et de l'acier.

Le but est de confiner le béton pour augmenter sa résistance d'adhésion et de résister aux forces de cisaillement.

Zones critiques :

La zone critique pour un élément poutre est l'extrémité non libre de la poutre sur une longueur l_c égale à 2 fois la hauteur h de la poutre [1].

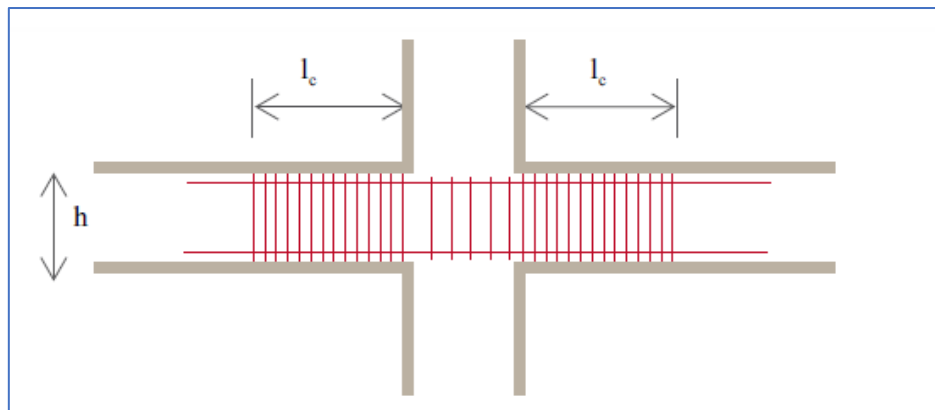


Figure 78 Zone critique d'une poutre (image prise du RPS2000 V2011 p.61)

Le diamètre minimal des armatures transversales est pris égal à 6mm.

Les premières armatures doivent être placées à 5 cm au plus de la face du poteau.

Pour les structures de ductilité ND1 et ND2, l'espacement s ne doit pas excéder le minimum des grandeurs suivantes [1] :

$$s = \min(8\phi_L ; 24\phi_T ; 0,25h ; 20cm)$$

Où :

ϕ_T : diamètre des barres transversales ;

ϕ_L : diamètre des barres longitudinales.

Cet espacement a été bien considéré lors du calcul du ferrailage transversal du poteau (dimensionnement des éléments porteurs. II.)

2. Eléments linéaires fléchis comprimés :

Pour considérer un élément comme étant linéaire fléchi comprimé, il doit satisfaire la condition [1]:

$$0,10 \times B \times f_{c28} < N$$

2.1. Dimensions des sections :

Les dimensions de la section transversale du poteau, h_c et b_c doivent satisfaire les conditions suivantes :

- $b_c \geq 25 \text{ cm}$ (ductilité ND1 et ND2).
- $h_c/b_c \leq 1/6$

Avec :

- b_c : la plus petite dimension transversale du poteau ;
- h_c : la plus grande dimension transversale du poteau.

Remarque :

Ces règles prescrites par le RPS2000V2011 sont utilisées depuis le début pour le prédimensionnement des poteaux, et par suite, sont vérifiées pour toutes les sections.

2.2. Zones critiques :

La longueur critique du poteau l_c est définie comme suit :

$$l_c = \max\left(\frac{h_e}{6}; h_c; 45\text{cm}\right)$$

Avec :

- h_c : la plus grande dimension transversale du poteau ;
- h_e : la hauteur nette du poteau.

Pour le cas du poteau Pg4 :

$$h_e = 6,2 \text{ m}$$

$$h_c = 0,7 \text{ m}$$

La longueur critique du poteau est donc :

$$l_c = 1\text{m}$$

2.3. Espacements maximaux des armatures transversales :

Ces espacements sont déjà définis dans la partie III. 1. et adoptés pour le calcul du ferrailage transversal du poteau Pg4.

Chapitre 8 : Etude du système de fondations

I. Choix du système de fondations :

Le Laboratoire Public d'Essais et d'Etudes (LPEE) recommande, par le biais du rapport géotechnique, d'adopter un système de fondations superficielles.

Faisant référence au descriptif lithologique et aux propriétés intrinsèques des terrains en place, les modalités de fondations ainsi recommandées seront comme suit :

- Le type de fondations retenu pour ce bâtiment (R+15 avec 2 sous-sols) est un radier ancré de 1m dans les grès calcaires ou les marno-calcaires.
- Le taux de travail admissible dans les marno-calcaires sera de 3.5 bars.
- Le niveau de la nappe sera pris égal à -6,50 m/TN.
- Il est conseillé de généraliser l'étanchéité à tout le sous-sol.

Le radier à étudier doit reprendre les efforts des charges gravitaires descendantes et les efforts ascendants engendrés par la poussée hydrostatique.

N.B : Le béton utilisé est un béton hydrofuge pouvant résister à un environnement humide.

II. Calcul d'un radier :

1. Généralités :

Le radier est une semelle superficielle. Il constitue une extension du principe des semelles filantes ou isolés lorsque celles-ci doivent présenter des dimensions très importantes conduisant à leur interférence.

Cette configuration peut être due aux facteurs suivants :

- Faible capacité portante du sol ;
- Intensité des charges à transmettre (surtout pour le cas de notre bâtiment (R+15 avec deux sous-sols)) ;
- Densité de la structure.

La réalisation des radiers ne peut être envisagée que :

- Si la configuration des charges à transmettre et la nature du sol conduisent à des tassements incompatibles (on recherchera une répartition uniforme des contraintes) ;
- Si le sous-sol d'un bâtiment est inondable : le radier joue alors un rôle d'un cuvelage étanche pouvant résister aux sous-pressions.

2. Les types des radiers :

Les principales configurations de radier sont schématisées à la figure 79, dans laquelle on peut distinguer [18] :

- Radier-dalle ou radier à dalle plate. Ce type de radier caractérisé par une épaisseur constante, est conçu en cas d'une disposition régulière de poteaux avec une charge faible transmise au sol ;
- Radier à dalle sur des socles sous les poteaux. Il est conçu en cas de charges élevées provenant des poteaux ;
- Radier nervuré, constitué d'un grillage de poutres sous la dalle et dont les nœuds correspondent aux poteaux. Ce type de fondations est adéquat en cas d'efforts de

flexion importants et un grand espacement entre les poteaux, son avantage majeur est l'utilisation optimale de la matière. Cette solution ne peut être économique que dans le cas des grandes surfaces.

- Radier cellulaire ou radier caisson. Il est conçu en cas de charges élevées transmises au sol. Même avantage que le radier nervuré.

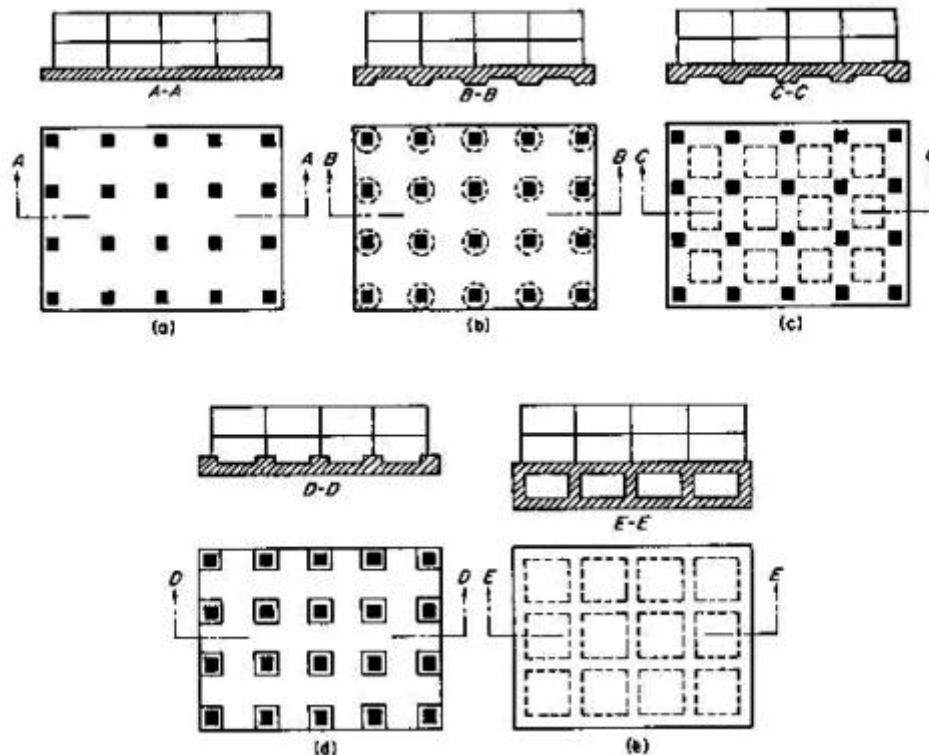


Figure 79 Quelques types courants de fondations sur radier: (a) radier-dalle, (b) radier à dalle sur socles, (c) radier nervuré, (d) radier à dalle sous socles, (e) radier cellulaire ou caisson.

3. Etude d'un radier :

Plusieurs méthodes possibles pour étudier un radier :

- La méthode classique pour un radier rigide, consiste à diviser le radier en plusieurs poutres élastiques reposant sur le sol où chacune est appuyée par une file de poteaux et chargée uniformément par des charges ascendantes (provenant du poids du bâtiment) et/ou de la réaction du sol.
- La seconde méthode consiste en la modélisation du radier par éléments finis, en utilisant les logiciels informatiques spécialisés.

3.1. Etude manuelle d'un radier rigide :

Si le radier est considéré comme rigide, le calcul est mené en supposant une répartition linéaire des réactions du sol. Le dimensionnement du radier doit être effectué de telle sorte que le cheminement des efforts de la superstructure soit assuré et les efforts internes du radier étant déterminés par l'équilibre des forces de gauche (ou de droite) d'une section quelconque

Ces équations sont les suivantes :

$$\iint B \sigma_{XY} dX dY = \sum P_i$$

$$\iint B \sigma_{XY} X dX dY = \sum P_i X_i$$

$$\iint B \sigma_{XY} Y dX dY = \sum P_i Y_i$$

σ_{XY} : est la réaction du sol au point M (x ; y) ;

B : Surface du radier ;

P_i : charge apportée par la structure au point $M_i (x_i ; y_i)$;

G : centre de gravité du radier.

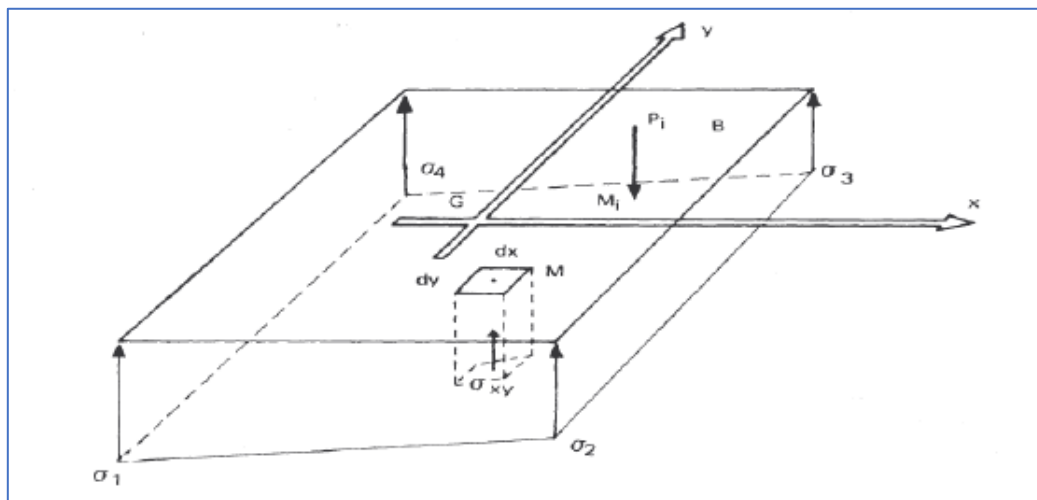


Figure 80 Modélisation des charges et réactions au niveau du radier

Pour un radier rigide, et par souci de simplification, on suppose que la réaction du sol est uniforme. Il se calcule comme un « plancher renversé », les points d'appuis étant constitués par les poteaux et les voiles. La charge qui lui est apportée est due à la réaction du sol.

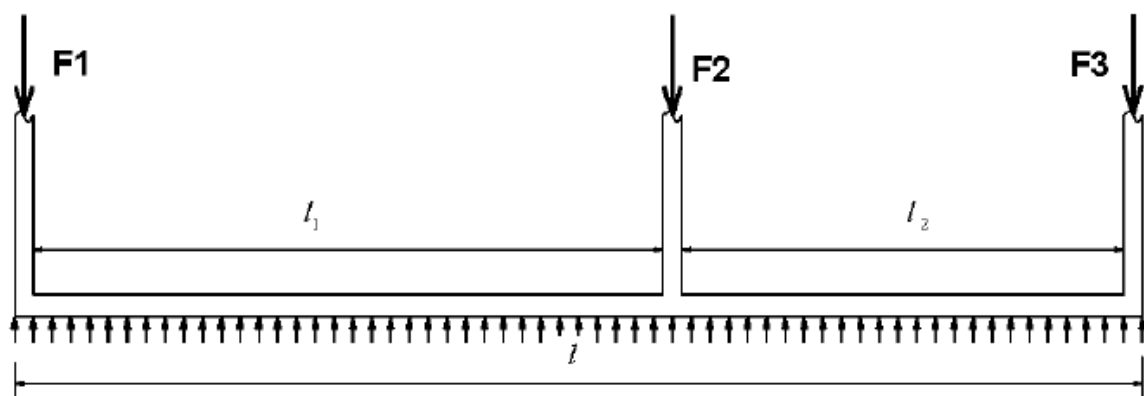


Figure 81 La réaction du sol sur un radier rigide

Si F_1 , F_2 et F_3 sont des charges par mètre linéaire de voile, alors l'action du sol sur le radier sera :

$$P_{sol} = \frac{F1 + F2 + F3}{l}$$

En conséquence, les armatures nécessaires sont en position inversée par rapport à un plancher.

3.2.Méthode de calcul adoptée :

3.2.1. Modélisation du radier sur logiciel Robot 2014, variante du plancher-dalle en BA :

Le radier est modélisé à l'aide du logiciel ROBOT 2014 sous forme d'une dalle d'épaisseur initiale $e = 100 \text{ cm}$ (figure 82), (le choix de l'épaisseur du radier provient de la condition de non-poinçonnement indiquée dans les parties qui suivent), dont le modèle de calcul et de ferrailage est assimilé à une coque BA.

Et le coefficient d'élasticité du sol est pris égal à : $K_z = 30000 \text{ KN/m}^3$. Les appuis du radier étant encastrés dans le sol.

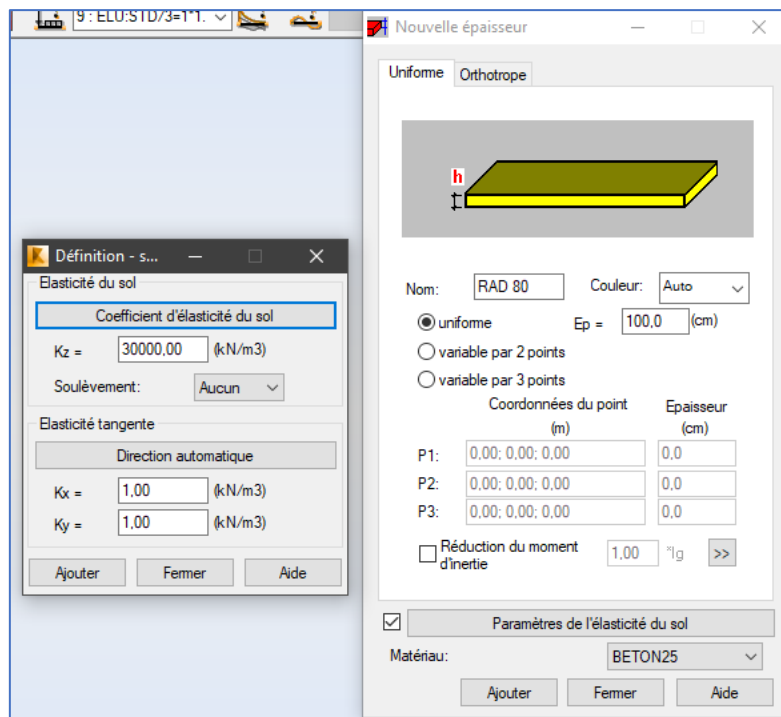


Figure 82 paramètres modélisant le radier sur Robot 2014

En se référant au rapport géotechnique, pour le calcul des sous-pressions sous le radier, le niveau d'eau est pris égal - 6,50m/TN.

Le taux de travail admissible dans les marno-calcaires sera de 3,5 bars.

3.2.1.1.Efforts sur le radier :

Les contraintes au niveau de fondation se composent d'un moment de flexion et des efforts horizontaux (T) et verticaux (N) pour les voiles et pour les poteaux, à l'aide du logiciel on va extraire les efforts qui vont nous aider au calcul manuel du radier (tableaux 36 et 37) :

Poteau	a(m)	b (m)	N _u (KN)	N _s (KN)
1481	0,6	0,35	868,42	638,32
1482	0,6	0,35	1229,58	902,71
1486	0,7	0,4	2303,93	1688,93
1485	0,5	1	3917,9	2872,01
1484	0,5	1	5452,93	3994,12
1483	0,7	0,5	472,1	345,71
1489	1	0,45	-36,59	-26,55
1490	0,25	0,6	550,83	403,6
1487	0,3	0,31	1027,87	753,47
1488	0,3	0,37	1088,64	798,01

Tableau 36 Les efforts sur les poteaux à l'ELU et l'ELS

Voile	N _u (KN)	N _s (KN)	e (m)	b(m)
3166	3858,29	2832,4	0,42	1,65
3165	2374,53	1742,76	0,3	1,61
3146	1042,53	765,08	0,3	0,56
3145	4116,83	3017,36	0,3	2
3167	4336,18	3177,83	0,3	1,81
3177	2807,68	2056,65	0,4	0,9
3163	2233,34	1637,28	0,3	0,78
3147	1237,73	907,47	0,3	0,48
3148	1226,07	899,04	0,3	0,42
3164	2183,62	1601,08	0,3	0,78
3155	1643,81	1204,93	0,3	3,645
3159	3019,94	2212,77	0,25	0,94
3153	5531,91	4052,55	0,25	1,78
3154	4810,74	3525,9	0,3	1,78
3170	2564,62	1880,11	0,3	0,94
3160	7661,88	5614,36	0,3	2,71
3156	8640,15	6329,25	0,3	2,71
3152	1134,11	831,05	0,3	0,45
3157	1255,84	920,27	0,3	0,59
3158	7485,98	5486,32	0,3	2,91
3175	7930,8	5817,42	0,42	2,37
3176	1775,98	1302,67	0,42	1,18
3193	2502,92	1835,78	0,25	3,5
3194	1562,84	1146,09	0,25	4,88
3195	80,4	59,19	0,25	1,73
3196	605,49	444,17	0,25	5,43
3197	645,2	472,6	0,25	2,06
3198	262,62	191,21	0,25	2,48
3184	1209,49	886,75	0,3	0,71
3185	1581,87	1159,54	0,3	1,63
3171	1955,37	1432,81	0,4	1,17

3172	2731,49	2001,53	0,4	1,65
3178	3290,67	2410,93	0,4	1,58
3179	792	581,12	0,15	1,95
3173	829,15	607,36	0,35	1,03
3174	674,1	407,71	0,35	0,91
3151	1499,91	1098,94	0,25	1,3
3149	2253,54	1651,32	0,25	1,13
3150	1807,31	1324,16	0,25	1,3
3161	951,78	697,31	0,25	0,71
3169	951,78	3570,43	0,25	1,82
3180	1686,55	1235,61	0,2	1,63
3200	3589,64	2630,36	0,2	2,7
3186	4514,62	3307,68	0,3	1,27
3183	7594,46	5564,52	0,2	12,7
3182	1575,59	1154,21	0,2	4,88
3181	3295,53	2414,28	0,2	5,18
3130	3945,94	2901,04	0,25	3,955
3133	1252,24	921,28	0,25	1,225
3134	4004,21	2941,58	0,25	2,895
3131	1025,53	753,45	0,25	1,1
3132	4746,57	3487,31	0,25	5,18
3135	3079,16	2261,09	0,25	2,78
3129	3706,57	2723,26	0,25	2,88
3128	8772,88	6440,63	0,25	5,7
3127	2301,02	1688,79	0,25	1,265
3136	4711,63	3459,11	0,2	3,16
3137	1527,19	1121,38	0,2	1,87
3138	533,92	392,07	0,2	0,73
3139	1376,62	1011,21	0,25	3,7
3140	617,76	453,84	0,2	0,73
3141	1476,18	2097,41	0,2	1,85
3142	2856,43	2097,41	0,2	2,43
3143	3200,12	2350,16	0,2	2,43
3168	3007,46	2203,4	0,42	0,83
3144	1754,31	1287,48	0,2	1,635
3162	502,5	368,13	0,25	0,41

Tableau 37 Les efforts sur les voiles à l'ELU et l'ELS

Remarque : On remarque la présence de quelques efforts de soulèvement (effort de traction) sous quelques poteaux et quelques voiles. Ces efforts seront considérés pour la vérification de la capacité portante du sol et non pas pour la détermination de l'épaisseur du radier.

3.2.1.2.Épaisseur du radier :

Le radier doit être suffisamment épais afin de pouvoir résister aux contraintes de cisaillement induites par les éléments reposant sur sa surface[5].

La condition de poinçonnement est la suivante :

$$N_u \leq 0,045 \cdot u_c \cdot e_{radier} \cdot \frac{f_{c28}}{\gamma_b}$$

Avec :

u_c : le périmètre à mi-épaisseur (du radier) du cône à 45° décrit à partir de la base du poteau ou du voile. L'angle à 45° découle du cercle de Mohr pour le cas de cisaillement pur sans contraintes normales, $u_c = 2a + 2b + 4e_{radier}$

e_{radier} : épaisseur du radier ;

$f_{c28} = 25 \text{ MPa}$;

$\gamma_b = 1,5$.

Ainsi l'épaisseur minimale du radier est donnée par la formule suivante :

$$e_{radier} = \frac{\gamma_b \cdot N_u}{0,045 \cdot u_c \cdot f_{c28}}$$

Ainsi l'épaisseur du radier requise pour les différents efforts transmis par les différents éléments structuraux verticaux (tableaux 38 et 39) :

Poteau	a (m)	b (m)	N_u (KN)	N_s (KN)	e_{radier}
1481	0,6	0,35	868,42	638,32	0,35061528
1482	0,6	0,35	1229,58	902,71	0,44533691
1486	0,7	0,4	2303,93	1688,93	0,64347791
1485	0,5	1	3917,9	2872,01	0,82774339
1484	0,5	1	5452,93	3994,12	1,02438141
1483	0,7	0,5	472,1	345,71	0,1973597
1489	1	0,45	-36,59	-26,55	-0,01723259
1490	0,25	0,6	550,83	403,6	0,26579515
1487	0,3	0,31	1027,87	753,47	0,45237981
1488	0,3	0,37	1088,64	798,01	0,45774895

Tableau 38 Epaisseur minimale du radier nécessaire pour vérifier la condition de poinçonnement pour chaque poteau

Voile	N_u (KN)	N_s (KN)	e (m)	b(m)	e_{radier}
3166	3858,29	2832,4	0,42	1,65	0,72905642
3165	2374,53	1742,76	0,3	1,61	0,53221097
3146	1042,53	765,08	0,3	0,56	0,41248307
3145	4116,83	3017,36	0,3	2	0,72995274
3167	4336,18	3177,83	0,3	1,81	0,78537836
3177	2807,68	2056,65	0,4	0,9	0,69554806
3163	2233,34	1637,28	0,3	0,78	0,63407227

3147	1237,73	907,47	0,3	0,48	0,4762687
3148	1226,07	899,04	0,3	0,42	0,48414607
3164	2183,62	1601,08	0,3	0,78	0,62485939
3155	1643,81	1204,93	0,3	3,645	0,24688654
3159	3019,94	2212,77	0,25	0,94	0,74899554
3153	5531,91	4052,55	0,25	1,78	0,94216419
3154	4810,74	3525,9	0,3	1,78	0,84893389
3170	2564,62	1880,11	0,3	0,94	0,66517862
3160	7661,88	5614,36	0,3	2,71	1,01391339
3156	8640,15	6329,25	0,3	2,71	1,10392297
3152	1134,11	831,05	0,3	0,45	0,45530084
3157	1255,84	920,27	0,3	0,59	0,46169265
3158	7485,98	5486,32	0,3	2,91	0,96931628
3175	7930,8	5817,42	0,42	2,37	1,07171063
3176	1775,98	1302,67	0,42	1,18	0,46717549
3193	2502,92	1835,78	0,25	3,5	0,3713976
3194	1562,84	1146,09	0,25	4,88	0,18914973
3195	80,4	59,19	0,25	1,73	0,02636839
3196	605,49	444,17	0,25	5,43	0,06937235
3197	645,2	472,6	0,25	2,06	0,16315708
3198	262,62	191,21	0,25	2,48	0,06137247
3184	1209,49	886,75	0,3	0,71	0,43081514
3185	1581,87	1159,54	0,3	1,63	0,38933499
3171	1955,37	1432,81	0,4	1,17	0,5051894
3172	2731,49	2001,53	0,4	1,65	0,57062184
3178	3290,67	2410,93	0,4	1,58	0,66341055
3179	792	581,12	0,15	1,95	0,20959172
3173	829,15	607,36	0,35	1,03	0,28381502
3174	674,1	407,71	0,35	0,91	0,25414409
3151	1499,91	1098,94	0,25	1,3	0,41880407
3149	2253,54	1651,32	0,25	1,13	0,58784779
3150	1807,31	1324,16	0,25	1,3	0,48002113
3161	951,78	697,31	0,25	0,71	0,37225812
3169	951,78	3570,43	0,25	1,82	0,24739623
3180	1686,55	1235,61	0,2	1,63	0,4208448
3200	3589,64	2630,36	0,2	2,7	0,58731538
3186	4514,62	3307,68	0,3	1,27	0,8954944
3183	7594,46	5564,52	0,2	12,7	0,37112453
3182	1575,59	1154,21	0,2	4,88	0,19222319
3181	3295,53	2414,28	0,2	5,18	0,36014955
3130	3945,94	2901,04	0,25	3,955	0,5045263
3133	1252,24	921,28	0,25	1,225	0,37515181
3134	4004,21	2941,58	0,25	2,895	0,61122119
3131	1025,53	753,45	0,25	1,1	0,33759228
3132	4746,57	3487,31	0,25	5,18	0,49317454

3135	3079,16	2261,09	0,25	2,78	0,50748732
3129	3706,57	2723,26	0,25	2,88	0,57684896
3128	8772,88	6440,63	0,25	5,7	0,77898397
3127	2301,02	1688,79	0,25	1,265	0,57542935
3136	4711,63	3459,11	0,2	3,16	0,66868928
3137	1527,19	1121,38	0,2	1,87	0,36390206
3138	533,92	392,07	0,2	0,73	0,24919449
3139	1376,62	1011,21	0,25	3,7	0,21000974
3140	617,76	453,84	0,2	0,73	0,27737866
3141	1476,18	2097,41	0,2	1,85	0,35624406
3142	2856,43	2097,41	0,2	2,43	0,51912636
3143	3200,12	2350,16	0,2	2,43	0,56684183
3168	3007,46	2203,4	0,42	0,83	0,73637698
3144	1754,31	1287,48	0,2	1,635	0,43300196
3162	502,5	368,13	0,25	0,41	0,27627656

Tableau 39 Epaisseur du radier nécessaire pour vérifier la condition de poinçonnement des voiles

La condition de non poinçonnement est vérifiée si l'épaisseur du radier est de 1,1m, l'épaisseur maximale trouvée. Cependant, il paraît non judicieux de baser le choix de l'épaisseur du radier uniquement sur la résistance au poinçonnement d'un des éléments verticaux, ce n'est aussi pas raisonnable de point de vue économique. L'épaisseur retenue donc est $e_{\text{radier}} = 100 \text{ cm}$. Cependant quelques poteaux et quelques voiles nécessitent un renforcement de la section afin de pouvoir résister au poinçonnement.

Ainsi, les épaisseurs retenues du radier avec renforcements sont indiquées dans les tableaux 40 et 41 :

Poteau	a (m)	b (m)	$N_u(\text{KN})$	$N_s(\text{KN})$	$e_{\text{min radier}}$	$e_{\text{radier retenue (cm)}}$
1481	0,6	0,35	868,42	638,32	0,35061528	100
1482	0,6	0,35	1229,58	902,71	0,44533691	100
1486	0,7	0,4	2303,93	1688,93	0,64347791	100
1485	0,5	1	3917,9	2872,01	0,82774339	100
1484	0,5	1	5452,93	3994,12	1,02438141	100+10
1483	0,7	0,5	472,1	345,71	0,1973597	100
1489	1	0,45	-36,59	-26,55	-0,01723259	100
1490	0,25	0,6	550,83	403,6	0,26579515	100
1487	0,3	0,31	1027,87	753,47	0,45237981	100
1488	0,3	0,37	1088,64	798,01	0,45774895	100

Tableau 40 Epaisseur du radier retenue en tenant compte du renforcement de la section au droit des poteaux contre le poinçonnement

Voile	Nu (KN)	Ns (KN)	e (m)	b(m)	e radier	e radier retenue (cm)
3166	3858,29	2832,4	0,42	1,65	0,72905642	100
3165	2374,53	1742,76	0,3	1,61	0,53221097	100
3146	1042,53	765,08	0,3	0,56	0,41248307	100
3145	4116,83	3017,36	0,3	2	0,72995274	100
3167	4336,18	3177,83	0,3	1,81	0,78537836	100
3177	2807,68	2056,65	0,4	0,9	0,69554806	100
3163	2233,34	1637,28	0,3	0,78	0,63407227	100
3147	1237,73	907,47	0,3	0,48	0,4762687	100
3148	1226,07	899,04	0,3	0,42	0,48414607	100
3164	2183,62	1601,08	0,3	0,78	0,62485939	100
3155	1643,81	1204,93	0,3	3,645	0,24688654	100
3159	3019,94	2212,77	0,25	0,94	0,74899554	100
3153	5531,91	4052,55	0,25	1,78	0,94216419	100
3154	4810,74	3525,9	0,3	1,78	0,84893389	100
3170	2564,62	1880,11	0,3	0,94	0,66517862	100
3160	7661,88	5614,36	0,3	2,71	1,01391339	100+10
3156	8640,15	6329,25	0,3	2,71	1,10392297	100+10
3152	1134,11	831,05	0,3	0,45	0,45530084	100
3157	1255,84	920,27	0,3	0,59	0,46169265	100
3158	7485,98	5486,32	0,3	2,91	0,96931628	100
3175	7930,8	5817,42	0,42	2,37	1,07171063	100+10
3176	1775,98	1302,67	0,42	1,18	0,46717549	100
3193	2502,92	1835,78	0,25	3,5	0,3713976	100
3194	1562,84	1146,09	0,25	4,88	0,18914973	100
3195	80,4	59,19	0,25	1,73	0,02636839	100
3196	605,49	444,17	0,25	5,43	0,06937235	100
3197	645,2	472,6	0,25	2,06	0,16315708	100
3198	262,62	191,21	0,25	2,48	0,06137247	100
3184	1209,49	886,75	0,3	0,71	0,43081514	100
3185	1581,87	1159,54	0,3	1,63	0,38933499	100
3171	1955,37	1432,81	0,4	1,17	0,5051894	100
3172	2731,49	2001,53	0,4	1,65	0,57062184	100
3178	3290,67	2410,93	0,4	1,58	0,66341055	100
3179	792	581,12	0,15	1,95	0,20959172	100
3173	829,15	607,36	0,35	1,03	0,28381502	100
3174	674,1	407,71	0,35	0,91	0,25414409	100
3151	1499,91	1098,94	0,25	1,3	0,41880407	100
3149	2253,54	1651,32	0,25	1,13	0,58784779	100
3150	1807,31	1324,16	0,25	1,3	0,48002113	100
3161	951,78	697,31	0,25	0,71	0,37225812	100
3169	951,78	3570,43	0,25	1,82	0,24739623	100
3180	1686,55	1235,61	0,2	1,63	0,4208448	100
3200	3589,64	2630,36	0,2	2,7	0,58731538	100
3186	4514,62	3307,68	0,3	1,27	0,8954944	100

3183	7594,46	5564,52	0,2	12,7	0,37112453	100
3182	1575,59	1154,21	0,2	4,88	0,19222319	100
3181	3295,53	2414,28	0,2	5,18	0,36014955	100
3130	3945,94	2901,04	0,25	3,955	0,5045263	100
3133	1252,24	921,28	0,25	1,225	0,37515181	100
3134	4004,21	2941,58	0,25	2,895	0,61122119	100
3131	1025,53	753,45	0,25	1,1	0,33759228	100
3132	4746,57	3487,31	0,25	5,18	0,49317454	100
3135	3079,16	2261,09	0,25	2,78	0,50748732	100
3129	3706,57	2723,26	0,25	2,88	0,57684896	100
3128	8772,88	6440,63	0,25	5,7	0,77898397	100
3127	2301,02	1688,79	0,25	1,265	0,57542935	100
3136	4711,63	3459,11	0,2	3,16	0,66868928	100
3137	1527,19	1121,38	0,2	1,87	0,36390206	100
3138	533,92	392,07	0,2	0,73	0,24919449	100
3139	1376,62	1011,21	0,25	3,7	0,21000974	100
3140	617,76	453,84	0,2	0,73	0,27737866	100
3141	1476,18	2097,41	0,2	1,85	0,35624406	100
3142	2856,43	2097,41	0,2	2,43	0,51912636	100
3143	3200,12	2350,16	0,2	2,43	0,56684183	100
3168	3007,46	2203,4	0,42	0,83	0,73637698	100
3144	1754,31	1287,48	0,2	1,635	0,43300196	100
3162	502,5	368,13	0,25	0,41	0,27627656	100

Tableau 41 Epaisseur du radier retenue en tenant compte des renforcements de section au droit des voiles contre le poinçonnement

3.2.1.3. Vérification de la réaction du sol :

3.2.1.3.1. Vérification manuelle de la réaction du sol :

La surface minimale du radier vérifiant la condition du non dépassement de la capacité portante du sol est :

$$S_{radier} = \frac{N}{\sigma_{lim\,sol}}$$

Donc, cette épaisseur doit vérifier :

$$S_{radier} \leq S_{retenue}$$

Avec :

$$N = P_{radier} + P_{terre} + N_1 = P_{radier} + S_{retenue} \times e_{terre} \times \gamma_{terre} + N_1$$

Avec :

$$N_1 = \sum_i N_{i\,ser}$$

On a :

$$S_{retenue} = 687,05 \, m^2$$

Et $e_{retenue} = 100 \text{ cm}$, $N_1 = 149430,52 \text{ KN}$ et $P = 17176,25 \text{ KN}$

Donc : $N = 181034,82 \text{ KN}$. Soit, $S_{radier} = 517,24 \text{ m}^2 \leq S_{retenue} = 687,05 \text{ cm}^2$

3.2.1.3.2. Vérification à l'aide du logiciel ROBOT 2014 :

Cette méthode se base sur le calcul de la raideur vertical du sol, puisque cette raideur n'est pas fournie dans le rapport géotechnique, on s'est contenté de la calculer à l'aide du logiciel robot en lui entrant les données caractéristiques et les données du sol.

Les cartographie de la réaction du sol sous les combinaisons fondamentales sont données par les figures 83 et 84:

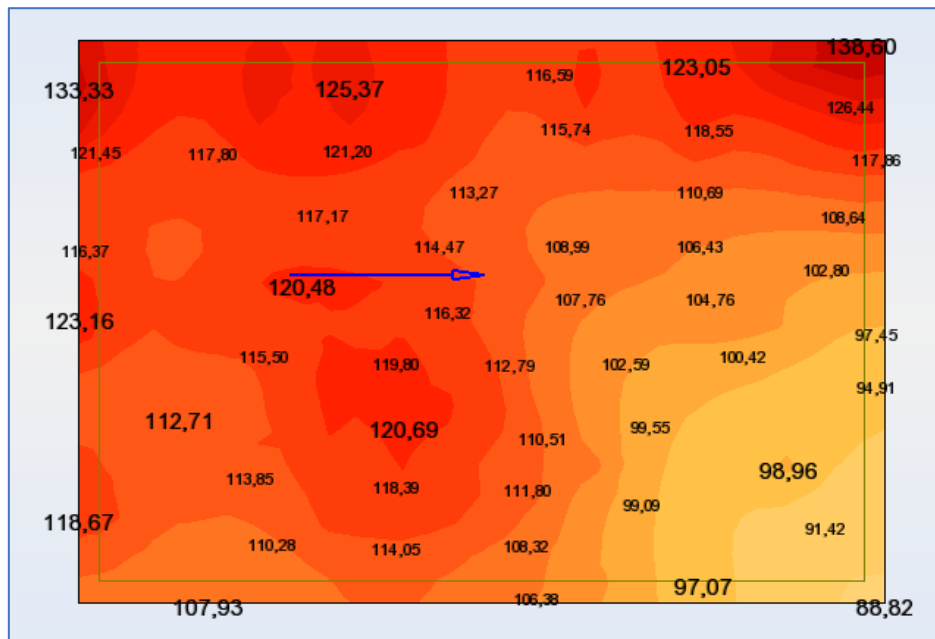


Figure 83 Cartographie de la réaction du sol à l'ELS

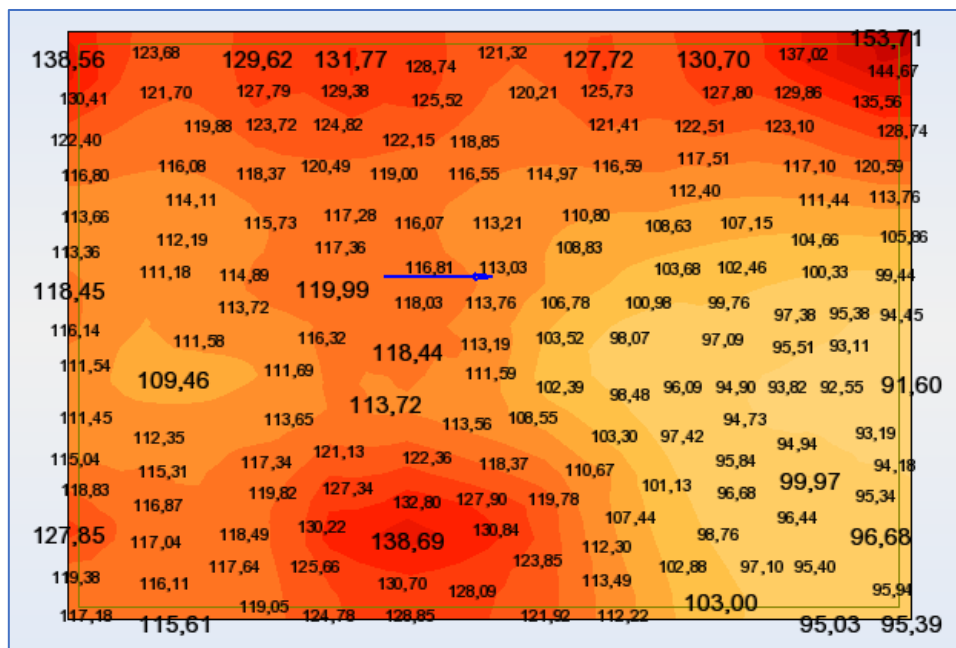


Figure 84 Cartographie de la réaction du sol par combinaison accidentelle

Interprétation des cartographies :

Par analyse des cartographies ci-dessus on constate qu'il n'y a pas dépassement de la capacité portante du sol au droit de notre radier.

$$\sigma_{adm\ sol} = 3,5\ bars = 350\ KPa > \sigma_{max\ sol\ ELS}\ et\ \sigma_{max\ sol\ ACC}$$

3.2.1.4.Vérification au soulèvement :

La vérification de la stabilité s'effectue en comparant le moment de renversement et le moment stabilisant.

Pour le calcul du moment stabilisant, on considère les charges permanentes et une fraction des charges d'exploitation[1] : $G + 0,2Q$

Pour le moment de renversement, il correspond au moment sismique vu que c'est le plus défavorable à considérer.

On calcule les coefficients de sécurité correspondant aux deux directions X et Y qui doivent être supérieurs à 1 pour qu'on puisse affirmer que le radier est stable vis-à-vis du soulèvement.

Le soulèvement peut aussi être vérifié par logiciel CYPECAD 2019.

D'après les cartographies des moments renversants et stabilisants ainsi que les cartographies de soulèvement sont présentées en annexe 8, les moments stabilisants dépassent largement les moments sismiques de renversement et par suite, pas de soulèvement à craindre.

3.2.1.5.Ferraillage du radier :

3.2.1.5.1. Armatures longitudinales :

Le calcul du ferraillage s'effectue à partir des cartographies de ferraillage fournies par le logiciel Robot 2014, ce ferraillage est similaire à celui des planchers-dalles en béton armé.

Ferraillage supérieur :

- **Armatures principales Ax(+)** :

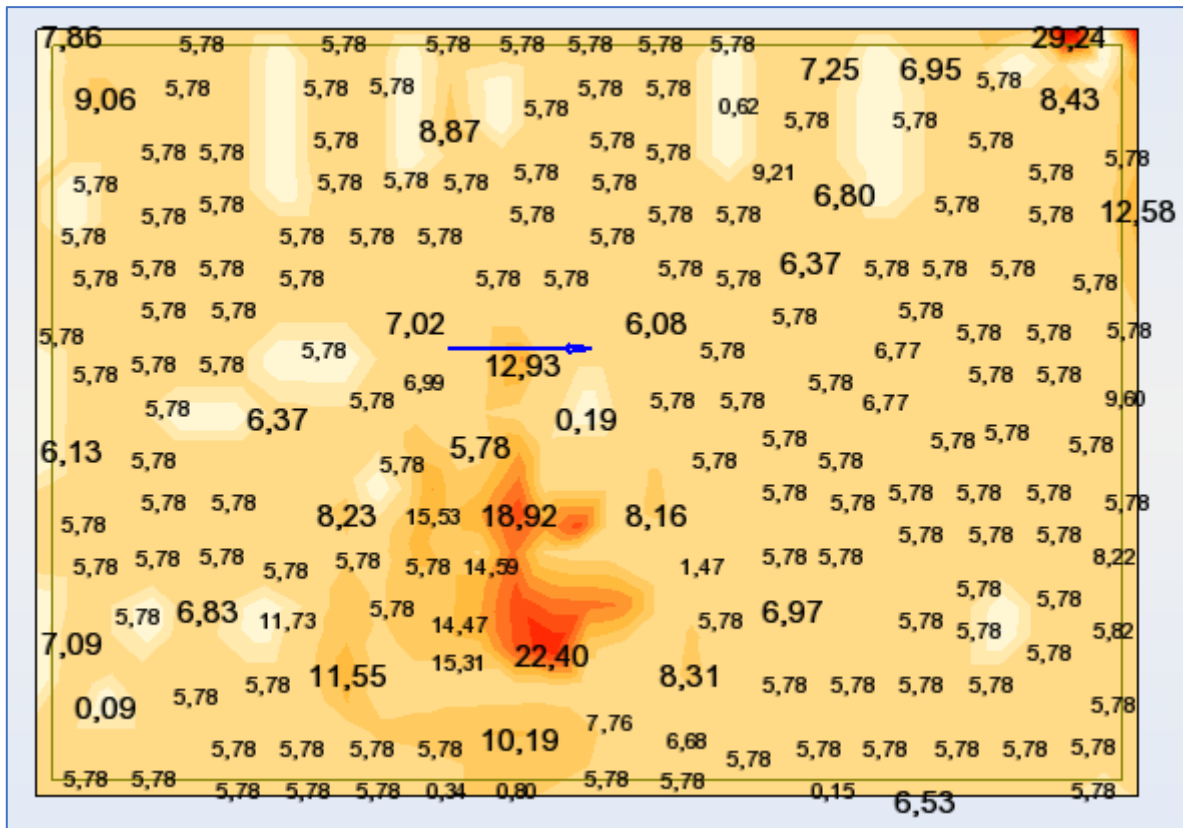


Figure 85 Cartographie du ferrailage supérieur, armatures principales $A_x(+)$

La section d'armatures principales théorique maximale donnée par la cartographie de la figure 85:

$$A_x(+)_{th\ max} = 29,54\ cm^2/m$$

Cependant, le ferrailage n'est pas calculé à partir de la valeur maximale de la section théorique des armatures maximale, on choisira la valeur $A_x(+)_{th} = 13\ cm^2/m$ et on procèdera au renforcement de la région caractérisée par la valeur maximale de la section d'armatures théorique.

On choisit une section d'armatures : $A_x(+)=5HA20e20cm = 15,71\ cm^2/m$.

Et on a :

$$29,54 - 15,71 = 13,83\ cm^2$$

On conserve le même espacement, on aura une section d'armatures additionnelle de : 5HA20 au niveau de la région à renforcer sur 1 mètre² (le coin droit en haut sur la figure 87), ainsi que sur la région centrale en bas indiquée sur la cartographie de la même figure ($L_x=4m$ et $L_y=5m$ en se référant au maillage EF).

- **Armatures perpendiculaires aux armatures principales $A_y(+)$:**

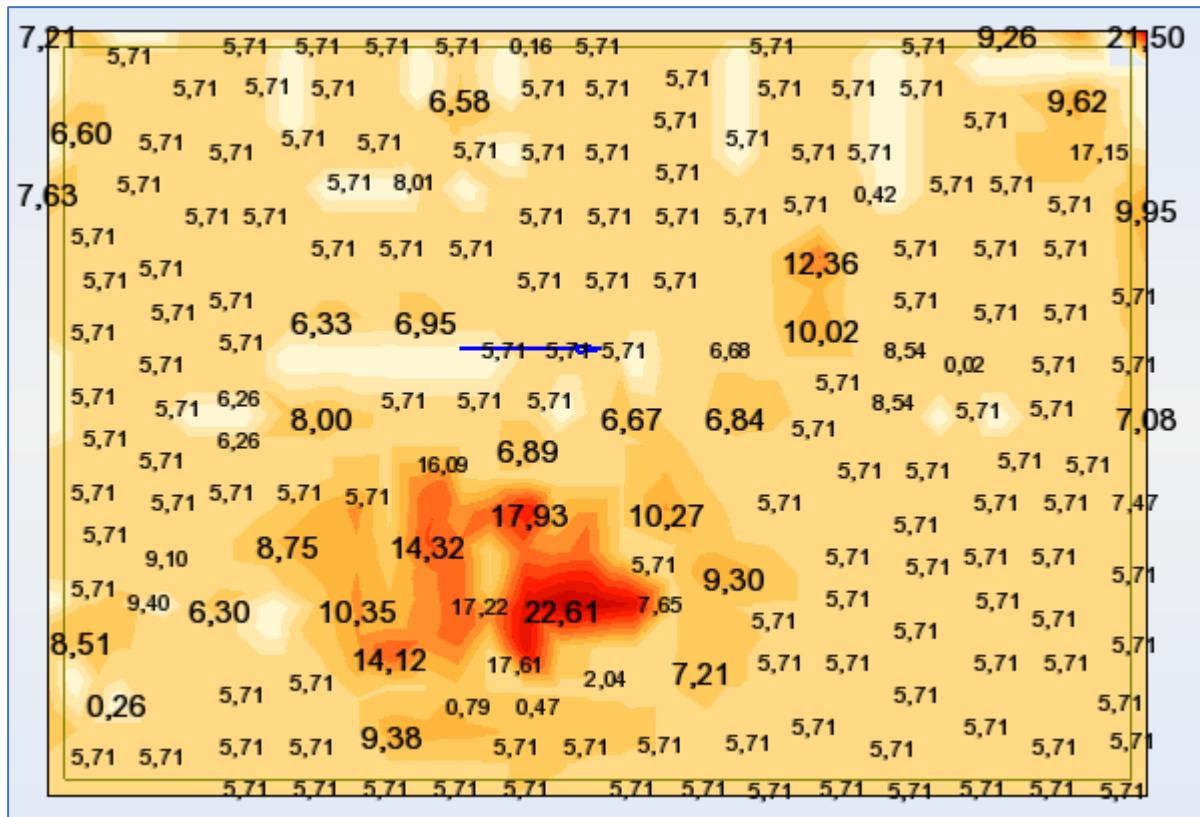


Figure 86 Cartographie du ferrailage, armatures perpendiculaires aux celles principales A_y (+)

La section d'armatures principales théorique maximale donnée par la cartographie de la figure 86:

$$Ay(+)_{thmax} = 22,61 \text{ cm}^2/m$$

On choisit une section d'armatures théorique: $Ay(+)_{th} = 10 \text{ cm}^2/m$

Soit, $5HA16e20cm = 10,05 \text{ cm}^2/m$.

On renforce la région centrale du radier claire sur la cartographie de la figure 88 ($L_x=10\text{m}$ et $L_y=8\text{m}$) et le coin droit supérieur du radier sur 1m^2 . La partie où le ferrailage nécessaire est égal à $12,36\text{ cm}^2/\text{m}$ nécessite un renforcement de 5HA8 sur 1m^2 centré sur la région indiquée sur la cartographie de la même figure.

Avec :

$22,61 - 10,05 = 12,56 \text{ cm}^2$, soit une section d'armatures 5HA20e20cm.

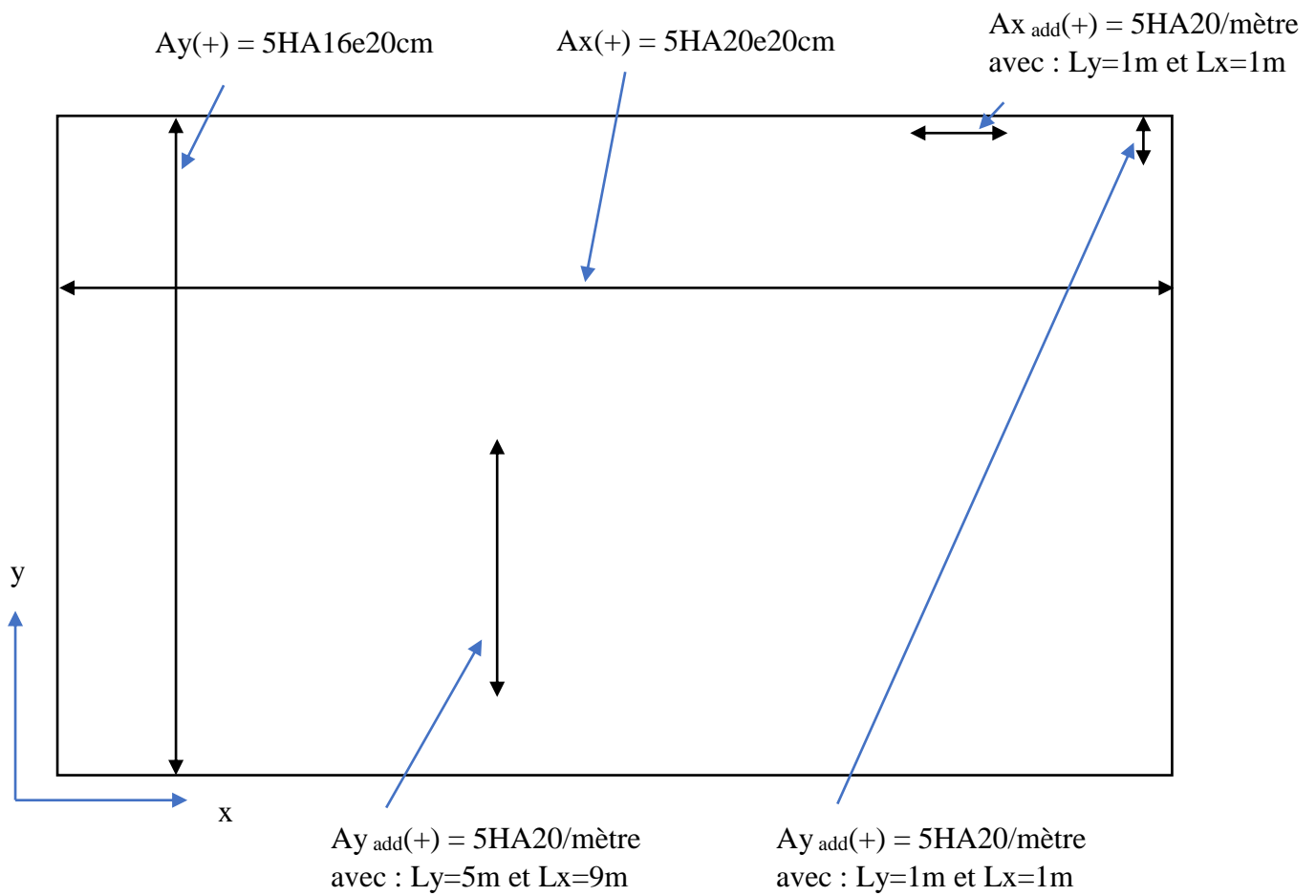
Récapitulatif du ferrailage supérieur (figure 87) :

Figure 87 Récapitulatif du ferrailage supérieur du radier

Ferraillage inférieur :

- **Armatures principales Ax (-) :**

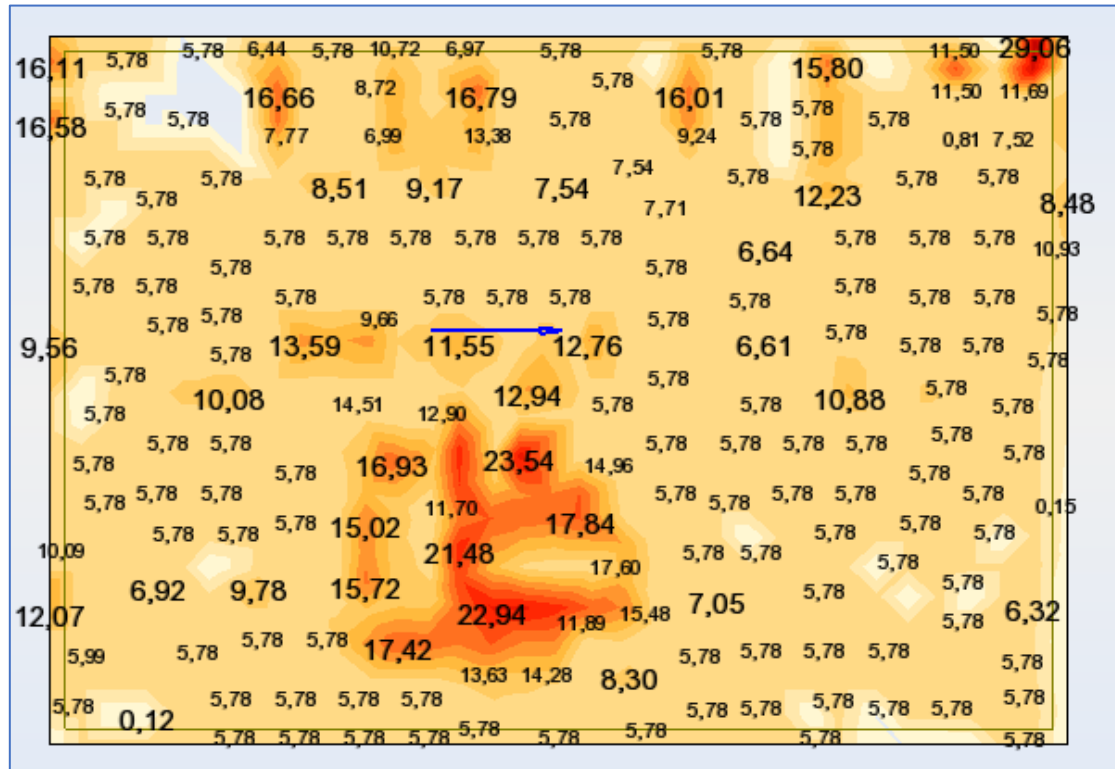


Figure 88 Cartographie du ferraillage, armatures principales Ax (-)

La section d'armatures principales théorique maximale donnée par la cartographie de la figure 88 est :

$$Ax(-)_{Th\ max} = 29,06\text{cm}^2/\text{m}$$

Il est plus judicieux de calculer la section d'armatures à partir de cette valeur afin d'éviter de mettre en place plusieurs renforcements pour des raisons de facilité de mise en œuvre et de sécurité.

On choisit une section d'armatures 5HA32/mètre.

- **Armatures perpendiculaires aux armatures principales $A_y (-)$:**

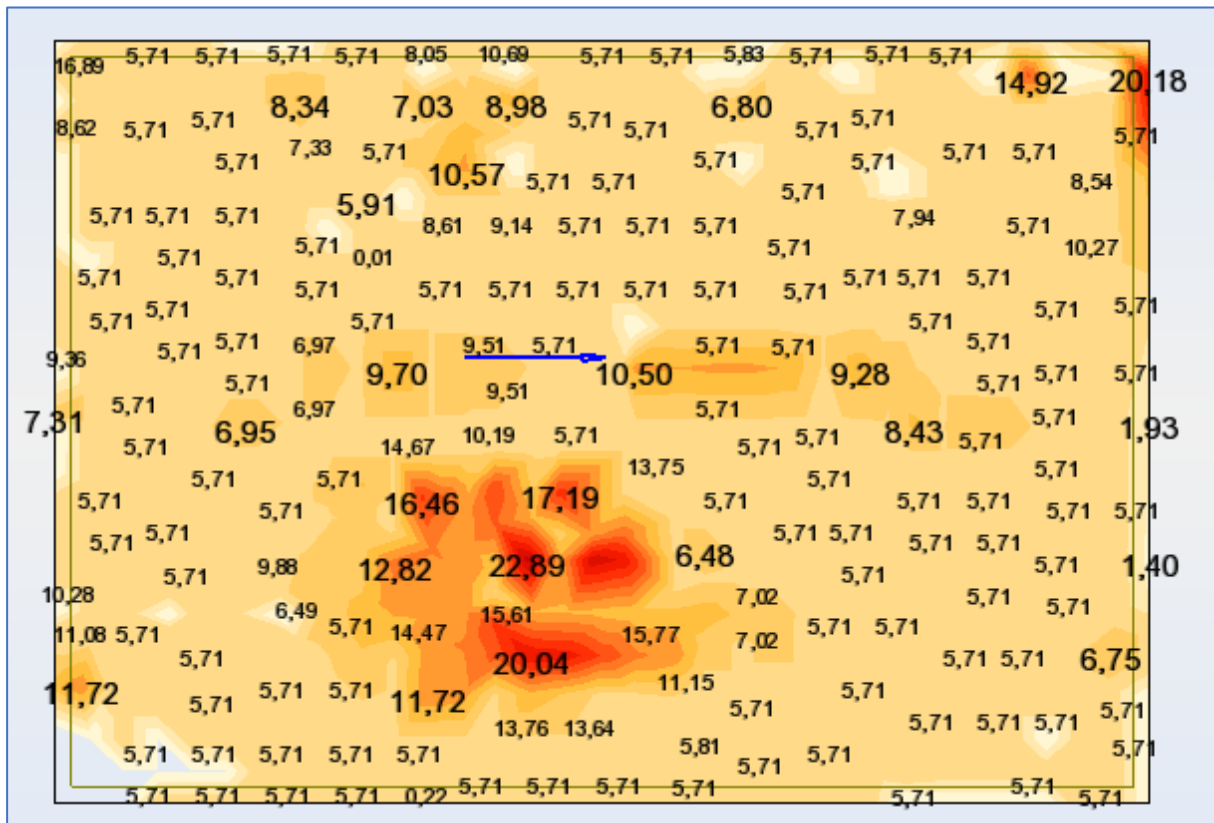
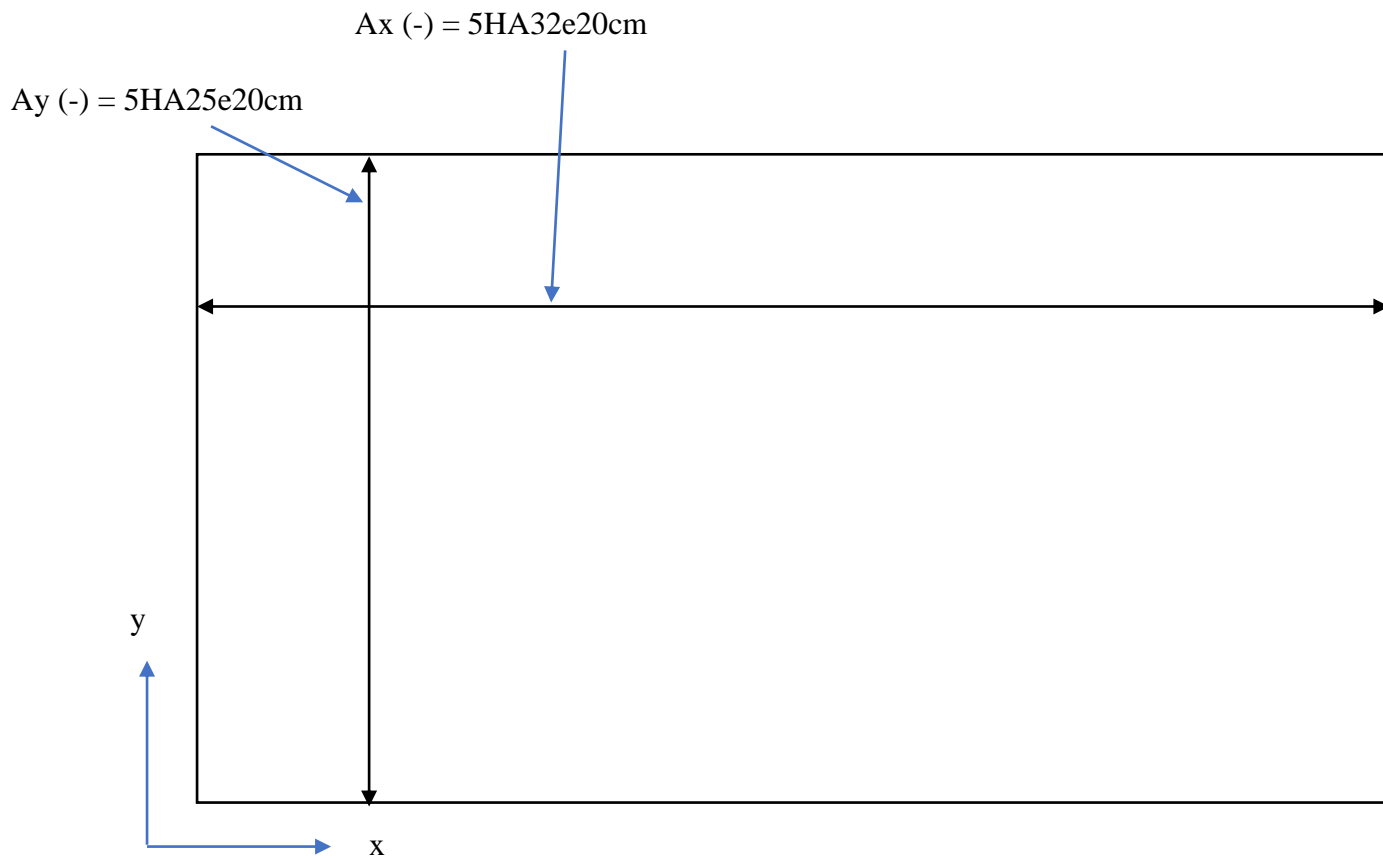


Figure 89 Cartographie du ferrailage, armatures $A_y (-)$

D'après la cartographie de la figure 89, la section d'armatures maximale nécessaire est :

$$A_y (-)_{Th\ max} = 22,89\ cm^2/m$$

On choisit une section d'armatures 5HA25/mètre.

Récapitulatif du ferrailage inférieur (figure 90) :*Figure 90 Récapitulatif du ferrailage inférieur du radier***3.2.1.5.2. Cisaillement et armatures transversales :**

Aucune armature transversale n'est requise puisque[5]:

- La dalle est coulée sans reprise de bétonnage.
- La contrainte de cisaillement conventionnelle par mètre de dalle $\tau_u = \frac{V_u}{d}$ est inférieure ou égale à $\frac{0,07f_{cj}}{\gamma_b}$

$$\frac{0,07f_{c28}}{\gamma_b} = \frac{0,07 \times 25}{1,5} = 1166,67 \text{ KPa}$$

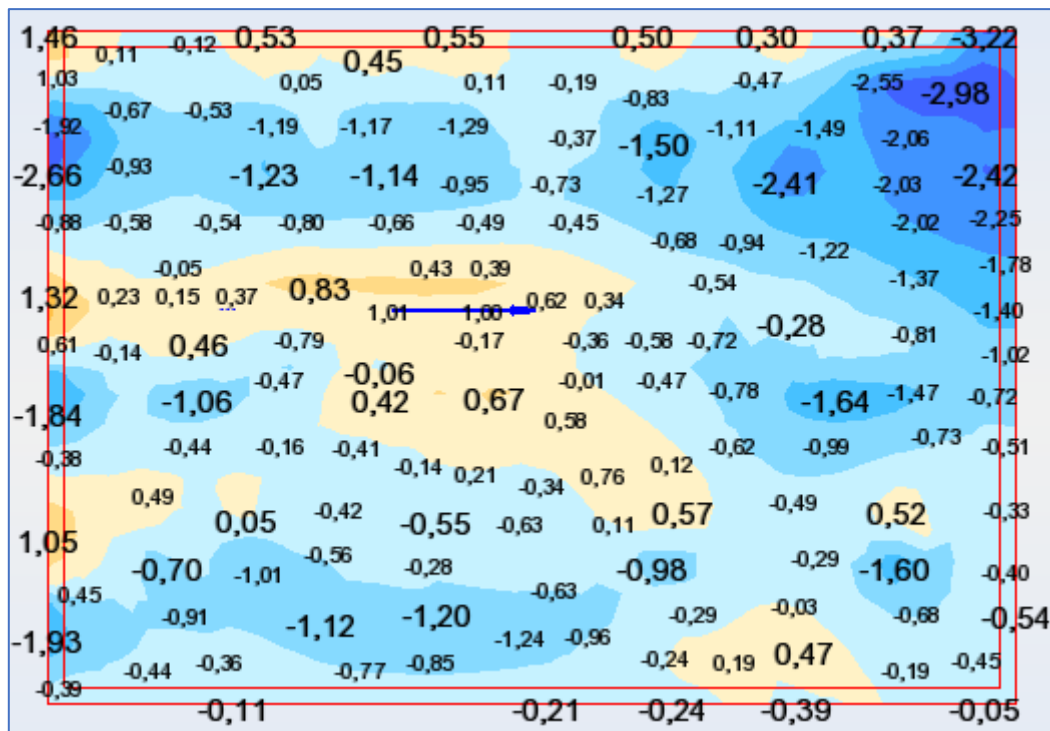


Figure 91 Cartographie contrainte de cisaillement τ_{xy} (combinaison la plus défavorable)

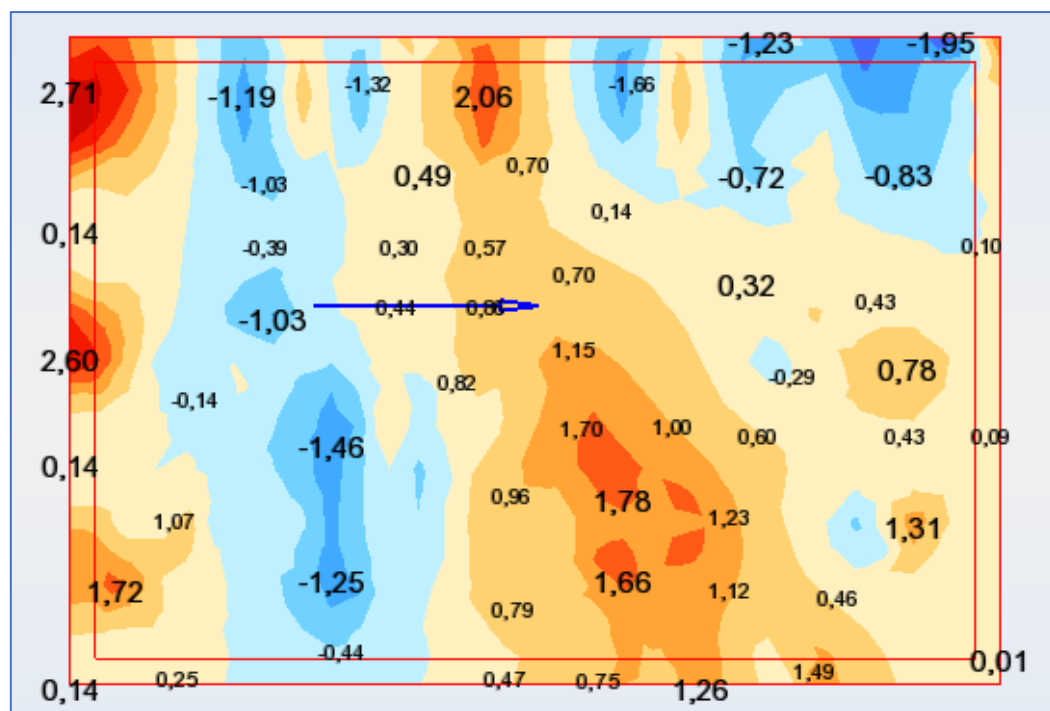


Figure 92 Cartographie de la contrainte de cisaillement τ_{xx} (combinaison la plus défavorable)

On remarque ainsi qu'on doit prévoir des armatures d'âme au niveau des appuis (sous les poteaux et sous les voiles), calculées à partir de l'inégalité suivante[5] :

$$\frac{A_t}{b_0 s_t} \geq \frac{\gamma_s(\tau_u - 0.3f_{t28})}{0.9f_e(\cos(\alpha) + \sin(\alpha))}$$

Où :

A_t : section minimale d'armatures transversales ;

S_t : espacement des armatures transversales ;

b_0 : largeur de la bande étudiée ;

τ_u : contrainte de cisaillement à l'état limite ultime ;

α : angle d'inclinaison des armatures transversales (compris entre 45° et 90°).

On va effectuer un exemple de calcul pour le coin droit supérieur du radier indiqué sur la cartographie de la figure 91, qui nécessite des armatures transversales afin de vérifier la condition de la contrainte de cisaillement suivant la direction X, dont la valeur d'après la cartographie de ferrailage indiquée sur la même figure est égale à :

$$\tau_u = 3,25 \text{ MPa}$$

Pour une bande de largeur 1m :

Inclinaison des armatures transversales : $\alpha=90^\circ$ (armatures verticales).

Et un espacement fixé égal à 15cm :

On détermine la section d'armatures transversales minimale vérifiant :

$$A_t \geq \frac{\gamma_s(\tau_u - 0.3f_{t28})}{0.9f_e(\cos(\alpha) + \sin(\alpha))} b_0 S_t$$

On trouve :

$$A_t \geq 10,04 \text{ cm}^2$$

On choisit une section 5T16, un cadre T16+3 épingles vu qu'on dispose de 5 barres longitudinales par mètre espacées de 20cm.

Le plan de ferrailage et les détails du radier (par CYPECAD) du modèle de la structure sous la variante du plancher-dalle sont présentés en Annexe 9.

3.2.1.5.3. Armatures de poinçonnement :

Le calcul des armatures de poinçonnement s'effectue de la même manière que pour le cas des plancher.

La modélisation de la dalle sur CYPECAD 2019 permet la vérification du poinçonnement et le choix du type des renforts à mettre en place.

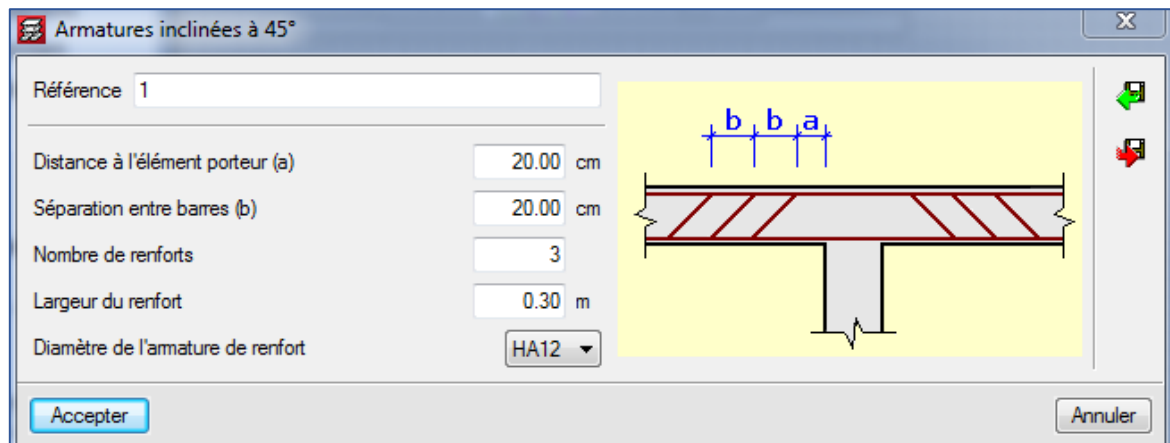
Vérification de l'effet du poteau P3 :

Figure 93 Choix du renfort au poinçonnement sur CYPECAD

Les différentes vérifications effectuées à l'aide de CYPECAD sont présentées en annexe 11.

3.2.2. Modélisation du radier sur CYPECAD, variante de la dalle réticulée :

Le radier est modélisé sur CYPECAD d'une manière similaire à celle sur ROBOT 2014 par une dalle. Par analyse sur CYPECAD, il apparaît qu'une épaisseur de 80 cm est bien convenable pour ce modèle de la structure sous la variante de la dalle réticulée.

Le plan de ferrailage (armatures longitudinales et transversales) et les détails du radier du modèle de la structure sous la variante de la dalle réticulée sont présentés en Annexe 9.

Chapitre 9 : Etude comparative des deux variantes

I. Introduction :

Nous avons proposé jusqu'à maintenant deux variantes possibles et faisables pour notre projet :

Variante 1 : Plancher-dalle en béton armé.

Variante 2 : Plancher réticulé.

Chacune de ces deux variantes présente des avantages et des inconvénients. Il n'est donc pas judicieux de trancher entre les deux à première vue. Nous allons donc procéder à une analyse multicritère (critères techniques, quantitatifs/économiques et environnementaux) pour faciliter au bureau d'études le choix de la solution optimale.

II. Critères techniques :

1. Flèche :

La flèche est l'un des éléments les plus déterminants dans le choix de la variante du plancher pour des raisons d'architecture et de confort des habitants. La cartographie de la flèche du plancher haut du 1^{er} étage du bâtiment est donnée par logiciel CYPECAD.

Pour la variante du plancher-dalle, la flèche maximale est égale à 11,26 mm (figure 94) :

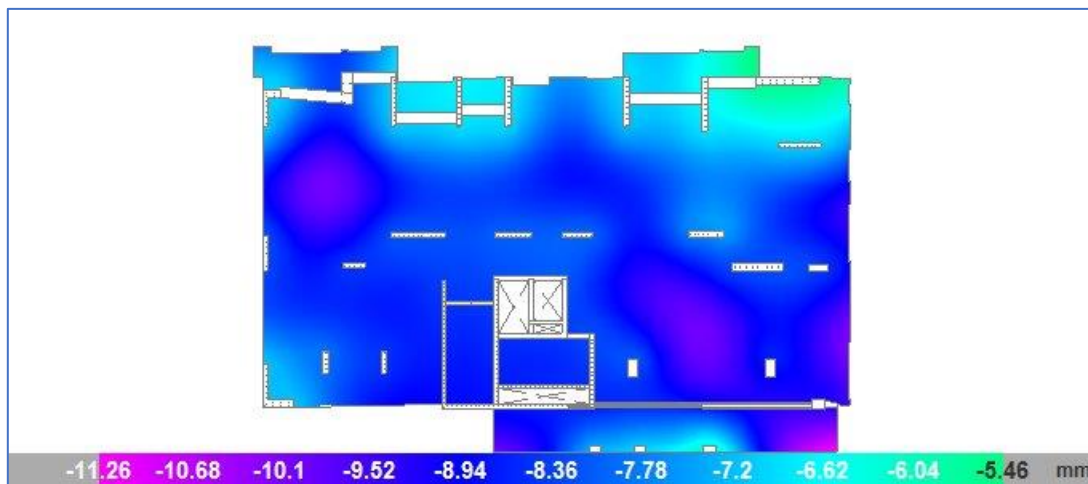


Figure 94 Cartographie de la flèche, plancher haut 1er étage, variante du plancher-dalle, CYPECAD

Pour la variante de la dalle réticulée, la flèche maximale est égale à 9,81 mm (figure 95) :

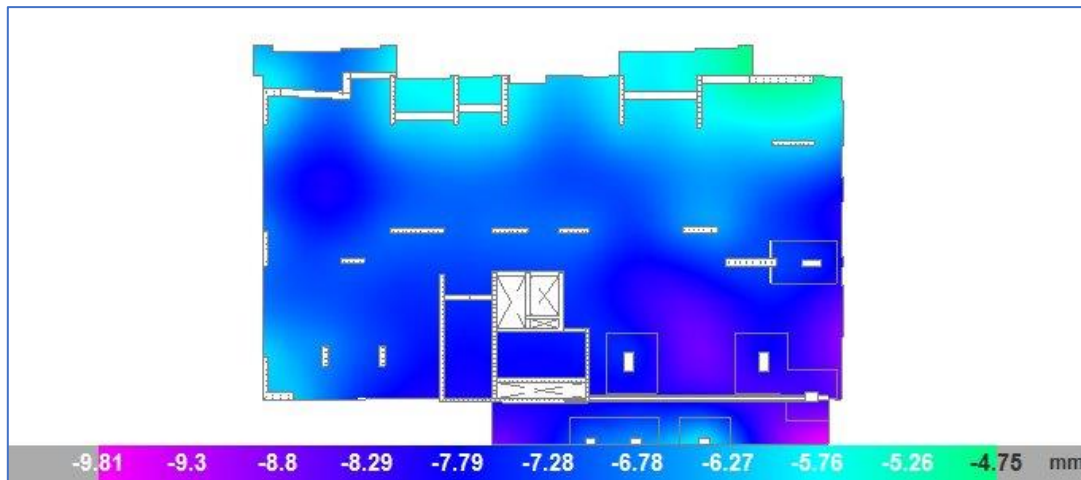


Figure 95 Cartographie de la flèche, plancher haut du 1er étage, variante de la dalle réticulée, CYPECAD

On remarque que les planchers réticulés (figure 95) présente des flèches plus faibles que le plancher-dalle (figure 94).

2. Poids des planchers :

Le poids de la dalle réticulée est inférieur à celui du plancher-dalle (tableau 42), elle permet donc de réaliser une économie sur les différents matériaux utilisés pour la construction des éléments porteurs. La quantité d'armatures nécessaires pour la résistance des éléments porteurs ainsi que les fondations est inférieure à celle correspondant à la variante plancher-dalle.

Le tableau 42 donne le poids du plancher-haut du 1^{er} étage (sans balcons) pour chaque variante :

	Variante 1 : Plancher-dalle en BA	Variante 2 : Dalle réticulée
Epaisseur (m)	0,3	0,4
Poids du plancher (t)	126,6	93,65

Tableau 42 Comparaison des poids des planchers

III. Etude quantitative :

Les ratios de l'ouvrage dépendent évidemment du type d'éléments structuraux adoptés et en particulier du type de dalles vu que le poids des planchers varie d'un type à l'autre. La structure est plus allégée sous la variante « dalle réticulée » que celle du « plancher-dalle ». Donc d'une part, le volume du béton nécessaire est diminué, d'autre part, la section d'armatures nécessaire pour la résistance des différents éléments porteurs est optimisée.

L'Etude quantitative se base sur les différents ratios obtenus du béton (volume en m³) et de l'acier (masse en kg).

Les différents résultats sont déterminés à partir de l'étude effectuée sur logiciel CYPEDCAD.

Notes :

- Barres : les valeurs indiquées tiennent compte des chutes ;
- Surface totale : les ouvertures de surface ont été déduites ;
- La mesure des armatures de bases des dalles et des panneaux est approximative.

1. Variante de la dalle réticulée :

Le total des résultats des ratios pour tout le bâtiment pour la variante de la dalle réticulée est résumé dans le tableau 43:

Élément	Coffrage (m ²)	Surface (m ²)	Volume (m ³)	Barres (kg)
Dalles de fondation	-	942.99	754.560	34060
Armature de base	-	-	-	18041
Planchers sur poutrelles	-	462.53	46.750	983
Planchers réticulés	-	7967.63	1474.480	70627
Armature de base des panneaux	-	-	-	4144
Planchers-dalles	-	1426.79	351.770	27799
Poutres	1355.50	948.52	245.350	19900
Murs en béton armé	-	10909.39	1416.040	97092
Poteaux	793.46	-	98.150	11597
Total	-	22657.85	4387.100	284243
Indices (par m ²)	-	-	0.372	24.11
Surface totale: 11788.28 m ²				
N° de blocs de plancher réticulé = 43039 Uté.				

Tableau 43 Total des ratios de l'ouvrage (béton et acier), variante dalle réticulée, CYPECAD

Remarque :

L'élément plancher-dalle dans le tableau correspond aux dalles équivalentes aux escaliers.

2. Variante du plancher-dalle :

Le total des résultats des ratios pour tout le bâtiment pour la variante du plancher-dalle est résumé dans le tableau 44:

Élément	Coffrage (m ²)	Surface (m ²)	Volume (m ³)	Barres (kg)
Dalles de fondation	-	942.99	942.990	42839
Armature de base	-	-	-	21377
Planchers sur poutrelles	-	462.53	46.750	1019
Planchers-dalles	-	9262.23	2630.300	317460
Poutres	1116.99	1052.47	241.930	30301
Murs en béton armé	-	10909.39	1416.040	170700
Poteaux	813.28	-	100.530	16641
Total	-	22643.90	5381.910	600641
Indices (par m ²)	-	-	0.457	51.01
Surface totale: 11774.33 m ²				

Tableau 44 Total des ratios de l'ouvrage (béton et acier), variante du plancher-dalle, CYPECAD

Les ratios de l'ouvrage pour chaque étage pour les deux variantes sont présentés en annexe 10.

3. Comparaison :

D'après les résultats indiqués dans les tableaux 43 et 44, le volume total en matière première nécessaire pour la construction de ce bâtiment en planchers-dalles en BA dépasse largement celui nécessaire si on choisit d'adopter des planchers réticulés.

On remarque une économie de 316,4t d'acier, ce qui est énorme.

IV. Etude économique :

Le type du plancher adopté (réticulé ou plancher-dalle) influence considérablement les ratios des matériaux utilisés dans l'intégralité de l'ouvrage et par suite, le budget global de l'ouvrage.

La modélisation de la structure par logiciel CYPECAD a permis d'avoir une idée sur le budget à prévoir pour chaque variante :

1. Résumé de budget de la variante : dalle réticulée :

Le résumé de budget pour la variante « dalle réticulée » est présenté dans le tableau 45 :

Elément de la structure	quantité	prix unitaire (dirhams)	Montant
Fondations.	754.56 m ³	1773.5	1338004
Structures enterrées et semi-enterrées.	-	-	245 641
Murs.	1416.04 m ³	2247	3182145
Poteaux et poutres.	449.2 m ³	1680.5	754936
Planchers réticulés	7967.63 m ²	733.5	5844837
Planchers. Dalles (escaliers)	351.77 m ³	2220	780930
Total	-	-	11900852

Tableau 45 Résumé de budget, variante de la dalle réticulée

NB : les prix unitaires tiennent compte du béton et des armatures.

2. Résumé de budget de la variante : Plancher-dalle :

Le résumé de budget pour la variante « plancher-dalle » est présenté dans le tableau 46:

Elément de la structure	quantité (m ³)	prix unitaire (dirhams)	Montant
Fondations.	942.99	1728.5	1629940.77
Structures enterrées et semi-enterrées.	-	-	384 678,12
Murs.	1416.04	2701	3824800.94
Poteaux, poutres et ossatures.	449.2	1680.5	754936.66
Planchers.	2818.3	2689	7578114.62
Total	-	-	14 347 855,00

Tableau 46 Résumé de budget, variante du plancher-dalle en béton armé

NB : les prix unitaires tiennent compte du béton et des armatures.

3. Comparaison des budgets :

3.1. Comparaison du budget des planchers :

Pour la variante « plancher-dalle », le budget à prévoir d'après l'analyse budgétaire fournie par CYPECAD s'élève à 7 578 114,62 DHS contre 5 844 837,57 DHS pour la variante « dalle réticulée ». Soit une économie de 29,65 %.

3.2. Comparaison du budget global :

Pour la variante « plancher-dalle », le budget global à prévoir pour l'intégralité de la structure et du gros œuvre s'élève à 14 347 855,00 DHS contre 11 900 852,00 DHS pour la variante « dalle réticulée ». Soit une économie de 17,1 % du budget.

V. Critères environnementaux :

L'utilisation de béton de ciment est source de multiple dégradation de l'environnement, la clinkérisation (production du clinker qui fait partie de la composition des liants) est responsable d'approximativement 5% des émissions de gaz à effet de serre anthropiques, principaux responsables du réchauffement climatique [19].

L'acier contribue également au réchauffement climatique par émission du CO₂ lors des procédés de sa fabrication. Réduire l'impact environnemental des travaux du bâtiment revient donc à réduire les matériaux mis en œuvre dans la construction.

Selon l'Association de l'Environnement et de la Maîtrise de l'Energie :

- Pour un mètre cube de béton, 880kg d'équivalent CO₂ sont produits.
- Pour une tonne d'acier, 3667kg d'équivalent CO₂ sont produits.

Ainsi, pour notre projet, nous aurons les quantités d'équivalent CO₂ par m² présentées dans le tableau 47 :

Variantes			
Plancher-dalle en BA			
Béton (m3)	Équivalent CO ₂ (Kg)	Acier (t)	Équivalent CO ₂ (kg)
5381,91	4736080,8	600,641	2202550,547
Total équivalent CO ₂ (Kg)			
6938631,347			
Total équivalent CO ₂ (Kg/m ²)			
589,214			
Dalle réticulée			
Béton (m3)	Équivalent CO ₂ (Kg)	Acier (t)	Équivalent CO ₂ (kg)
4571,2	4022656	283,094	1038105,698
	Équivalent CO ₂ (Kg/m ²)		Équivalent CO ₂ (Kg/m ²)
Total équivalent CO ₂ (Kg)			
5060761,698			

Total équivalent CO2 (Kg/m2)
429,485

Tableau 47 Equivalents en CO2 émis par le projet pour chaque variante

Ainsi, la construction de la structure sous la variante du plancher-dalle est évidemment plus nuisible à l'environnement et contribue avec une part plus importante aux émissions du CO₂ que celle de la dalle réticulée qui nécessite moins de matériaux de construction (béton et acier) et par suite contribue moins aux émissions des GES.

Conclusion

Notre projet de fin d'études s'est intéressé à la conception et au dimensionnement d'un bâtiment R+15 avec deux sous-sols ainsi qu'à l'étude comparative de deux variantes de plancher proposées après avoir examiné plusieurs types de plancher possibles et choisi les deux variantes : Plancher-dalle en béton armé et dalle réticulée, censées convenir aux différentes contraintes du projet.

Le choix optimal d'un système de plancher repose sur quatre critères fondamentaux : Critère de résistance, critère de flèche, critère économique et critère environnemental, tout en s'adaptant aux différentes contraintes architecturales et exigences du maître d'ouvrage.

Le calcul d'un système de planchers sans poutres, conception retenue pour notre cas, doit impérativement tenir compte du problème de poinçonnement par recours à des dispositions constructives lorsque les règles de résistance ne sont pas vérifiées.

La modélisation du bâtiment pour l'étude des deux variantes de planchers et le calcul des différents éléments porteurs est effectuée à l'aide des deux logiciels de calcul par éléments finis afin de s'assurer des différents résultats obtenus. Le logiciel CYPECAD 2019 facilite la comparaison des deux variantes vu qu'il permet d'obtenir les différents résultats relatifs aux études quantitative et économique du projet.

La comparaison des deux variantes a permis d'aboutir aux conclusions et recommandations suivantes :

- L'adoption d'un système de dalles réticulées permet d'effectuer des économies majeures en termes de matière première (béton et acier) et de mains d'œuvre, les délais d'exécution sont plus réduits et par suite le budget l'est aussi.
- Les flèches sont réduites pour le cas des dalles réticulées.
- Les dalles réticulées permettent de franchir de plus grandes portées.
- La dalle réticulée est la solution la plus écologique.

Bibliographie

- [1] D. d. l. q. e. d. a. t. Ministère de l'habitat et de la politique de la ville, Le règlement de construction parasismique, RPS 2000-version 2011.
- [2] AFNOR, *Norme NF P 06-001 - Charges d'exploitation des bâtiments*, juin 1986.
- [3] AFNOR, *Norme NF P 06-004 - Bases de calcul des constructions - Charges permanentes et charges d'exploitation dues aux forces de pesanteur*, mai 1997.
- [4] a. s. Ooreka, «Les différents types de planchers en béton,» [En ligne]. Available: <https://construction-maison.ooreka.fr/astuce/voir/623171/les-differents-types-de-planchers-en-beton>.
- [5] *Règles BAEL 91 révisées 99* (DTU P 18-708), 2000.
- [6] D. F. Regalado (citation).
- [7] P. C. C. N. J. S. e. H. T. Lucien Boutonnet, *La précontrainte dans le bâtiment*, SEDIP.
- [8] C. Ingenieros, «*Planchers réticulés dans CYPECAD*».
- [9] Normes espagnoles, Avant l'apparition de l'EHE.
- [10] Normes espagnoles E.H.E, 1999.
- [11] [En ligne]. Available: <https://www.univ-chlef.dz/FGCA/wp-content/uploads/2017/03/CHAPITRE3-CONTREVENTEMENTS-2016.pdf>.
- [12] V. Davidovici, *La construction en zone sismique*.
- [13] Règles NV 65, CSTB, 02/2009.
- [14] Y. MIRZAEI. [En ligne]. Available: <https://ibeton.epfl.ch/Recherche/ProgressiveCollapse/default.asp>.
- [15] J. P. e. J. Roux, *Pratique du BAEL 91*, EYROLLES, Quatrième édition.
- [16] DTU (Document Technique Unifié) 23.1 *Murs en béton banché*, 1993.
- [17] *Règles de construction parasismique PS 92*.
- [18] A. BOUAFIA, Génie Civil, *Conception et Calcul des Ouvrages Géotechniques*, Pages Bleues Internationales .
- [19] Wikipédia, «*Béton, Impact environnemental*,» [En ligne]. Available: https://fr.wikipedia.org/wiki/B%C3%A9ton#Impact_environmental.
- [20] «Ronveaux,» [En ligne]. Available: <http://www.ronveaux.com/fr/metiers/construction/batiments-metier/poteaux->

[colonnes/item/poteaux-colonnes.html](#).

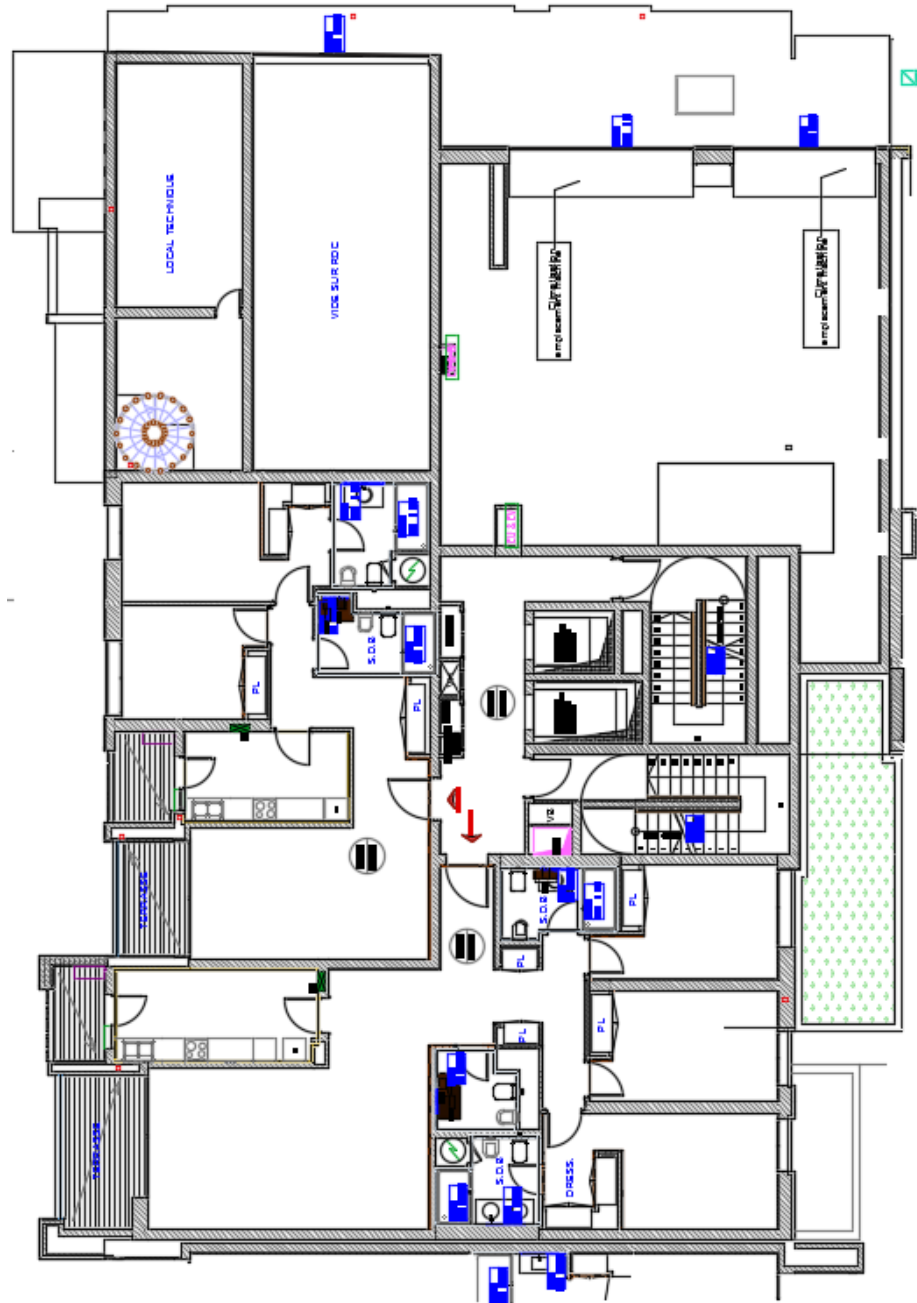
[21] DTU 23.1/4,224.

[22] PS 92 ; article 11.8.2.1.4.

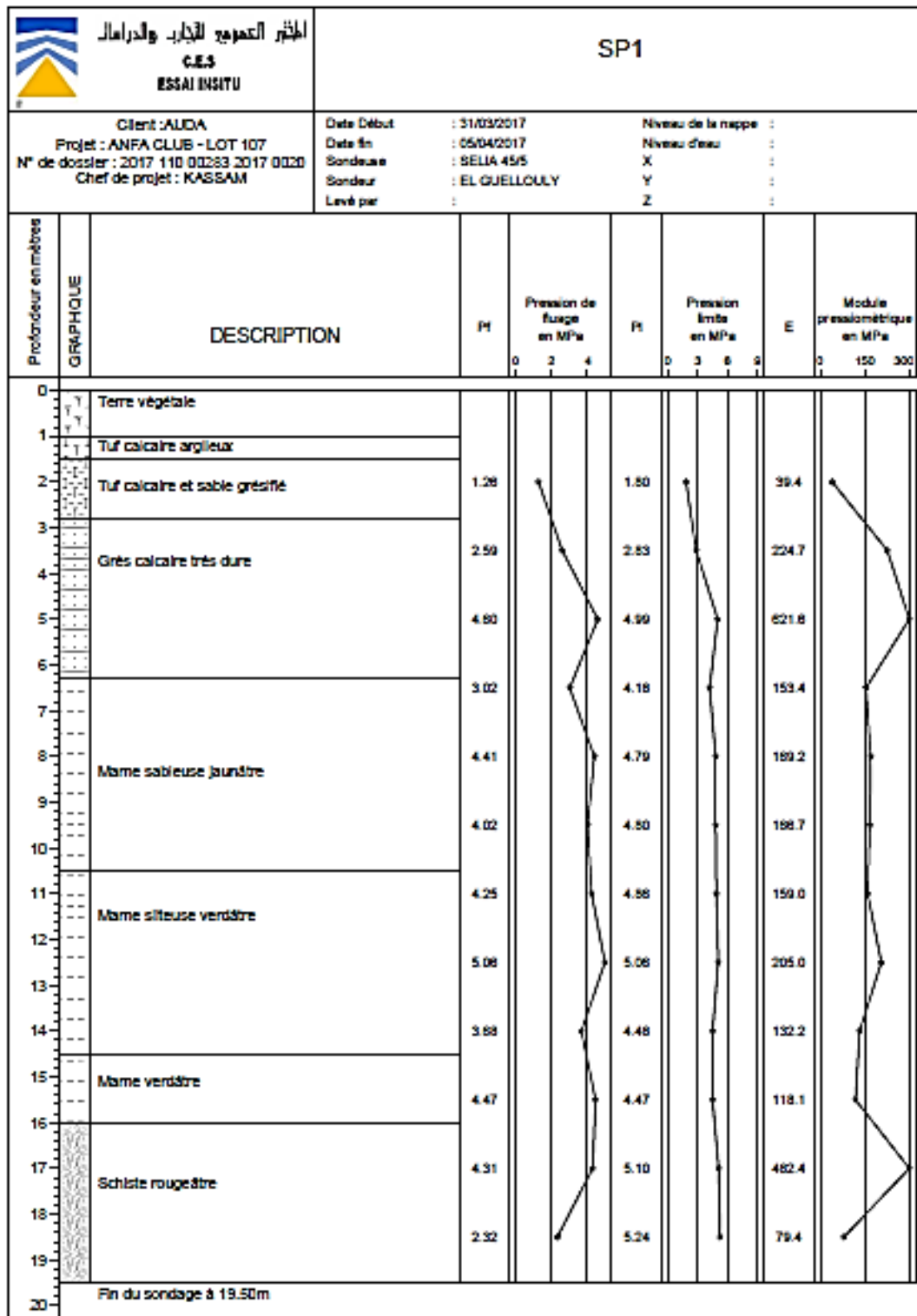
[23] «Wikipédia».

Annexes

Annexe 1 Plan architectural du plancher-haut 1er étage



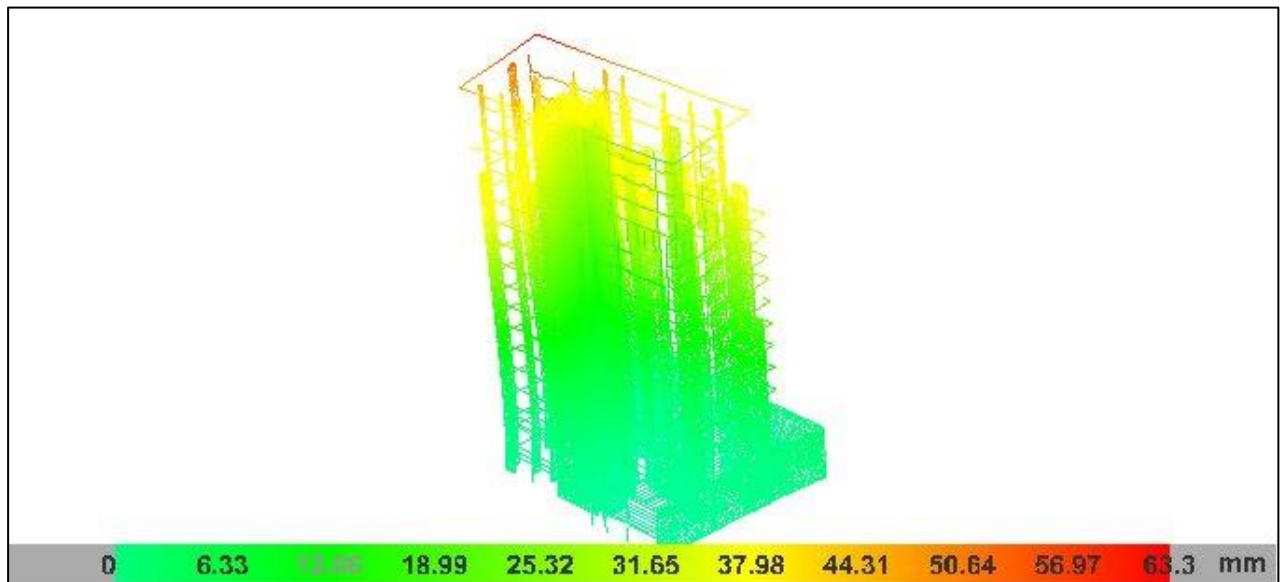
Annexe 2 Résultats de l'essai pressiométrique



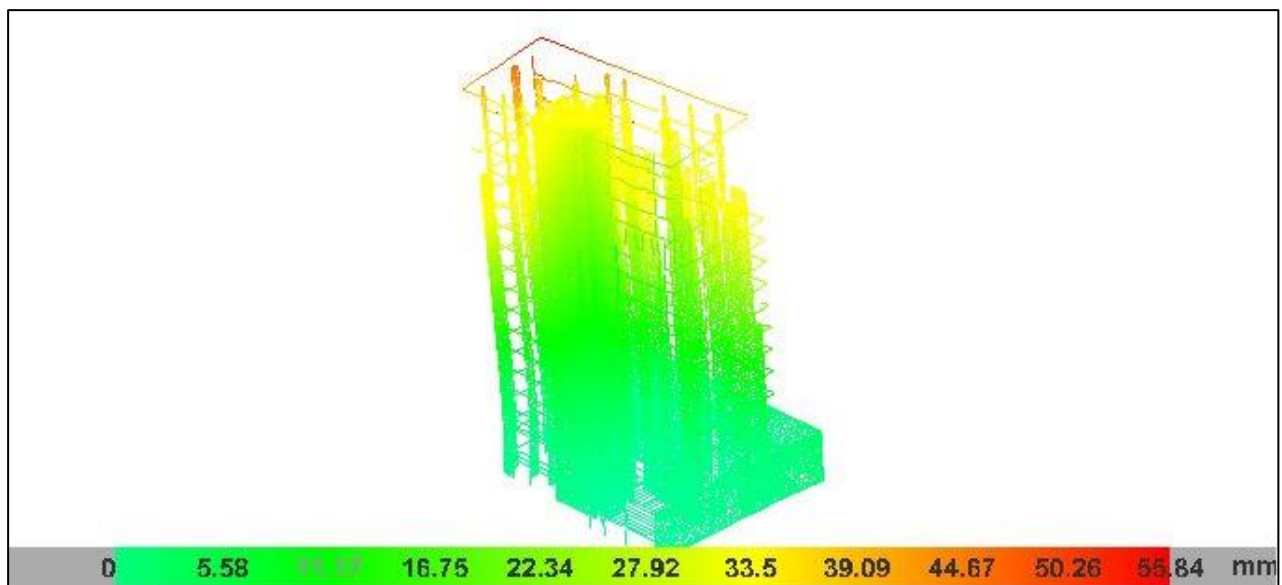
Annexe 3 Déformés du bâtiment dans le mode le plus défavorable

Mode 2, Séisme X :

- Variante du plancher-dalle en béton armé :

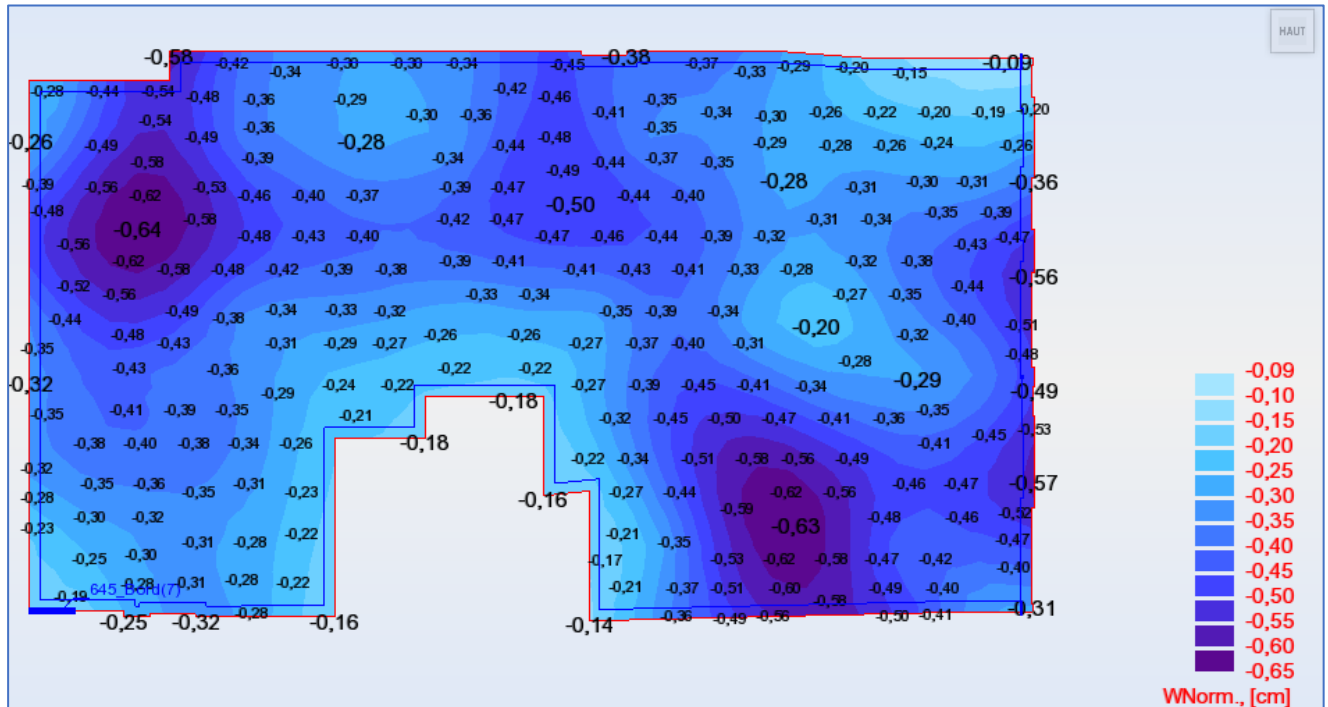


- Variante de la dalle réticulée :

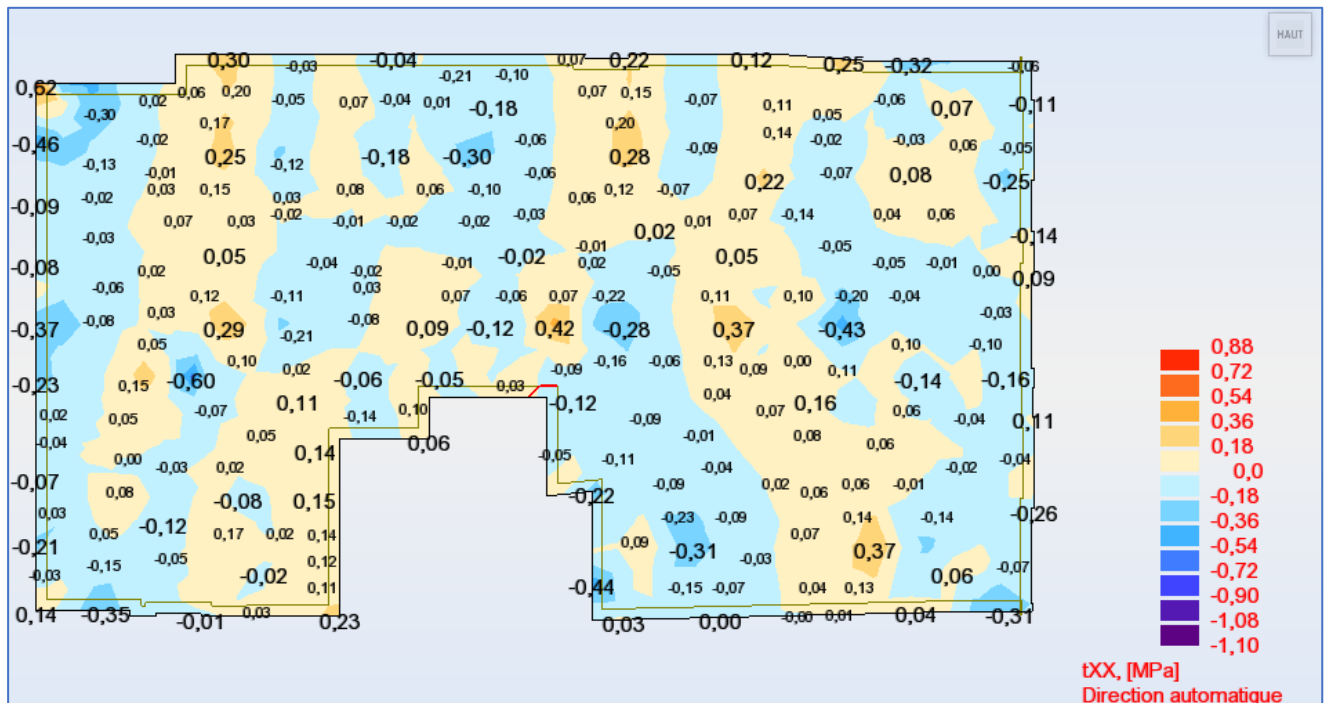


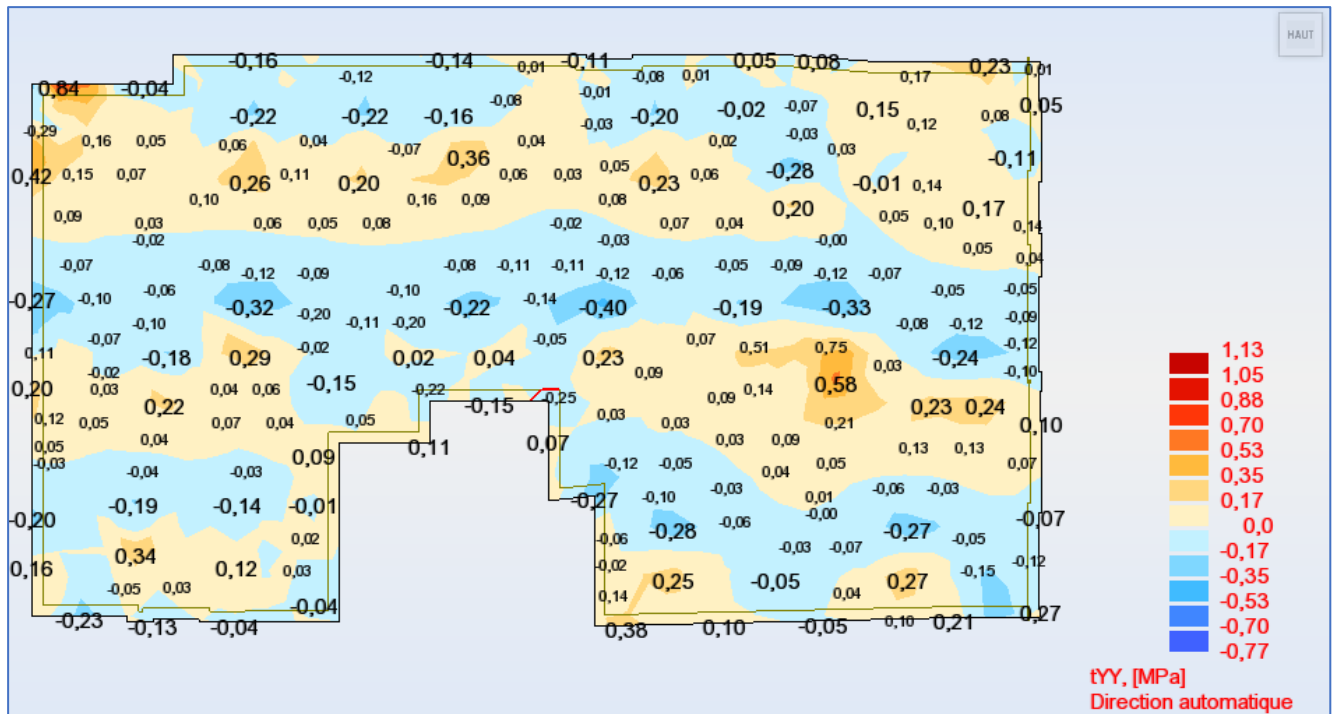
Annexe 4 Cartographies de la flèche, des contraintes de cisaillement, de l'effort tranchant et du ferrailage A_x (+) :

Cartographie de la flèche (Robot 2014) :

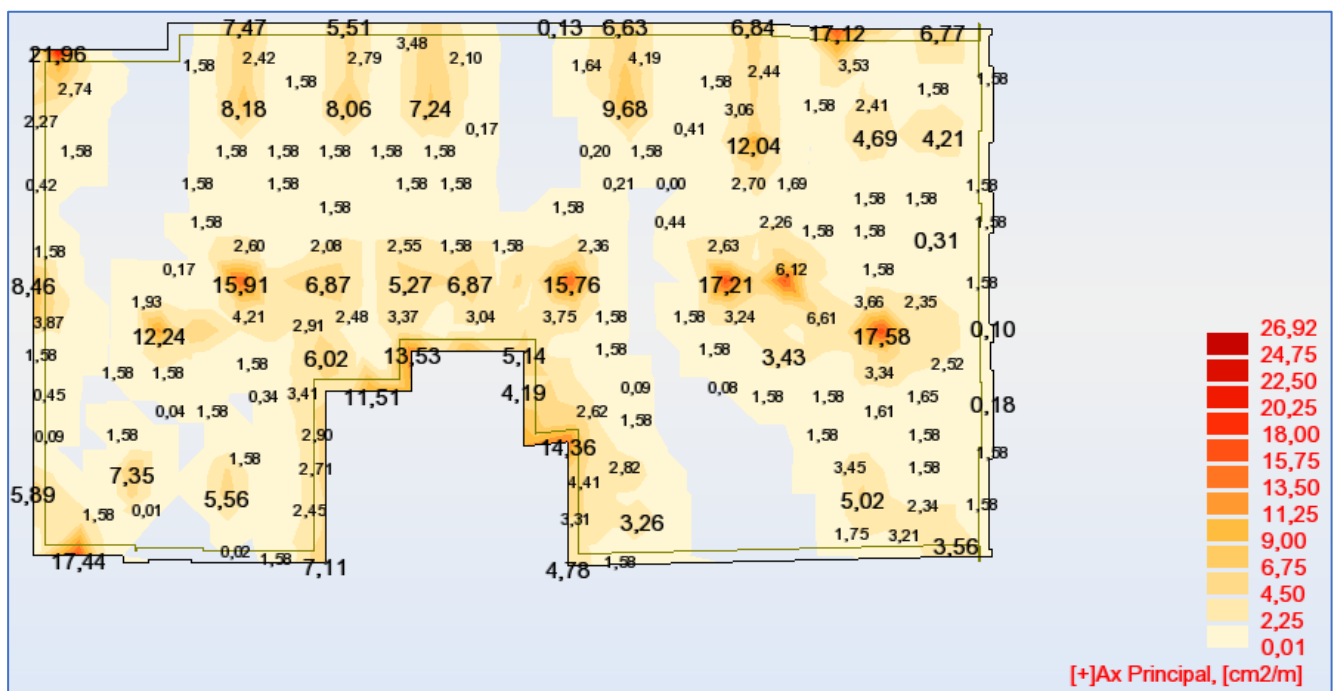


Cartographie des contraintes de cisaillement (Robot 2014) :



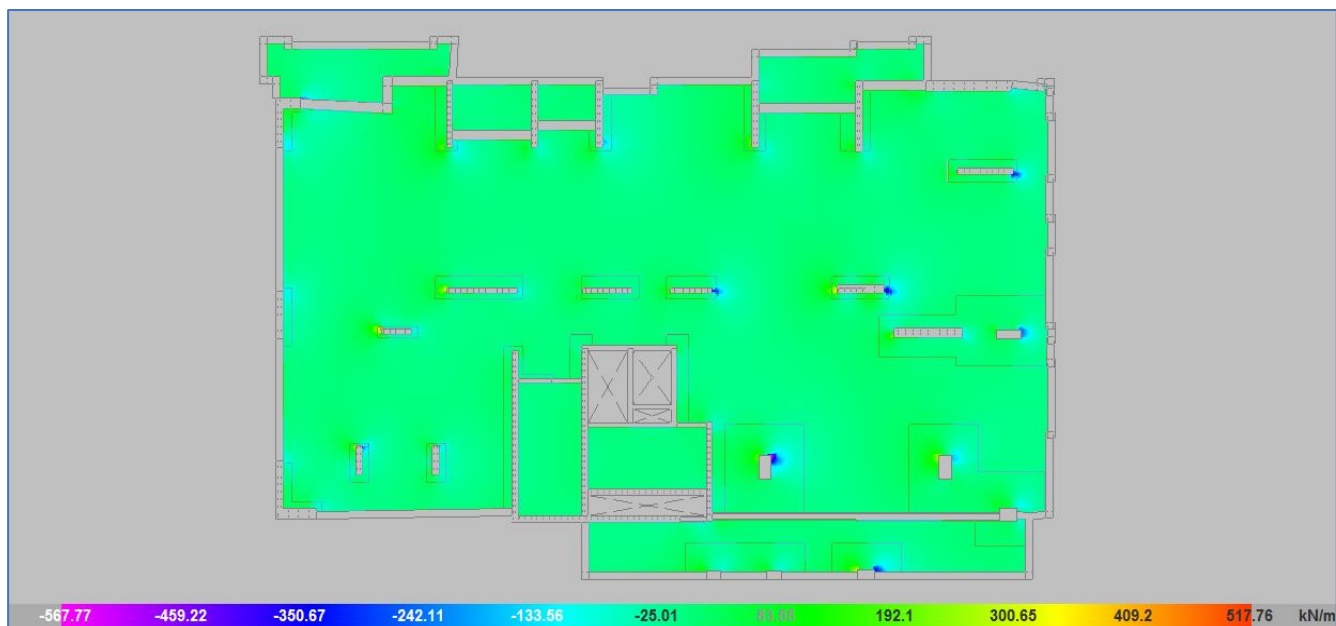


Cartographie du ferraillage $A_x (+)$ du plancher-haut 1^{er} étage (Robot 2014) :

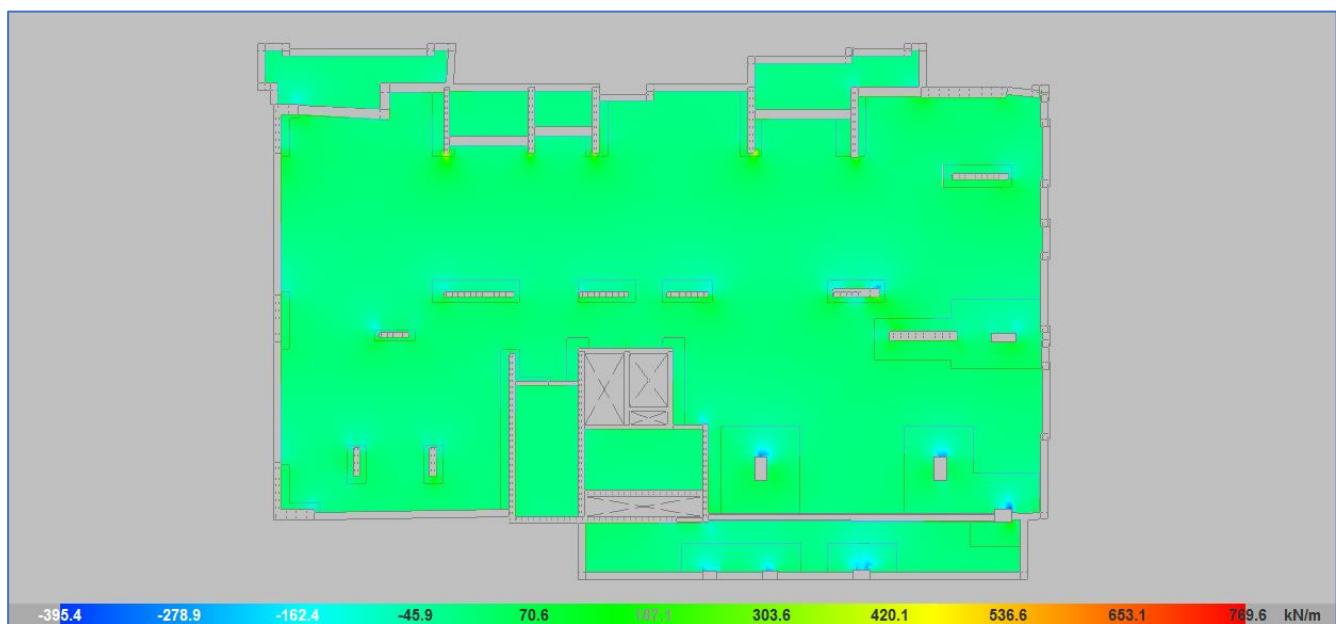


Cartographie de l'effort tranchant du plancher-haut 1^{er} étage (dalle réticulée) (CYPECAD) :

Suivant X :



Suivant Y :



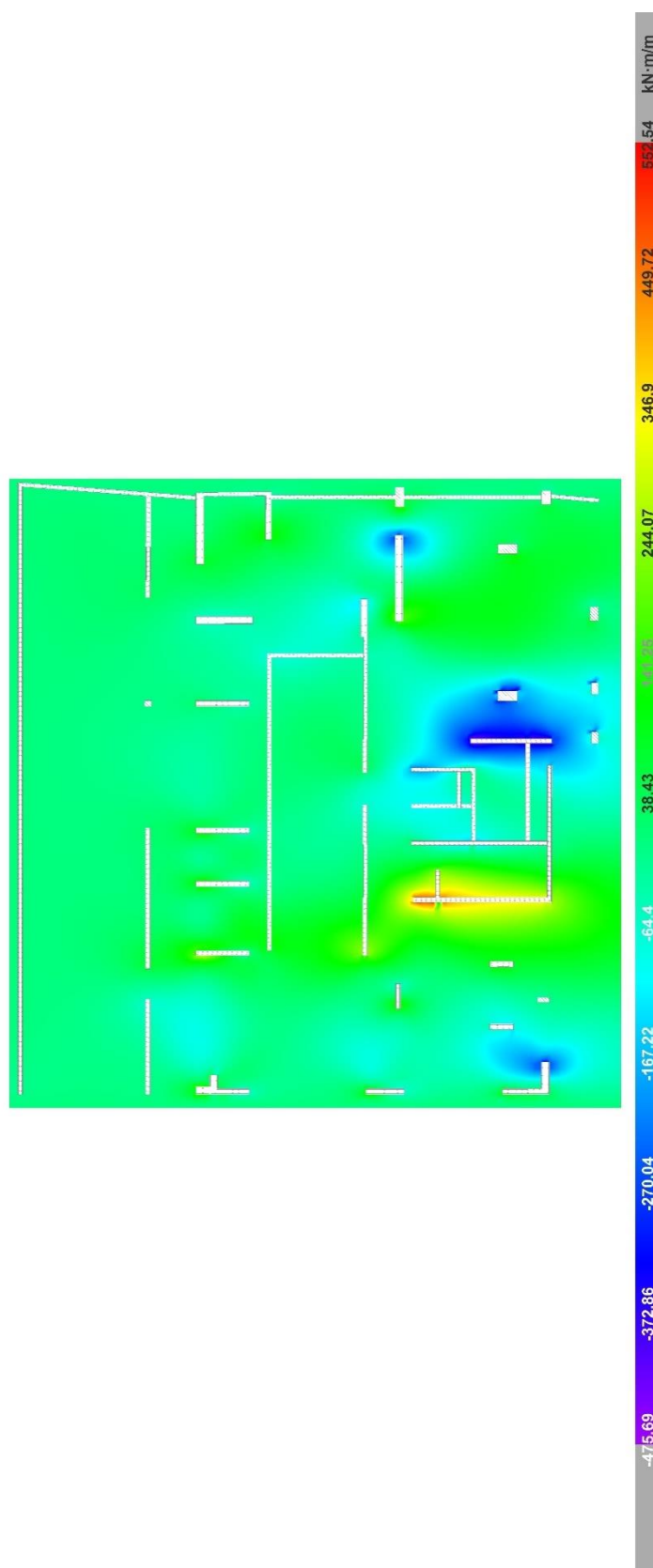
Annexe 5 Plans de ferrailage du plancher-haut 1er étage pour les deux variantes des dalles donnés par CYPECAD 2019

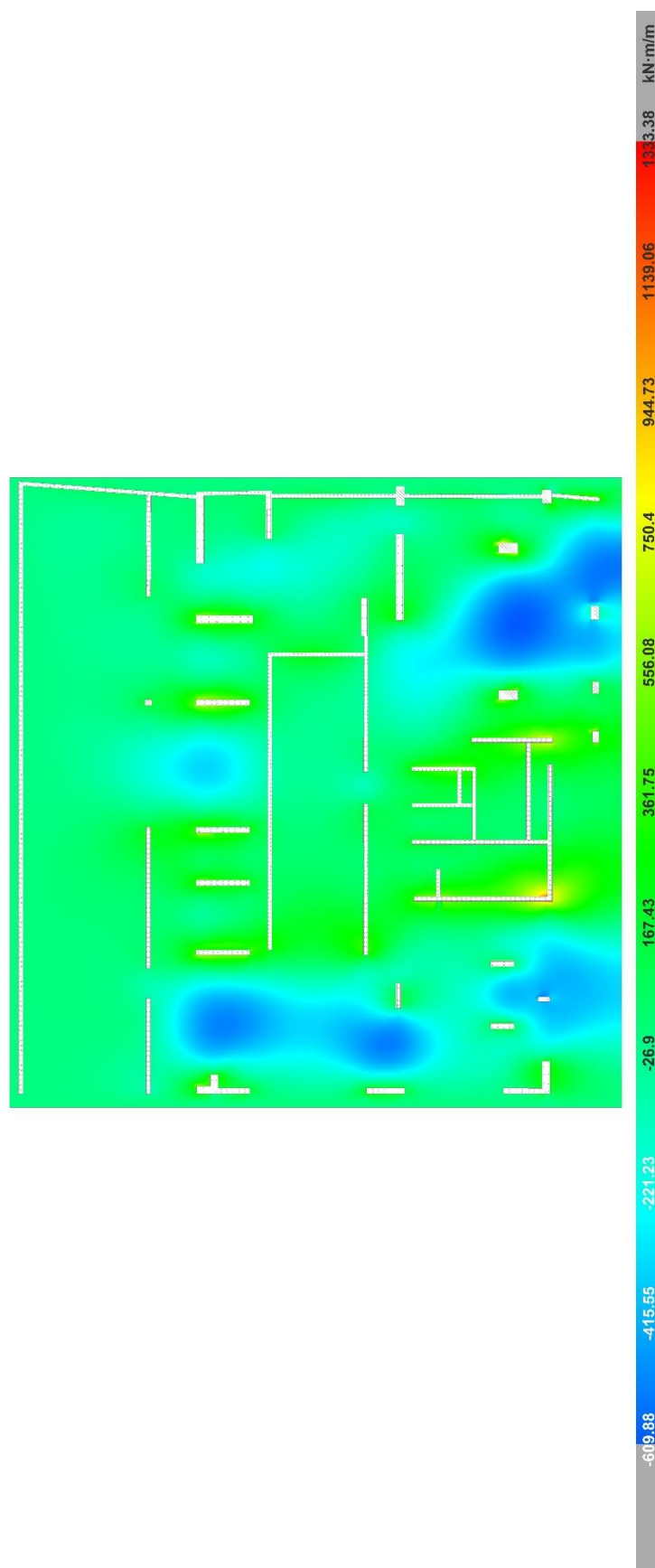
Annexe 6 Détails de ferrailage du voile du 2ème sous-sol calculé par CYPECAD 2019 pour les deux variantes

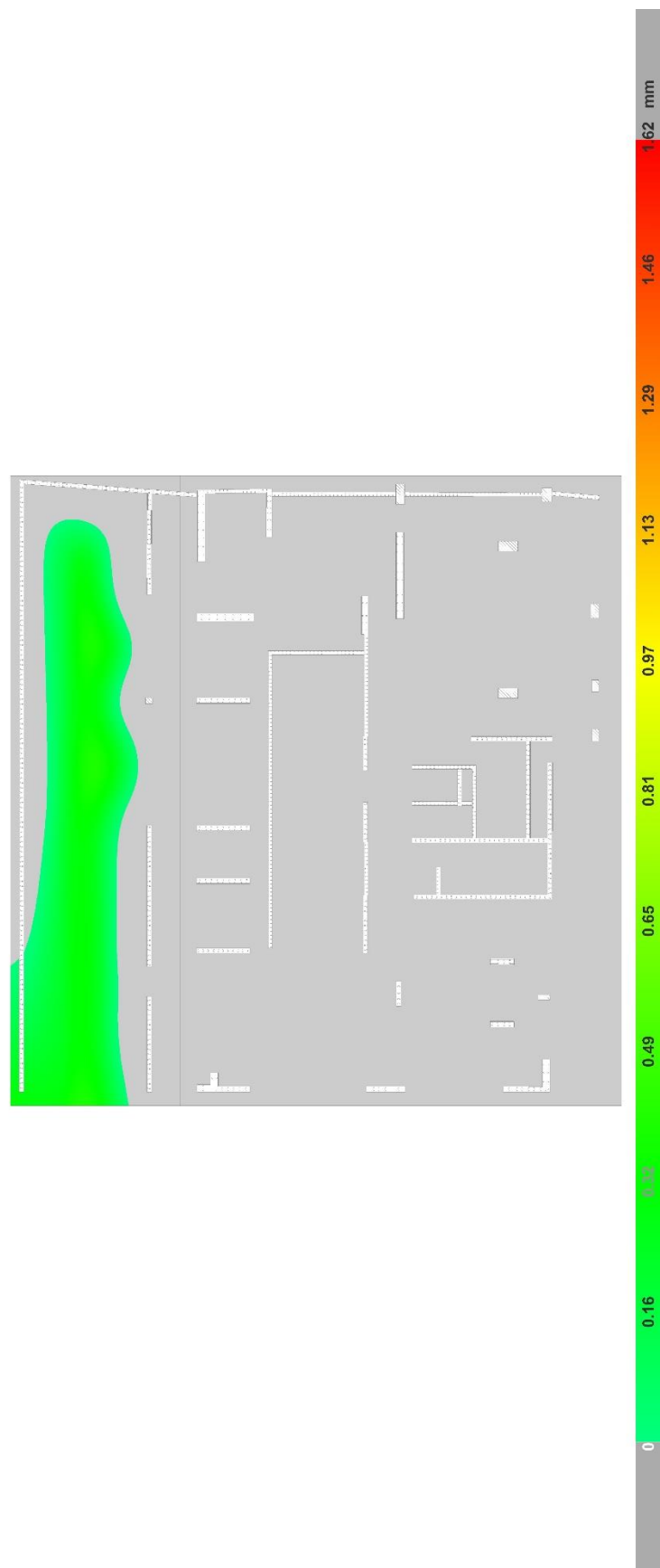
Annexe 7 Ferrailage du poteau Pg4 à l'aide de CYPECAD pour les deux variantes

Annexe 8 Vérification du soulèvement du radier

Cartographie des moments déstabilisants :



Cartographie des moments stabilisants :

Cartographie du soulèvement du radier :

Annexe 9 Plans de ferrailage du radier pour les deux variantes par CYPECAD

Annexe 10 Ratios de chaque étage pour chaque variante

Les différents ratios sont présentés dans les tableaux suivants pour chaque étage :

Ratios de l'ouvrage, variante « dalle réticulée » :

- Fondation

Élément	Coffrage (m ²)	Surface (m ²)	Volume (m ³)	Barres (kg)
Dalles de fondation	-	942.99	754.560	34060
Armature de base	-	-	-	18041
Poutres	178.93	47.92	49.810	3670
Total	-	990.91	804.370	55771
Indices (par m²)	-	-	0.809	56.13
Surface totale: 993.67 m²				

- 2^{ème} sous-sol :

Élément	Coffrage (m ²)	Surface (m ²)	Volume (m ³)	Barres (kg)
Planchers sur poutrelles	-	462.53	46.750	983
Planchers-dalles	-	264.56	63.110	5391
Poutres	104.00	114.86	29.020	2731
Murs en béton armé	-	1077.30	134.194	15153
Poteaux	45.31	-	6.140	1549
Total	-	1919.25	279.214	25807
Indices (par m²)	-	-	0.331	30.55
Surface totale: 844.70 m²				

- 1^{er} sous-sol :

Élément	Coffrage (m ²)	Surface (m ²)	Volume (m ³)	Barres (kg)
Planchers-dalles	-	725.90	171.980	13568
Poutres	111.42	116.05	29.510	2569
Murs en béton armé	-	1807.47	225.147	15934
Poteaux	82.58	-	11.190	1575
Total	-	2649.42	437.827	33646
Indices (par m²)	-	-	0.518	39.83
Surface totale: 844.70 m²				

- RDC :

Élément	Coffrage (m ²)	Surface (m ²)	Volume (m ³)	Barres (kg)
Planchers réticulés	-	334.59	56.230	2649
Planchers-dalles	-	26.76	5.350	391
Poutres	75.99	48.08	12.070	929
Murs en béton armé	-	552.00	75.132	4696
Poteaux	77.33	-	11.410	1840
Total	-	961.43	160.192	10505
Indices (par m²)	-	-	0.389	25.51
Surface totale: 411.85 m²				
N° de blocs de plancher réticulé = 1867 Uté.				

- 1^{er} étage :

Élément	Coffrage (m ²)	Surface (m ²)	Volume (m ³)	Barres (kg)
Planchers réticulés	-	562.78	104.240	4632
Armature de base des	-	-	-	249

panneaux				
Planchers-dalles	-	26.76	5.350	383
Poutres	74.05	36.97	8.150	504
Murs en béton armé	-	552.00	75.132	4630
Poteaux	16.51	-	1.930	148
Total	-	1178.51	194.802	10546
Indices (par m²)	-	-	0.310	16.77
Surface totale: 628.93 m²				
N° de blocs de plancher réticulé = 2981 Uté.				

- **2^{ème} étage :**

Élément	Coffrage (m ²)	Surface (m ²)	Volume (m ³)	Barres (kg)
Planchers réticulés	-	551.57	100.550	4741
Armature de base des panneaux	-	-	-	199
Planchers-dalles	-	26.76	8.030	608
Poutres	55.68	38.87	5.500	450
Murs en béton armé	-	547.39	73.249	4535
Poteaux	42.26	-	5.510	440
Total	-	1164.59	192.839	10973
Indices (par m²)	-	-	0.311	17.72
Surface totale: 619.22 m²				
N° de blocs de plancher réticulé = 3007 Uté.				

- **3^{ème} étage :**

Élément	Coffrage (m ²)	Surface (m ²)	Volume (m ³)	Barres (kg)
Planchers réticulés	-	551.53	100.420	4892
Armature de base des panneaux	-	-	-	195
Planchers-dalles	-	26.76	8.030	616
Poutres	55.68	38.91	5.490	451
Murs en béton armé	-	547.39	73.249	4516
Poteaux	42.26	-	5.510	391
Total	-	1164.59	192.699	11061
Indices (par m²)	-	-	0.311	17.86
Surface totale: 619.22 m²				
N° de blocs de plancher réticulé = 3011 Uté.				

- **4^{ème} étage :**

Élément	Coffrage (m ²)	Surface (m ²)	Volume (m ³)	Barres (kg)
Planchers réticulés	-	551.63	100.820	4885
Armature de base des panneaux	-	-	-	205
Planchers-dalles	-	26.76	8.030	617
Poutres	55.69	38.89	5.520	445
Murs en béton armé	-	547.39	73.249	4526
Poteaux	42.26	-	5.510	391
Total	-	1164.67	193.129	11069
Indices (par m²)	-	-	0.312	17.87
Surface totale: 619.30 m²				
N° de blocs de plancher réticulé = 2982 Uté.				

- **5^{ème} étage :**

Élément	Coffrage (m ²)	Surface (m ²)	Volume (m ³)	Barres (kg)
---------	-------------------------------	------------------------------	-----------------------------	----------------

Planchers réticulés	-	537.15	97.670	4706
Armature de base des panneaux	-	-	-	184
Planchers-dalles	-	27.11	8.080	624
Poutres	52.80	35.35	4.530	348
Murs en béton armé	-	547.39	73.249	4520
Poteaux	42.26	-	5.510	391
Total	-	1147.00	189.039	10773
Indices (par m²)	-	-	0.314	17.91
Surface totale: 601.63 m²				
N° de blocs de plancher réticulé = 2891 Uté.				

- **6^{ème} étage :**

Élément	Coffrage (m ²)	Surface (m ²)	Volume (m ³)	Barres (kg)
Planchers réticulés	-	552.09	100.880	5017
Armature de base des panneaux	-	-	-	204
Planchers-dalles	-	26.76	8.030	618
Poutres	55.52	38.37	5.480	442
Murs en béton armé	-	539.43	71.578	4406
Poteaux	42.26	-	5.510	391
Total	-	1156.65	191.478	11078
Indices (par m²)	-	-	0.309	17.89
Surface totale: 619.24 m²				
N° de blocs de plancher réticulé = 2994 Uté.				

- **7^{ème} étage :**

Élément	Coffrage (m ²)	Surface (m ²)	Volume (m ³)	Barres (kg)
Planchers réticulés	-	552.09	100.880	5037
Armature de base des panneaux	-	-	-	204
Planchers-dalles	-	26.76	8.030	614
Poutres	55.52	38.37	5.480	442
Murs en béton armé	-	539.43	71.578	4406
Poteaux	42.26	-	5.510	391
Total	-	1156.65	191.478	11094
Indices (par m²)	-	-	0.309	17.92
Surface totale: 619.24 m²				
N° de blocs de plancher réticulé = 2994 Uté.				

- **8^{ème} étage :**

Élément	Coffrage (m ²)	Surface (m ²)	Volume (m ³)	Barres (kg)
Planchers réticulés	-	552.13	102.250	4971
Armature de base des panneaux	-	-	-	239
Planchers-dalles	-	26.76	8.030	614
Poutres	55.56	38.39	5.480	438
Murs en béton armé	-	539.43	71.578	4406
Poteaux	41.45	-	5.320	372
Total	-	1156.71	192.658	11040
Indices (par m²)	-	-	0.311	17.83
Surface totale: 619.23 m²				
N° de blocs de plancher réticulé = 2967 Uté.				

- **9^{ème} étage :**

Élément	Coffrage (m ²)	Surface (m ²)	Volume (m ³)	Barres (kg)
Planchers réticulés	-	550.74	101.840	4959
Armature de base des panneaux	-	-	-	233
Planchers-dalles	-	26.76	8.030	615
Poutres	55.56	39.86	6.070	492
Murs en béton armé	-	539.43	71.578	4406
Poteaux	40.91	-	5.100	368
Total	-	1156.79	192.618	11073
Indices (par m²)	-	-	0.311	17.88
Surface totale: 619.23 m²				
N° de blocs de plancher réticulé = 2951 Uté.				

- **10^{ème} étage :**

Élément	Coffrage (m ²)	Surface (m ²)	Volume (m ³)	Barres (kg)
Planchers réticulés	-	548.88	126.510	5346
Armature de base des panneaux	-	-	-	844
Planchers-dalles	-	26.76	8.030	621
Poutres	55.34	39.50	5.620	441
Murs en béton armé	-	569.87	76.145	5195
Poteaux	40.91	-	5.100	360
Total	-	1185.01	221.405	12807
Indices (par m²)	-	-	0.358	20.70
Surface totale: 618.74 m²				
N° de blocs de plancher réticulé = 2305 Uté.				

- **11^{ème} étage :**

Élément	Coffrage (m ²)	Surface (m ²)	Volume (m ³)	Barres (kg)
Planchers réticulés	-	471.54	99.550	4205
Armature de base des panneaux	-	-	-	571
Planchers-dalles	-	27.11	8.080	617
Poutres	87.83	73.54	23.580	2245
Murs en béton armé	-	569.87	76.145	4867
Poteaux	91.14	-	8.160	2066
Total	-	1142.06	215.515	14571
Indices (par m²)	-	-	0.375	25.32
Surface totale: 575.37 m²				
N° de blocs de plancher réticulé = 2086 Uté.				

- **12^{ème} étage :**

Élément	Coffrage (m ²)	Surface (m ²)	Volume (m ³)	Barres (kg)
Planchers réticulés	-	398.67	76.560	3047
Armature de base des panneaux	-	-	-	261
Planchers-dalles	-	26.76	5.350	389
Poutres	82.09	58.09	18.970	1404
Murs en béton armé	-	358.40	43.709	2636
Poteaux	31.05	-	3.150	287
Total	-	841.92	147.739	8024
Indices (par m²)	-	-	0.305	16.55
Surface totale: 484.73 m²				

N° de blocs de plancher réticulé = 1938 Uté.

- **13^{ème} étage :**

Élément	Coffrage (m ²)	Surface (m ²)	Volume (m ³)	Barres (kg)
Planchers réticulés	-	380.96	77.150	2972
Armature de base des panneaux	-	-	-	192
Planchers-dalles	-	26.76	5.350	388
Poutres	57.83	45.68	12.430	926
Murs en béton armé	-	358.40	43.709	2635
Poteaux	23.64	-	2.470	222
Total	-	811.80	141.109	7335
Indices (par m²)	-	-	0.311	16.14

Surface totale: 454.33 m²

N° de blocs de plancher réticulé = 1939 Uté.

- **14^{ème} étage :**

Élément	Coffrage (m ²)	Surface (m ²)	Volume (m ³)	Barres (kg)
Planchers réticulés	-	381.21	77.550	3144
Armature de base des panneaux	-	-	-	202
Planchers-dalles	-	26.76	8.030	618
Poutres	56.75	45.43	12.140	915
Murs en béton armé	-	358.40	43.709	2632
Poteaux	23.64	-	2.470	222
Total	-	811.80	143.899	7733
Indices (par m²)	-	-	0.317	17.02

Surface totale: 454.33 m²

N° de blocs de plancher réticulé = 1929 Uté.

- **15^{ème} étage :**

Élément	Coffrage (m ²)	Surface (m ²)	Volume (m ³)	Barres (kg)
Planchers réticulés	-	490.07	51.380	5424
Armature de base des panneaux	-	-	-	162
Planchers-dalles	-	34.23	6.850	507
Poutres	29.26	15.39	0.500	58
Murs en béton armé	-	358.40	43.709	2993
Poteaux	25.43	-	2.650	193
Total	-	898.09	105.089	9337
Indices (par m²)	-	-	0.194	17.27

Surface totale: 540.62 m²

N° de blocs de plancher réticulé = 4197 Uté.

Ratios de l'ouvrage, variante « plancher-dalle » :

Les différents ratios sont présentés dans les tableaux suivants pour chaque étage :

- **Fondation**

Élément	Coffrage (m ²)	Surface (m ²)	Volume (m ³)	Barres (kg)
Dalles de fondation	-	942.99	942.990	42839
Armature de base	-	-	-	21377
Poutres	126.10	47.92	49.810	3966

Total	-	990.91	992.800	68182
Indices (par m²)	-	-	0.999	68.62
Surface totale: 993.67 m²				

- **2^{ème} sous-sol :**

Élément	Coffrage (m ²)	Surface (m ²)	Volume (m ³)	Barres (kg)
Planchers sur poutrelles	-	462.53	46.750	1019
Planchers-dalles	-	264.56	63.110	6486
Poutres	104.00	114.86	29.020	3227
Murs en béton armé	-	1077.30	134.194	36524
Poteaux	45.31	-	6.140	2162
Total	-	1919.25	279.214	49418
Indices (par m²)	-	-	0.331	58.50
Surface totale: 844.70 m²				

- **1^{er} sous-sol :**

Élément	Coffrage (m ²)	Surface (m ²)	Volume (m ³)	Barres (kg)
Planchers-dalles	-	725.90	171.980	17711
Poutres	111.42	116.05	29.510	3154
Murs en béton armé	-	1807.47	225.147	38766
Poteaux	82.58	-	11.190	2056
Total	-	2649.42	437.827	61687
Indices (par m²)	-	-	0.518	73.03
Surface totale: 844.70 m²				

- **RDC :**

Élément	Coffrage (m ²)	Surface (m ²)	Volume (m ³)	Barres (kg)
Planchers-dalles	-	357.94	98.450	10010
Poutres	72.25	51.49	11.990	1416
Murs en béton armé	-	552.00	75.132	11475
Poteaux	78.21	-	11.540	2478
Total	-	961.43	197.112	25379
Indices (par m²)	-	-	0.479	61.62
Surface totale: 411.85 m²				

- **1^{er} étage :**

Élément	Coffrage (m ²)	Surface (m ²)	Volume (m ³)	Barres (kg)
Planchers-dalles	-	585.62	168.540	20068
Poutres	61.70	40.89	8.300	915
Murs en béton armé	-	552.00	75.132	8850
Poteaux	17.11	-	2.000	144
Total	-	1178.51	253.972	29977
Indices (par m²)	-	-	0.404	47.66
Surface totale: 628.93 m²				

- **2^{ème} étage :**

Élément	Coffrage (m ²)	Surface (m ²)	Volume (m ³)	Barres (kg)
Planchers-dalles	-	571.13	167.420	21066
Poutres	41.41	46.07	5.820	937
Murs en béton armé	-	547.39	73.249	7792
Poteaux	43.81	-	5.700	712
Total	-	1164.59	252.189	30507

Indices (par m²)	-	-	0.407	49.27
Surface totale: 619.22 m²				

- **3^{ème} étage :**

Élément	Coffrage (m ²)	Surface (m ²)	Volume (m ³)	Barres (kg)
Planchers-dalles	-	571.09	167.410	22036
Poutres	41.40	46.11	5.790	1025
Murs en béton armé	-	547.39	73.249	6949
Poteaux	43.81	-	5.700	653
Total	-	1164.59	252.149	30663
Indices (par m²)	-	-	0.407	49.52
Surface totale: 619.22 m²				

- **4^{ème} étage :**

Élément	Coffrage (m ²)	Surface (m ²)	Volume (m ³)	Barres (kg)
Planchers-dalles	-	571.21	167.440	22502
Poutres	41.42	46.07	5.820	1085
Murs en béton armé	-	547.39	73.249	6436
Poteaux	43.81	-	5.700	613
Total	-	1164.67	252.209	30636
Indices (par m²)	-	-	0.407	49.47
Surface totale: 619.30 m²				

- **5^{ème} étage :**

Élément	Coffrage (m ²)	Surface (m ²)	Volume (m ³)	Barres (kg)
Planchers-dalles	-	558.83	164.560	22305
Poutres	39.37	40.78	4.740	854
Murs en béton armé	-	547.39	73.249	6127
Poteaux	43.81	-	5.700	613
Total	-	1147.00	248.249	29899
Indices (par m²)	-	-	0.413	49.70
Surface totale: 601.63 m²				

- **6^{ème} étage :**

Élément	Coffrage (m ²)	Surface (m ²)	Volume (m ³)	Barres (kg)
Planchers-dalles	-	571.61	167.520	22330
Poutres	41.28	45.61	5.800	1048
Murs en béton armé	-	539.43	71.578	5823
Poteaux	43.81	-	5.700	613
Total	-	1156.65	250.598	29814
Indices (par m²)	-	-	0.405	48.15
Surface totale: 619.24 m²				

- **7^{ème} étage :**

Élément	Coffrage (m ²)	Surface (m ²)	Volume (m ³)	Barres (kg)
Planchers-dalles	-	571.61	167.520	21934
Poutres	41.28	45.61	5.800	1011
Murs en béton armé	-	539.43	71.578	5621
Poteaux	43.81	-	5.700	613
Total	-	1156.65	250.598	29179
Indices (par m²)	-	-	0.405	47.12
Surface totale: 619.24 m²				

- **8^{ème} étage :**

Élément	Coffrage (m ²)	Surface (m ²)	Volume (m ³)	Barres (kg)
Planchers-dalles	-	571.64	167.530	21249
Poutres	41.31	45.64	5.790	1015
Murs en béton armé	-	539.43	71.578	5509
Poteaux	42.97	-	5.510	609
Total	-	1156.71	250.408	28382
Indices (par m²)	-	-	0.404	45.83
Surface totale: 619.23 m²				

- **9^{ème} étage :**

Élément	Coffrage (m ²)	Surface (m ²)	Volume (m ³)	Barres (kg)
Planchers-dalles	-	570.25	167.110	20851
Poutres	42.41	47.11	6.440	1089
Murs en béton armé	-	539.43	71.578	5247
Poteaux	42.41	-	5.290	606
Total	-	1156.79	250.418	27793
Indices (par m²)	-	-	0.404	44.88
Surface totale: 619.23 m²				

- **10^{ème} étage :**

Élément	Coffrage (m ²)	Surface (m ²)	Volume (m ³)	Barres (kg)
Planchers-dalles	-	568.56	166.690	21518
Poutres	41.11	46.60	6.050	955
Murs en béton armé	-	569.87	76.145	6235
Poteaux	42.41	-	5.290	601
Total	-	1185.03	254.175	29309
Indices (par m²)	-	-	0.411	47.37
Surface totale: 618.76 m²				

- **11^{ème} étage :**

Élément	Coffrage (m ²)	Surface (m ²)	Volume (m ³)	Barres (kg)
Planchers-dalles	-	500.72	139.880	16617
Poutres	73.56	73.55	19.900	3303
Murs en béton armé	-	569.87	76.145	6286
Poteaux	93.13	-	8.370	2822
Total	-	1144.14	244.295	29028
Indices (par m²)	-	-	0.423	50.27
Surface totale: 577.45 m²				

- **12^{ème} étage :**

Élément	Coffrage (m ²)	Surface (m ²)	Volume (m ³)	Barres (kg)
Planchers-dalles	-	404.25	111.500	11853
Poutres	67.74	70.82	18.830	2374
Murs en béton armé	-	358.40	43.709	3233
Poteaux	31.55	-	3.210	613
Total	-	847.76	180.619	18377
Indices (par m²)	-	-	0.368	37.46
Surface totale: 490.57 m²				

- 13^{ème} étage :

Élément	Coffrage (m ²)	Surface (m ²)	Volume (m ³)	Barres (kg)
Planchers-dalles	-	398.75	112.220	11884
Poutres	42.53	54.65	10.710	1376
Murs en béton armé	-	358.40	43.709	3064
Poteaux	24.80	-	2.590	260
Total	-	811.80	169.229	16584
Indices (par m²)	-	-	0.372	36.50
Surface totale: 454.33 m²				

- 14^{ème} étage :

Élément	Coffrage (m ²)	Surface (m ²)	Volume (m ³)	Barres (kg)
Planchers-dalles	-	396.16	114.120	11900
Poutres	41.80	57.24	11.310	1446
Murs en béton armé	-	358.40	43.709	2932
Poteaux	24.97	-	2.600	256
Total	-	811.80	171.739	16534
Indices (par m²)	-	-	0.378	36.39
Surface totale: 454.33 m²				

- 15^{ème} étage :

Élément	Coffrage (m ²)	Surface (m ²)	Volume (m ³)	Barres (kg)
Planchers-dalles	-	502.40	147.300	15140
Poutres	44.90	15.40	0.500	105
Murs en béton armé	-	358.40	43.709	3831
Poteaux	24.97	-	2.600	217
Total	-	876.20	194.109	19293
Indices (par m²)	-	-	0.374	37.19
Surface totale: 518.73 m²				

Annexe 11 Poinçonnement du radier, vérification du poteau P3, variante du plancher-dalle, par CYPECAD

Annexe 12 Résultats de vérification de la stabilité vis-à-vis du poinçonnement du plancher-dalle 1er étage pour tous les poteaux